

120990

KARADENİZ TEKNİK ÜNİVERSİTESİ  
FEN BİLİMLERİ ENSTİTÜSÜ

JEOLOJİ MÜHENDİSLİĞİ ANABİLİM DALI

KAYA KÜTLE SINIFLANDIRMA SİSTEMLERİNİN VE SSPC  
YÖNTEMİNİN BEKÇİLER (MAÇKA-TRABZON)-TORUL (GÜMÜŞHANE)  
ARASINDA ŞEÇİLEN KAZI ŞEVLERİNE UYGULANISI

Jeoloji Müh. Nurcihan CERYAN

Karadeniz Teknik Üniversitesi Fen Bilimleri Enstitüsünce  
"Jeoloji Yüksek Mühendisi"  
Unvanı Verilmesi İçin Kabul Edilen Tezdir.

Tezin Enstitüye Verildiği Tarih : 29.06.2005  
Tezin Savunma Tarihi : 04.08.2005

Tez Danışmanı : Yrd. Doç. Dr. Fatma GÜLTEKİN

Jüri Üyesi : Prof. Dr. Fikri BULUT

Jüri Üyesi : Prof. Dr. Ayhan KESİMAL

Enstitü Müdürü: Prof. Dr. Emin Zeki BAŞKENT

Trabzon 2005

## ÖNSÖZ

Kaya kütle sınıflandırma sistemlerinin ve SSPC yönteminin Trabzon-Gümüşhane Karayolu'nun Savalı Mahallesi-Bekçiler Mevkii kısmında seçilen kazı şeşlerine uygulanmasını konu alan bu çalışma Karadeniz Teknik Üniversitesi Fen Bilimleri Enstitüsü Jeoloji Mühendisliği Anabilim Dalı'nda Yüksek Lisans Tezi olarak hazırlanmıştır.

Yüksek Lisan tezimin danışmanlığı üstlenen ve yardımcılarını esirgemeyen saygıdeğer hocam Yrd. Doç. Dr. Fatma GÜLTEKİN'e içtenlikle teşekkür ederim.

Yüksek Lisan öğrenciliğime başladığımdan bu yana her aşamada yardım ve desteğini esirgemeyen, bilgilerinden yararlandığım hocalarım Doç. Dr. Cüneyt ŞEN'e ve Prof. Dr. Necati TÜYSÜZ'e içtenlikle teşekkür ederim.

Kaya kütle sınıflandırmalarının uygulanışı konusunda bilgisini ve deneyimini paylaşan Doç. Dr. Candan GÖKÇEÖĞLU'na özellikle teşekkür ederim.

Çalıştığım alanının jeolojik özelliklerinin belirlenmesi konusunda bilgilerinden yararlandığım, Doç. Dr. Cemil YILMAZ'a ve Jeol. Yüksek Müh. İskender KURT'a teşekkür ederim. Gentz Üniversitesi'nde (BELÇİKA) öğrenci olarak bulduğum sırada elektronik postalarıyla desteğini esirgemeyen hocam Prof. Dr. Remzi DİLEK'e teşekkür ederim.

Prof Dr. Fikri BULUT'a ve Prof. Dr. Ayhan KESİMAL'a bu çalışmaya yaptıkları katkılarından dolayı teşekkür ederim

Kaya Mekaniği deneyleri için blok örneklerin alınmasında ve deneylerin yapımında yardımcı olan teknisyen Yakup YAVUZ'a, Jeol. Müh. Fatih BEKTAŞ'a, Jeol. Müh. Fatih BAKI'ye ve Jeol. Müh. Onur KARABACAK'a teşekkür ederim

Öğrenim görmemde ve yetişmemde beni maddi ve manevi olarak desteklemiş olan babam İlyas KORKMAZ'a, annem Elif KORKMAZ'a ve kardeşlerim Nurhan, Nuray, Güven ve Menekşe KORKMAZ'a içtenlikle teşekkür ederim.

Hayat arkadaşım Şener CERYAN'a bilimsel bilgi birikimini paylaşması, mesleğimdeki yetişmemde var olan büyük katkıları ve yaşamımın diğer alanlarında da her zaman yanımda histettiğim vazgeçilmez desteği ve katkıları nedeniyle büyük bir içtenlikle teşekkür ediyorum. Biricik oğlum MERT'e yaşamımızı daha da güzelleştirdiği ve anlamlı kıldığı için ne kadar teşekkür etsem yeterli olmaz.

Nurcihan CERYAN, 2005

## İÇİNDEKİLER

	<u>Sayfa No</u>
ÖNSÖZ.....	II
İÇİNDEKİLER.....	III
ÖZET .....	VI
SUMMARY .....	VII
ŞEKİLLER DİZİNİ.....	VIII
TABLOLAR DİZİNİ .....	XI
SEMBOLLER DİZİNİ.....	XIV
<b>1. GENEL BİLGİLER .....</b>	<b>1</b>
1.1. Giriş .....	1
1.2. İnceleme Alanının Tanıtımı.....	2
1.2.1. Coğrafi Durum.....	2
1.2.2. Ulaşım ve Yerleşim .....	2
1.2.3. Morfoloji.....	3
1.2.4. Akarsular.....	4
1.2.5. İklim ve Bitki Örtüsü .....	4
1.3. Önceki Jeolojik Çalışmalar.....	5
1.4. Kaya Şevleri İçin Duraylılık Analizlerine Genel Bakış .....	7
1.5. Kaya Kütle Sınıflamalarının Kaya Şev Duraylılığına Uygulanışı.....	11
1.5.1. Kaya Şev Duraylılığında Kullanılan Kaya Kütle Sınıflandırmaları .....	11
1.5.2. Kaya Kütle Sınıflandırmaları İle Kaya Şevlerinin Tasarımı .....	20
<b>2. YAPILAN ÇALIŞMALAR.....</b>	<b>27</b>
2.1 Giriş .....	27
2.2. Jeolojik Harita Alımı .....	27
2.3. Jeoteknik Birimlerin Tanımlanması .....	27
2.4. Kaya Malzemesinin İndeks ve Dayanım Özelliklerinin Ölçümü .....	29
2.4.1. İndeks Özellikler.....	29
2.4.2. Schimidt Çekici Geri Tepme Sayısı .....	31
2.4.3. Nokta Yükleme Deneyi .....	33
2.4.4. Tek Eksenli Basınç Deneyi.....	34
2.5. Kaya Malzemesi ve Kaya Kütesinin Ayışmaya Göre Sınıflandırılması....	34

2.6.	Süreksizlik Özelliklerinin Ölçümü .....	35
2.6.1.	Süreksizlik Yönelimi ile Şev Yönelimi Arasındaki İlişki .....	35
2.6.2.	Süreksizlik Ara Uzaklığı.....	37
2.6.3.	Hacimsel Çatlaklık Sayısı.....	37
2.6.4.	Kaya Kalitesi Özelliği.....	39
2.6.5.	Blok Boyutu.....	39
2.6.6.	Süreksizliklerin Devamlılığı.....	40
2.6.7.	Süreksizlik Yüzeyinin Pürüzlülüğü .....	42
2.6.8.	Süreksizlik Yüzeyi Ayışma Durumu.....	45
2.6.9.	Süreksizlik Açıklığı ve Dolgu Durumu .....	47
3.	<b>BULGULAR.....</b>	48
3.1.	Giriş .....	48
3.2.	Litoloji ve Stratigrafi .....	48
3.2.1.	Çatak Formasyonu .....	48
3.2.2.	Kızılkaya Formasyonu.....	55
3.2.3.	Çağlayan Formasyonu .....	66
3.3.	Yapısal Jeoloji .....	70
3.3.1.	Tabakalar .....	70
3.3.2.	Çatlaklar.....	70
3.3.3.	Faylar .....	71
3.4.	Kaya Malzemesi İndeks ve Dayanım Özellikleri ve Ayışmayla Değişimi .	72
3.5.	Kaya Kütle Sınıflandırmaları Kullanılarak Jeoteknik Birimlerin Tanımlanması ve Şeçilen Kazı Şevlerin Duraylılığının İncelenmesi .....	77
3.5.1.	Jeomorfolojik Amaçlı Sınıflandırma (RMS).....	78
3.5.2.	Jeomekanik Sınıflama (RMR ) .....	83
3.5.3.	Yeniden Düzenlenmiş Jeomekanik Sınıflandırma Sistemi (M-RMR) .....	88
3.5.4.	Madencilik İçin Jeomekanik Sınıflandırma (MRMR).....	96
3.5.5.	Şev Duraylılığı İçin Jeomekanik Sınıflandırma (SMR) .....	105
3.6.	Şev Duraylılığının Olasılık Olarak Sınıflandırılması .....	112

<b>4.</b>	<b>İRDELEME .....</b>	<b>125</b>
4.1	Giriş .....	125
4.2.	Kaya Kütle Sınıflandırmalarında Kullanılan Parametrelerle İlgili Güçlükler ve Olanaklar .....	126
4.2.1.	Kaya Malzemesi Dayanımı .....	126
4.2.2.	Süreksizlik Sıklığı.....	127
4.2.3.	Süreksizlik Yüzeyi Durumu .....	128
4.2.4.	Süreksizlik Yönelimi .....	129
4.2.5.	Su Durumu.....	130
4.2.6.	Şev Yüksekliği, Gerilme Durumu, Kaya Malzemesi Deformasyonu .....	132
4.3.	Sınıflandırma Parametreleri ve Şev Geometrisindeki Değişimler ve Bunların Ölçümündeki Belirsizlikler.....	134
4.4.	Şev Duraylılığının Sağlamak İçin Yapılan Öneriler.....	134
4.5.	Kaya Kütlesinin Niteliği ile Yenilme Türlerinin Arasındaki İlişki .....	135
5.	<b>SONUÇ VE ÖNERİLER .....</b>	<b>138</b>
6.	<b>KAYNAKLAR .....</b>	<b>144</b>
	<b>ÖZGEÇMİŞ.....</b>	<b>154</b>

## ÖZET

Trabzon-Gümüşhane karayolunun Bekçiler Mevkii-Savalı Mahallesi arasında yer alan kazı şevelerinin duraylılığı kaya kütle sınıflandırmaları ve olasılık yöntemle değerlendirilmiştir.

Çalışma sahasında en alta Turoniyen-Santoniyen yaşı, bordo renkli killi kireçtaşı, kumlu kireçtaşı ve tüffit ara seviyeleri içeren andezit ve piroklastlarından oluşan Çatak Formasyonu yer almaktadır. Bu formasyon üzerine uyumlu olarak gelen Turoniyen?-Santoniyen yaşı, tortul ara katmanlı dasit ve piroklastlarından oluşan Kızılkaya Formasyonu yer almaktadır. Kızılkaya Formasyonu üzerine Kampaniyen-Maastrichtiyen yaşı Çağlayan Formasyonu uyumlu olarak gelmektedir. Bu formasyon killi kireçtaşı, kumlu kireçtaşı, kumtaşı ve marn ara seviyeleri içeren andezitik-bazaltik volkanitlerden oluşmaktadır. .

Duraylılığı incelenen yol kazısı ile oluşmuş kaya şevelerinde şev geometrisi, litolojik özellikler, ayırtma durumu ve süreksizlik sıklığı dikkate alınarak 64 jeoteknik birim ayrılmış ve her bir jeoteknik birimlerin kaya malzemesi dayanım özellikleri bulunmuştur. Seçilen kazı şevelerinin duraylılığının değerlendirilmesi her bir jeoteknik birim için yapılmıştır.

Bu çalışmada, RMS, RMR, M-RMR ve MRMR sınıflandırma sistemler, girdi parametrelerinin tanımlanmasında ve ölçülmesinde güçlükler ve şevedeki yenilme türlerini dikkate almamaları nedeniyle kaya şeveleri duraylılık değerlendirilmelerinde kullanıllarının önerilmesi doğru bulunmamıştır. İncelenen şevelerde yapılan gözlemler ve duraylılık tanımlamları ile SMR ve SSPC ve sistemiyle yapılan duraylılık tanımlamları arasında iyi bir uyum vardır. SMR ve SSPC yöntemleri duraylılığının tanımlanmasında ve analizlerinde kullanılabilir. Ancak, bu çalışmada elde edilen verilerin farklı alanlarda çalışılarak, test edilmesi gerekmektedir. Ayrıca, kaya kütle sınıflandırmaları ile şev duraylılığının tanımlanması şev tasarım çalışmalarının yalnızca ilk aşamasında kullanılmalı veya detaylı haritalama ve analizi tamamlamak için belli bir bölgeye ait araç olarak düşünülmelidir.

**Anahtar Kelimeler:** Şev Duraylılığı, Kaya Kütle Sınıflandırmaları, Ayırtma, Olasılık Sınıflandırma

## SUMMARY

### **Applications of Rock Mass Classification System and SSPC Methods to Selected Excavated Slopes of Torul (GÜMÜŞHANE)- Bekçiler (Maçka- TRABZON) District**

The durability of the excavated slopes of Bekçiler-Savaslı district of Trabzon-Gümüşhane highway are evaluated by rock mass classifications system and probility classification

In the study area, the oldest rocks are Turonian-Santonian andesite and its pyroclastics that interbedded with dark red coloured clayey limestone, sandy limestone and tuffit. This series rocks called as Çatak Formation that concordantly overlie Kızılkaya Formation, is consist of mainly Turonian?-Santonian dacite and its pyroclastics with some sedimentary rock lenses. Campanian-Maastrichtian Çağlayan Formation concordantly covers all these series. Çağlayan Formation consists of mainly andesite-basalt and pyroclastics with clayey limestone, sandy limestone and marl interbedded.

64 geotechnic units are separated from using the geometry of excavation slopes, the lithological features, the alteration state and the frequency of discontinuity. The strength properties of rock materials are obtained for each geotechnic units. Finally, slope stability calculations are done for all geotechnic units.

In this study, RMS, RMR, M-RMR and MRMR classification systems are not recommended for the evaluation of rock slope stability due to difficulties involved to descriptions and measurements of input parameters and they don't consider worn out failure mode of the slopes. This study shows that there is a good agreement between slope stability description results of SMR and SSPC and the field observations. Therefore, for the study area, SMR and SSPC methods can be applied for the definition of slope stability. However, obtained results must be tested through different area.. Additionally, rock mass classification and slope stability definitions must be used in the first stage of slope design study or it must use a tool for accomplish detail mapping and analyzing.

**Key words:** Slope Stability, Rock Mass Classification, Weathering, Probility Classification

## ŞEKİLLER DİZİNİ

	<u>Sayfa No</u>
Şekil 1.	İnceleme alanına ait yer bulduru haritası.....3
Şekil 2.	Maçka (Trabzon) meteoroloji istasyonu verilerine göre Zigana Tüneli (Gümüşhane)-Maçka (Trabzon) alanındaki sıcaklık ve yağış histogramları..5
Şekil 3.	Yenilme zarflarının kullanılarak kaya şevindeki olası yenilmelerin belirlenmesi .....8
Şekil 4.	SSPC sisteminde şev duraylığını değerlendirmek için oluşturulan 3 adımlı yaklaşımı .....19
Şekil 5.	Hoek ve Bray (1981)'in sağlam kayaçlar için bulduğu şev yüksekliği- şev açısı ilişkisi .....22
Şekil 6.	Haines ve Terbrugge (1991) şev tasarım eğrileri .....23
Şekil 7.	Douglas (2002) 'nin kütlesel yenilmeler için GSI ye bağlı olarak oluşturduğu şev tasarım eğrileri .....26
Şekil 8.	Dasitik ve andezitik volkanitlerden alınan karot örnekler.....30
Şekil 9.	IAEG (1995)'in ayışmanın tanımlanması ve sınıflandırması için önerdiği niteliksel yaklaşım.....36
Şekil 10.	Taylor (1965) tarafından önerilen süreksızlık ara uzaklıği grafiği.....38
Şekil 11.	Süreksızlık ara uzaklığı ve süreksızlık takımları arasındaki açıların sematik gösterimi (ISRM, 1981) .....40
Şekil 12.	Süreksızlık yüzeyinin devamlılığının tanımlanması.....41
Şekil 13.	Süreksızlık yüzeyinde pürüzlülük ve dalgalılık.....42
Şekil 14.	Doğrusal profil alma yöntemi, pürüzlülüğün kalemlı ve mekanik telli profilometre ölçümü ve pürüzlülüğün üç boyutlu ölçülmesi .....42
Şekil 15.	Pürüzlülüğün niteliksel ölçümü .....43
Şekil 16.	Standart pürüzlülük profilleri ve JRC değerleri .....43
Şekil 17.	Değişik ölçüm uzunluğu için pürüzlülük genliği ve profil uzunluğununa bağlı olarak JRC'nin belirlenmesi .....44
Şekil 18.	SSPC sisteminde küçük ve büyük ölçekteki pürüzlülüğün tanımlanması ...45
Şekil 19.	Süreksızlık yüzeylerinin bozunma indeksinin bulunması .....47
Şekil 20.	Savaşlı Mahallesi (Torul-Gümüşhane)-Bekçiler Mevkii (Maçka-Trabzon) yörensinin jeoloji haritası .....49

Şekil 21.	Savaşlı Mahallesi (Torul-Gümüşhane)-Bekçiler Mevkii (Maçka-Trabzon yöresinin jeoloji kesiti .....	50
Şekil 22.	Savaşlı Mahallesi (Torul-Gümüşhane)-Bekçiler Mevkii (Maçka-Trabzon yöresinin genelleştirilmiş dikme kesiti .....	51
Şekil 23.	Çatak Formasyonu'ndaki andezitik volkanitlerinin, tabakalı tuflerin, volkanik breşlerini ve bordo renkli killi kireçtaşlarının görünümü .....	52
Şekil 24.	Çatak Formasyonu'ndaki andezitlerde mikrolitik porfirik doku .....	53
Şekil 25.	Cevherli dasitik kayaçlarda yoğun kırıkların, alterasyonların, tabakalı tuflerin görünümü ve pirizmatik debili dasitlerin görünümü .....	57
Şekil 26.	Cevherli dasitlerde altere olmuş plajiyoklas , kloritleşmiş biyotit ve kuvars fenokristalleri ve mikrogranü doku .....	58
Şekil 27.	Yoğun cevherleşme içeren dasitik tuflerin mikroskopta görünü .....	59
Şekil 28.	Dasitlerde gözlenen mikrogranü doku .....	60
Şekil 29.	Dasitik volkanitler içindeki kırmızı biyomikritler .....	61
Şekil 30.	Kızılıkaya Formasyonu'ndaki dasit ve andezit daykları.....	62
Şekil 31.	Dasit dayklarında mikro granü porfirik doku .....	64
Şekil 32.	Andezit dayklarında mikro granü doku .....	64
Şekil 33.	Çağlayan Formasyonu bazaltik-andezitik volkanitlerin arazideki görünüşü ve Kızılıkaya Formasyonu ile sınırı .....	67
Şekil 34.	Çağlayan Formasyonu'ndaki andezitlerde mikrolitik porfirik doku .....	68
Şekil 35.	Kızılıkaya Formasyonu'ndan alınan 546 çatlak ölçüsüne göre hazırlanmış kontur diyagram .....	71
Şekil 36.	Dasitlerde tek eksenli basınç dayanımı ile Schmidt çekici geri tepme sayısı ve Schmidt çekici geri tepme sayısı x birim hacim ağırlık değeri arasındaki ilişkiler .....	76
Şekil 37.	Dasitlerde tek eksenli basınç dayanımı ile Nokta yük dayanımı arasındaki ilişki .....	77
Şekil 38.	Jeoteknik birimlerin uzun süreli duraylılığın RMS ile tanımlanması.....	82
Şekil 39.	RMR sisteminde tek eksenli basınç dayanımı, süreksızlık ara uzaklıği ve RQD parametrelerine ait puanları bulmak için kullanılan grafikler .....	84

Şekil 40.	Jeoteknik birimlerin RMR'ye göre sınıflandırılması.....	89
Şekil 41.	M-RMR sisteminin uygulanışını özetleyen akış diyagramı.....	90
Şekil 42.	Jeoteknik birimlerin M-RMR'ye göre sınıflandırılması.....	95
Şekil 43.	Jeoteknik birimlerin MRMR'ye göre sınıflandırılması .....	102
Şekil 44.	Haines ve Terbrugge (1991) tasarım eğrileri kullanılarak incelenen şevlerde duraylı şev eğimlerinin bulunması.....	103
Şekil 45.	SMR puanına göre şevin duraylılık açısından sınıflandırması, şevde görülebilecek yenilme türleri ve duraylılığı sağlamak için gerekli önlemler .....	107
Şekil 46.	Kazı şevlerinin SMR puanına göre duraylılık sınıflaması ve Romana vd, (2003)'ya göre, duraysız şevler için duraylılığı sağlamak için alınabilecek önlemler .....	112
Şekil 47	Süreksizlik yönelimine bağlı duraylılık analizinde kayma türü yenilmenin olasılığını belirlemek için geliştirilmiş grafik .....	116
Şekil 48.	Süreksizlik yönelimine bağlı duraylılık analizinde devrilme türü yenilmenin olasılığını belirlemek için geliştirilmiş grafik .....	117
Şekil 49.	Süreksizlik yöneliminden bağımsız duraylılık analizi geliştirilmiş grafik.....	118
Şekil 50.	Duraylılığı araştırılan şevlerde yapılan görsel tanımlama ile SSPC ve SMR sistemiyle yapılan tanımlamaların karşılaştırılması .....	137

## TABLOLAR DİZİNİ

	<u>Sayfa No</u>
Tablo 1.	Maçka (Trabzon) meteoroloji istasyonu verilerine göre Zigana Tüneli (Gümüşhane)-Maçka (Trabzon) alanındaki sıcaklık ve yağış değerleri.....4
Tablo 2.	Kaya kütle sınıflandırmalarında kullanılan parametreler .....12
Tablo 3.	Kaya şev duraylılığına uygulanan ve bu çalışmada kullanılan kaya kütle sınıflandırma sistemleri ve kullandıkları parametreler .....13
Tablo 4.	MRMR sınıflarına bağlı olarak verilen duraylı şev açıları .....20
Tablo 5.	McMahon (1976)'nın şev yüksekliği ile şev eğim ilişkisi için parametreler .....21
Tablo 6.	Süreksizlik koşulu faktörü .....25
Tablo 7	Bekçiler Mevkii (Maçka-Trabzon)-Savaşlı Mahallesi (Torul-Gümüşhane) arasında seçilen, yol kazısıyla oluşturulmuş şevlerde tanımlanan jeoteknik birimlerin özellikleri .....28
Tablo 8.	Chauvenet ölçüyü için örnek sayılarına karşılık gelen en büyük standart sapma değerleri .....32
Tablo 9.	Schmidt çekici geri tepme sayılarının aşağıya doğru ve dik olarak tutulmuş durumuna göre düzeltme değerleri .....32
Tablo 10.	Süreksizlik devamlılığının tanımlama ölçütleri .....41
Tablo 11.	Küçük ölçekli pürüzlülüğün tanımlanması .....44
Tablo 12.	Büyük ölçekli pürüzlülüğü tanımlanması .....44
Tablo 13.	Sing ve Gahrooe (1989) tarafından önerilen bozunma sınıflaması .....46
Tablo 14.	Bozunma indeksine ( $W_c$ ) göre süreksizlik yüzeylerinin bozunma sınıflaması .....46
Tablo 15.	Jeoteknik birimlerde kaya malzemesinin indeks ve dayanım özellikleri .....73
Tablo 16.	Değişik derecede ayrılmış dasitler için bulunan suda dayanım indeksi değerleri .....73
Tablo 17.	Dasitlerin indeks ve dayanım özelliklerinin ayrılmaya değişimi .....74
Tablo 18.	Andezitlerin indeks ve dayanım özelliklerinin ayrılmaya değişimi .....75
Tablo 19.	Schmidt çekici sertliğinden yararlanılarak tek eksenli basınç daysanımının bulunmasını sağlayan bağıntılar .....75

Sayfa No

Tablo 20.	Nokta yük dayanımı ile tek eksenli basınç dayanımı arasındaki ilişkiler.....	77
Tablo 21.	Kaya kütle direncinin jeomorfolojik amaçlı ölçümü için önerilmiş sınıflama .....	78
Tablo 22.	Jeoteknik birimlerde değişik su koşullarına göre bulunan RMS puanı .....	79
Tablo 23.	RMR kaya kütle sınıflama sisteminde kullanılan parametreler ve puanları .....	83
Tablo 24.	RMR sisteminde Süreksizliklerin yüzey durumu için puanlama. ....	84
Tablo 25.	Kaya şevleri için önerilen süreksizlik yönelik düzeltmesi puanları .....	85
Tablo 26.	Jeoteknik birimlerde değişik su koşullarına göre hesaplanan RMR değerleri .....	85
Tablo 27.	Süreksizlik yüzeyi durum indeksinin bulunusu .....	89
Tablo 28.	Jeoteknik birimlerde değişik su koşullarına göre hesaplanan M-RMR değerleri .....	90
Tablo 29.	Jeoteknik birimler için bulunan M-RMR değerlerinin RMR'ye uygunluğunu için uygulanan $X^2$ testi sonuçları .....	95
Tablo 30.	MRMR sisteminde kaya malzemesi dayanımı ve RQD için puanlama .....	96
Tablo 31.	MRMR sisteminde süreksizlik durumunun değerlendirilmesi .....	97
Tablo 32.	MRMR sisteminde ayırtma için düzeltme sayısı .....	98
Tablo 33.	Yeniden düzenlenmiş süreksizlik yönelik düzeltme puanları .....	98
Tablo 34.	MRMR sisteminde kazı yöntemine ilişkin düzeltme değerleri .....	98
Tablo 35.	Jeoteknik birimlerde değişik su koşullarına göre bulunan MRMR değerleri .....	99
Tablo 36.	İncelenen kaya şevlerinin duraylı olabilmesi için gerekli şev eğimi açıları .....	104
Tablo 37.	SMR sistemindeki süreksizlikler için düzeltme faktörleri ile kazı için düzeltme puanı .....	106
Tablo 38.	SMR puanına göre şevin duraylılık açısından sınıflandırılması.....	107
Tablo 39.	Duraylılığı araştırılan kazı şevlerinde SMR puanlarını bulmak için gerekli düzeltme faktörleri değerleri .....	108

Tablo 40.	Şevlerin kuru olduğu durum için bulunan SMR puanları.....	110
Tablo 41.	Süreksizlik koşul faktörü için, büyük ölçekli pürüzlülük, küçük ölçekli pürüzlülük, dolgu malzemesi türü ve yüzeydeki erime boşluğu varlığı/yokluğu ile ilgili puanlama .....	115
Tablo 42.	Jeoteknik birimlerdeki süreksızlık yüzey durumunun SSPC sistemine göre puanlaması.....	119
Tablo 43.	Jeoteknik birimlerde her bir süreksızlık takımı için süreksizlerin yüzey koşulu ve şev eğimi yönündeki görünür eğimlerine bağlı olarak bulunan kayma ve devrilme türü yenilmeler için duraylılık olasılıkları ...	121
Tablo 44.	Jeoteknik birimlerde SSPC yöntemiyle yapılan analizlerle bulunan duraylılık tanımlaması .....	123
Tablo 45.	Şevlerin görsel tanımlaması ile SMR ve SSPC yöntemiyle elde edilen duraylılık tanımlamaların sayısal karşılaştırılması.....	137

## SİMGELER DİZİNİ

Ad	: Süreksizlik yüzeyinin toplam alanı
Adi	: Süreksizlik yüzeyinde kohezyonun olmadığı alanların toplamı
AP	: Süreksizliğin şev düzlemi eğimi yönündeki eğimi
C <sub>1</sub>	: CSMR sınıflama sisteminde şev yüksekliği faktörü
C <sub>2</sub>	: CSMR sınıflama sisteminde süreksizlik koşulu faktörü
CD	: SSPC yönteminde süreksizlik koşulu
c <sub>m</sub>	: Kaya kütlesi kohezyonu (MPa)
CSRM	: Çin Şev Kütle Puanı
CUMR	: M-RMR sistemimde Düzeltilmiş Kütle Puanı
ÇN	: Çift Nikol
F:	: Ayrılmamış kaya malzemesi/kaya kütlesi
F <sub>1</sub>	: SMR sisteminde şev düzlemi ile süreksizlik düzlemi arasındaki paralelliği ifade eden çarpan
F <sub>2</sub>	: SMR sisteminde süreksizlik yüzeyi ile ilişkilendirilmiş süreksizliğinkayma dayanımını ifade eden çarpan
F <sub>3</sub>	: SMR sisteminde şev düzlemi ile süreksizlik düzleminin eğimini ifade eden çarpan
F <sub>4</sub>	: SMR sisteminde kazı yöntemini bağlı olarak şevin örselenme durumunu ifade eden çarpan
G	: Özgül ağırlık
H ve Hşev	: Şev yüksekliği (m)
Hmax	: SSPC yönteminde şevin duraylı kalabileceği en büyük yükseklik
HW	: Yüksek derecede ayrılmış kaya malzemesi/kaya kütlesi
Id	: Suda dayanım indeksi (%)
I <sub>s(50)</sub>	: Nokta yük dayanımı (MPa)
Jap	: Süreksizlik açıklığı (mm)
JCS	: Süreksizlik yüzey malzemesinin dayanım (MPa)
Jim	: Süreksizliklerde dolgu türü ve kalınlığı (mm)
Jl	: Süreksizliğin devamlılığı (uzunluğu, m))
Jlr	: Süreksizlik yüzeyinin büyük ölçekli pürüzlülüğü

Jor	: Süreksizlik yönelimi ile şev yönelimi arasındaki ilişki
Jr	: Süreksizlik yüzeyinin pürüzlülüğü
JRC	: Süreksizlik yüzeyi pürüzlülük katsayısı
Js	: Süreksizlik ara uzaklığı
Jsi	: Süreksiliklerin görünür ara uzaklığı
Jsr	: Süreksizlik yüzeyinin küçük ölçekteki pürüzlülüğü
JTB	: Jeoteknik birim
Jv	: Hacimsel çatınlılık katsayısı (çatınlak sayısı/m <sup>3</sup> )
Jwd	: Süreksizlik yüzeyi ayırtma durumu
K	: Süreksizlik yüzeyinde kohezonsuz alan/toplam alan oranı
Kev	: MRMR sisteminde patlatma için düzeltme katsayısı
Kjor	: MRMR sisteminde süreksizlik yönelik, için düzeltme katsayısı
Kw	: MRMR sisteminde ayırtma için düzeltme katsayısı
MRMR	: Madencilik İçin Jeomekanik Sınıflandırma
M-RMR	: Yeniden Düzenlenmiş Jeomekenik Sınıflandırma
MW:	: Orta derecede ayırtmış kaya malzemesi/ kaya kütlesi
n	: Porozite (%)
N	: Örnek veya ölçüm sayısı
ne	: Efektif porozite (%)
ort, max, min	: Ölçümlerin ortalama, en büyük, en küçük değerleri
R	: Schimidt çekici geri tepme sayısı
R <sup>2</sup>	: Determinasyon katsayısı
RMi	: Kaya Kütle İndeksi
RMR	: Jeomekanik Sınıflandırma (Kaya Kütlesi Puanı)
RMRtemel	: Temel RMR puanı
RMS	: Jeomorfolojik amaçlı sınıflandırma (Kaya Kütlesi Dayanım Puanı)
RQD	: Kaya kalitesi özelliği (%)
SMR	: Şevler İçin Kaya Kütle Puanı (Şev duraylılığı için jeomekanik sınıflandırma)
SPA	: SSPC yönteminde süreksizlik ara uzaklığı faktörü
ss	: Standart sapma
ßj	: Süreksizliğin eğimi(derece)

$\beta_s$	: Şevin eğimi (derece)
$sso$	: Standart sapma oranı
SSPC	: Şev Duraylılığı Olasılık Sınıflandırması
SW	: Az ayrılmış kaya malzemesi/kaya kütlesi
TC	: SSPC sisteminde süreksizlik koşul faktörü
$u$	: Dalgalılık sayısı (%)
$\bar{x}$	: Ölçümlerin ortalama değeri
$V_b$	: Blok boyutu ( $m^3$ )
$V_{bo}$	: Üç çatı takımının birbirine dik olduğu durumda blok boyutu ( $m^3$ )
$W_c$	: Süreksizlik yüzeyi bozunma katsayısı
$W_{cm}$	: Kaya kütlesi ayrışma derecesi
WD	: Ayrışma derecesi
$W_{tc}$	: Süreksizliklerde su durumu
$\gamma_d$	: Doygun birim hacim ağırlığı ( $kN/m^3$ )
$\gamma_k$	: Kuru birim hacim ağırlığı ( $kN/m^3$ )
$\gamma_1, \gamma_2 \text{ ve } \gamma_3$	: Süreksizlik takımı arasındaki açılar
$\lambda$	: 1 m uzunluktaki ölçüm hattını kesen ortalama
$\delta$	: Süreksizlik doğrultusu ile şev in doğrultusu arasındaki açı
$\delta_l$	: Süreksizlik doğrultusu ile ölçüm hattı arasındaki açı
$\sigma_{ci}$	: Kaya malzemesi tek eksenli basınç dayanımı (MPa)
$\phi_m$	: Kaya kütlesi sürtünme açısı (derece)

## **1. GENEL BİLGİLER**

### **1.1. Giriş**

Doğu Karadeniz Bölümünde en önemli doğal afet büyük miktarlarda mal ve can kaybına yol açan kütle hareketleridir. Bu nedenle bu bölgede kütle hareketleri ile ilgili bir çok çalışma vardır. Bu çalışmalar kütle hareketleri ile ilgili önemli bir veri ve bilgi birikimi oluştursa da;

-Kaya şev duraylılığının araştırılmasında kullanılan yöntemlerin sınırlamalarından kaynaklanan sorunlar,

-Söz konusu bölgedeki kayaçların oluşumundan bu yana gelişen jeolojik süreçte kazandığı özellikler (jeolojik ve jeoteknik özellikleri ile şevin geometrisi) ve bunların değişimi ile

- Uygulamacılardan kaynaklanan sorunlar (söz konusu edilen alandaki bilgi eksikliği ve var olan bilgilerin paylaşılmaması, çalışmalardaki gözlem ve ölçümlerinin tam kaydının tutulmaması, eldeki araç, donanım ve yazılım eksikliği) nedenleriyle istenen faydalari sağlayamamıştır.

Doğu Karadeniz Bölümünde yer alan Trabzon- Gümüşhane devlet karayolundaki kazı şevlerinde gelişen kütle hareketleri ulaşımı aksatmakta, önemli can ve mal kaybına yol açabilecek durumları oluşturabilmektedir. Söz konusu yoldaki şevlerin duraylılığına yönelik ilk çalışmalar Koca (1988) ve Korkmaz (1988) tarafından, Zigana tüneli (Gümüşhane)-Maçka (Trabzon) arasında kalan kısmında, stereografik ve kinematik analizlerle yapılmıştır.

Trabzon-Gümüşhane devlet karayolunun Bekçiler Mevkii (Maçka-Trabzon)-Savaşlı Mahallesi (Torul-Gümüşhane) arasında kalan kısmında gerçekleştirilen bu çalışma başlica iki amaca dönük olarak hazırlanmıştır. Bunların ilki; Trabzon- Gümüşhane devlet karayolunun inceleme alanındaki kalan kazı şevlerinin duraylılığını incelemektir. İkincisi ise, kaya şev duraylılığı için yaygın olarak kullanılan kaya kütle sınıflandırma sistemleri irdelenerek, duraylılığının tahmininde pratikte yarar sağlayan; şevlerdeki bozulmaları tanımlayabilen, güvenilirlikle uygulanabilen, zaman ve paradan ekonomi sağlayan ve mühendislik anlamı olan sonuçlar üretebilen sınıflandırma sistem ve/veya sistemleri belirlemektir. Söz konusu bu amaçları gerçekleştirebilmek için;

- Kaya şev duraylılık analiz yöntemleri ve kaya kütle sınıflandırmalarının kaya şev duraylılığına uygulanışı ile ilgili önceki çalışmalar derlenmiş ve irdelenmiştir
- Trabzon- Gümüşhane devlet karayolunun Bekçiler Mevkii (Maçka-Trabzon)- Savaklı Mahallesi (Torul-Gümüşhane) arasında kalan kısmında seçilen kazı şevelerde tanımlanan jeoteknik birimlerin jeomekanik özellikleri belirlenmiştir. Ayrıca söz konusu jeoteknik birimler kaya kütle sınıflandırma sistemlerine göre tanımlanmıştır.
- Kaya kütle sınıflandırma sistemleri ve olasılık yöntemi kullanarak seçilen kazı şevelerin duraylılık tanımlaması yapılmıştır
- Literatürden toparlanan bulgular ve bu çalışmada elde edilen veriler birlikte değerlendirilerek kaya kütle sınıflandırma sistemlerinin kaya şev duraylılığına uygulanışındaki güçlükler ve olanaklar ortaya konulmuştur.

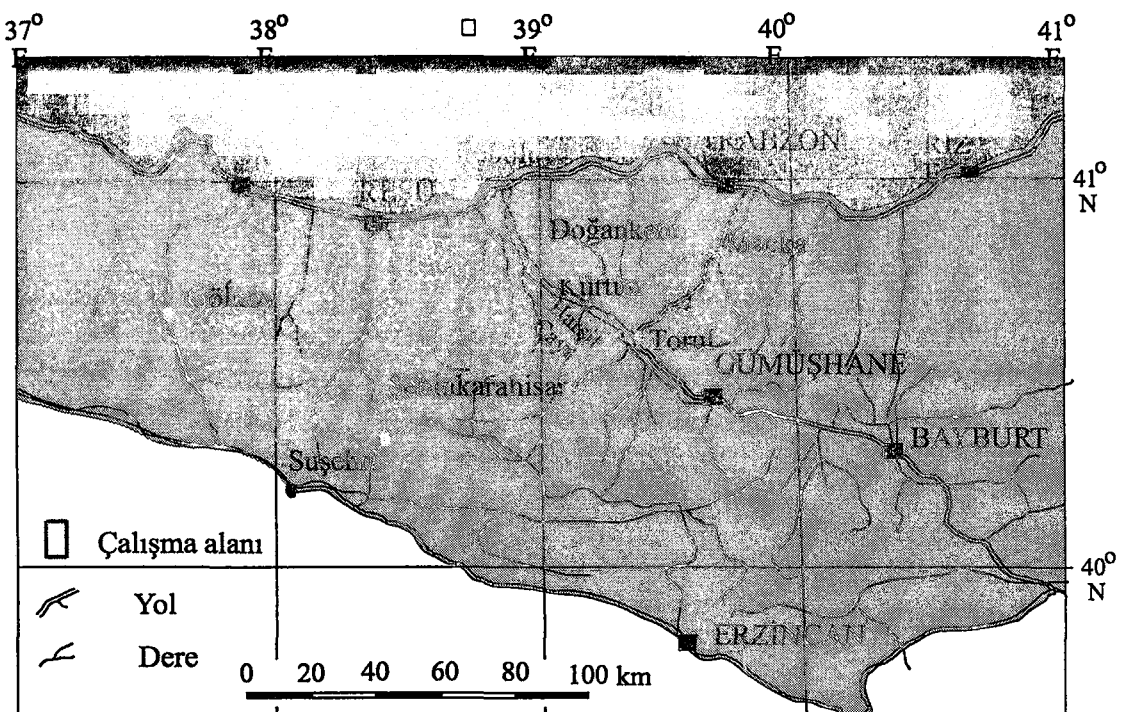
## **1.2. İnceleme Alanının Tanıtımı**

### **1.2.1. Coğrafi Durum**

Doğu Karadeniz Bölümü’nde yer alan çalışma sahası, Trabzon G42 c1 ve c2 paftalarında yaklaşık 20 km<sup>2</sup>lik bir alanı kapsar. Trabzon-Gümüşhane karayolunun Bekçiler Mevkii (Maçka-Trabzon)-Savalı Mahallesi (Torul-Gümüşhane) arasında kalan, ve Zigana Tüneli’ni de içine alan kısmını inceleme alanını kuzey doğudan güney batıya doğru kat etmektedir (Şekil 1).

### **1.2.2. Ulaşım ve Yerleşim**

Çalışma alanında ana ulaşım yeni Trabzon-Gümüşhane devlet karayolu ile sağlanmaktadır. Bu yol 1986-1990 yılları arasında yapılmıştır. Eski devlet karayolu bu yolun doğusundan geçmektedir. Trabzon-Gümüşhane karayolu üzerinde Bekçiler Mevkii, Paşadüzü Yayla, Bekçiler mevkiden 3 km uzaklıkta Zigana tüneli (uzunluğu yaklaşık 1800m), Kırnobası Yayla, Mahala gözlesi ve Savaklı Mahallesi yer alır.



Şekil 1. İnceleme alanına ait yer bilduru haritası

Bu yerleşim yerlerinden sadece Bekçiler Mevki idari olarak Maçka-Trabzon'a bağlıdır. Trabzon-Gümüşhane karayolundan daha yukarı kotlarda yer alan ve oldukça dağınık ve küçük olan yerleşim yerlerine çoğunlukla stabilize, bazende patika yollarla ulaşım sağlanmaktadır. Ancak kış aylarında yoğun kar yağışı olduğu zamanlarda bu yerleşim alanlarına ulaşım sağlanamamaktadır.

### 1.2.3. Morfoloji

Çalışma sahası Doğu Karadeniz Bölümüne özgü, çok engebeli, sarp bir morfolojiye sahiptir. İnceleme alanında Zigana tünelinin KD’unda yer alan ve KD ya doğru akan Zigana Deresi, Zigana tünelinin güneyinde yer alan ve batıya doğru akan Mahala Deresi ile çalışma alanının batısındaki Savaslı Mahallesi civarında yer alan Savaslı ve Sıranlık derelerin birleşerek oluşturduğu Ayur Deresinin vadileri yer almaktadır. Vadi yamaçlarının eğimi 40 dereceden fazladır. Bu vadilerin tabanı ile birbirinden ayırdığı sırtlar ve tepelerin yükseklikleri arasında 900 m ye varan kot farkı vardır. İnceleme alanındaki en önemli yükseltiler Savalı Mahallesi'nin 600 m kuzeyindeki 2094 m rakımlı yükselti ile 2143 m rakıma sahip Zigana Dağı'dır.

#### 1.2.4. Akarsular

İnceleme alanında en önemli dereler Zigana Dere, Ayur Dere ve Mahala Dere'dir. Bunlardan sadece Zigana Dağının (ve Zigana Tünelinin) kuzeyinde, yıllık yağışın nispeten daha fazla olduğu kesimde, yer alan Zigana Dere'sinin rejimi düzenlidir. Ayur ve Mahala Dere'leri yıllık yağış miktarının daha az olduğu Zigana Dağı'nın güney kısmında yer alır. Söz konusu bu derelerin debisi yağışın az ve sıcaklığın fazla olduğu yaz aylarında çok düşmekte olup bazen bu derelerin kurudukları da gözlenmiştir.

#### 1.2.5. İklim ve Bitki Örtüsü

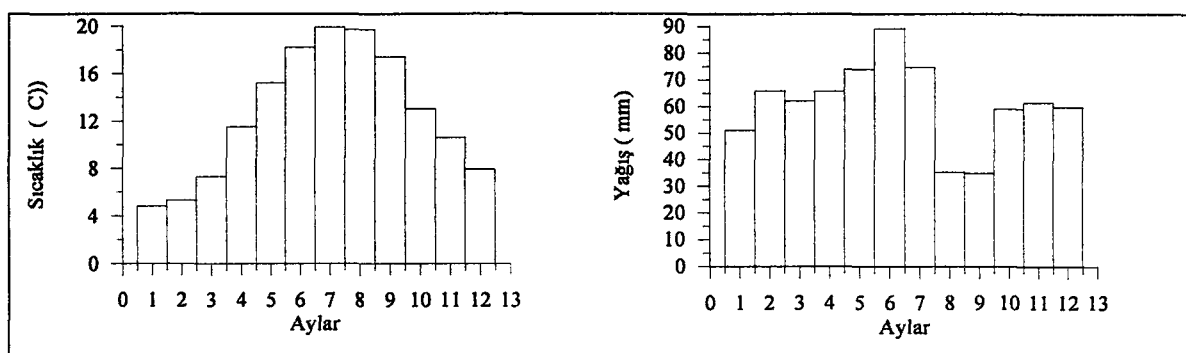
İnceleme alanında, Zigana Dağı ve buradan geçen ve Zigana Tünelinin Kuzey Doğusu ile Güney Batısı makro iklim parametreleri (yağış ve sıcaklık açısından) farklılık göstermektedir. Zigana Tünelinin KD kısmı Doğu Karadeniz Bölümü'nün sahile yakın kısımlarında olduğu gibi ılıman iklime, GB kısmı Doğu Karadeniz Bölümünün iç kısımlarında olduğu gibi karasal iklime sahiptir. İnceleme alanına en yakın meteoroloji istasyonu Maçka'da (Trabzon) bulunmaktadır. Bu nedenle Tablo 1 ve Şekil 2 de verilen iklim verileri çalışma alanının tümünü değil Zigana Tünelinin KD kısmındaki iklimi karakterize etmektedir.

Tablo 1. Maçka (Trabzon) meteoroloji istasyonu verilerine göre Zigana Tüneli (Gümüşhane)-Maçka (Trabzon) alanındaki sıcaklık ve yağış değerleri

	AYLAR												Yıllık
	1	2	3	4	5	6	7	8	9	10	11	12	
Yağış (mm)	51	65,7	62,1	65,6	73,9	89,1	74,6	35,2	34,7	58,9	61,3	59,6	731,7
Sıcaklık (°C)	4,8	5,3	7,3	11,5	15,2	18,2	19,9	19,7	17,4	13	10,6	7,9	12,6

Çalışma alanı güney doğusu (Ayur Dere vadisi ve güneyi) hariç bitki örtüsü bakımından zengin olup çoğunlukla ormanla kaplıdır. Ormanın büyük bölümünü sariçam, ladin ve gürgen ağaçları oluşturmaktadır. Arazinin morfolojik özellikleri tarımı kısıtlamıştır. Oldukça sınırlı alanlarda ve ormanın tahrif edilmiş alanlarında bahçe tarımı yapılmakta olup buralarda karalâhana, fasulye, patates, mısır ve fındık üretilmektedir. Hayvancılık önceki yıllara göre gerilemiş olsa da halen yöre halkın önemli geçim

kaynağıdır. Yüksek kesimlerde, büyük ve küçükbaş hayvanlar için meralar vardır. Yaylalar hayvan otlatımı için zengin otlaklarla kaplıdır.



Şekil 2. Maçka (Trabzon) meteoroloji istasyonu verilerine göre Zigana Tüneli (Gümüşhane)-Maçka (Trabzon) alanındaki sıcaklık ve yağış histogramları

### 1.3. Önceki Jeolojik Çalışmalar

İnceleme alanı ve yakın çevresini konu alan ve yörenin jeolojik yapısını aydınlatmaya yönelik önemli jeolojik çalışmalar aşağıda özetlenmiştir

Erguvanlı (1953) Espiye– Gümüşhane arasında kalan bölgede çalışarak, bölgenin denizaltı volkanizması ürünü olan lav, tüf, aglomera karmaşık serisinden ve bunların arasında, içinde Globotruncana fosillerinin saptandığı tortul kayaçlardan söz etmiş ve bu kayaçlara Üst Kretase yaşı vermiştir.

Gülibrahimoğlu . (1985) Zigana Dağı ve çevresinde yayılım gösteren kayaçları Üst Kretase' ye ait dasit ve bazalt ardalanmalı tortul seri olarak tanımlamıştır.

Güven (1993) yapmış olduğu çalışmada, Zigana tüneli ve civarında Üst Kretase'nin tabanda Çatak Formasyonu olarak adlandırdığı ve kumtaşı, silttaşı, marn, tüf ara katkılı bazalt-andezit ve piroklastları ile başladığını, bunun üzerine uyumlu olarak riyodasit-dasit ve piroklastardan oluşan yine Geç Kretase yaşı Kızılkaya Formasyonu' nun geldiğini belirtmiştir. Kumtaşı, marn, killi kireçtaşısı ve tüf ara katkılı bazalt-andezit ve piroklastardan oluşan Geç Kretase yaşı formasyonu Çağlayan Formasyonu olarak adlandırmıştır. Çağlayan Formasyonu Kızılkaya Formasyonu üzerine uyumlu geldiğini ve tüm bu birimlerin Geç Kretase yaşı Kaçkar Granitoyidi tarafından kesildiğini belirtmiştir.

Taslı (1984) Hamsiköy (Trabzon) yoresinin jeolojisini incelemiş ve yörede altı formasyon ayırt etmiştir. Bu çalışmada istiflenme, Liyas yaşı Güzelyayla Köyü spiliti ile başladığını, bu birimi uyumlu olarak üstleyen Dogger – Malm (Alt Kretase ?) yaşı Berdiga

Formasyonu takip ettiğini ve Üst Kretase' de yoğun bir bazaltik volkanizmanın egemen olduğunu ve yer yer türbiditik karakterli tortulaşmanın da volkanizmaya eşlik ettiğini belirtmiştir.

Yalçınalp (1992) Güzelyayla (Maçka-Trabzon) porfiri Cu-Mo cevherleşmesinin jeokimyasına ilişkin çalışmasında, yörede en yaşlı birimin diyabaz, bazalt andezit lav ve piroklastikleri, spilitleşmiş bazalt ve diyabazdan oluşan Liyas yaşlı Pontid Alt Bazik Karmaşığı olduğunu, bunun üzerine uyumlu olarak Dogger-Malm yaşlı kristalize kireçtaşından oluşan Berdiga Formasyonu'nun geldiğini belirtmektedir. Berdiga Formasyonu'nun üzerine, alta cevherli dasit üstte cevher içermeyen dasitik lav ve tüflerden oluşan Bekçiler Formasyonu uyumsuz olarak gelmektedir. Bu formasyonun üzerine alta kumtaşı, kumlu kireçtaşısı, killi kireçtaşısı, marn, biyomikrit, tuf, tüfit, lav ardalanmasından oluşan Çamlıbel Birimi ile üstte bazalt-andezit lav ve piroklastiklerinden oluşan Kiranoba Birimi'ni kapsayan Senonyien yaşlı Hamsiköy Tortul-Volkanik Karmaşığı uyumlu olarak gelmektedir. Zigana Granitoyidi ise Tersiyerde yerleşmiştir.

Koca (1988) Yüksek Lisans tezi olarak hazırladığı "Açılmakta olan Zigana Tüneli-Gürgenagaç Arası Yol Şevlerinin Duraylılığı" adlı çalışmasında Liyas yaşlı spilitleşmiş bazatlardan oluşan Güzelyayla Formasyonu'nun çalıştığı alandaki en yaşlı birim olduğunu ve bunun üzerine uyumlu olarak Dogger-Malm-Alt Kretase yaşındaki Berdiga Formasyonu'nun geldiğini ve bu formasyonun alt seviyelerinin dolomitten üst seviyelerinin kalın katmanlı kireçtaşından olduğunu belirtmektedir. Berdiga Formasyonu üzerine Üst Kretase yaşlı Hamsiköy Formasyonu uyumsuz olarak gelmektedir. Hamsiköy Formasyonu iki üyeye ayrılmıştır. Bunlar; alta killi kireçtaşısı, kumtaşı, bazaltik tuf ve spilitik bazalttan oluşan Çamlıbey Üyesi, üstte bazaltik lav tuf aglomeradan oluşan Kiranoba Üyesi'dir. Hamsiköy Formasyonu üzerinde Kampaniyen yaşlı biyomikrit merceklerini içeren Dikkaya Dasiti gelmektedir. Yazara göre tüm bu birimler kuvarslı mikrodiyorit daykları tarafından kesilmiştir. Koca (1988) tezinde incelediği şevlerdeki litolojik birimlerin fiziko-mekanik özelliklerini ve her bir litolojik birim için şev tasarım egrilerini vermiştir. Bu egrileri stereografik-kinematik ve limit denge yöntemlerini kullanarak yaptığı şev duraylılık analizleri sonucundan türetmiştir.

#### **1.4. Kaya Şevleri İçin Duraylılık Analizlerine Genel Bakış**

Şev duraylılık analizi için zemin ve kaya kütle özellikleri, şevin geometrisi, zemin veya kaya kütlesinin jeoteknik davranışları ile deprem gibi dış faktörlerin bilinmesi gerekmektedir.

Şev duraylılık analizleri üniform kaya kütle özelliklerine ve üniform şev geometrisine sahip jeoteknik birimler için yapılmaktadır. Bir jeoteknik birimin tanımlanması mühendislik projesinin ekonomik veya çevresel etkisine veya tehlikesine bağlıdır (Hack, 2002). Jeoteknik birimlerin tanımlanmasındaki tüm optimizasyonlara rağmen ayrılan her jeoteknik birimde şev geometrisindeki ve kütle özelliklerinde bir değişim gözlenir. Başka bir deyişle tam olarak uniform jeoteknik birim ayırtlamak zordur. Ayrıca, kütle özelliklerindeki, şev geometrisindeki ve bunların ölçümündeki hata ve belirsizlik nedeniyle şev duraylılık analizleri ve tasarımları da belli ölçüde belirsizlik içermektedir.

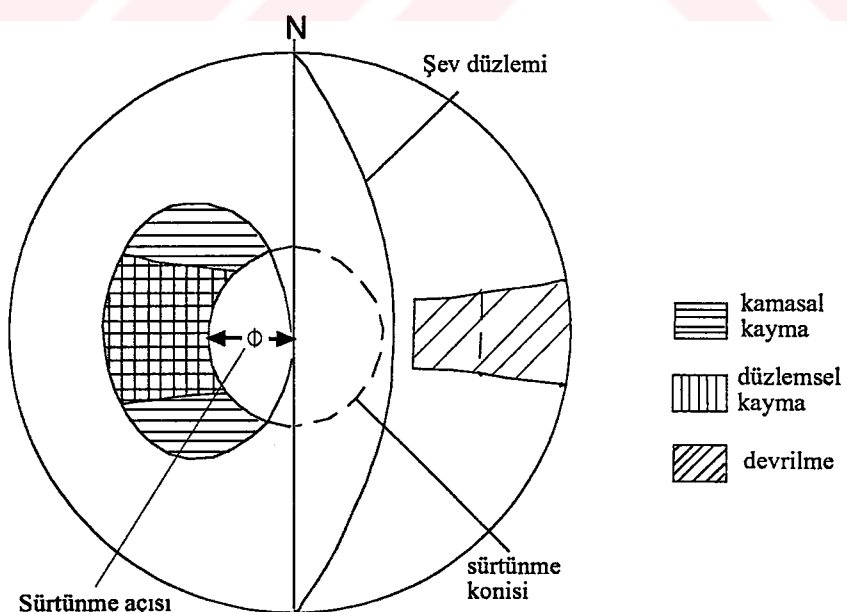
Ulusay (2001) şev duraylılığı analizlerinin başlıca amaçlarını aşağıda maddeler halinde özetlemiştir

- Yenilme mekanizmalarının belirlenmesi,
- Gerektiğinde şevin tekrar tasarımlanması ve iyileştirici önlemlerin belirlenmesi
- Dış faktörlerden (yapışma, trafik, kazı ve deprem v.b.) kaynaklanan statik ve dinamik yüklerin şev yamaç duraylılığı üzerindeki etkilerinin araştırılması
- Şev tasarım parametrelerinin belirlenmesi ve örneğin güvenlik sayısının duraylılığı etkileyen parametrelere bağlı değişiminin incelenmesi)

Kaya şevleri için duraylılık analizleri 4 grupta toplanabilir

- Konvansiyonel yöntemler (stereografik ve kinematik analizler)
- Limit denge analizleri
- Sayısal analizler (ortamı sürekli kabul eden yaklaşımalar, ortamı süreksiz kabul eden yaklaşımalar ve hibrid (melez) modeller
- Kaya mühendisliği sisteminin (Hudson, 1992) şevler için uygulaması (Etkileşim Matriksi)
- Kaya kütle sınıflandırmalarına dayanan analizler.

Stereografik ve kinematik analizler kaya şevindeki yenilmenin süreksizlikler tarafından belirlendiği durumlarda, ayrıntılı analizlere başlamadan önce şeşlerin duraylı ve duraysız olarak tanımlanması amacıyla uygulanan pratik bir yöntemdir. Bu analizlerde kayma ve devrilme türü yenilmeler incelenmekte olup veri olarak süreksizliklerin yönelimi, şev geometrisi, süreksizliklerin kayma dayanımı parametreleri kullanılmaktadır. Söz konusu analizlerde; her bloğun ayrı ve rijit olduğu, hareketin süreksizlik düzlemleri ve arakesitler üzerinde geliştiği, hareketin kayma şeklinde meydana geldiği, süreksizlik yüzeylerinde kohezyon ve içsel sürtünme bulunduğu ve kayma zarfinin doğrusal olduğu varsayılar. Sadece kritik olmayan şeşlerin ön tasarım ve tasarımda kullanılabilirliği, uygulayıcı mühendisin yargısının gerekliliğine bağlı olarak ihtiyaç duyulan tehlikeli (yenilme potansiyeli yüksek) süreksizliklerin belirlenmesi ihtiyacı, diğer önemli süreksizlik özelliklerini dikkate almadan esas olarak süreksiz yöneliklerinin değerlendirilmesi, süreksizliğin % 100 devamlı kabul edilmesi ve süreksizlik dolgusunun blokları bağlayıcı etkisi olduğu durumda dolgu malzemesinin dayanımının dikkate alınmaması bu analizlerin sınırlamalarını oluşturmaktadır. Kaya şev duraylığında süreksizlik-şev düzlemi kesişme zarflarının kullanımı oldukça yaygın bir yöntemdir. Bu çalışmada olası yenilme türlerinin ve sayılarının belirlenmesi için Şekil 3' de tanımlanan yenilme zarfları kullanılmıştır.



Şekil 3. Yenilme zarflarının kullanılarak kaya şevindeki olası yenilmelerin belirlenmesi (Duncan, 1992)

Limit denge koşulunu esas alan yöntemlerde, kinematik analizlerinden farklı olarak, süreksızlıkların kayma parametreleri, kayması olası bloğun geometrik özellikleri ve ağırlığı, yeraltı su koşulları, dış yükler, duraylılık için yapılan desteklemeyle oluşacak koşullar ve dinamik yükler dikkate alınmaktadır. Bu yöntemde duraylılık, hareket ettirici kuvvet ve momentlerin harekete karşı koyan uyanmış (harekete geçmiş) kuvvet ve momentlerin oranına dayanan güvenlik sayısı ile tanımlanmaktadır. Değişik yenilme türleri için değişik analiz yöntemleri ve yazılımların olması, destekleme şekli, yer altı koşulları, şev geometrisi ve malzeme özelliklerindeki değişimin güvenlik katsayısı üzerindeki etkisinin hem determinist hem de olasılık olarak incelenmesi ve bu incelemelerin 2 ve 3 boyutlu olarak yapılabilmesi limit denge koşulunu esas alan yöntemlerin uygulanabilirliğini artırmaktadır. Ancak söz konusu bu yöntemlerde; güvenlik katsayısının duraysızlığın tam bir göstergesini olarak ele alınması, analizlerin birçok varsayıma ihtiyaç duyması, deformasyonları ve kaya malzemesindeki yenilmeleri hesaba katılmaması, kalıcı gerilmeler dikkate alınmaması ve istatistik yöntemlerle gerçekçi bir değerlendirme yapabilmek için çok iyi tanımlanmış (ve elde edilmiş) verilere ihtiyaç duyulması söz konusu yöntemlerin uygulamalarında önemli güçlükler oluşturmaktadır.

Kaya şevinin geometrisi, blok geometrisi, malzeme ve kütlenin anizotrop oluşu, yeraltı suyu koşulları, lineer olmayan davranış özellikleri ve kalıcı gerilmeler ile çeşitli birleşik (birbirini etkileyen) süreçlerin varlığı (örneğin; su basıncı ve dinamik yükler) nedeniyle kaya şev duraylılık problemleri karmaşıktır, çözümü zor bir haldedir. Söz konusu zorluğu aşmak içine kişisel bilgisayardaki ve programlama dillerindeki gelişime bağlı olarak sayısal analizler geliştirilmiş ve ileri sayısal çözümleme analizleri şev duraylılığına uygulanmıştır. Sayısal analizlerdeki yaklaşımlar başlıca 3 başlık altında toplanabilir; kaya kütle ortamını sürekli kabul eden yaklaşım kaya kütle ortamını süreksız kabul eden yaklaşım ve hibrid (melez) yaklaşım

Kaya kütle ortamını sürekli kabul eden sayısal analizlerin en iyi uygulandığı durumlar; masif kaya kütlelerinde, çok kırık kaya kütlelerinde, tamamen ayrılmış kaya kütlelerindeki şevlerin duraylılık analizleridir. Bu analizlerde veri olarak kullanılan özellikler; şev geometrisi, değişik gerilme-deformasyon ilişkileri (elastik, elastiko-plastik, krip vb.), yeraltı suyu koşulları, kalıcı gerilmeler ve kayma dayanımı parametreleridir. Tüm bu parametrelerin değişiminin duraysızlık üzerindeki etkilerinin incelenmesi bu analizlerle, kompleks modellemeler kişisel bilgisayarlarda makul bir sürede gerçekleştirilebilmekte, üç boyutlu modelleme yapılmaktadır, değişik yeraltısıyu

koşulları ve boşluksuyu basınçları modellenebilmekte ve dinamik analizler yapılabilmektedir. Ayrıca bu analizler malzemenin deformasyon ve yenilmesine izin vermektedir. Bu tür analizler için oluşturulan modellerde deformasyon ve yenilme mekanizmaları karmaşık olabilmekte ve krip şeklindeki deformasyonlar da dikkate alınabilmektedir. Ancak bu yaklaşımda, çoğu kez faylar ve tabaka düzlemleri analizlere dikkate alınması olası olsa da, bloklu kaya kütlelerinin duraylılık analizleri yapılamamaktadır. Söz konusu yaklaşımla yapılan modellemeler için gerekli giriş parametrelerinin hazır bulundurulması, elde edilmesi ve rütin ölçümleri zor, nitelikleride genellikle zayıf olup yapılan modellemenin (ve kullanılan programın) sınırlamalarını (ör: sınır koşulları, kullanılan birim elemanların boyutları, bilgisayarın bellek özelliklerini) bilme ihtiyacı vardır. Ayrıca, modellemeyi yapanın veya bu yaklaşımla analiz yapan programları kullanan kişiler iyi eğitilmeli, uzmanlaşmalı ve iyi şekilde yapılmış modellemelerde pratik yapmış olmalıdır.

Kaya kütle ortamını sürekli kabul eden sayısal analizler; kaya yamaç ve şevini rıjıt veya deform olabilecek blokların bir arada bulunduğu, mekanik anlamda sürekli bir ortam olarak ele almakta olup süreklilıklere bağlı olarak gelişen ve esas olarak sürekliliğin normal ve kesme katılımı (deform olabilirliği) tarafından kontrol edilen kaymaları konu almaktadır. Bu analizler için gerekli parametreler; şev geometrisi, kaya malzemesi yenilme kriterleri, sürekliliğin normal ve kesme katılımı (deform olabilirliği), yer altı suyu koşulları ve kalıcı gerilmelerdir. Söz konusu yaklaşımla oluşturulan modellerle blok deformasyonu ve blokların diğer bloklara göre yer değiştirmesi hesaplanabilmekte, değişik hidro-mekanik ve dinamik koşullar altında kaya malzemesi ve sürekliliğin birlikte davranış şekli ve mekanizması incelenabilmekte ve parametrelerin değişiminin duraysızlık üzerindeki etkisi hesaplanabilmektedir. Genel olarak, kaya kütle ortamını sürekli kabul eden sayısal analizler için yukarıda verilen sınırlamalar burada da geçerlidir. Kaya kütle ortamını sürekli kabul eden sayısal analizlerle modellerin oluşturulabilmesi için süreklilıkların jeoteknik (ara uzaklık, devamlılık vb.) özellikleri yeterli nitelikte bilinmelidir. Ancak bu yeterli nicelikte ve nitelikte elde edilmesi her zaman mümkün olmamaktadır. Ayrıca, modellemelerde ölçek etkisi bilinmelidir.

Hibrid (melez) sayısal analizleri son zamanlarda giderek artan şekilde kaya şev duraylılık analizlerinde kullanılmaktadır. Bu yaklaşım esas alınan analizlerde limit denge yaklaşımı, özellikle gerilme dağılımı ve su akışının hesaplanması için sonlu element yöntemi ile birleştirilmiştir. Bu yaklaşım özellikle yüksek yeraltısuyu basınçları altında

bulunan zayıf kaya kütlelerinin duraylılığının araştırılmasında kullanılmaktadır. Bu tür analizlerde, şev geometrisi, kaya malzemesi için değişik gerilme-deformasyon ilişkileri (elastik, elastiko-plastik, krip vb.), süreksızlığın normal ve kesme katılımı (deforme olabilirliği), kalıcı gerilmeler ve yeraltısı su koşulları girdi parametresi olarak kullanılmaktadır. Hibrid (melez) sayısal analizlerde kullanılan sonlu elementler ve ayrik elemanlar yöntemiyle yeni kırıkların oluşumu ve yayılması ile kırıklı ve tabakalı kaya kütlelerinin parçalanması için benzeşim modellemesi yapılmaktadır. Ancak, karmaşık problemlerin çözümü için yazılan programlardan verim alınabilmesi için çok büyük bellek miktarına ihtiyaç vardır. Ayrıca, bu tür analizlerin kullanımı için henüz pratikte gerçekleştirilmiş çok az deneyim var

## **1.5. Kaya Kütle Sınıflamalarının Kaya Şev Duraylılığına Uygulanışı**

### **1.5.1. Kaya Şev Duraylılığında Kullanılan Kaya Kütle Sınıflandırmaları**

Kaya kütle sınıflandırmaları 1946'dan bu yana değişik araştırmacılar tarafından geliştirilmiş ve/veya önerilmiştir. Bu sistemler, kaya mühendisliğinde tasarımın ayrılmaz bir parçası olmakla birlikte uzun yıllar süren gözlemlere dayalı ve istatiksel değerlendirmeleri esas alan görgül yöntemlerdir (Ulusal ve Sönmez 2002). Kaya kütle sınıflandırmaları analitik-sayısal yöntemlerin yerini almak için geliştirilmemiş olup kaya mühendisliğinde tasarıma yardımcı olan ve ön tasarımda kullanılabilecek bir araçlardır. Söz konusu sistemlerin bu şekilde algılanması ve doğru kullanılması halinde, günümüzde birçok mühendislik projesinin tamamlanmasında başarı sağladıkları bilinmektedir (Özkan ve Ünal, 1996; Ulusal ve Sönmez 2002).

Bieniawski (1988) kaya kütle sınıflandırma sistemlerinin başlıca amaçlarını; kaya kütlesinin davranışını etkileyen önemli parametreleri tayin etmek, kaya kütesini kendi içerisinde benzer özellikler gösteren bölgelere ayırarak değişik kalitedeki kaya külesi sınıflarını belirlemek, her kaya külesi sınıfının özelliklerinin anlaşılması amacıyla esaslar oluşturmak, herhangi bir sahadaki kaya külesi koşullarıyla ilgili olarak kazanılan deneyimleri diğer sahalarda karşılaşılan koşullarla karşılaştırıp ilişki kurmak, mühendislik tasarıımı için sayısal veri tabanı ve bir kılavuz oluşturmak ve mühendisler arasında ortak temele dayalı teknik iletişimini sağlamak şeklinde belirtmektedir

Ulusay ve Sönmez (2002), kaya kütlesi sınıflandırma sistemlerinden elde edilebilecek kazanımları; en az sayıda sınıflama parametresi alınarak, toplanan verilerle saha çalışmasının kazanımlarını artırmak, tasarıma yönelik amaçlar için sayısal veri sağlamaası ve daha doğru mühendislik kararlarının alınabilmesinin ve projede daha etkin bir iletişim sağlanabilmesi şeklinde açıklamaktadır

İlk sınıflandırmalar daha çok yeraltı kazıları için geliştirilmiş, daha sonra şev duraylılığına da uygulanmıştır. Ancak bu uygulamaların güvenilir sonuç vermediği ortaya çıkışınca yeraltı kazıları için geliştirilen sınıflandırma sistemleri şevler için yeniden düzenlenmiştir. Genellikle, şevler için uygulanan sistemler yeraltı kazılar için oluşturan sınıflandırma sistemlerinin ana elemanlarını miras olarak almıştır. Bu durum bazı sistemlerde şevlerde uygulanmasının anlamlı olmadığı parametrelerin ana bileşen olarak alınmasına, bazı sistemlerde de şev duraylılığı için önemli parametrelerin gözden kaçırılmasına veya yanlış uygulanmasına neden olmuştur. Kaya şev duraylılığı tahmininde ve şev tasarımında sıkça kullanılan ve bu çalışmada da ele alınan kaya kütlesinin sınıflandırmalarının ve kullandıkları parametrelerin karşılaştırılması için aşağıda verilen çizelgeler oluşturulmuştur (Tablo 2 ve 3 )

Tablo 2. Kaya kütlesinin sınıflandırmalarında kullanılan parametreler

Kaya malzemesi dayanımı, deformasyonu ve ayırt edilebilirlik			
Yönelim (mühendislik yapısının yönelimiyle karşılaştırmak için)			
Kaya kütlesi	Süreksizlik	Kaya blok büyülüklüğü ve şekli	Süreksizlik takımı sayısı, rasgele süreksizlik sayısı Süreksizlik ara uzaklığı (her bir süreksizlik takımı için), RQD, birim alandaki çatlak izi uzunluğu Süreksizlik devamlılığı (her bir süreksizlik takımı için)
		Süreksizlik kesme direnci (süreksizlik durumu)	Süreksizlik yüzeyinin özelliklerini Yüzey malzemesi sürtünmesi Ayırışma durumu Büyük ve küçük ölçekteki pürüzlülük Yüzey malzemesi direnci ve deformasyonu Yüzeydeki erime boşlukları Dolgu malzemesi
		Ayırt edilebilirlik Kaya kütlesi dayanımı ve deformasyon özellikleri	
Mühendislik yapısı	Mühendislik yapısının geometrisi (tunnelin büyülüklüğü ve doğrultusu, şevin yüksekliği, doğrultu ve eğimi)		
Dış etkiler	Dış yükler, gerilme düzeyi, su akışı ve su basıncı, kar ve buz Kazı yöntemi		

Tablo 3. Kaya şev duraylılığına uygulanan ve bu çalışmada kullanılan kaya kütte sınıflandırma sistemleri ve kullandıkları parametreler

	RMS	RMR <sub>ss</sub>	M-RMR	MRMR	SMR	SSPC	RMi	GSi
A	Kaya malzemesi ; - basınç dayanımı -Suda dayanım	X	X	X Xdf	X	X	X	X
	Kaya kütlesi ayrışması	X	-	Xdf	-	X	-	-
Blok bütünlüğü								
-Ara uzaklık	X	X	X	X	X	X	X	X
-RQD (veya JV)	X	X	X	X	X	X	X	X
Sürektilik takımı sayısı								
-Devamlılık	X	X	X	X	X	-	X	-
-Açıklık	X	X	X	X	X	-	-	-
-Pürzülülük	X	X	X	X	X	X	X	X
-Dolgu	X	X	X	X	X	X	X	X
-Ayrışma	X	X	X	X	X	-	X	X
-Karstik boşluklar	-	-	-	-	-	-	-	-
Sürektilik takımı sayısı								
Sürektilik yüzeyi kayma direnci	-	-	-	-	-	-	X	-
C	Su durumu	X	X	Xdf	X	X	X	-
D	Sürektilik yönelimi ve şev (veya mühendislik yapısı) ile geometrik ilişkisi	X	X	-	X	X	-	-
	Kazı yöntemi (veya patlama etkisi)	-	-	-	Xdf	Xdf	Xdf	-
Ana zayıflık düzlemi varlığı	-	-	Xdf	-	-	-	-	-
Ayrışabilirlik	-	-	-	Xdf	-	Xdf	-	-
Zaman	-	-	-	Xdf	-	-	-	-
Şevin geometrisi :-Yükseklik	-	-	-	-	-	X	-	-
	-Doğrultu ve eğim	-	-	-	X	X	-	-

(A: Kaya malzemeleri; B: Sürektilik Özellikleri, C: Su durumu, D: Sürektilik yönelimi, kazı yöntemi, kaya kütte özellikleri ve şevin (veya mühendislik yapısının) geometrisi ile ilgili özellikler. X: sınıflama puannı elde dereken girdi parametresi olarak kullanılan özellikler. Xdf: düzeltme faktörü olarak kullanılan özellikler. RMS: Jeomorfolojik anach sınıflandırma, kaya kütte dayanımı (Selby, 1980; Moon 1984), RMR: Jeomekanik sınıflandırma (Bieniawski, 1989), M-RMR: yeniden düzenlenmiş jeomekanik sınıflandırma (Ünal, 1996; Gökcéoğlu ve Aksoy, 2000), MRMR: Madercilik için jeomekanik sınıflandırma (Laubscher, 1990; Haines ve Terbrugge, 1991), SMR: Şev duraylılığı için jeomekanik sınıflandırma, şevler için kaya kütte puan (Romana, 1985, 1993; Roman vd., 2003) SSPC: Şev duraylılığı olasılık sınıflandırması (Hack, 1998; Hack vd., 2003), RMi: Kaya kütte indeksi (Palström, 1996), GSI: Jeolojik dayanım indeksi (Hoek vd. 2002))

Selby (1980) tarafından önerilen ve mühendislik deneyimlerine dayanan jeomorfolojik amaçlı sınıflandırma (RMS); kaya kütlesinin, topoğrafik yüzeyi (yamaç eğimlerini) şekillendiren jeomorfolojik olaylara karşı gösterdiği dayanımı belirlemeye yönelikir. Jeomorfolojik sınıflamada kullanılan parametreler; kaya malzemesi direnci, ayırtma durumu, çatlak ara uzaklığı, açıklığı, yönelimi, devamlılığı ve yeraltı suyu durumudur. Bu parametreler, şerit metre, jeolog pusulası, Schmidt çekici gibi basit, ucuz ve taşınabilir aletlerle arazide kolay ve hızlı olarak ölçülebilmektedir. Ölçülen parametrelerin her biri puanlanarak, elde edilen toplam puana göre kaya kütlesi sınıflanmaktadır. Selby (1980) sınıflamasında, kaya malzemesi direnci ve çatlak ara uzaklığını puanlamasını Moon (1984) tarafından değiştirilerek sürekli kılınmıştır. Bu sınıflandırma daha çok doğal yamaçların jeomorfolojik olaylara karşı uzun süreli dayanımını bulmak için kullanılmaktadır. Ancak sınıflandırmada kullanılan parametrelerin ucuz, hızlı ve kolay ölçümlü nedeniyle mühendislik jeolojisi haritalarının yapımında jeoteknik birimlerin tanımlanmasında kolaylık sağlamaktadır. Ayrıca bu sınıflandırmada kullanılan parametreler diğer sınıflandırmalarda da kullanılmaktadır. Orr (1992) RMR ile RSM arasında aşağıdaki ilişkinin olduğunu belirtmektedir;

$$\text{RMR}=2,2\text{RMS}-130$$

(1)

Buradaki RMR puanı Bieniawski (1989)'deki şekliyle bulunmuştur.

Kaya şevleri duraylılığı için uygulanan kaya kütle sınıflandırmaları çoğunlukla "Jeomekanik Sınıflandırmaya (RMR)" ve bu sınıflandırmayı yeniden düzenlenmiş biçimlerine dayanır. Bu nedenle incelenen kaya kütlelerinde tanımlanan jeoteknik birimlerin sınıflandırılmasında RMR (Bieniawski, 1989) kullanılmıştır. İlk olarak Bieniawski (1973) tarafından önerilen RMR sınıflama sistemi değişik tarihlerde düzenlenerek en son şeklini 1989 yılında almıştır (Bieniawski 1974, 1976, 1979 ve 1989). Bu sınıflandırmada temel RMR değerini bulmak için kayacın tek eksenli basınç dayanımı, RQD, süreksızlık ara uzaklığı, süreksızlıkların durumu (devamlılık, pürüzlülük, dolgu, bozunma, açıklık) ve yeraltı suyu koşullarına ait puanlar toplanır. Nihai RMR değerini elde etmek için temel RMR puanına uygulanan süreksızlık yönelimi düzeltmesi yapılması gerekmektedir. Kaya şevleri için süreksızlık yönelimi ile ilgili Bieniawski (1989) verilen puanlanmanın kullanımı muğlaktır. Bu nedenle, bu çalışmada süreksızlık yönelimi için Sing ve Gahrooee (1989) tarafından önerilen, olası yenilme modeli sayısını esas alan ve

Bieniawski (1989) da olduğu gibi 0 ile -60 arasında değişen puanlar kullanılmıştır. RMR sisteminden elde edilen başlıca üç veri aşağıda verilmiştir;

- Tüm jeolojik koşulların ortaklaşa etkisini yansıtan ve kaya kütlesinin genel koşullarıyla ilgili “kaya kütlesi kalitesi”
- Yer altı kazıları için ön tasarım amacıyla kaya yükü, destek türü, desteksiz durabilme süresi, desteksiz açıklık boyutu
- RMR puanı kullanılarak kaya kütlesinin mühendislik özellikleri (kohezyon, içsel sürtünme açısı, elastisite modülü, taşıma gücü).

RMR sistemi kaya kütlesini konu edinen projelerde önemli veriler sağlamaktadır. Ancak söz konusu sistem aşağıda verilen sınırlamalara da sahiptir

- Bu sistemin kullanılmasıyla yer altı kazıları için öngörülen tasarımda zaman zaman aşırı güvenli veya güvensiz tarafta kalmaya yol açabilecek sonuç verileri elde edilmektedir (Ulusay ve Sönmez 2002)
- Sık çatlaklı kayalarda süreksızlık yöneliminin etkisi ortadan kalkmaktadır. Bu ortamlarda süreksızlık yönelimine baksızın kazılar hemen desteklenmelidir (Ulusay ve Sönmez 2002)
- Zayıf kayalarda (RMR nin 40 dan küçük olduğu, ince tabakalı ve killi kayaçlarda) suyun olumsuz etkilerini tanımlayacak bir parametre yoktur. Ünal ve Özkan (1990) RMR'yi yeniden düzenleyerek önerdikleri M-RMR sisteminde suda dağılma indeksini sınıflamaya katmışlardır.
- RMR sistemi davranış, dayanım ve deformobilite açısından çok farklı malzemeyi içeren kaya kütlesinin sınıflandırılmasında yetersizdir (Ulusay ve Sönmez 2002)
- RMR sisteminin kaya şevlerinde uygulanması durumunda süreksızlık yöneliminin şevin konumuna göre nasıl değerlendirileceği ve yönelim düzeltmesi puanı seçimi konusu belirsizdir. Ayrıca özellikle düşük RMR puanına sahip zayıf kaya kütlelerinde düzeltme sonucunda negatif değerler çıkılmaktadır.
- RMR sisteminin kullandığı parametrelerin uygulanmasında da sorunlar oluşabilmektedir.

M-RMR sistemi (yeniden düzenlenmiş jeomekanik sınıflandırma) kil içeren, çok kıraklı ve zayıf kaya kütleleri için RMR nin yeniden düzenlenmesi ile elde edilmiştir (Ünal ve Özkan, 1990; Ünal vd., 1992; Özkan, 1995; Ulusay vd, 1995; Ünal, 1996). M-RMR sistemi son olarak Gökçeoğlu ve Aksoy (2000) tarafından yeniden düzenlenmiş ve sadece tünelerde değil şevlerde de uygulanabileceği belirtilmiştir. Zayıf ve çok sık çatlaklı kayalarda tek eksenli basınç dayanımı deneyi için standart örneklerin alınması zordur. Bu

kayalarda nokta yükleme deneyinin de uygulanmasında, özellikle deney sırasında konik uçların örneğe batmasından dolayı zorluklar vardır. Bu güçlükleri aşabilmek için Gökçeoğlu ve Aksoy (2000) kaya malzemesi dayanımının disk makaslama indeksinin (BPI) kullanılmasını önermektedir. M-RMR sisteminin uygulanması için gerekli süreksizlik özelliklerini (ara uzaklığı, açıklığı ve dolgu durumu, yüzey pürüzlülüğü) ISRM (1981)'e göre tanımlanmıştır. M-RMR sisteminde süreksizlik yüzeyi ayırtması puanlaması için kullanılan bir diğer yöntem süreksizlik yüzeyinde ölçülen Schmidt çekici geri tepme sayısının sağlam kaya malzemesinde ölçülene oranını gösteren "Ayırışma Katsayısı (Wc)"ndan yararlanmaktadır. RMR sınıflamasında suyun kil içeren ve zayıf kaya kütleleri üzerindeki bozucu etkisi dikkate alınmamıştır. Bu nedenle M-RMR sisteminde (Ünal ve Özkan, 1990). ISRM (1979) suda dayanım indeksini bulmak için iki çevrim sonucunda elde edilen verileri kullanmışlardır. Gökçeoğlu ve Aksoy (2000), iki çevrim ile bulunan Id'nin söz konusu kayaların üzerindeki ıslanma-kuruma etkisini belirlemek için yeterli olmadığını ifade eden çalışmaları (Ulusay vd, 1995b; Gökçeoğlu 1997) dikkate almışlar ve M-RMR sisteminde suyun bozucu etkisi için kullanılacak Id değerinin 6 çevrim sonucu elde edilmesi gerektiğini belirtmişlerdir. Çok sık aralıklı ve gelişigüzel süreksizlikler içeren kayalarda süreksizlik yönelimi etkisinin ortadan kalkması ve malzemenin ufak bloklar ve/veya parçalar halinde açılan kazı boşluğununa doğru hareket etme eğilimine sahip olması nedeniyle açılan kazı boşluğunun süreksizlik yönelimine bakılmadan hemen desteklenmesi gerekmektedir. Bu durumu dikkate alan Ünal ve Özkan (1990) çok sık aralıklı kaya ortamları için güncel RMR sisteminin süreksizlik yönelimi düzeltmesinin bir sınırlamaya sahip olduğunu belirterek süreksizlik yönelimi düzeltmesini sağlam karot veriminden yararlanarak belirlemeyi önermişlerdir. Gökçeoğlu ve Aksoy (2000) diğer sistemlerde olduğu gibi yeniden düzenledikleri M-RMR için aşağıda verilen noktalara dikkat çekmişlerdir

- Yeniden düzenlenmiş M-RMR sistemi Hoek-Brown yenilme ölçütü için veri elde etmek için kullanılmak istendiğinde sistemin uygulandığı kaya kütlesi bir tanesi eğimli olması şartıyla en az 3 süreksiz takımı içermelidir

- M-RMR nin en son düzenlenmesi şevlerde çalışılarak yapılmıştır. Bu nedenle yeniden düzenlenmiş M-RMR sistemi sadece tüfler için kullanılmamalıdır. Bu sistem değişik şevler için de değerlendirilmelidir

- Kaya kütle sınıflandırmaları sadece ön dizayn çalışmaları için yapılmaktadır

Laubscher (1975, 1977, 1984, 1990 ve 2000) tarafından yeraltı kazısının yapıldığı kaya kütlesinin davranışının değerlendirilmesi için geliştirilen MRMR (Madencilik için kaya kütle puanlaması) Bieniawski (1973)'in oluşturduğu RMR sistemini esas almıştır. Bu sınıflama için RMR sistemi ayıurma, gerilme durumu, süreksızlık yönelimi ve kazı etkisine göre yeniden düzenlenmiştir. Yeraltı kazaları (özellikle madencilik için) geliştirilen MRMR sistemi kaya şev duraylılığı ve tasarımlı için de kullanılmaktadır. (Haines ve Terbrugge, 1991; Duran ve Douglas, 1999, 2000; Bye ve Bell, 2001; Douglas 2002). MRMR sisteminde kullanılan jeolojik parametreler; kaya malzemesi dayanımı, RQD, süreksızlık ara uzaklığı ve süreksızlık yüzey durumudur. Bu sistemde suyun etkisi süreksızlık yüzey durumu (büyük ölçekli pürüzlülük, küçük ölçekli pürüzlülük, ayıurma ve dolgu durumu) ile birlikte değerlendirilmiştir. MRMR sisteminde, sınıflandırma için tanımlanmış zonların (jeoteknik birimlerin) kaya malzeme dayanımı zayıf ve dayanıklı kaya malzemesinin varlığından etkilendiği düşünüldüğünden farklı dayanıma sahip kaya malzemenin oranı dikkate alınmaktadır. Bu sınıflamada kaya malzemesi dayanımı en fazla % 20 puana, RQD en fazla %15, süreksızlık ara uzaklığı ise en fazla % 25 puana sahiptir. RQD ve süreksızlık ara uzaklığı yerine süreksızlık sıklığı (1 m. deki süreksızlık sayısı) kullanılabilmekte olup süreksızlık sıklığının puanı en fazla %40 tır.

Romana (1985, 1993, 1995, 2003 ) tarafından kaya şevelerinin duraylılık açısından sınıflandırılması için önerilen SMR sistemi Bieniawski (1976,1989) tarafından önerilmiş jeomekanik sınıflandırmadan (RMR) elde edilmiştir. Bu yöntemde temel RMR puanına süreksızlık kesme direncinin, şev düzlemi ile süreksızlık düzlemi arasındaki paralellliğin ve süreksızlık düzleminin şev düzlemini kesip kesmediğinin ifadesi olan düzeltme faktörleri ile kazı yöntemine bağlı olarak örselenmeyi ifade eden faktör eklenmiştir.

Günümüzde SMR sistemi yaygın olarak kullanılmaktadır (Ceryan ve Korkmaz. 2003; Romana vd. 2003). Romana vd. (2003) SMR'nin kullanımının 3 değişik şekli olduğunu belirtmektedirler. Bunlar;

- bir jeomekanik sınıflandırma,
- genel olarak doğal yamaçlarda yenilme riskinin bir göstergesi ve
- şev tasarım çalışmalarında tamamlayıcı bir yöntem olmasıdır

Çoğu araştırmacının SMR nin kullanımı konusunda üzerinde birleşikleri noktalar aşağıda verilmiştir (Romana vd. 2003)

- SMR sınıflandırması bir miktar tutucudur (güvenli tarafta kalma eğilimindedir)

-Bieniawski (1989) tarafından önerilen süreksizlik yönelimi düzeltilmesi değerlerinin (-50 ve -60) kullanımı zordur

- SMR'nin öngördüğü yenilme türleri arazide de gözlenen yenilme türleridir.

-Kazı yöntemi ilgi faktörün sisteme katımasının önemi doğrulanmıştır

-Topukta veya şev üzerinde yamaç molozu ve kaya parçaları döküntülerinin olduğu şevleri sınıflandırmak zordur

-SMR sistemi şev yüksekliğini dikkate almamaktadır

- Zemin gibi davranışan ve bazı yumuşak kayalardaki yamaçlar için SMR yanlış sonuçlar verebilir. Bu tür yamaçlarda kütlesel yenilme meydana gelmekte olmasına karşın SMR puanı süreksizlik özelliklerini esas almaktadır.

Romana vd. (2003) Valancia (İspanya) yakınlarında yükseklikleri 10-65m arasında değişen ve çalışılmadan birkaç ay ile 100 yıldan fazla bir zaman önce açılan kara yolu ve demiryolu şevlerini incelemiştir. Yazarlar her bir şev için SMR puanını ve arazideki güncel durumlarını karşılaştırmışlar ve bu karşılaştırma sonucunda da SMR sisteminin büyük güvenilirlikle şevin arazideki güncel durumunu yansittığını bulmuşlardır.

SSPC (şev durayılılığı olasılık sınıflandırma) sistemi Hack (1997, 1998) tarafından kaya kütelerinin sınıflandırılması, yamaçların duraysızlığının değerlendirilmesi ve kaya kütelerinde açılan veya açılacak kazı şevlerindeki yenilme olasılığının belirlenmesinde kullanılmaktadır (Hack 1997, 1998, Lindsay vd., 2000 ve 2001; Hack vd., 2003). Bu yöntem jeolojik parametrelerin ölçülmesine ve oluşan yenilme türlerinin olasılık analizlerine dayanmaktadır. SSPC sistemi aşağıda verilen 3 ana özelliğe sahiptir

1-Şev durayılık olasılığı üç adımda hesaplanır (Şekil 4)

İlk adımda, “yüzeylenmiş kaya kütlesinin (ERM)” karakteristikleri ölçülür. Bu karakteristikler; a-) malzeme özellikleri;; dayanım ve ayırmaya karşı duyarlılık, b-) süreksizliklerin yönelimleri (doğrultu ve eğimleri), takım veya gelişigüzel (tek) olarak bulunması ve c-) süreksizliklerin özellikleri; pürüzlülük, dolgu durumu, yüzeydeki çözünme durumudur.

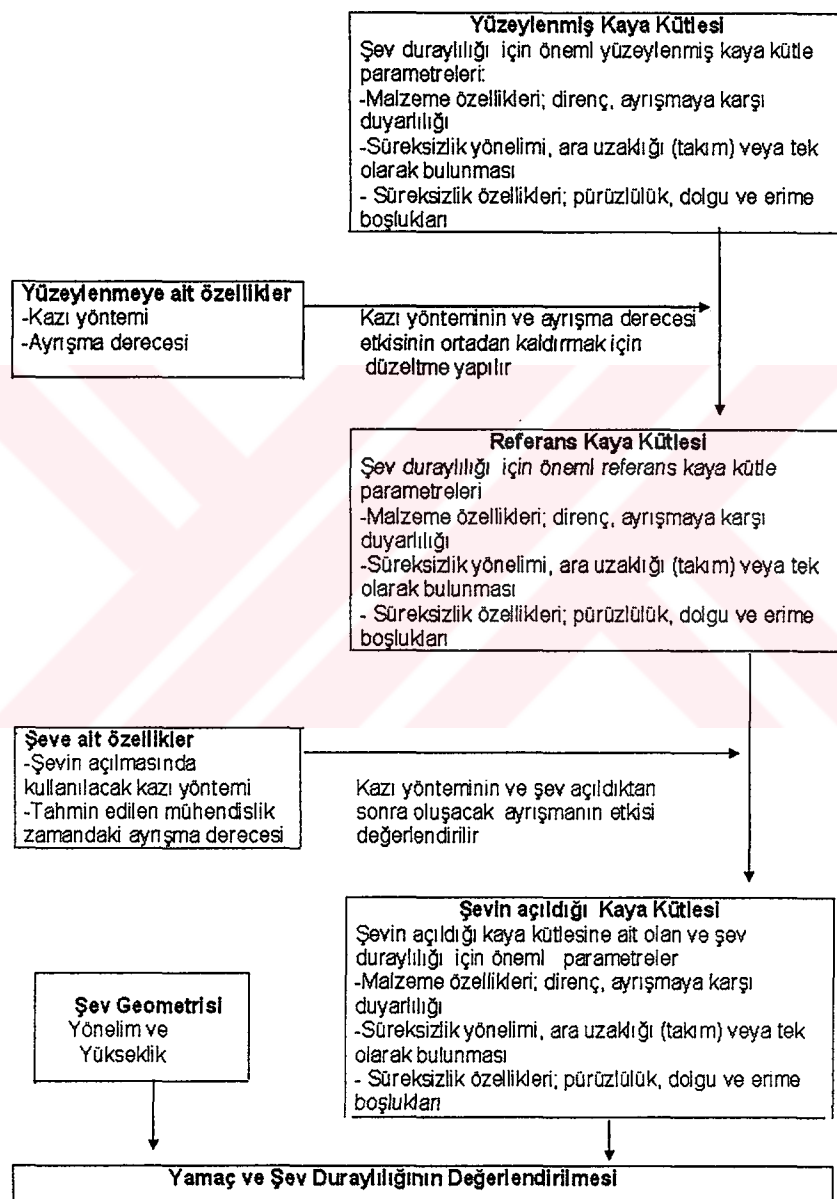
İkinci adımda, ERM karakteristiklerinden faydalananarak “referans kaya kütlesini (RRM)” oluşturmaktır. Bunun için ERM de ölçülen parametre değerleri yüzeylenmedeki yersel faktörler; örselenme ve ayırmaya durumu kullanılarak düzeltılır. Bu şekilde elde edilen RRM ayırmamış, herhangi bir nedenle örselenmemiş kaya kütlesini ifade eder.

Üçüncü adımda ise RRM karakteristikleri durayılık değerlendirilmesi yapılacak şevdeki kaya kütle (SRM) karakteristiklerine dönüştürülür.

Bu çalışma açılmış yol kazısı şevlerinde yapıldığından söz konusu dönüştürmeler gerekmektedir. Başka bir deyişle bu çalışmada karakteristikleri ölçülen kaya kütlesi (ERM) ile duraylılığı araştırılan kaya kütlesi (SRM) aynıdır.

2-Tek bir puan vermek yerine farklı yenilme mekanizmalarının meydana gelme olasılığını belirtmek yoluyla duraylılık değerlendirmesi.

3- Arazide basit ve belirli veri toplamak.



Şekil 4. SSPC sisteminde şev duraylılığını değerlendirmek için oluşturulan 3 adımlı yaklaşımı (Hack vd. 2003)

SSPC sisteminde çıktı olarak iki ayrı bileşen vardır. Birincisi RMR, MRMR ve Hoek-Brown yenilme ölçütünde olduğu gibi kaya kütleyici, kohezyonu ve sürtünme açısındandır. Bu duraylılık analizinin sonuç bileşenlerinden ikincisi, şev düzenlenmesinde kullanılan belli bir şev açısına göre en büyük şev yüksekliğini de içeren duraylılığın olasılık olarak değerlendirilmesi ve yönelime bağımlı ve yönelime bağımlı olmayan duraylılığın kinematik ve olasılık olarak değerlendirilmesidir.

### 1.5.2. Kaya Kütle Sınıflandırmaları İle Kaya Şevlerinin Tasarımı

Kaya kütleye sınıflandırmalarının kaya şev tasarımda kullanılmasıyla ilgili olan ve literatürde yaygın olarak konu edilen çalışmalar aşağıda özetlenmiştir.

RMR sisteminin ilk defa şev duraylılığına uygulanması Laubscher (1975, 1977) tarafından yapılmıştır. Laubscher (1977) tarafından önerilen MRMR (madencilik için jeomekanik sınıflama) sisteminin değişik şekilleri kazı şevlerinin duraylılığını tahmininde yaygın uygulama alanı bulmuştur (Tablo 9). Laubscher (1977)  $45^0$  şev açısında  $MRMR = 12$  değerinde yenilmiş şev örneğinden bahseder. Ancak Tablo 4'deki değerlerine göre bu değer için duraylı şev açısı  $35^0$  dir

Tablo 4. MRMR sınıflarına bağlı şev açıları (Laubscher, 1977)

Sınıflar sınıflar	1	2	3	4	5
MRMR puanı	0-20	21-40	41-60	61-80	81-100
Duraylı Şev açısı( $^0$ )	75	65	55	45	35

Steffen (1976) RMR sistemiyle elde edilen ortalama kohezyon ve içsel sürtünme açısını kullanarak  $35^0$  şevin duraylılığını incelemiştir ve bu incelemenin sonucunda RMR sınıflandırmasının şev duraylılık çalışmalarında ön değerlendirme aracı olarak kullanılabilir olduğunu belirtmiştir.

McMahon (1976) kaya kütleyelerini benzer gruptara ayırmış ve şev yüksekliği ( $H$ ) ile şev uzunluğu ( $L$ ) arasında aşağıdaki ilişkiyi vermiştir (log-log grafiği ).

$$H = aL^b \quad (2)$$

$$L = H / \tan(\beta s) \quad (3)$$

Yukarıdaki bağıntılardaki  $\beta_s$ , şev açısı (derece), a ve b ise kaya türüne ve yapısına bağlı katsayılardır (Tablo 5).

Tablo 5. McMahon (1976)'nın şev yüksekliği ile şev eğimi ilişkisi için parametreler

Kaya kütlesi tipi	a	b
Biraz kırık masif granit	139	0.28
Yatay tabakalı kumtaşı	85	0.42
Sağlam fakat kırık granit ve gnesis	45	0.47
Kısmen kırık altere olmuş kristalin kayaçlar	16	0.58
Şişmeyen ve dayanıklı killi şist	8.5	0.62
Şişme özelliği gösteren killi şist	2.4	0.75

Hoek ve Bray (1981) madenler, taşocakları, baraj temelleri kazılarından ve demiryolu yarmalarındaki sağlam kayaçlarda açılmış duraylı, duraysız şevlerden elde ettiği verileri şev performans eğrisini elde etmek için kullanmıştır (Şekil 5). Bu verilerden elde edilen eğri sağlam kayaçlarda başarıyla kazılmış en yüksek ve en sarp şevleri temsil eden bir eğridir.

Hall (1985) Güney Afrikada'ki demir yolları güzargahında duraylı şev açısını bulmak için yaptığı çalışmada, kırık kaya kütelerinde şev açısı ve RMR değerleri arasında aşağıdaki ilişkinin varlığını öne sürmüştür

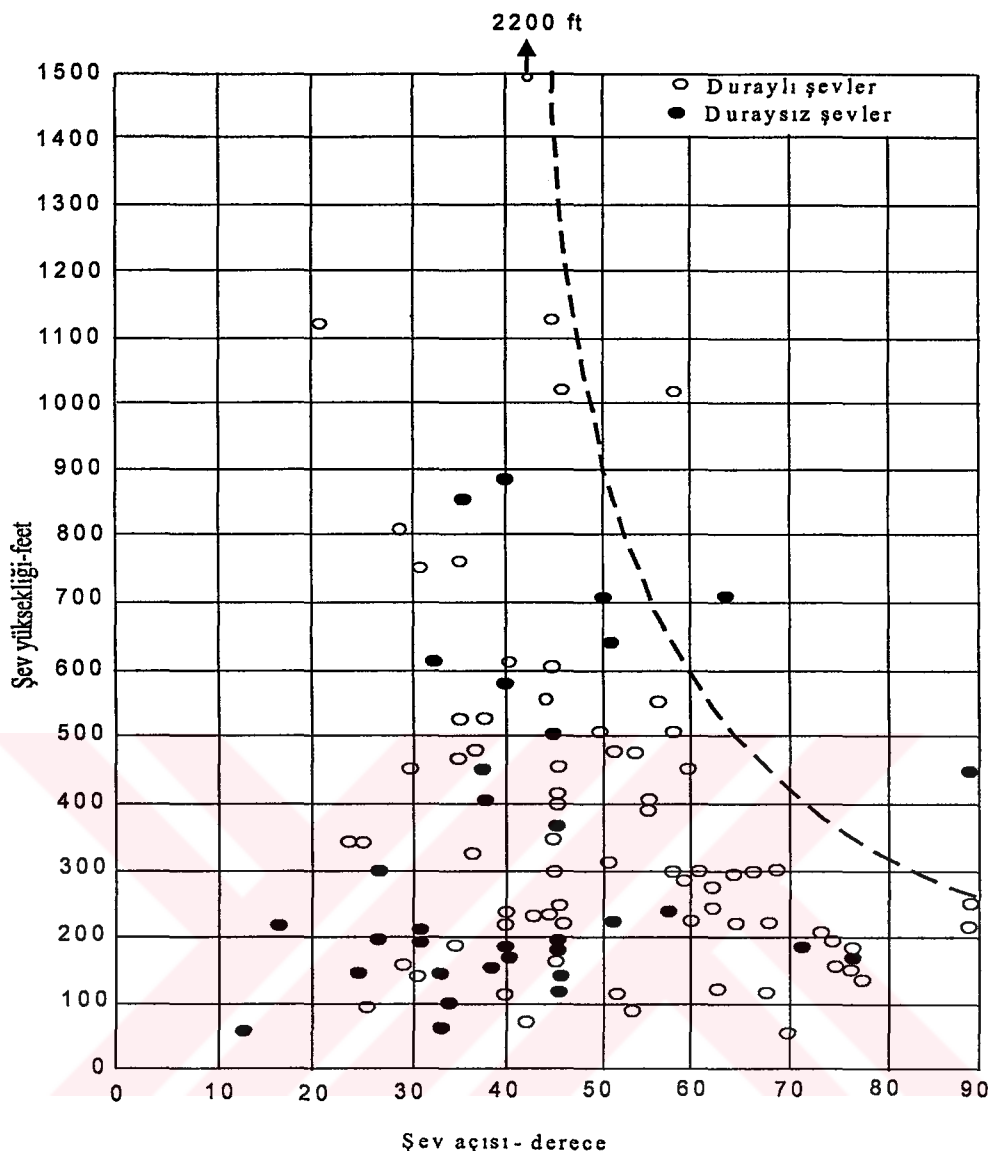
$$\text{Şev açısı} = 0,65 \text{ RMR} + 25 \quad (4)$$

Burada şev yüksekliği  $<20 \text{ m}$  ve  $\text{RMR}>20$  dir (Orr, 1992).

Abrahams ve Parsons (1987) Selby (1980) 'nin RMS verileri ile bir istatistik analiz gerçekleştirmiştir ve aşağıdaki ilişkiyi vermiştir.

$$\text{Duraylı şev açısı (derece)} = 2.61\text{RMS} - 141.072 \quad (5)$$

Bu ilişki kurulurken kullanılan RMS değerleri dar bir yayılımına sahiptir (yaklaşık olarak 55'den 90'a kadar) ve şev açıları RMS verileri ile yaklaşık olarak  $5^0$  den  $90^0$  ye kadar eşit aralıklarda tahmin edilmiştir. Selby (1980)'nin verilerine en uygun doğru çok zayıf kaya kütlesi ( $\text{RMS}=25$ ) için  $74^0$  lik şev açısını belirtir. Bu ifade anlamlı değildir ve bu açıklama zayıf ve çok zayıf kaya kütelerindeki ( $\text{RMS}<40$ ) veri eksikliğine bağlanmaktadır.

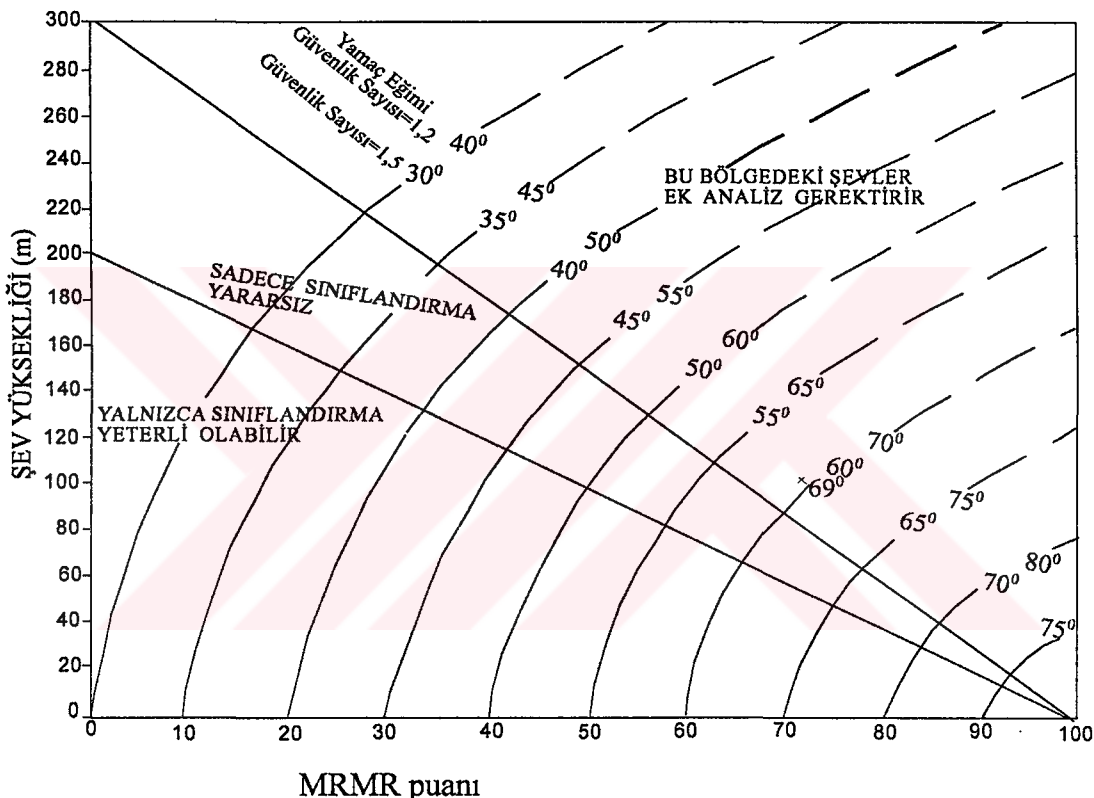


Şekil 5. Hoek ve Bray (1981) sağlam kayaçlar için bulduğu şev yüksekliği- şev açısı ilişkisi

Robertson (1988)  $RMR > 40$  olduğunda şev duraylılığının süreksizliklerin yönelikine ve kayma dayanımına bağlı olduğunu göstermiştir. Yazar,  $RMR < 30$  olduğunda, zayıf kaya kütelerinde yenilmenin herhangi bir yönelikde kaya kütlesinden geçerek meydana gelebildiğinin belirtmektedir. Robertson(1988) zayıf kaya küteleri için önerdiği değişiklikler ve kayma dayanımı parametrelerini yalnızca iki şev için uygulamış genel değerlendirme için yeteri veri vermemiştir.

Haines ve Terbrugge (1991) şev dizayn metodunu oluştururken Laubscher (1977 ve 1990) tarafından sunulan şekliyle MRMR sistemini esas almışlardır (Şekil 6).

Haines ve Terbrugge (1991) şev tasarım eğrilerini geliştirmek için Laubscher (1977 ve 1990) tarafından önerilen MRMR sistemini esas almışlar ve önceki çalışmaların verilerini kullanmışlardır (Şekil 6) Söz konusu bu çalışmaların bir kısmının henüz açılmamış şevlerin fizibilitesi ile ilgiliidir. Yazalar, şev tasarım grafiğinin üç zona ayırmışlardır; 1. zonda yalnızca sınıflandırma yeterli olabilir, 2. zona düşen şevlerin durayılığını yalnızca sınıflandırmaya yorumlamak çok az yeterli (marjinal durum) olmaktadır, 3. zona düşen şevler için ise ek analiz gerekmektedir.



Şekil 6. Haines ve Terbrugge (1991) şev tasarım eğrileri

Duran ve Douglas (2000) yukarıda verilen şev tasarım eğrilerinin üç özelliğine dikkate çekmektedirler. Birincisi, veriler sunulan tasarım eğrilerinin geçerliliğini belirtmez. Dikey tasarım çizgileri şev yüksekliğinden bağımsız olarak eşit olarak ayrılmıştır. Bu durum Laubscher (1977) tarafından sunulduğu gibi MRMR'nin açık maden şevleri için kullanımına uygun olarak ortaya çıkmıştır. İkincisi, yorumlanmış tasarım eğrilerinin ayrimı geçerli görünmez. Eğriler şekil olarak kabaca konkav ve yaklaşık olarak 100 metre yüksekliğe kadar şevler için yaklaşık doğrusal olarak görülmektedir. Değişik araştırmacılar şev yüksekliği-şev eğimi ilişkisini gösteren tasarım eğrilerinin konkav olmasında

uygunluk olduğunu gösterir. Üçüncü olarak, Haines ve Terbrugge (1991) tarafından sunulan egriler yüksek derecede tutucu olarak davranışıldığı (güvenli tarafta kalmaya özen gösterildiği) yol yarmaları ile ilgilidir. Bu şekilde oluşturulan şev tasarım egrileri büyük ölçüde tutucu (güvenli tarafta kalmaya uygun) özellik kazanmıştır.

Tsiambaos ve Telli (1991) kaya şevlerinde RMR ve SMR sistemini karşılaştırmak için yaptıkları çalışmada SMR'nin daha iyi tahmin yapmasına karşın RMR'nin de kireçtaşılarda yarmalarında duraylılık durumunun tahminini belli ölçüde yaptığı belirtmektedirler. Ancak yazarların incelediği kaya şevlerinin arazide gözlenen gerçek durumu, RMR ile bulunandan daha iyi olduğu ve ayrıca incelen şevlerde yapısal olarak kontrol edilen kaya düşmeleri mevcut olduğu söz konusu çalışmada yeterince vurgulanmamıştır.

Çinde yersel bir alana SMR sistemini uygulayan Chen (1995) sistemi iki yeni faktör ilave ederek yeniden düzenlemiştir. Bu faktörler; şev yüksekliği( $C_1$ ) ve süreksızlık koşulu faktörleridir ( $C_2$ ). Chen (1995) tarafından yeniden düzenlenmiş SMR, Çin şev kütle puani (CSMR) olarak bilinir ve baraj ve hidroelektrik santrallerinde şev tasarımlı yapmak için uluslararası standart haline gelmiştir (Romana vd., 2003);

$$\text{CSMR} = C_1 \times \text{RMR}_{\text{temel}} + C_2 \times (F_1 \times F_2 \times F_3) + F_4 \quad (6)$$

Chen (1995) SMR nin yüksekliği 80 m olan şevler için uygulanabilir olduğunu, diğer şevler için ise temel RMR değerinin şev yüksekliğine (H m.) bağlı olarak düzeltmesi gerektiğini açıklamaktadır. Şev yüksekliği ile ilgili düzeltme faktörü ( $C_1$ ) aşağıdaki eşitlikten bulunmaktadır;

$$C_1 = 0,57 + 34,4/H \quad (7)$$

Süreksızlık koşulu faktörü ( $C_2$ ) SMR de tanımlanan  $F_1$  ( şev düzlemi ile süreksızlık düzlemi arasındaki paralelligi ifade eden çarpan),  $F_2$  (sureksızlık yüzeyi ile ilişkilendirilmiş süreksızlığın kayma dayanımını ifade eden çarpan),  $F_3$  (şev düzlemi ile süreksızlık düzleminin eğimini ifade eden çarpan) üzerinde etkilidir ve Tablo 6'dan bulunmaktadır. CSMR sistemi  $F_4$  faktörünü (kazı yöntemini bağlı olarak şevin örselenme durumunu ifade eden çarpan) SMR ile benzer şekilde kullanmaktadır

Tablo 6. Süreksizlik koşulu faktörü (Chen, 1995)

$C_2$	Süreksizlik Koşulu
1,0	Faylar, kille dolgulu büyük (uzun) zayıflık zonları
0,8-0,9	Tabakalanma düzlemleri, dolgulu büyük ölçekli kırıklar
0,7	Kırıklar, sıkıca kenetlenmiş tabakalanma düzlemleri

Orr (1992, 1996) RMR değerlerinden yararlanılarak duraylı şev açıları tahmin edilebileceğini göstermek için Selby (1980) ve Moon ve Selby (1983) tarafından yayınlanan verilerden faydalananarak uzun süreli duraylılık açısından şev açısı (derece olarak) ve RMR değerleri arasında aşağıdaki ilişkiyi ortaya koymuştur..

$$\text{Uzun süreli duraylı şev açısı} = 35 \ln (\text{RMR}) - 71 \quad (8)$$

Yazar bu eşitlikte, RMR'nin 20-77 aralığında ve şev yüksekliğinin 50 metre kadar olduğu durumlar için kullanıldığını, daha sonraki çalışmalar ile daha değişik jeolojik şartlar ve kısa süreli duraylılık için bu ilişkinin yeniden kurulması ve test edilmesi gerektiğini söylemektedir

Ceryan (1999) Doğankent (Giresun, KD Türkiye) ve çevresinde yüzeylenen Harşit granitik kayaçlarında yaptığı çalışmalarla duraylı yamaç eğimi ile RMS arasında aşağıdaki bağıntısının olduğunu belirtmektedir.

$$\text{RMS} = 1,682 \beta s - 8,43 \quad (9)$$

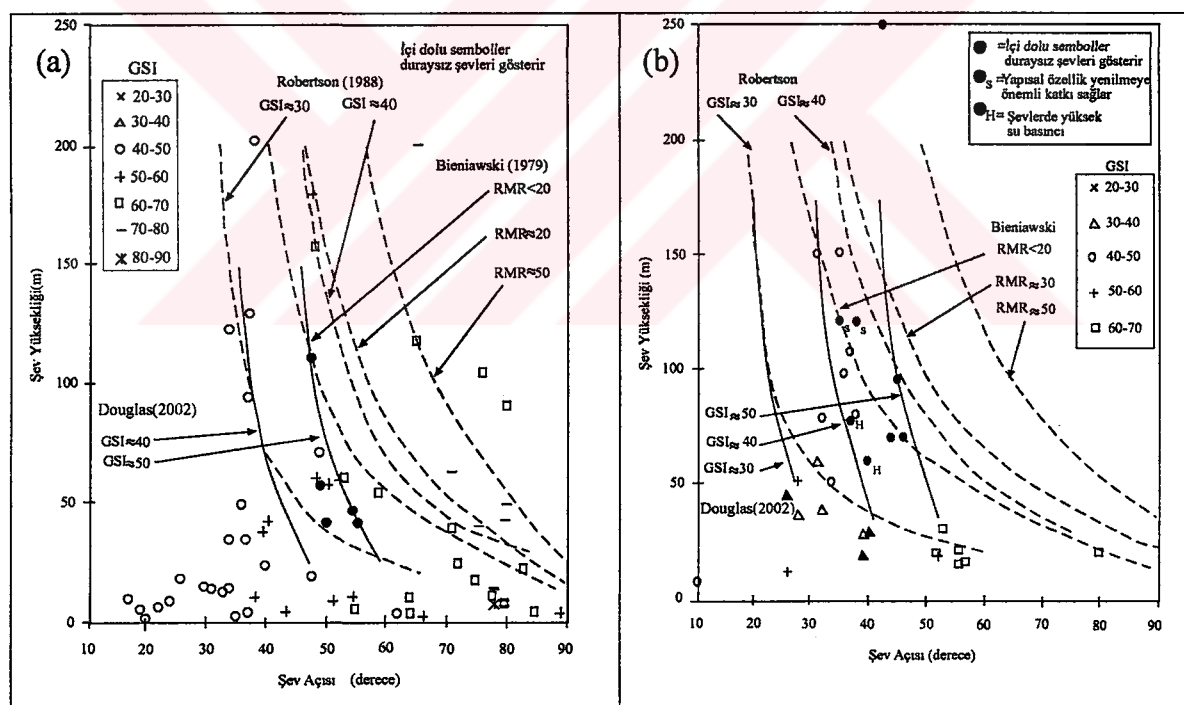
Burada yamaç eğimi ( $\beta s$ ) derece olarak verilmektedir.

Duran ve Douglas (1999) iyi veya daha iyi kaya kaliteli kaya kütlelerinde açılan şevlerde hiçbir kaya kütle yenilmesi gözlenmediği görüşünü esas alarak, şev tasarım egrilerini MRMR'nin 40'dan küçük değerleri için vermişlerdir. Yazarlar, bu şev tasarım egrileri değerlendirirken, bazı duraysızlıklar kabul ettiklerini ve egrilerin 2 yıla kadar süren kısa bir sürede desteksiz kalan şevlerin analizlerine dayalı olduğunun dikkate alınması gerektiğini belirtmektedirler.

Bye and Bell (2001) Güney Afrika'daki, dünyanın en büyük Pt madeni açık işletmesinde şev duraylılığını FLAC sayısal modelleme programı ile araştırmış, litolojiyi esas alarak tanımladığı her bir jeoteknik zonda değişik MRMR değerine bağlı olarak şev tasarım egrilerini oluşturmuşlardır.

Moon (2001) yenilmelerin süreksizliklere bağlı olarak değil de kaya malzemesinden geçerek oluştuğu zayıf kaya kütelerinde şev açısı tahmini yapmak için kaya kütle sınıflandırma tekniklerinin (SMR ve RMR) kullanılabilğini belirtmektedir.

Douglas (2002) kendi çalışmalarından elde ettiği verilere ek olarak Haines ve Terbrugge (1991) ve Selby (1980) tarafından elde edilen verileri de kullanarak GSI'ye dayalı şev tasarım eğrilerini oluşturmuştur (Şekil 7). Bu eğriler şevdeki yenilmenin genellikle kaya kütlesinden geçerek meydana geldiği durumlar için verilmiştir. Yazar, şev yüksekliğine bağlı şev açısını veren tasarım eğrilerini yeraltı suyunun iki durumu (kuru ve orta derecede basınçlı) için çizmiş ve orta derecedeki su basıncı tanımı Hoek ve Bray (1981)'nin dairesel yenilme için verdiği grafiklere göre yapmıştır. Şevin kuru olması durumundaki tasarım eğrilerinin  $GSI=30$  için verilmemesi veri eksikliği için olduğu belirtilmektedir.



Şekil 7. Douglas (2002)'nin kütlesel yenilmeler için GSI'ye bağlı olarak oluşturduğu şev tasarım eğrileri ((a)'da şevler kuru, (b) ise şevde orta basınçlı su vardır)

## **2. YAPILAN ÇALIŞMALAR**

### **2.1 Giriş**

Bu çalışmada Trabzon-Gümüşhane karayolunun Bekçiler Mevkii (Maçka-Trabzon)-Savaslı Mahallesi (Torul-Gümüşhane) arasında kalan kısmında seçilen kazı şevlerinin duraylılığı kaya kütle sınıflandırmalarıyla irdelenmiş ve ayrıca olasılık olarak tanımlanmıştır. Bu çalışmayı gerçekleştirmek için çalışma alanında 1/25 000 ölçekli jeolojik harita alımı yapılmış, arazide jeoteknik birimler tanımlanmış, süreksizliklerin jeoteknik özellikleri ölçülmüş, seçilen şevlerdeki jeoteknik birimlerin kaya malzemesi fiziko-mekanik özelliklerini bulmak için arazide basit mekanik deneyler ile laboratuarda indeks ve mekanik deneyler yapılmıştır. Arazi ve laboratuarda gerçekleştirilen bu çalışmalar aşağıda özetlenmiştir.

### **2.2. Jeolojik Harita Alımı**

İnceleme alanının 1/25 000 ölçekli jeoloji haritası hazırlanmasında Yalçınalp (1992) ve Güven (1993) çalışmalarından yararlanılmıştır. Bu çalışmalarda verilen jeoloji haritaları arazide yapılan ölçüm ve gözlemler ile laboratuarda yapılan petrografik analizlere göre yeniden düzenlenmiştir.

### **2.3. Jeoteknik Birimlerin Tanımlanması**

Bu çalışmada jeoteknik birimlerin tanımlanmasında esas alınan ölçütler; şev geometrisi, litolojik özellikler, ayırtma durumu ve süreksizlik sıklığıdır. Arazide tanımlanan her jeoteknik birimde söz konusu bu özelliklerin değişiminin en az olmasına dikkat edilmiş ve bununla birlikte jeoteknik birimin geometrik boyutları ile olası yenilmenin geometrik boyutları göz önüne alınarak tanımlanmıştır (Tablo 7).

Tablo 7. Bekçiler Mevkii (Maçka-Trabzon)-Savaslı Mahallesi (Torul-Gümüşhane) arasında seçilen yol kazısı şevlerinde tanımlanan jeoteknik birimlerin özellikleri

Şev		Jeoteknik Birimin Özellikleri						Şevin Geometrisi		
No	Adı	No	Litoloji	RQD (%)	$\sigma_{ci}$ (MPa)	Jv	Ayırışma Durumu	Yükseklik (m)	Eğim Yönü	Eğim derecesi
1	gt1v4	1	dasit	98,5	133,9	5,01	Orta	14,5	215	85
2	gt4v6	2	andezit	90,7	172,2	7,57	Ayırışmamış	12,3	242	70
3	gt9v11	3	dasitik tuf	88,4	119,8	8,05	Orta	16	105	75
4	gt11v12	4	andezit	91	150,4	7,3	Ayırışmamış	12,5	180	80
		5	dasit	94	163,8	6,28	Az	13,4	184	75
5	gt12v14	6	dasit	79	114	10,8	Yüksek	12,4	180	76
		7	dasit	99,2	133	2,83	Orta	15,2	185	72
6	gt16v17	8	andezit	96,9	181,6	5,47	Ayırışmamış	4,5	190	75
		9	dasit	99	163,1	5,48	Orta	8,5	180	75
		10	andezit	99	190	4,14	Ayırışmamış	14,5	190	75
		11	dasit	97	162,5	5,47	Orta	12,5	190	75
		12	dasit	99,4	163,1	4,72	Orta	11,4	160	80
7	gt17v19	13	andezit	91	197,5	7,26	Ayırışmamış	9,5	121	73
		14	dasit	100	111,8	1,83	Orta	15,4	121	73
8	gt50v53	15	dasit	99,3	172,8	3,91	Az	16,3	317	85
		16	dasit	95,5	153	5,91	Az	16,5	335	85
		17	dasit	93	153	2,72	Orta	15	335	85
		18	prizmatik dasit	98	190,4	4,58	Ayırışmamış	18	335	85
		19	dasit	94	184,4	6,04	Ayırışmamış	22	5	87
		20	dasit-tuf	98	119,6	4	Orta	16	335	85
9	gt54v56	21	dasit	33	87,6	24,85	Yüksek	6,2	312	85
		22	prizmatik dasit	91	151	7,33	Orta	6,5	318	85
		23	dasit-tuf	99,4	117,6	2,57	Orta	18	318	85
		24	prizmatik dasit	78	151,4	11,66	Orta	12	325	85
		25	dasit-tuf	94,8	117,1	6,09	Yüksek	14	325	85
10	gt57v60	26	prizmatik dasit	93,6	145,2	6,49	Orta	6,8	333	66
		27	dasitik bres	99	98,5	4,02	Orta	11	333	66
		28	dasit	98,9	135	4,39	Orta	15	342	78
		29	prizmatik dasit	99	196,2	3,66	Ayırışmamış	12	355	85
		30	prizmatik dasit	95	134,8	5,9	Orta	8,5	355	85
		31	prizmatik dasit	88,6	107,4	8,01	Orta	6,5	355	80
11	tnl1	32	cevherli dasit	77,3	165,6	11,43	Orta	13	167	80
		33	andezit	99,9	143,5	3,03	Orta	22	167	80
		34	dasit	97,3	114,1	4,44	Yüksek	21	193	85
		35	dasit	98,7	110,6	6,65	Orta	17	193	85
		36	andezit	96,8	118,5	5,58	Az	12	190	80
		37	andezit	99,5	187	3,02	Az	10	205	75
		38	dasitik tuf	90,6	175,2	7,55	Az	7,5	205	75
		39	andezit	99	180	3,02	Orta	6	205	75
12	tnl2	40	dasit-dasitik tuf	98,3	110,4	4,71	Orta	7	155	72
		41	dasit-dasitik tuf	100	116	3,51	Orta	9,2	155	72

Tablo 7'in devamı

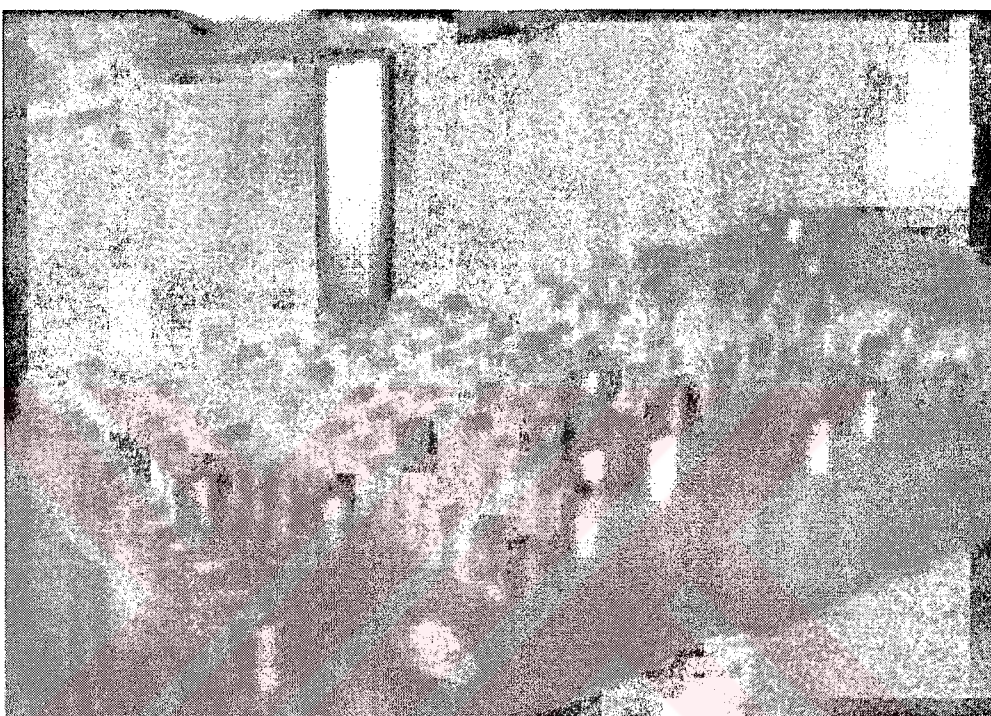
Sev		Jeoteknik Birimin Özellikleri						Sevin Geometrisi		
No	Adı	No	Litoloji	RQD (%)	$\sigma_{ci}$ (MPa)	$J_v$	Ayrışma	Yükseklik (m)	Eğim Yönü	Eğim derecesi
12	tnl2	42	dasit	98,3	185,6	4,84	Az	10,5	115	72
		43	dasit	98,5	103,7	4,97	Yüksek	11,5	115	72
		44	bazalt-aglomera	99	138	3,43	Az	14,8	155	72
		45	prizmatik dasit	94,4	131,7	6,22	Orta	13,1	155	72
		46	dasit	99,2	151,9	3,78	Yüksek	10,8	155	72
		47	andezitik aglomera	99,5	190	2,98	Yüksek	9,5	155	72
		48	dasit	98,8	142,3	3,47	Orta	6,8	155	72
		49	dasit	97,3	97,3	5,42	Az	5,3	155	72
13	tnl3	50	dasit-dasitik tuf	96,4	140,3	5,6	Orta	19	100	82
		51	andezit-andezitik tuf	99,3	100	3,5	Yüksek	15,5	100	82
		52	dasitik tuf	97,2	98,5	5,4	Yüksek	17	100	82
		53	andezitik tuf	98,4	163,4	4,27	Orta	5	100	82
		54	dasit	98,5	134,6	4,99	Orta	21	80	85
		55	dasitik tuf	75	90,5	11,99	Yüksek	20	80	85
		56	dasit	98,5	134,6	4,99	Yüksek	16,5	80	85
		57	dasit-dasitik tuf	95,8	150,9	5,83	Orta	12	80	85
14	tnl4	58	andezit-andezitik tuf	94,7	137	6,12	Orta	9,6	82	85
		59	dasit	99,2	164,7	3,69	Az	13,7	82	85
		60	dasit	84,5	119	9,26	Yüksek	18,8	82	85
		61	dasit	24	73	27,83	Yüksek	17,5	82	85
		62	andezit-andezitik tuf	96	147	5,68	Az	18,6	82	85
		63	dasitik tuf	80,8	140,7	10,11	Az	22	82	85
		64	dasitik tuf	96,2	73	5,7	Yüksek	14	82	85

## 2.4. Kaya Malzemesinin İndeks ve Dayanım Özelliklerinin Ölçümü

### 2.4.1. İndeks Özellikler

Kaya kütle sınıflamalarında ve bunların şev duraylılığı için uyarlamalarında kaya malzemesinin indeks özellikleri (fiziksel özellikler, elastik dalga hızı, suda dayanımı, ayrışma durumu, Schimidt çekici geri tepme sayısı), nokta yük dayanımı, ve tek eksenli basınç dayanımı parametre olarak kullanılmaktadır. Bu nedenle bu çalışmada incelenen kazı şevelerin açıldığı dasitik ve andezitik volkanitlerin kaya malzemesinin indeks özellikleri ve tek eksenli basınç dayanımını bulunmuş ve söz konusu bu özelliklerin ayırmayla değişimi incelenmiştir.

İncelenen volkanitlerin indeks özelliklerini araziden laboratuara getirilen blok örneklerden alınmış karotlar üzerinde gerçekleştirilmiştir (Şekil 8). Deneyler KTÜ Mühendislik Fakültesi Jeoloji Mühendisliği Bölümü Kaya Mekanığı Laboratuarında yapılmıştır. Dasitik ve andezitik volkanitlerden alınan blok örneklerin ayırmaya göre sınıflandırılmasında IAEG (1995) kullanılmıştır.



Şekil 8. Dasitik ve andezitik volkanitlerden alınan karot örnekler

Bu çalışmada, indeks özellikler kaya malzemesini tanımlamak ve kaya tek eksenli basınç dayanımını tahmin etmek için kullanılmıştır. İncelenen örneklerin indeks özelliklerin bulunması için yapılan deneylerde TSE standartları (TSE 1975, 1987, 1990) esas alınmıştır.

İncelenen karot örneklerdeki elastik boyuna dalganın yayılma hızı örnek boyunun ultrasonik dalganın örneği katediş süresine oranından bulunmuştur. Söz konusu süre ölçümü örneklerin hem doygun hem de kuru haldeki durumları için oda sıcaklığında gerçekleştirilmiştir. Genellikle ayırmış, kayaçlar, kil içeren kayaçlar ve zayıf kayaçlar için uygulanan indeks deneylerden biri olan suda dayanım deneyi, iki standart ıslanma-kuruma devrine tabi tutulan kaya örneklerinin suda dağılmaya karşı gösterdiği dayanımın beirlenmesine yönelikdir. Bu deney ilk kez Franklin ve Chandra (1972) tarafından,

çamurtaşlarının kısa süreli ıslanma-kuruma şeklindeki fiziksel etkilerle parçalanma durumunu belirlemek için geliştirilmiş olup ISRM (1979) tarafından standart hale getirilmiştir. Daha sonra, deney Lee ve Freitas (1988) tarafından ele alınarak yeniden düzenlenmiştir. Gökçeoğlu ve Aksoy (2000), iki çevrim ile bulunan suda dayanım indeksinin ( $I_d$ ) söz konusu kayaların üzerindeki ıslanma-kuruma etkisini belirlemek için yeterli olmadığını ifade eden çalışmaları (Ulusal vd., 1995; Gökçeoğlu, 1997) dikkate almışlar ve  $I_d$  değerinin 6 çevrim sonucu elde edilmesi gerektiğini belirtmişler. Bu çalışmada da incelenen volkanitlerin suda dayanım indeksi 6 çevrim sonucu elde edilmiştir.

#### **2.4.2. Schimidt Çekici Geri Tepme Sayısı**

Schimidt çekici ile okunan geri tepme sayısını etkileyen en önemli parametrelerden biri kullanılan çekiç tipi diğer ise uygulanan ölçme ve ölçüleri değerlendirme yöntemidir. Literatürde birbirinden oldukça farklı birçok ölçme ve değerlendirme yöntemleri vardır (Poole ve Farmer, 1980; Haramy ve De Marco, 1985; ISRM, 1978; Göktan ve Ayday 1993)

Göktan ve Ayday (1993), ISRM (1978) yönteminde en yüksek % 50 lik kesimin keyfi olarak seçildiğini, böylece sertliği ölçülen yüzeyde sert kısımların zayıf kısımlara ait veriler üzerinde belirgin duruma geldiğini vurgulamaktadır. Yazarlar, zayıf kısımları göz ardı edilmesinin kaya sınıflandırmada (örneğin kazı işlemlerinde) yanlış yaklaşılara yol açabileceğini söylemektedirler. Yazarlar Schimidt çekici sertliği ölçümlerinde dağılımı temsil edecek verilerin seçiminde Chauvenet ölçütünün kullanılabilceğini belirtmektedirler. Chauvenet ölçütü t dağılıminin özel bir durumudur ve bir dağılımdaki verilerden dağılım temsil edeceklerinin seçilip ortalamaya katılmasını sağlamaktadır. Chauvenet ölçütünün uygulanış şekli aşağıda verilmiştir;

- Ölçülen tüm verilerin ortalaması ve standart sapması hesaplanır
- Her bir veri için aşağıda verilen eşitlikle standart sapma oranı hesaplanır.

$$SSO = \frac{R_i - \bar{x}}{ss} \quad (10)$$

Eşitlikte,  $SSO$ : standart sapma oranı,  $R_i$ : Ölçülen geri tepme sayısı,  $\bar{x}$  = ortalama geri tepme değeri,  $ss$ : standart sapma

- Standart sapma oranının mutlak değeri Tablo 8'de verilen değerden büyük olan ölçüm değerleri ortalamaya katılmaz, atılır. Diğer ölçülerin ortalaması incelenen yüzey veya blok örnek için R yi verecektir

Bu çalışmada, Schimidt çekici sertliğinin ölçümüne başlamadan önce süreksızlıkların ve blok örneklerin yüzeyi dolgudan temizlenmiş ve yüzey aletle birlikte bulunan zımpara taşıyla düzeltilmiştir. Okumalar birbirinden en az çelik uç genişliği kadar uzakta ve süreksızlıkların 3 cm uzağında yapılmıştır. R nin elde edildiği blok örnekler havada kurutulmuş durumda, süreksızlık yüzeyleri ise doğal nem içeriğindedir. Ölçüm yapılırken alet yüzeye dik tutulmuş ve elde edilen değerler Barton ve Chubey (1977) tarafından verilen değerler yardımıyla düşey tutuş açısına göre düzeltilmiştir (Tablo 9)

**Tablo 8.** Chauvenet ölçüyü için örnek sayılarına (N) karşılık gelen en büyük standart sapma değerleri (ss)

N	ss	N	ss	N	ss	N	ss
2	1.15	7	1.80	15	2.13	50	2.58
3	1.38	8	1.86	20	2.24	100	2.81
4	1.54	9	1.91	25	2.33	250	3.09
5	1.65	10	1.96	30	2.4	500	3.29
6	1.73	12	2.04	35	2.45	1000	3.48

**Tablo 9.** Schimidt çekici geri tepme sayılarının aşağıya doğru dik olarak tutuluş durumuna göre düzeltme değerleri (Barton ve Choubey 1977)

Geri tepme sayısı (R )	Çekici aşağıya doğru tutulmuş $\alpha=-90^{\circ}$	Çekici aşağıya doğru $\alpha=-45^{\circ}$	Çekici yukarıya doğru tutulmuş $\alpha=+90^{\circ}$	Çekici yukarıya doğru $\alpha=+45^{\circ}$	Çekici yatay tutulmuş $\alpha=0^{\circ}$
10	0	-0.8	-	-	-3.2
20	0	-0.9	-8.8	-6.9	-3.4
30	0	-0.8	-7.8	--6.2	-3.1
40	0	-0.7	-6.6	-5.3	-2.7
50	0	-0.6	-5.3	-4.3	-2.2
60	0	-0.4	-4.0	-3.3	-1.7

Blok örneklerin sertliğini ve süreksızlık yüzeyinin direncini bulmak için elde edilen geri tepme sayıları Göktan ve Ayday (1993)'a göre hesaplanmıştır. Bu çalışmada Schimidt çekici sertliği ölçümü kaya malzemesini ile süreksızlık yüzeyinin ayırmaya göre sınıflandırılmasında ve tek eksenli basınç dayanımının tahmin edilmesinde kullanılmıştır.

### 2.4.3. Nokta Yükleme Deneyi

Nokta yükleme deneyi, kayaçların nokta yük dayanım indekslerine göre sınıflandırmaları ve özellikle tek eksenli basınç dayanımının tahmini amacıyla yapılmaktadır. Nokta yükleme deneyinin uygulanışı ve deney sonuçlarının değerlendirilmesi, ilk kullanıldığından bu yana büyük değişiklikler göstermiştir (ISRM 1985; Türk, 1988; Türk ve Dearman, 1984, 1985)

Bu çalışmada, Nokta yükleme deneyi için ISRM (1985) esas alınmıştır. Deney örnekleri yüzeylenmelerden alınan şekilsiz parça örnekler ve laboratuara getirilen kaya bloklarından hazırlanmış karot örnekler üzerinde gerçekleştirılmıştır. Konik uçlar arasına yerleştirilen numune, kalınlığı (konik uçlar arasındaki uzaklık, D) cetvelden okunduktan sonra, 60 sn içinde kırılacak şekilde yüklenmiştir. Kırılma anında manometreden okunan gerilme değeri 14.426 (letin piston alanı) ile çarpılarak örneği kıran yük (P) bulunmuştur. Düzeltmemiş nokta yük dayanımı aşağıdaki formül ile hesaplanmıştır;

$$I_s = \frac{P}{D_e^2} \quad (11)$$

Eşitlikte;  $I_s$ : Düzeltmemiş nokta yük dayanımı (MPa),  $P$ : Örneği kıran kuvvet (kN),  $D_e$ : Eşdeğer karot çapı ( $m^2$ ) dir. Karot örneklerde çapsal yükleme için  $D_e^2=D^2$ , eksenel yükleme ve şekilsiz örnekler için ise  $D_e^2=4A/\pi$  olarak alınmaktadır. Burada,  $A(cm^2)$ : Yükleme noktalarından geçen minimum kesit alanıdır.  $A=WD$  olarak hesaplanır. Eğer konik uçların örneğin içine girmesi durumu söz konusu ise;  $A=WD'$  olarak alınır. Bu eşitliklerde,  $W$ : Genişlik (cm),  $D$  ve  $D'$ : Yükleme noktaları arasındaki uzaklıktır. Yukarıdaki eşitlikten hesaplanan nokta yük dayanımı değeri referans çapa ( $D=50 mm$ ) göre düzeltmek için ISRM(1985) tarafından önerilen aşağıdaki eşitlik kullanılmıştır;

$$I_{s(50)} = F \cdot I_s \quad (12)$$

$$F = (D_e/50)^{0.45} \quad (13)$$

Eşitlikte;  $I_{s(50)}$ : 50 mm çaplı karota göre düzeltilmiş nokta yük dayanımı ( $kg/cm^2$ ),  $F$ : Boyut düzeltme faktörüdür.

#### 2.4.4. Tek Eksenli Basınç Deneyi

Tek eksenli basınç dayanımı jeoteknik uygulamaların birçoğunda gerekli olan tasarım parametresi olmasının yanı sıra kaya malzemesinin ve kaya kütlesinin sınıflandırılmasında en çok kullanılan önemli özelliklerden biridir. Ayrıca kaya kütlesinin basınç dayanımı ve kayma parametrelerinin tahmini için geliştirilen görgül yaklaşımlarda da kaya malzemenin tek eksenli basınç dayanımı değeri kullanılmaktadır.

İncelenen kazı şevlerinin açıldığı volkanitlerden alınan 42 mm çaplı örnekler üzerinde standart tek eksenli basınç deneyi gerçekleştirilmiştir. Deney sonuçları aşağıdaki formül kullanılarak, referans çapa (50 mm ye) göre düzeltlmıştır (Hoek ve Brown 1980)

$$\sigma'_c = \sigma_c (50 / D)^{0.18} \quad (14)$$

Eşitlikte,  $\sigma'_c$ : deneyde bulunan tek eksenli basınç direnci ( $\text{kg}/\text{cm}^2$ ),  $\sigma_c$ : 50 mm çaplı karota göre düzeltilmiş tek eksenli basınç direnci ( $\text{MPa}$ ),  $D$ : çap (mm)

Deneyde kullanılan ve  $L/D=2$  şartını sağlayamayan örneklerde Szlavin (1974) tarafından önerilen aşağıdaki eşitlik kullanılarak boyut düzeltmesi yapılmıştır.

$$\sigma_c = \frac{\sigma'_c}{0.304 D/L + 0.848} \quad (15)$$

Eşitlikte;  $\sigma_c$ : Düzeltilmiş tek eksenli basınç direnci ( $\text{kg}/\text{cm}^2$ ),  $\sigma'_c$ : Deneylerde bulunan tek eksenli basınç direnci ( $\text{MPa}$ )

#### 2.5. Kaya Malzemesi ve Kaya Kütlesinin Ayışmaya Göre Sınıflandırılması

Kaya malzemesi ve kütlesinin ayışmaya göre sınıflandırılması için değişik sınıflandırma sistemleri vardır (IAEG 1995, Ceryan, 1999). Bu çalışmada kaya kütle sınıflandırmalarının ayışma parametresi kullanılırken kaya malzemesi ve kaya kütlesinin ayışma sınıflandırması için IAEG (1995) sınıflaması kullanılmıştır.

IAEG (1995) önceki tanımlama ve sınıflandırma işlemlerini gözden geçirerek değişik litoloji ve değişik ayışma işlemleriyle oluşmuş kayaçlar için tek bir ölçü

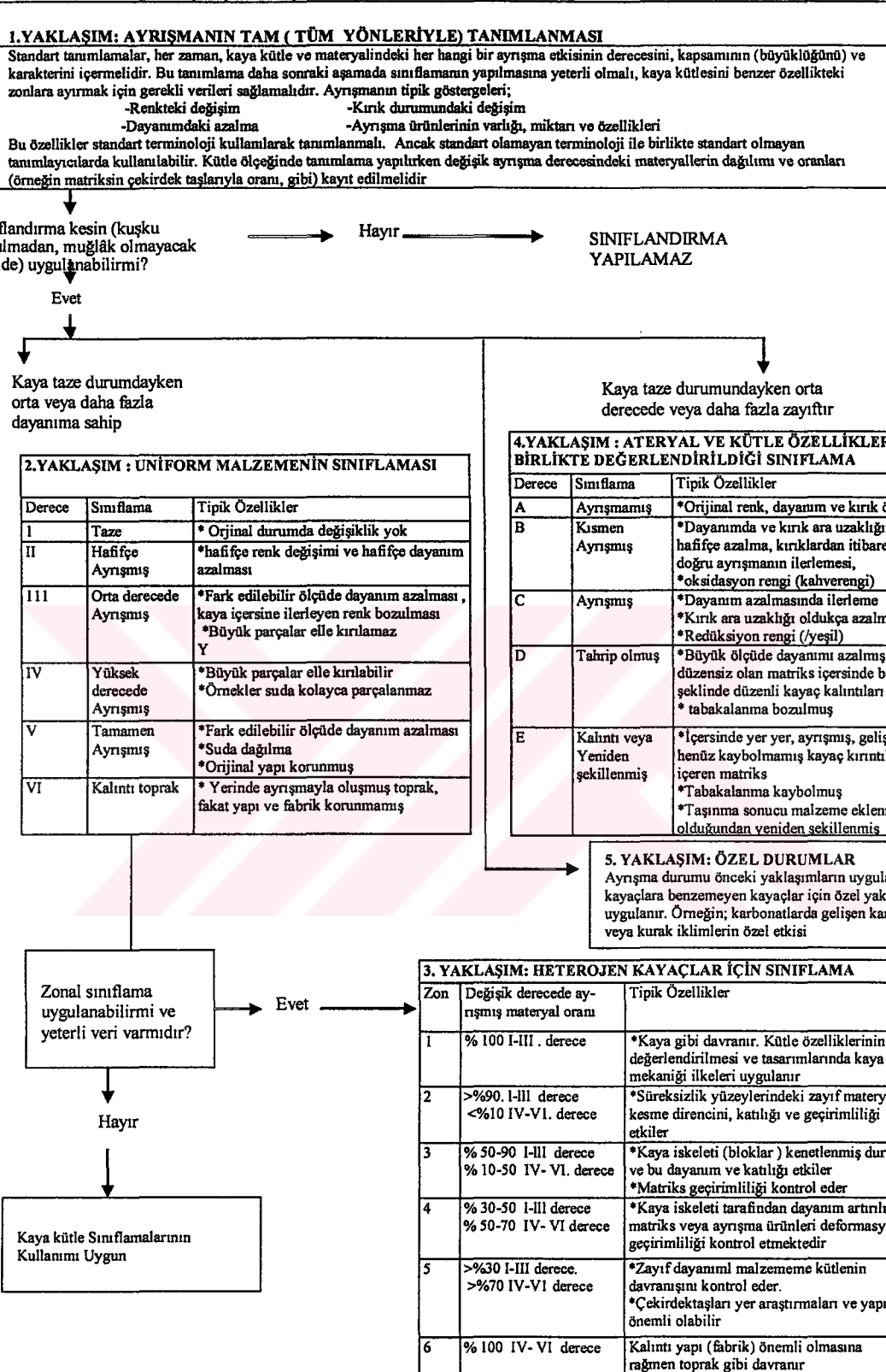
önermeyi doğru bulmamış, değişik litoloji ve ayıurma süreçleri için çeşitli yaklaşımlar gerekliliğini ortaya koymuştur. IAEG (1995) de kabul edilen esas; esas ayıurma etkilerinin mühendislik amaçları için yapılan kaya tanımlamasında kayıt edilmesi gerekliliğidir. Fakat formal (resmi, standart) sınıflama yararlı değildir ve gerekli de değildir. IAEG(1995) ayırmış kayaçların tanımlanması ve değişik kayaç türü ve ayıurma durumu için 5 yaklaşım önermiştir (Şekil 9) Sınıflandırma, çok iyi uygulanabileceği yerlerde, muğlak olmayacak sınıflandırma için gerekli verilerin olduğu yerlerde ve açıkça yararlı olacağı zaman faydalı olur. Bir sınıflandırma yapıldığında hangi sistemin uygulandığı not edilmelidir

## **2.6. Süreksizlik Özelliklerinin Ölçümü**

### **2.6.1. Süreksizlik Yönetimi ile Şev Yönetimi Arasındaki İlişki**

Kaya şevelerinin durayılığını etkileyen en önemli parametrelerden biri süreksizlerin uzaydaki konumları (eğim ve doğrultusu) ile şev veya yamacın eğim ve doğrultusu arasındaki ilişkidir.

Süreksizlik takımının ortalama yönelimi (doğrultu ve eğimi) matematiksel olarak veya stereografik projeksiyonla yapılmaktadır. (Terzaghi 1965, Taylor 1980, Hoek-Brown 1981, Davis 1986). Araştırmacılar süreksizlik takımlarının stereografik yöntem ile belirlenmesinde bazı zorluklar olduğunu belirtmektedirler. Özellikle süreksizlik ara uzaklıği büyük olan süreksizlik takımlarının gözden kaçması, belirlenememesi söz konusu olabilmektedir (Terzaghi 1965; Hack vd., 2003). Araştırmacıların bir kısmının (Hack vd., 2003) stereografik yönteme karşı alternatif olarak ileri sürdükleri yaklaşımada, bir süreksizlik takımı için temsili süreksizliklerin görsel olarak seçilmesi ve bu süreksizlerin özelliklerinin detaylı olarak ölçülmesi önerilmektedir. Bu çalışmada da incelenen kaya kütlelerindeki süreksizlikler ve süreksizlik takımları önce görsel olarak ayırtlanmış, daha sonra ayırtlanan her bir süreksizlik takımı ayrı ayrı incelenmiştir

**AYRİŞMIŞ KAYAÇLARIN TANIMLANMASI VE SINIFLANDIRILMASI (IAEG, 1995)**


Şekil 9. IAEG (1995)'in ayrışmanın tanımlanması ve sınıflandırması içi önerdiği niteliksel yaklaşım

Bu çalışmada, süreksızlıkların şev ile geometrik ilişkisi streonette çizilen yenilme zarları yardımıyla incelenerek kaya şevelerdeki olası yenilme türleri ve sayısı belirlenmiştir. Ayrıca RMR sınıflamasında (jeomekanik sınıflandırma) ve MRMR sınıflamasındaki (madencilik için jeomekanik sınıflandırma) süreksızlık yönelimi ile düzeltme yapılmışken streonette yapılan bu inceleme sonuçlarından yararlanılmıştır.

### **2.6.2. Süreksizlik Ara Uzaklığı**

Süreksizlik ara uzaklığı, bir süreksizlik takımındaki süreksizlikler arasında dik uzaklık olarak tanımlanmaktadır. Ölçüm hattı veya sondaj ekseni boyunca iki süreksizlik arasında ölçülen uzaklık “görünür ara uzaklık” olarak alınır. Süreksizlik takımlarında gerçek ara uzaklığı (iki süreksizlik arasındaki dik uzaklığı ) bulmak için aşağıdaki düzeltme yapılmıştır

$$\text{Süreksizlik gerçek ara uzaklığı} = J_{si} \times \sin(\delta_i) \times \sin(\beta_j) \quad (16)$$

Eşitlikte,  $J_{si}$ : görünür ara uzaklık  $\delta_i$ : Süreksizlik doğrultusu ile ölçüm hattı arasındaki açı,  $\beta_j$ ; süreksizliğin eğimidir.

Bu çalışmada süreksizlik ara uzaklığını bulmak için ölçüm hattından yararlanılmış ve ayrıca incelenen yüzeylenmelerde ayrıt edilen her bir süreksizlik takımı içinde ortalama süreksizlik aralığı bulunmuştur.

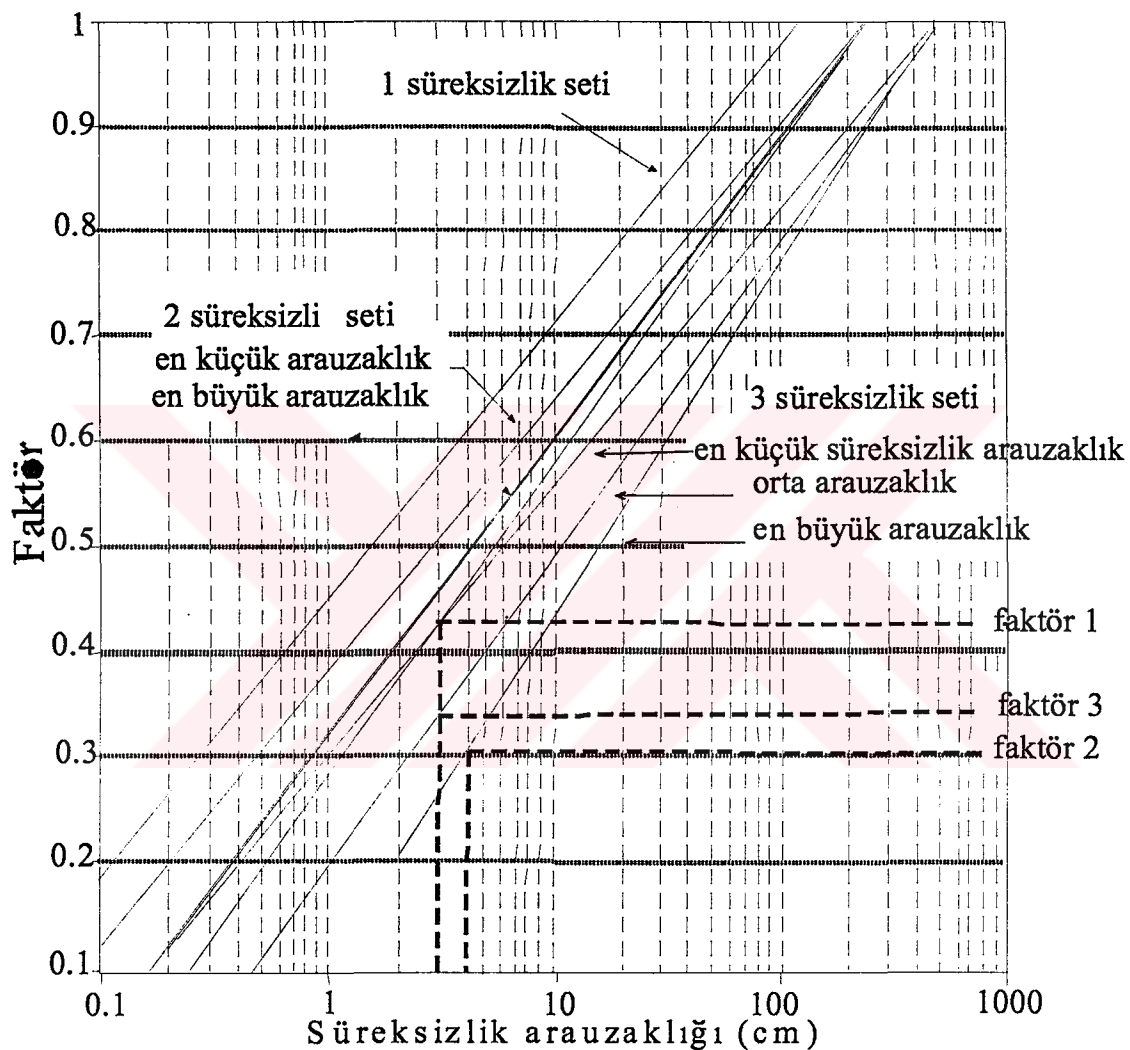
MRMR (Laubscher, 1990 ve SSPC (Hack, 1998; Hack vd., 2003) sistemlerinde jeoteknik birimine ait ortalama çatlak ara uzaklığını (ve puanını) bulmak için Taylor (1965) tarafından önerilen abak kullanılmaktadır (Şekil 10)

### **2.6.3. Hacimsel Çatlaklılık Sayısı**

Palmström (1982, 1985 ve 1996) tarafından tanımlanan “Hacimsel çatlaklılık Sayısı ( $J_v$ ) birim hacimdeki ( $1\text{m}^3$ teki) çatlak sayısını göstermektedir ve aşağıdaki eşitlikle bulunmaktadır

$$J_v = \sum (1/S_i) + Nr / 5 \quad (17)$$

Eşitlikte,  $Si$  ( $m$ ) her bir süreksizlik takımı için ara uzaklık,  $Nr$ : incelenen alandaki rastgele gelişmiş (random) süreksizlik sayısıdır. Bu çalışmada elde edilen  $Jv$  değerleri kaya kalitesi özelliği (RQD, blok boyutu ( $Vb$ ) ve Jeolojik Dayanım İndeksi (GSI) hesaplanmasıında da kullanılmıştır



Şekil 10. Taylor (1965) tarafından önerilen süreksizlik ara uzaklıği grafiği

#### 2.6.4. Kaya Kalitesi Özelliği

Kaya kalitesi özelliği (RQD) ilk olarak Deer (1963) tarafından sondajda alınan karot boyalarından yararlanarak temel kayaçların kalitesini ifade etmek için aşağıdaki eşitlikle tanımlanmıştır;

$$RQD = \frac{\sum L_{10}}{H} \times 100 \quad (18)$$

Eşitlikte,  $L_{10}$ : Uzunluğu 10 cm ve daha fazla olan karotların toplamı, H: Manevra derinliğidir.

RQD değeri kaya kütle sınıflandırmalarının birçoğunda girdi parametresi olarak kullanılmaktadır. RQD değeri sondajların olmadığı durumlarda kaya yüzeylenmelerinde oluşturulan ölçüm hatlarından yararlanılarakta hesaplanabilmektedir. RQD'nin hesaplanması için Priest ve Hudson (1976) tarafından önerilen eşitlik kullanılmıştır.

$$RQD=100 e^{(-0.1\lambda)}(0.1\lambda+1) \quad (19)$$

Eşitlikte,  $\lambda$ : 1 m uzunluktaki ölçüm hattını kesen ortalama çatlak sayısıdır.

Bu çalışmada RQD değerinin hesaplanmasında, yeterli ölçüm hattının oluşturulamadığı durumlarda, Palmström (1982, 1996) tarafından verilen ve  $J_v$  değerlerinin kullanıldığı aşağıdaki eşitliklerden yararlanılmıştır

$$J_v < 4,5 \text{ için } RQD = 115 - (3.3 J_v) \quad (20)$$

$$J_v > 4,5 \text{ için } RQD = 100 \quad (21)$$

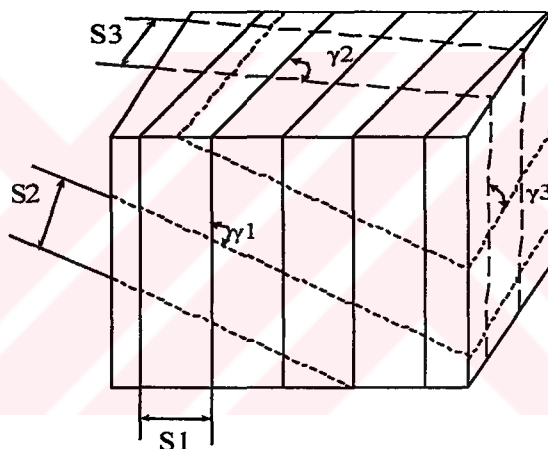
#### 2.6.5. Blok Boyutu

Blok boyutu ( $V_b$ ) süreksızlık sıklığının hacimsel olarak ifadesi olup kaya kütle kalitesini (mühendislik performansını) gösteren en önemli göstergelerden biridir (Palmström, 1996; Cai vd. 2004).  $V_b$  değeri süreksızlık ara uzaklığı, hacimsel çatlaklılık katsayısı, süreksızlık takım sayısı, süreksızlık yönelimi ve süreksızlık devamlılığına bağlıdır.

Üç veya daha fazla süreksizlik takımı içeren kaya kütlelerindeki blok boyutu süreksizlik ara uzaklığına bağlı olarak aşağıdaki formülle bulunmaktadır (Palmström, 1996) Burada süreksizliklerin devamlı olduğu kabulü vardır

$$Vb = \frac{S_1 x S_2 x S_3}{\sin \gamma_1 x \sin \gamma_2 + \sin \gamma_3} = \frac{V_{bo}}{\sin \gamma_1 x \sin \gamma_2 x \sin \gamma_3} \quad (22)$$

Eşitlikte  $\gamma_1, \gamma_2$  ve  $\gamma_3$  süreksizlik takımları arasındaki açı,  $S_1, S_2$  ve  $S_3$  her bir süreksizlik takımındaki ara uzaklık (Şekil 11),  $V_{bo}$  ise süreksizlik takımları birbirine dik olduğundaki blok boyutudur



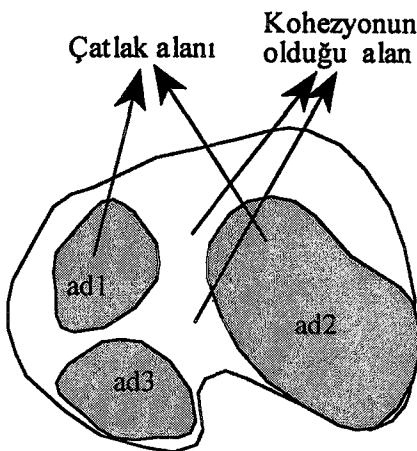
Şekil 11. Süreksizlik ara uzaklığı ve süreksizlik takımları arasındaki açıların şemaik gösterimi (ISRM, 1981)

## 2.6.6. Süreksizliklerin Devamlılığı

Süreksizliğin devamlılığı ( $K$ ), kohezyonun olmadığı alanlarının toplam çatılk alanına oranı olarak tanımlanmıştır (ISRM 1981, Şekil 12).

$$K = \lim_{AD \rightarrow \infty} \frac{\sum Adi}{Ad} \quad (23)$$

Eşitlikte, adi: süreksizlik yüzeyindeki kohezyonun olmadığı alanların toplamı, Ad: süreksizlik yüzeyinin toplam alanıdır



Şekil 12. Süreksizlik yüzeyinin devamlılığının tanımlanması (ISRM, 1981)

Devamlılık alansal olarak tanımlanmasına rağmen, alansal ölçümün zor olmasından dolayı çoğu kez yüzeylenmedeki süreksızlık izinin ölçülmesiyle bulunmaktadır. (ISRM, 1981). Bu durumda devamlılık ya süreksızlık izi uzunluğu olarak ele alınmakta (Tablo 15) veya aşağıdaki formülle bulunmaktadır.

$$K = \frac{\sum Jli}{\sum (Jli + Kkop)} \quad (24)$$

Eşitlikte;  $Jli$ : Süreksızlık izi uzunluğu,  $Kkop$ : süreksilik izi hattı üzerinde kaya köprüsü uzunluğuudur

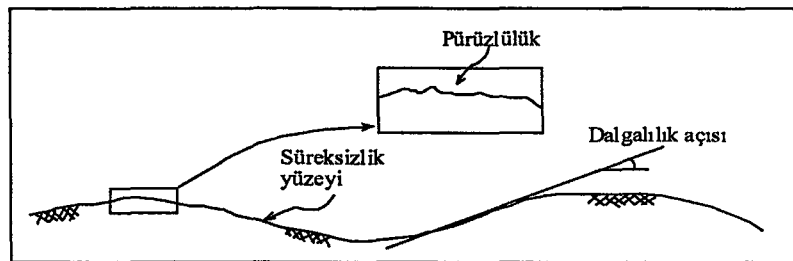
Bu çalışmada devamlılık uzunluğu ISRM (1981) deki tanımlama esas alınmıştır (Tablo 10)

Tablo 10. Süreksızlık devamlılığının tanımlama ölçütleri (ISRM, 1981)

Tanımlama	Süreksızlık izinin uzunluğu (m)
Cocuk düşük devamlılık	<1
Düşük derecede devamlılık	1-3
Orta derecede devamlılık	3-10
Yüksek devamlılık	10-30
Cocuk yüksek devamlılık	>30

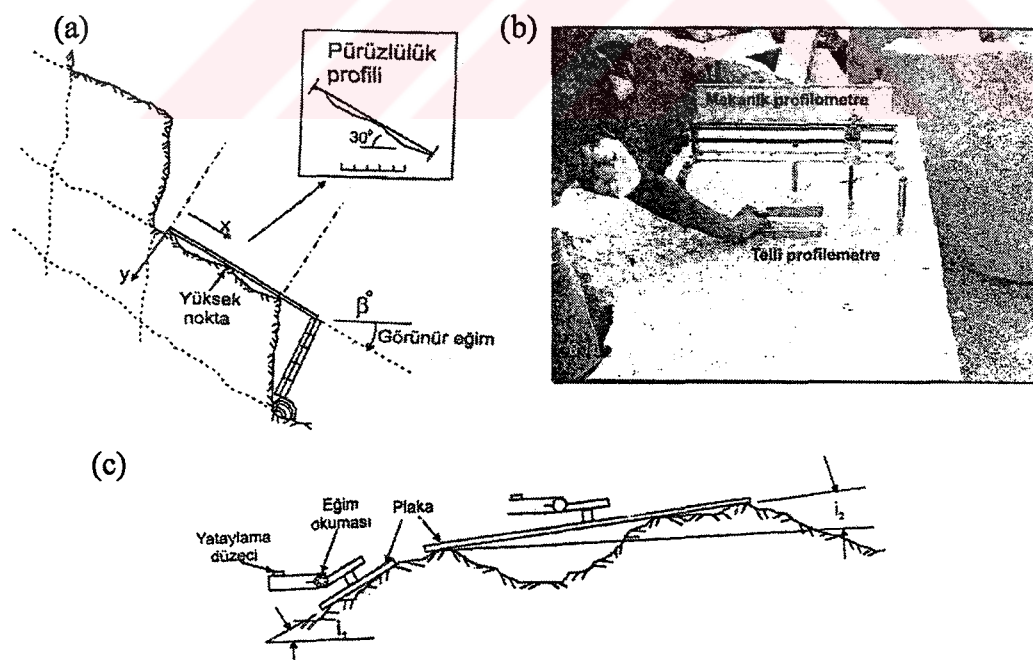
### 2.6.7. Süreksizlik Yüzeyinin Pürüzlülüğü

Pürüzlülük ve dalgalılık sırasıyla, süreksızlık yüzeyinin küçük ölçekte (cm boyutunda) ve büyük ölçekte (metre boyutunda) düzlemsellikten sapmasının bir ölçüsü olarak tanımlanmaktadır (ISRM, 1981, Şekil 13 )



Şekil 13. Süreksizlik yüzeyinde pürüzlülük ve dalgalilik (ISRM, 1981)

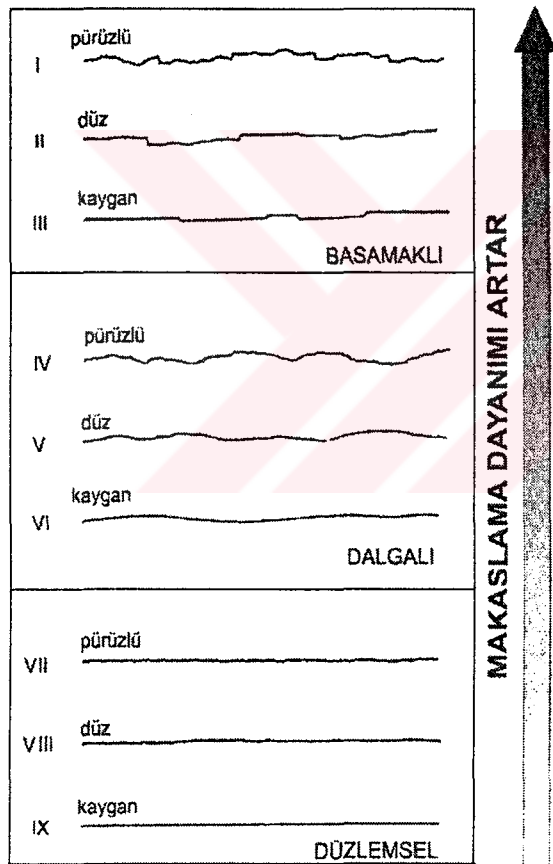
ISRM (1981)'de pürüzlülük ve dalgalığı ölçmek için değişik yöntemler önerilmektedir (Şekil 14.a-c, Şekil 15 ). Barton ve Choubey (1977) küçük ölçekli pürüzlülüğünü tanımlamak için arazide telli profilometre ile ölçülen süreksızlık yüzeyi profilinin önerdikleri standart profillerle karşılaştırmasını yapmışlardır (Şekil 16)



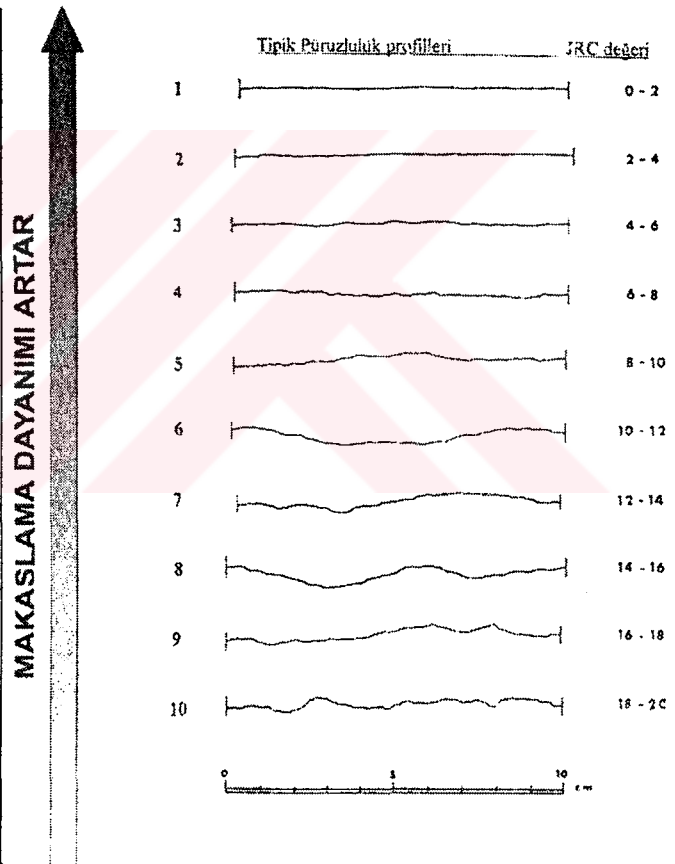
Şekil 14. Doğrusal profil alma yöntemi (a), pürüzlülüğün kalemlı ve mekanik telli profilometre ile ölçülmesi (Ulusay ve Sönmez, 2002 den alınmıştır) (b), pürüzlülüğün üç boyutlu ölçülmesi (ISRM,1981)

Standart profillerde verilen “Süreksizlik yüzeyi Pürüzlülük Sayısı (JRC)” değerleri 0-20 arasında değişmektedir. Barton ve Bandis (1982) süreksızlık yüzeyinde alınan değişik ölçüm uzunluğu için JRC değerlerini bulmak için pürüzlülük genliği ve ölçüm uzunluğundan yararlanmışlardır (Şekil 17)

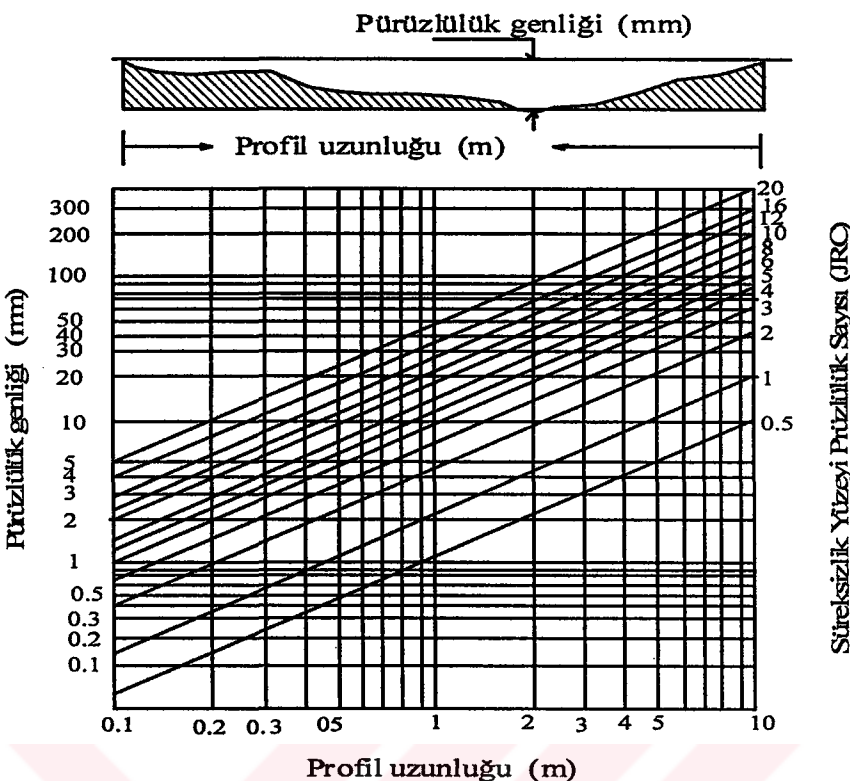
Palmström (1996), “Kaya Kütle İndeksi (RMi)”ni oluştururken küçük ölçekli pürüzlülüğü Tablo 11’deki gibi tanımlamıştır. Yazar, büyük ölçekli pürüzlülüğü (pürüzlülüğün genliği/ ölçüm uzunluğu) oranı olarak tanımlamıştır Cai vd. (2003) GSI’yi değerlerini hesaplarken süreksızlık yüzey durumunu Palmström (1996)’ya göre tanımlamıştır (Tablo 12)



Şekil 15. Pürüzlülüğün nitelikselli ölçümü  
(ISRM, 1981)



Şekil 16. Standart pürüzlülük profilleri ve JRC değerleri (Barton ve Choobey, 1977)



Şekil 17. Değişik ölçüm uzunluğu için pürüzlülük genliği ve profil uzunluğuna bağlı olarak JRC'nin belirlenmesi (Barton and Bandis, 1982)

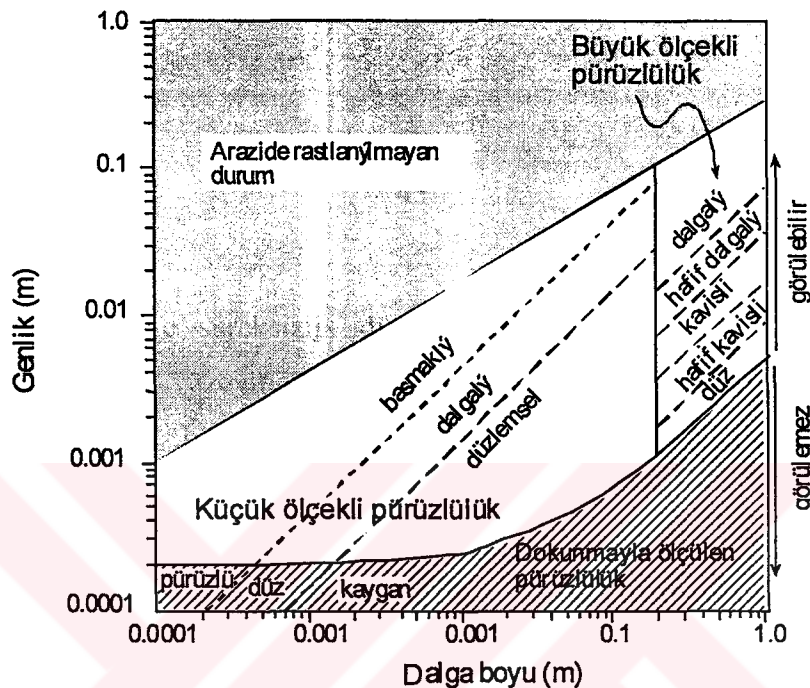
Tablo 11. Küçük ölçekli pürüzlülüğün tanımlanması (Palmström, 1996)

Sınıf	Tanımlama
Çok pürüzlü	Yaklaşık düşey basamaklar ve çıkışlıklar sürekli yüzeyinde kenetlenme oluşturur
Pürüzlü	Bazı çıkışlıklar ve düşeye yakın basamaklar vardır. Pürüzlülük açıkça görülür. Yüzey oldukça aşındırıcı görünümstedir (30 numaradan büyük zımpara kağıdı)
Hafif pürüzlü	Yüzeydeki girinti ve çıkışlıklar ayırt edilebilir ve (dokunulduğunda) hissedilir (Zımpara kağıdı numara 30-300)
Düz	Yüzey düzdür ve dokunulduğunda düzluğu hissedilebilir (numarası 300 den büyük zımpara kâğıtlarına benzer)
Cılıtlı durum (kaygan)	Yüzeyin cılıtlı gibi kaygan olduğuna dair görsel kanıtlar vardır; klorit ve özellikle talk gibi minerallerin sürekli yüzeyine sıvanması gibi
Sürtünme izli	Fay yüzeylerinde veya diğer blok hareketleri nedeniyle yüzeyde cıalanma ve sürtünme izleri var

Tablo 12. Büyük ölçekli pürüzlülüğü tanımlanması (Palmstrom, 1996, Cai vd., 2004)

Dalgalılık Tanımı	Dalgalılık sayısı
Kenetlenmiş (Büyük ölçekte)	
Basamaklı	
Geniş dalgalanma	> % 3
Küçük ve orta boyutta dalgalanma	% 0.3-3
Düz	< % 0.3

Hack vd. (2003)'e süreksizlik düzleminin düzlemsellikten ayılma durumunu tanımlarken dokunmayla yüzeyin tanımlanması, küçük ölçekli  $0,2 \times 0,2 \text{ m}^2$ lik alanda ölçülen pürüzlülük ile büyük ölçekli ( $1 \times 1 \text{ m}^2$  alanda ölçülen) pürüzlülükten yararlanmaktadır (Şekil 18)



Şekil 18. SSPC sisteminde küçük ve büyük ölçekteki pürüzlülüğün tanımlanması (Hack vd. (2003))

### 2.6.8. Süreksizlik Yüzeyi Ayrışma Durumu

Kaya kütle sınıflamalarının birçoğunda (örneğin RMS, RMR, M-RMR'de) süreksizlik yüzey malzemesinin ayrışma durumu ISRM (1981) de verilen kaya malzemesi için ayrışma sınıflaması kullanmaktadır. ISRM (1981) 'in önerdiği bu sınıflama gözleme dayalıdır. Bu nedenle bazı durumlarda öznel değerlendirmelere neden olabilmekte; aynı süreksizlik yüzeyi için farklı kişiler farklı değerlendirmeler yapabilmektedir. Singh ve Gahrooee (1989) bu tür hataları giderebilmek için bozunma derecesini aşağıda verilen sayısal indeksle tanımlamışlardır (Tablo 13).

$$W_c = \sigma_{cf} / JCS \quad (25)$$

Eşitlikte,  $W_c$ : bozunma katsayı,  $\sigma_{cf}$ : taze (ayrışmamış) kaya malzemesin dayanımı, JCS: süreksizlik yüzey malzemesinin dayanımıdır

Tablo 13. Sing ve Gahrooe (1989) tarafından önerilen bozunma sınıflaması

Taze az bozunmuş	$(\sigma_c/JCS) \leq 1.2$
Orta derecede bozunmuş	$1.2 < (\sigma_c/JCS) < 2$
Bozunmuş	$(\sigma_c/JCS) \geq 2$

Gökçeoğlu (1997) yukarıda verilen bozunma sınıflamasının sadece 3 gruptan oluşması ve Schmidt çekici ile dayanımın bulunmasındaki sakıncaları belirterek aşağıda verilen bozunma indeksini önermiştir (Tablo 19 ve Şekil 14).

$$W_c = R_f / R_w \quad (17)$$

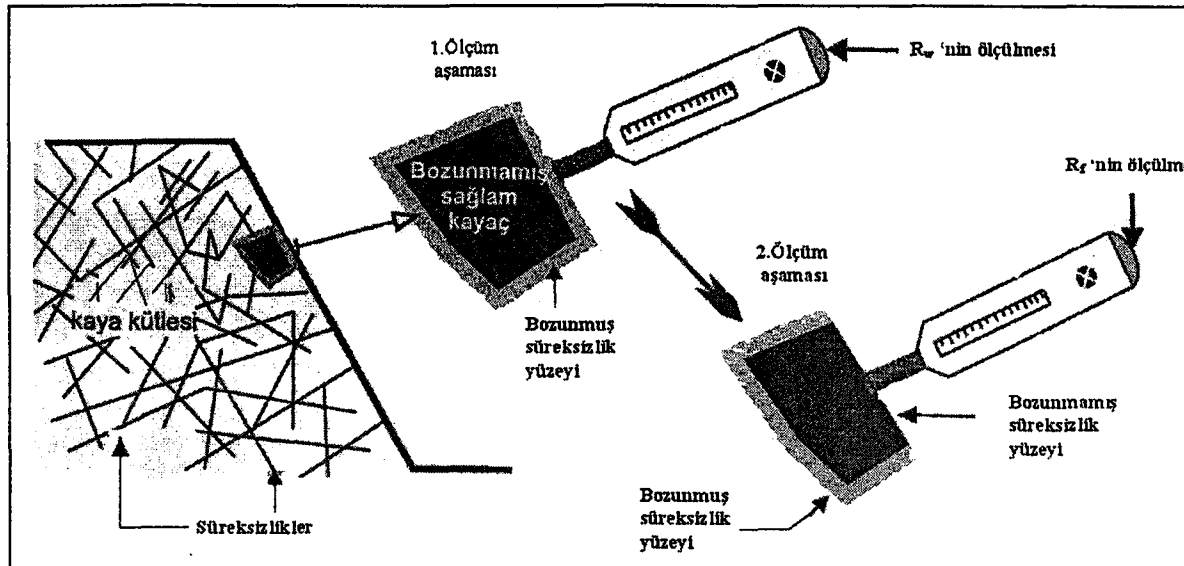
Burada;  $R_f$  taze (ayrışmamış),  $R_w$  ise bozunma sınıflaması yapılacak süreksızlık yüzeyinde ölçülen Schmidt çekici geri tepme sayısıdır

Tablo 14 Bozunma indeksine ( $W_c$ ) göre süreksızlık yüzeylerinin bozunma sınıflaması (Gökçeoğlu, 1997)

$W_c$	Sınıf	Tanım (ISRM, 1981)
<1.1	1	Bozunmamış (taze)
1.1-1.5	2	Az bozunmuş
1.5-2.0	3	Orta derecede bozunmuş
>2.0	4	Tamamen bozunmuş

Bu çalışmada RMS, RMR, M-RMR sınıflamaları uygulanırken süreksızlık yüzeyi bozunma tanımlamasında “Bozunma İndeksi ( $W_c$ )“ den yararlanılmıştır.

Palmström (1996) RMİ sınıflamasında “süreksızlık alterasyon faktörünü” tanımlarken Q sisteminden büyük ölçüde faydalانmıştır.



Şekil 19. Süreksızlık yüzeylerinin bozunma indeksinin bulunması (Gökçeoğlu, 1997)

### 2.6.9. Süreksızlık Açıklığı ve Dolgu Durumu

Açıklık, bir süreksizliğin karşılıklı iki yüzey arasındaki dik uzaklık olup, boş olabileceği gibi su veya herhangi bir dolgu malzemesi tarafından da doldurulmuş olabilmektedir (ISRM, 1981). Açıklığın ölçülebilmesinde en basit ve en pratik çözüm milimetre bölmeli şerit metre veya mikrometre ile yapılmaktadır (Ulusal, ve Sönmez 2002).

Dolgu malzemesi, süreksızlığın karşılıklı iki yüzeyinin arasını dolduran ve genellikle ana kayaç malzemesinden daha zayıf olan malzemedir. ISRM (1981) de dolgu malzemesinin tanımlanmasında kullanılan parametreler; mineraloji, tane boyu dağılımı, aşırı konsolidasyon oranı, su içeriği ve geçirgenlik, dolgunun daha önce maruz kaldığı makaslama yer değiştirmesi, süreksızlık yüzeyinin pürüzlülüğü, dolgunun kalınlığı ve süreksızlık yüzeyini oluşturan kayacın kırılma ve parçalanma özellikleidir

### **3. BULGULAR**

#### **3.1. Giriş**

Duraylılığı incelenen şeveler Trabzon-Gümüşhane karayolunun Bekçiler Mevkii-Savalı Mahallesi arasında yer almaktadır. Bu ala alttan üste doğru Turoniyen-Santoniyen yaşı Çatak Formasyonu, Troniyen?-Santoniyen yaşı Kızılıkaya Formasyonu ve Kampaniyen-Maastrichtiye yaşı Çağlayan Formasyonu yüzeylenmektedir (Şekil 20, 21 ve 22 ). İnceleme alanında seçilen şevelerde tanımlanan 64 jeoteknik birim her biri kaya kütle sınıflandırmaları ve olasılık yöntemle şev duraylılığı açısından değerlendirilmiştir.

#### **3.2. Litoloji ve Stratigrafi**

##### **3.2.1. Çatak Formasyonu**

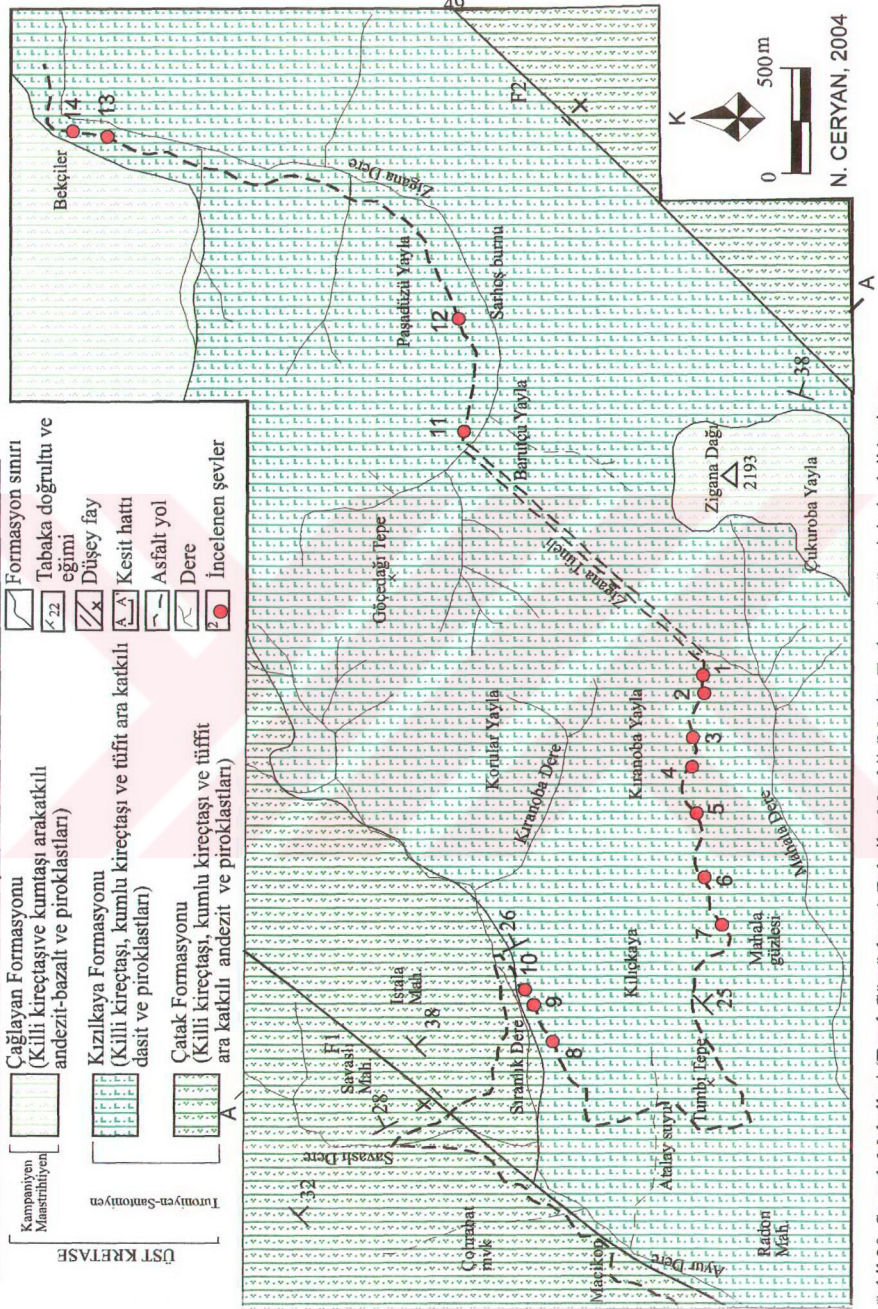
İnceleme alanını içine alan bölgede, Torul (Gümüşhane)-Doğankent (Giresun)-Maçka (Trabzon) yöresinde, yaygın olarak yüzeylenen Geç Kretase yaşı tortul ara katkılı bazik-andezitik volkanitler değişik araştırmacılar tarafından farklı adlandırılmıştır. Söz konusu birim Türk Japon ekibi (1985) tarafından “Zigana Formasyonu A1 üyesi”, Boynukalın (1990) tarafından “Yavuzkemal Formasyonu”, Köprübaşı (1992) tarafından “Aşağı Harşit Karmaşığı”, Eyüpoğlu (2000) tarafından “Sekü Formasyonu” olarak adlandırılmıştır.

Maçka ilçesi (Trabzon) güneyinde Çatak Köyü civarında, bazalt-andezit ve piroklastları ile kumtaşı, silttaşlı, marn, şeyl ve killi kireçtaşlarından oluşan birim, Güven (1993) tarafından “Çatak Formasyonu” olarak adlandırılmıştır. İnceleme alanında yayılım gösteren Geç Kretase yaşı tortul ara katkılı andezitik volkanitler için, Güven (1993) tarafından tanımlanan Çatak Formasyonu ile benzer litolojik özelliklere ve stratigrafik konuma sahip olduklarıdan, “Çatak Formasyonu” adı kullanılmıştır.

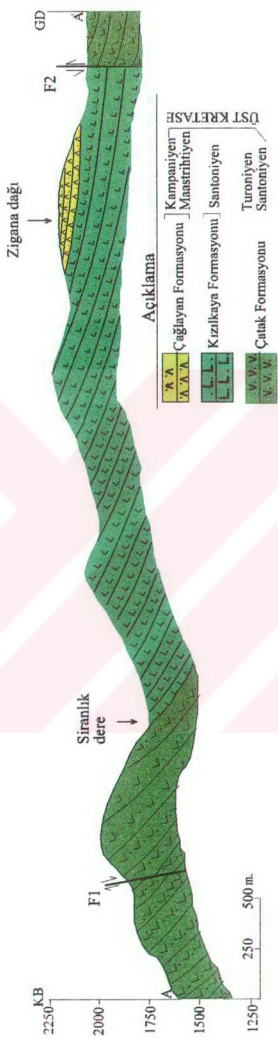
Çatak Formasyonu Savaslı Mahallesi ve İstala Mahallesi civarında yaklaşık 3,5 km<sup>2</sup> lik alanda yüzeylenmektedir. Bu formasyon genelde andezit ve piroklastlarından oluşmakta olup inceleme alanındaki yüzeylenmelerinde piroklastik kayaçların genellikle tuf az oranda da volkanik breslerden meydana geldikleri görülmüştür (Şekil 23a-c).

## ACIKLAMALAR

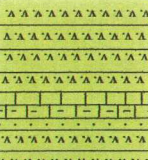
- Kanpaniyen Maastriyen** Çaglayan Formasyonu  
(Kılıç kireçtaş ve kumlu arakatkı  
andezit-bazalt ve piroklastları)
- Kızılıkaya Formasyonu**  
(Kılıç kireçtaş, kumlu kireçtaş ve tüfti  
ara kataklı andezit ve piroklastları)
- Turmanyen-Santonyen** Çatak Formasyonu  
(Kılıç kireçtaş, kumlu kireçtaş ve tüfti  
ara kataklı andezit ve piroklastları)
- ÜST KRETASE**



Şekil 20. Savası Mahallesi (Torul-Gümüşhane)-Bekçiler Mevkii (Maçka-Trabzon) yörəsinin jeoloji haritası



Şekil 21. Savaslı Mahallesi (Torul-Gümüşhane)-Bekçiler Mevkii (Maçka-Trabzon) yöresinin jeoloji kesiti

MİSOZOYİK	KRETASE	ÜST KRETASE	SANTONİYEN	KAMPANIYEN MASTRİTHİYEN	KALINLIK (m)	LİTOLOJİ	AÇIKLAMA
						ÇAĞLAYAN FORMASYONU	ÇIZILKAYA FORMASYONU
Turoniyen	Santoniyen				>250		Killi kireçtaşı ve kumtaşları ara katkılı andezit-bazalt ve proklastları
					>1000		Killi kireçtaşı, kumlu kireçtaşı ve tüfit ara katkılı dasit ve proklastları
					>400		Killi kireçtaşı, kumlu kireçtaşı ve tüfit ara katkılı andezit ve proklastları

Şekil 22. Savaklı Mahallesi (Torul-Gümüşhane)-Bekçiler Mevkii (Maçka-Trabzon) yörensinin genelleştirilmiş dikme kesiti

Breşi oluşturan kayaç parçaları genelde köşeli andezit, kuvarslı andezit ve spilitik özelliktedir ve boyutları 2 cm den 18 cm ye kadar değişmektedir.

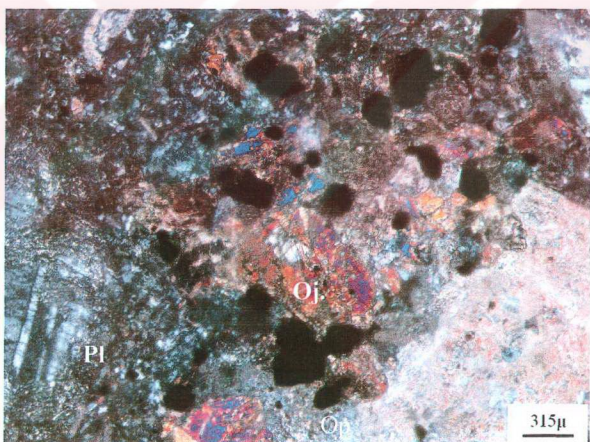
Çatak Formasyonu'nun değişik seviyelerinde, kalınlığı 1-20 m. arasında değişen, çoğunlukla yanal devamlılığı olmayan, bazen mercek şeklinde görülen, ince tabakalı, bordo renkli killi kireçtaşı, kumlu kireçtaşları ve tüffit ara seviyeleri bulunmaktadır (Şekil 23d)



Şekil 23. Çatak Formasyonu'ndaki andezitik volkanitlerin (a, Yer: Savaslı Mahallesi), tabakalı tüflerin (b, Yer: Maçıkon Mevkii), volkanik breşlerin, (c, Yer: Siranlık dere) ve bordo renkli killi kireçtaşlarının görünümü (d, Yer: Savaslı Mahallesi.)

Andezitler arazide gri yeşil, koyu yeşil renklerde görülmekte olup, makroskopik olarak ojit, hornblend, biyotit ve plajiyoklas mineralleri tannabilmektir. Andezitlerden alınan ince kesitlerde hamurun plajiyoklas, ojit, hornblend, biyotit, klorit ve opak minerallerden oluştuğu ve kayacın mikrolitik porfirik dokuda olduğu görülmüştür (Şekil 24).

Bu ince kesitlerde plajiyoklazlar çoğunlukla iri levhamsı kristaller halinde, hamurda da küçük kristaller halinde bulunmaktadır. İri plajiyoklas kristallerinde yapılan analizlerde bunların andezin ( $An_{41-46}$ ) bileşiminde oldukları belirlenmiştir. İri andezin kristalleri öz ve yarı öz şekilli olup, polisentetik ikizlenme, küçük kristaller ise albit ikizlenmesi gösterirler. Bazı plajiyoklaslarda zonlu yapı göstermektedir. Plajiyoklaslarda çoğunlukla kalsitleşme ve serizitleşme görülmektedir. Ojit, genellikle yarı öz şekilli iri kristaller halinde bazende küçük kristaller halinde bulunmaktadır. Bazı kesitlerde görülen hornblend iri, öz ve yarı öz şekilli prizmatik kristaller halinde, hamurd ise küçük çubukumsu kristaller halinde bulunmaktadır. Biyotit iri levhamsı kristaller, hamurda da küçük prizmatik kristaller halinde bulunmakta olup dilinimleri boyunca opak mineraller yerleşmiştir ve bazen de kenarlardan itibaren kloritleşmiştir. Opak mineraller genellikle köşeli, yuvarlak ve düzensiz şekilli olarak görülmekte olup bazı kesitlerde oldukça bol miktarda bulunmaktadır. Kalsit, serizit ve klorit mineralleri ayrışma ürünü olarak ve bazen de çatlak dolgusu şeklinde bulunmaktadır.



Şekil 24. Çatak Formasyonu'ndaki andezitlerde mikrolitik porfirik doku (ÇN, Pl:Plajiyoklas, Oj:Ojit, Op:Opak mineral Yer : Savalı Mahallesi.).

Tüfler, inceleme alanında İstala Madeni batısında andezitik breş seviyeleri ile ardisıklı olarak gözlenmiştir. Coğunlukla katmanlaşmanın belirgin olarak izlenebildiği

tüflerde tabaka kalınlıkları 5-45 cm. arasında değişmektedir (Şekil 23b). Tüfler açık yeşil grimsi renkte görülmektedir. Tüflerden alınan ince kesitlerin incelenmesi sonucunda bunların litik-kristal tüp niteliğinde oldukları belirlenmiştir. Bu ince kesitlerde görülen kristal parçaları plajiyoklas, iri ve küçük daneler halinde ojit ve hornblend, dilinimler boyunca opaklaşmış ve kloritleşmiş biyotit ve opak minerallerden, kayaç parçaları andezit yer yer de dasit parçacıklarından oluşmaktadır. İkincil mineral olarak klorit, kalsit, zeolit ve serizit görülmüştür. Bağlayıcı malzeme plajiyoklas, hornblend, biyotit ve opak minerallerin mikro ve kripto kristallerinden oluşmaktadır.

Çatak Formasyonu'nda ara seviyeler halinde bulunan ve tabaka kalınlıkları 5 ile 25 cm arasında olan kırmızı kireçtaşının yanal devamlılığı izlenmemektedir. Bu kırmızı kireçtaşı örneklerinin mikroskopik incelemelerinde elde edilen sonuçlar aşağıda verilmiştir.

Birimini oluşturan kireçtaşlarının ana karbonatlı bileşeni iskeletli tanelerden oluşur. Bunlar başlıca pelajik foraminifer (*Globotruncana* sp., % 5) ve radyolaryalar (%1) tarafından temsil edilir. Çoklukla korunmuş taneler halinde izlenen bu bileşenler bazen tümüyle sparitleşmişlerdir. Ender olarak opak mineraller izlenmiştir. Bu taneler ince taneli ve tekduze özellik sunan mikritik bir matriksle bağlanmıştır. Kesit alanında sparitleşme yaygın olarak izlenir. İstiflenme bazı örneklerde oldukça düşük olup çamurtaşı niteliği gösterir. Bu özellikler göz önüne alınarak kayaç **Biymikrit** (Folk, 1962) ve **Vaketaşı/Çamurtaşı** (Dunham, 1962) olarak adlandırılmıştır. Birim içinde yer alan kırmızı kireçtaşlarının mikro-çökel yapı ve dokusal özelliklerine dayandırılarak düşük enerjili derin deniz ortamında birliği söylenebilir.

Çatak Formasyonu'nun tabanı inceleme alanında gözlenmemektedir. Bu birimin üzerine uyumlu olarak Kızılıkaya Formasyonu gelmektedir.

Güven (1993), bu birim içindeki kırmızı-bordo renkli killi kireçtaşlarından saptadığı *Globotruncana lapparenti* Brotzen, *Globotruncana limneiana* (d'Orb), *Globotruncana* sp., *Marginatruncana* sp., *Globigerinella* sp., *Globigerinolloides* sp., *Gümbelina* sp., *Hedbergella* sp. fosil türlerine göre, birimin yaşını Turoniyen-Koniasiyen-Santoniyen olarak belirlemiştir.

Kaygusuz (2000), Torul-Kürtün (Gümüşhane) yöresinde yaptığı çalışmada Çatak Formasyonu'nun değişik seviyelerindeki kırmızı kireçtaşlarında belirlediği *Dicarinella* sp., *Marginotruncana* sp., *Radiolaria* sp., *Globigerinidae*., *Lagenidae*'dan oluşan faunaya dayanarak birime Turoniyen-Santoniyen yaşını vermiştir.

MTA ekibi inceleme alanını da içine alan yörede yaptığı ve henüz tamamlanmayan çalışmada, andezitik lavların içerisinde mercekler şeklinde yer alan gri renkli pelajik kireçtaşlarında Turoniyen yaşı veren ve Helvetoglobotruncana cf., *Helvetica* (*BOLLİ*), *Helvetica* (*BOLLİ*), *Dicarinella* sp., *Marginotruncana Pseudolinneiana* (*PESSAGNO*), *Marginotruncana* sp., *Globigerinidae* den oluşan fauna belirlenmiştir (Fosiller K. Erdoğan MTA tarafından tanımlanmıştır İskender Kurt, MTA, Sözlü görüşme, Ocak, 2005 ).

Bu çalışmalardaki bulgular Çatak Formasyonu'nun Turoniyen-Santoniyen yaşında olduğunu göstermektedir.

Çatak Formasyonu bazaltik-andezitik karakterli bir denizaltı volkanizmasının egemen olduğu ve bu volkanizmanın durakladığı dönemlerde de denizel tortul kayaçların çökeldiği denizel bir ortamda meydana gelmiştir.

Çatak Formasyonu, Torul-Zigana (Gümüşhane) yöresinde yüzeylenen Geç Kretase yaşı Zigana Formasyonu'nun A1 Üyesi (Türk-Japon Ekibi, 1985); Doğankent (Giresun) civarında yüzeylenen Volkano-Tortul Seri (Gedikoğlu, 1978) ve Çaykara (Trabzon) yöresinde yüzeylenen Çaykara Formasyonuna ait Hadi Üyesi (Bulut, 1989) ile litolojik ve stratigrafik özellikleri açısından benzerlik gösterir.

### **3.2.2. Kızılıkaya Formasyonu**

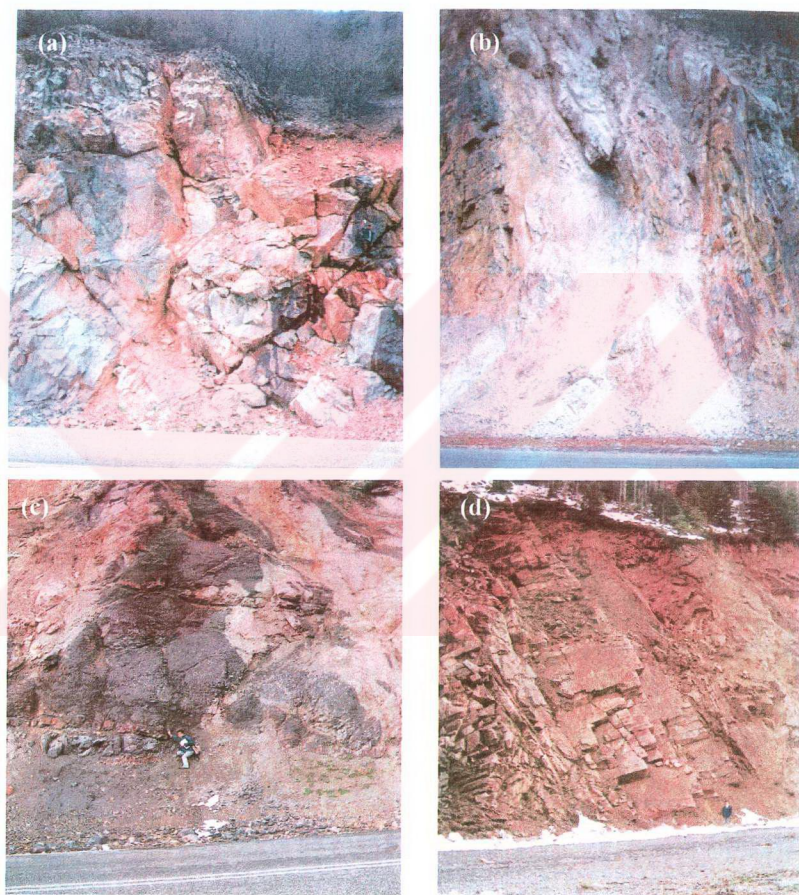
İnceleme alanını da içine alan Doğu Karadeniz Bölümü'nde yüzeylenen ve önemli cevherleşmeler (volkanojen polimetallik masif sülfid yatakları) içeren Geç Kretase yaşı, tortul ara katmanlı dasitik volkanitleri değişik araştırmacılar farklı isimlerle adlandırmışlardır. Söz konusu dasitlerin yoğun cevherleşme içerenleri “Cevherli dasit” olarak, cevher içermeyen dasitler “Mor dasit” olarak adlandırılmıştır (Alpan, 1971; Aslaner, 1977; Pelin vd, 1982; Yalçınalp, 1992). Türk-Japon ekibi (1985) aynı birim için Zigana Formasyonu D1 ve D2 üyesi olarak adlandırmıştır. Espiye (Giresun) güneyinde Kızılıkaya mevkide yüzeylenen riyodasit-dasit ve piroklastiklerden oluşan birim, ilk olarak Güven (1993) tarafından Kızılıkaya Formasyonu olarak adlandırılmıştır. İnceleme alanında yüzeylenme veren ve yer yer tortul ara katmanlar içeren Geç Kretase yaşı dasit ve piroklastitleri için Güven (1993) tarafından tanımlanan söz konusu formasyonla aynı litolojik ve stratigrafik özelliklere sahip olduğundan, “Kızılıkaya Formasyonu” adı kullanılmıştır.

Kızılkaya Formasyonu Kırnobası Yaylası, Mahala Güzlesi, Korular Yaylası civarında yaklaşık 18 km<sup>2</sup>lik alanda yüzeylenmektedir. Bu formasyon killi kireçtaşları ve tüffit ara katkılı dasit ve piroklastlarından oluşmaktadır. Söz konusu formasyonda arazideki görünümleri, makroskobik ve mikroskobik özellikleri birbirinden belirgin farklılık gösteren iki farklı dasit ve piroklastitler bulunmaktadır. İnceleme alanındaki bitki örtüsü ve yoğun alterasyon nedeniyle söz konusu farklı dasitik volkanitler ayrı ayrı haritalanamamıştır. Kızılkaya Formasyonu'ndaki dasitik volkanitlerden ilki içerdeği cevherleşmeler nedeniyle “Cevherli Dasit” olarak adlandırılmaktadır (Alpan, 1971; Aslaner, 1977; Pelin vd., 1982; Yalçınalp, 1992). İkincisi, cevher minerali içermeyen, cevherli dasitlere göre çok daha az ayırmış ve renginden dolayı “Mor Dasit” olarak adlandırılmıştır. (Taslı, 1984; Yalçınalp, 1992) (Şekil 25 a-d).

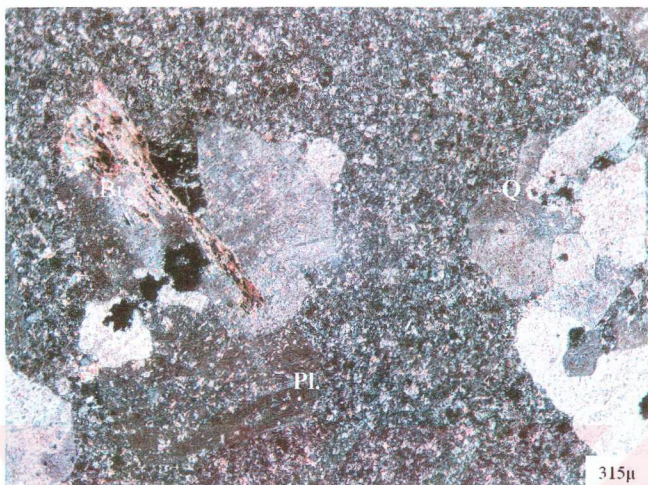
Yoğun olarak cevher içeren dasitik volkanitler ileri derecede hidrotermal alterasyona ve yüzeysel ayırmaya uğramıştır. Yoğun bulunan ayırmaya ürünlerine (kil, klorit, kalsit, limonit) bağlı olarak grimsi, açık yeşil, kahverengi ve sarı renklerinde görülen bu dasitik volkanitler çoğunlukla yoğun pirit ve kalkopirit kristalleri içeren piroklastik kayaçlardan oluşmaktadır (Şekil 25a-c).

Cevherleşmelerin yoğun olarak görüldüğü dasitlerde iri kuvars mineralleri, pirit ve kalkopirit taneleri çıplak gözle görülebilmektedir. Bu dasitlerin ince kesitlerinde mikrogronü porfirik doku görülmüştür. Plajiyoklas ve kuvars iri kristalleri plajiyoklas, kuvars, kalsit, klorit ve opak minerallerin çok küçük tanelerinden oluşan hamur içinde bulunurlar (Şekil 26). Plajiyoklaslar iri, öz ve yarı öz şekilli fenokristaller halinde ve hamurda küçük kristalcıklar halinde bulunmakta olup oldukça ayırmışlardır. Plajiyoklaslardan yapılan cins tayininde bileşimlerinin andezin ( $An_{35}$ ) olduğu belirlenmiştir. Hem albit hem de polisentetik ikiz gösteren plajiyoklaslarda yüzeysel ayırmaya ve hidrotermal alterasyon nedeniyle serisitleşme, kloritleşme ve kalsitleşme görülmektedir. Plajiyoklaslar kayaçta yaklaşık %20-25 oranında bulunmaktadır. Genellikle iri kristaller halinde ve hamurda çok küçük kristaller halinde görülen kuvars kristalleri bazen dalgılı sönme göstermekte olup kısmen hamur tarafından yenmiş olarak görülmektedir. Kuvars kristalleri kayaçta yaklaşık %20-25 oranında bulunmaktadır. Bu dasitler mafik mineral bakımından oldukça fakirdir. Sadece birkaç kesitte oldukça ayırmış biyotit lamellerine rastlanmıştır. Biyotitin ayırmaya ürünü olarak bol miktarda klorit izlenmektedir. Kalsit, hamurda çat�ak ve boşluk dolgusu olarak bulunmaktadır ve tek nikolde rölyef pleokroizması gösterir. Serosit, plajiyoklasların ayırmaya ürünü olarak

görülmekte olup rölyefleri düşüktür. Klorit, hamurda ayrışma ürünü olarak bulunmakta olup rölyefi düşük ve açık yeşil renktedir. Opak mineral, kayaçta %3-5 oranında, bazen köşeli bazende yarı yuvarlaklaşmış halde bulunmaktadır.



Şekil 25. Cevherli dasitik kayaçlarda gözlenen yoğun kırıklar ve alterasyonlar (a ve b, Yer: Mahala Güzlesi), yoğun hidrotermal alterasyon, tabaklı tüfler ve biyomikrit (c, Yer: Zigana Tüneli 1,5 km batısı yol şevi), Pirizmatik debili dasit (d, Kılıçkaya Mevkinin 600 m kuzeyi yol şevi)

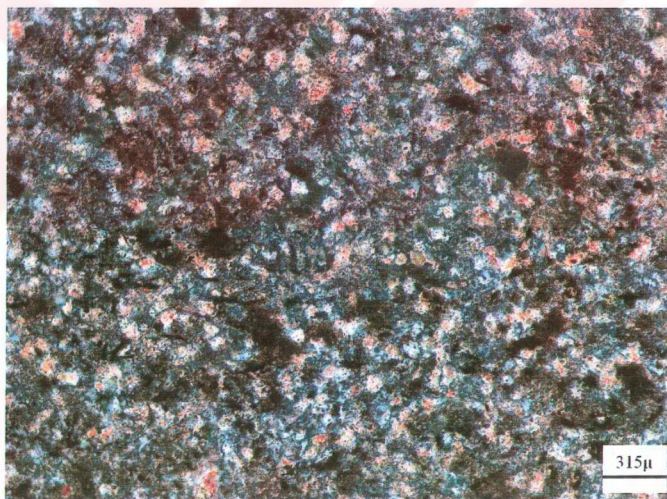


Şekil 26. Cevherli dasitlerde altere olmuş plajiyoklas (Pl), kloritleşmiş biyotit ve kuvars (Q) fenokristalleri ve mikrogranü doku (Ç.N, Yer: Mahala Güzlesi)

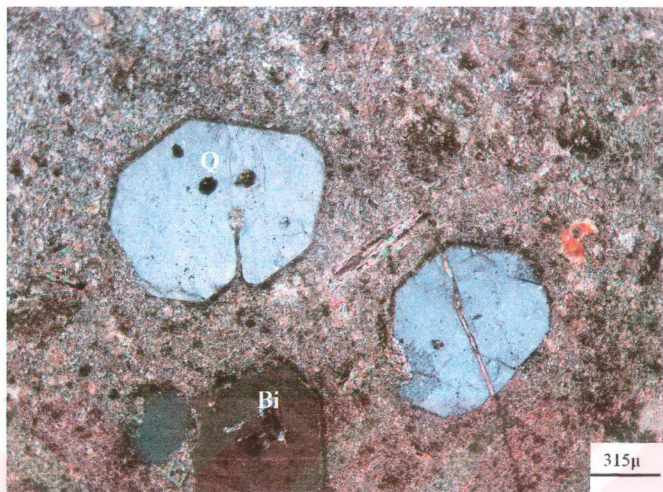
Yoğun hidrotermal alterasyona uğramış dasitik tüflerden alınan örneklerin mikroskopik incelemelerinde, bunların kristal tüp olduğu belirlenmiştir (Şekil 27). Dasitik kristal tüflerde özçekilsiz plajiyoklas küçük kuvars, biyotit parçacıkları kül boyutundaki malzemeyle tutturulmuş oldukları gözlenmiştir. Çimentoyu oluşturan ince taneli malzemede ayırtarak kalsit, kil ve limonit minerallerine dönüştürülmüştür. Boşluklar ise kalsitlerle doldurulmuştur. Kuvars genellikle çok küçük kristaller halinde belirli seviyelerde yoğunlaşmıştır. Plajiyoklas çok küçük boyutlu kristaller halinde olup genellikle serisitleşmişlerdir. Yoğun ayırmadan dolayı plajiyoklaslarda cins tayini yapılamamıştır. Biyotit, kayaç içerisinde az miktarda küçük kristaller halinde bulunur. Opak mineral bol miktarda dağınık düzensiz taneler halindedir.

Kızılıkaya Formasyonu'ndaki yoğun olarak cevher içermeyen, sarı, kahverengi ve mor renklerinde görülen dasitik volkanitlerin en belirgin özellikler; cevherli dasitlerin aksine, çoğulukla prizmatik debi göstermeleri ve az ayrılmış olmalarıdır. Bu dasitik volkanitler çoğulukla dasitlerden oluşmakta ve çok az yerde tüflerine rastlanılmaktadır. Çok az yerde az miktarda pirit ve kalkopiritin gözlenmesi dışında, cevher içermeyen bu dasitlerin mikroskopik incelemeleri sonucunda mikrogranü dokuda olduğu ve içinde bol

miktarda kuvars bulunduğu görülmüştür. Kuvars öz veya yarı öz şekilli iri kristaller halde, hamurda da mikro ve kriptokristalın halde bulunurlar. Çokunlukla hamur tarafından yenmiş olarak görülen kuvars kristalleri genellikle çataklı yapıda olup, bazen dalgılı sönme gösterirler. Plajiyoklas, yarı öz şekilli, iri kristaller, hamurda ise öz şekilsiz küçük taneler halinde bulunmaktadır. Yapılan cins tayinlerinde plajiyoklasların genellikle andezin, bazen de oligoklas (An<sub>25-45</sub>), karakterli olduğu belirlenmiştir. İri plajiyoklas kristallerinde, cevherli dasitlere göre daha az miktarda, killeşme ve kalsitleşme izlenmiştir. Tek nikolde renk pleokroizması ile tipik olan biyotit, özşekilli veya yarı özşekilli halde ve genellikle kloritleşmiş, küçük pulcuklar şeklinde bol miktarda görülmektedir. Kalsit ve plajiyoklasların ayrışma ürünü olarak bulunur. Klorit, biyotitlerin ayrışma ürünü olarak, yer yer de boşluk dolgusu olarak bulunur. Tali mineral olarak apatit bulunmaktadır. Apatit kristalleri kısa dikdörtgenimsi prizmalar veya ince çubuk şeklinde görülmektedir. Yer yer ve az miktarda rastlanılan opak mineral de yarı özşekilli ve özşekilli, dağınık küçük taneler halindeki piritlerden oluşmaktadır (Şekil 28).



Şekil 27. Yoğun cevherleşme içeren dasitik tüflerin mikroskopta görününü (ÇN Yer: Zigana Tüneli 1,5 km batısı yol şevi)



Şekil 28. Dasitlerde gözlenen mikrogranü doku (Ç.N, Q: Kuvars, Bi :Biyotit, Yer: Maloba Yayla)

Kızılkaya Formasyonu dasitik volkanitleri içersinde yanal devamlılığı fazla olmayan ve kalınlığı 45-250 cm arasında değişen kırmızı biyomikritler yer almaktadır (Şekil 29).

İnce kesit incelemelerinde birimi oluşturan kireçtaşlarının ana karbonatlı bileşeni iskeletli tanelerden olduğu görülmüştür. Bunlar başlıca pelajik foraminifer (*Globotruncana* sp., %15), *Radyolaria* (%3) ve pelajik bivalvler (%1) tarafından temsil edilir. Çoklukla korunmuş taneler halinde izlenen bu bileşenler yer yer sparitik kesimler içerir. Ender olarak bazı pelajik foraminiferler parçalar halinde izlenir. Kayaç silt boyutunda ve köşeli terrijen kırıntıları içerir (%2). Ender olarak opak mineraller izlenmiştir. Bazı örneklerde mikro laminalli yapı izlenmiştir. Bu taneler ince taneli ve tekdüze özellik sunan mikritik bir matriksle bağlanmıştır. Yukarıdaki özellikler göz önüne alınarak kayaç **Biyomikrit** (Folk, 1962) ve **Vaketaşı** (Dunham, 1962) olarak adlandırılmıştır. Birim içinde yer alan kırmızı kireçtaşlarının mikro-çökel yapı ve dokusal özelliklerine dayandırılarak düşük enerjili derin deniz ortamında birikiği söylenebilir.



Şekil 29. Dasitik volkanitler içindeki kırmızı biyomikritler (Yer: Kılıçkaya Mevkinin 250 m güneyi yol şevi (a), Tumbi tepe güneyi yol şevi (b), Şiranlık dere güneyi yol şevi (c))

Kızılıkaya Formasyonu'nda özellikle Gümüşhane-Trabzon karayolu şevelindeki yüzeylenmelerinde küçük ölçekli çok sayıda andezit ve dasit daykları gözlenmiştir (Şekil 30). Daykların kalınlığı 1-12 m arasında, arazide izlenebilen uzunlukları 5-30 m arasında değişmektedir.

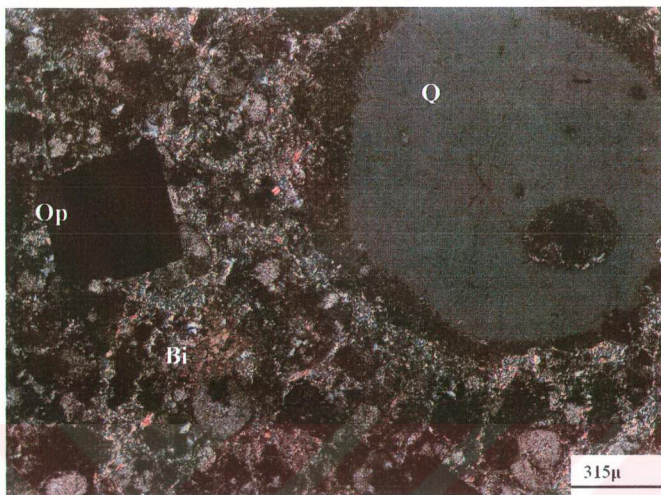


Şekil 30. Kızılıkaya Formasyonu'ndaki dasit daykı (a,Yer; Zigana tüneli 100 m batısı yol şevi ve andezit daykı (b,Yer: Bekçiler köyü 200 m güneyi, yol şevi)

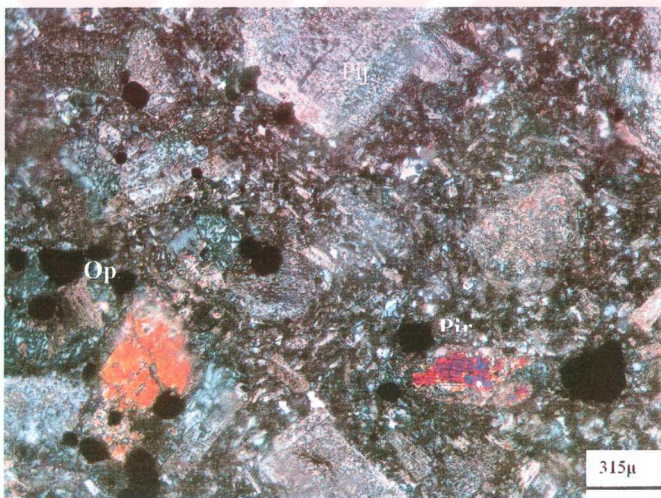
Dasit daykları özellikle yoğun cevher içeren dasititik volkanitlerde görülmüştür. Dasit dayklarının en belirgin özellikleri kolonsu debi göstermeleridir. Söz konusu bu dayklar gerek arazideki görünümleri gerekse kolonsu debileri ile yoğun cevherleşme içermeyen dasitlere benzemektedir. Ayrıca söz konusu dasit dayklarının stratigrafik konumları (yoğun cevherleşme içeren dasitik volkanitleri kesmeleri) nedeniyle mor dasitleri oluşturan magmanın yarı derinlik kayaçları olabileceğini düşündürmektedir. Ancak söz konusu yorumun doğrulanması için dasit dayklarıyla cevherleşme içermeyen dasitler jeokimyasal olarak karşılaşılmalı, jeokimyasal ve jeotektonik modelleme yapılmalıdır.

Dasit dayklarından alınan örneklerin ince kesit incelemesi sonucunda kayaç dokususunun mikrogronu porfirik olduğu belirlenmiştir. Hamur kuvars, biyotit ve plajiyoklas tanelerinden oluşmaktadır (Şekilk 31). Kayaçta, kuvars, biyotit, opak mineral ve genellikle serizitlenmiş plajiyoklas mineralleri bulunur. Kuvars öz ve yarı öz şekilli olarak, tüm incekesitlerde oldukça bol miktarda görülmektedir. Plajiyoklas genelde kayaç içersinde az miktarda ve çoğulukla ayrılmış iri kristaller halinde bulunmaktadır. Yapılan cins tayinlerinde, plajiyoklasların oligoklas ( $An_{18-25}$ ), oldukları belirlenmiştir. Plajiyoklaslarda çoğulukla seristleşme, bazende kalsitleşme ve nadiren de killeşme görülmektedir. Biyotit ise kayaç içersinde az miktarda bulunur ve çoğulukla kloritleşmiş iri kristaller halindedir. Opak mineraller az miktarda, dağınık halde yarı öz şekilli ve özsekilsiz olarak görülmektedir.

İnceleme alanındaki Çatak Formasyonu ve Kızılıkaya Formasyonu'nda rastlanılan andezit daykları genelde koyu gri, yeşilimsi kahverengimsi renkte olup genellikle çok kırıklı çatlaklıdır. Andezit dayklarından alınan örneklerin ince kesit incelemesinde kayaç dokusu mikrolitik porfirik olduğu gözlenmiştir (Şekil 32). Hamur malzemesi genellikle plajiyoklas mikrolitlerinden oluşmaktadır. Mineral içeriği plajiyoklas, piroksen, opak minerallerden oluşmaktadır. Plajiyoklaslar ise ayırmaya etkisi ile genellikle serisitleşmişlerdir. Piroksenler yarı öz sekilsiz ve öz sekilsiz olarak bulunmaktadır ve ojıt oldukları belirlenmiştir. Opak mineraller hamurda bol miktarda ve çoğu kez iri bazen de küçük taneler halinde gözlenirler.



Şekil 31. Dasit dayklarında mikro granü porfirik doku (ÇN. Q: Kuvars, Op: Opak mineral, Bi: Biyotit. Yer: Zigana tüneli 100 m batısı yol şevi)



Şekil 32. Andezit dayklarında mikro granü doku (ÇN, Plj:Plajiloklas, Pir: Piroksen, Op: Opak mineral Yer: Bekçiler köyü 200 m güneyi, yol şevi).

Kızılkaya Formasyonu Turoniyen-Santoniyen yaşında olanı Çatak Formasyonu üzerinde uyumlu olarak bulunmaktadır. Kızılkaya Formasyonunun üzerinde uyumlu olarak Çağlayan Formasyonu bulunmaktadır.

Güven (1993), bu formasyon içinde yaş verebilecek fosil içeren tortul kayaçların bulunmadığını belirterek, formasyonun Turoniyen-Santoniyen yaşı Çatak Formasyonu'nun üzerine uyumlu gelmesi ve Kampaniyen-Maastrichtiyen yaşı Çağlayan Formasyonu ile de uyumlu olarak örtülmesi nedeniyle, söz konusu formasyona Santoniyen yaşı vermiştir.

Eyüboğlu (2000), Tirebolu-Doğankent (GİRESUN) arasında yaptığı çalışmada Kızılkaya Formasyonu olarak adlandırdığı dasitik volkanitlerin arasındaki değişik tortul seviyelerden aldığı örneklerde Turoniyen(?) - Santoniyen yaşı veren *Dicarinella sp.*, *Whiteinella sp.*, *Marginotruncana coronata (BOLLİ)* mikrofosillerini belirlemiştir.

MTA ekibi inceleme alanını da içine alan yörede yaptığı ve henüz tamamlanmayan çalışmasında Kızılkaya Formasyonu'ndaki pelajik kireçtaşlarında Turoniyen-Koniasiyen-Santoniyen yaşı veren *Marginotruncana Pseudolineeiana (PESSAGNO)*, *Globigerinidae*, *Dicerinella sp.*, *Coronata (BOLLİ)*, *Marginotruncana*, *Archaeoglobigerina sp.*, *Whiteinella sp.*, *Schackoina sp.* mikrofosillerini saptamıştır. (Fosiller K. Erdoğan (MTA, 2003) tarafından tanımlanmıştır. İskender Kurt, MTA, Sözlü görüşme, Ocak, 2005). MTA ekibi, aynı çalışmada, sökonusu birimin asitik piroklastikleri içerisinde alınan kırmızı renkli pelajik karbonatlarda Santoniyen yaşı *Dicerinella Concavata (BROTZEN)*, *Marginotruncana sp.*, *Dicerinella sp.*, *Globigerinidae Marginotruncana Pseudolineeiana (PESSAGNO)*, *Marginotruncana Coronata (BOLLİ)* mikrofosilleri belirlemiştir. Bu fosil verilerine ve stratigrafik verilere (Çatak Formasyonu üzerine uyumlu olarak gelmesi ve üzerinde uyumlu olarak Çağlayan Formasyonu'nun bulunmasına) dayanılarak Kızılkaya Formasyonu'nun yaşı Turoniyen(?) - Santoniyen olarak belirlenmiştir.

Kızılkaya Formasyonu yoğun bir dasitik volkanizmanın egemen olduğu ve bu volkanizmanın durakladığı dönemlerde ince taneli tortulların, kırmızı renkli biyomikritlerin çökeldiği derin deniz ortamında gelişmiştir.

Bu Formasyon, Harşit (Doğankent-Giresun) yöresindeki Üst Kretase yaşı dasit, tüf ve breşler (Gedikoğlu, 1978); Zigana (Tirebolu-Gümüşhane) yöresindeki Zigana Formasyonu'nun D1 Üyesi (Türk-Japon Ekibi, 1985); Maçka (Trabzon) güneyi yöresindeki dasit ve piroklastlardan oluşan D1 Üyesi (Gülibrahimoğlu, 1985); Çaykara (Trabzon) yöresindeki Şahinkaya Üyesi (Bulut, 1989); Doğankent (Giresun) civarındaki

Harşit vadisinde II. Volkanik Episod (Köprübaşı, 1992), Zigana (Gümüşhane) yöresindeki Bekçiler Formasyonu (Yalçınalp, 1992) ve Kürtün-Torul (Gümüşhane) karayolunu içene alan yörede yüzeylenen Kirazlı Formasyonu Diker Üyesi (Şirin 1995) ile hem litoloji hem de stratigrafik olarak benzerdir.

### **3.2.3. Çağlayan Formasyonu**

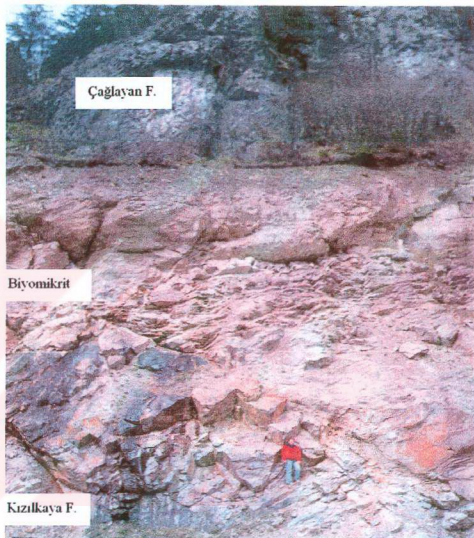
Doğu Karadeniz Bölümü'nün Kuzey kısmında yaygın olarak yüzeylemen veren bazik kayaçlar çeşitli araştırmacılar tarafından farklı isimler kullanılarak tanımlanmışlardır. En yaygın olarak kullanılan isimlerden biri de Alt Bazik ve Üst Bazik Volkanik Seri' dir (Gedikoğlu, 1978). Maçka (Trabzon) kuzeyindeki Çağlayan köyü ve civarında en iyi yüzeylemenmesini veren Kampaniyen- Maastrichtyen yaşı bazik volkano-tortul kayaçlardan oluşan birim ilk olarak Güven (1993) tarafından "Çağlayan Formasyonu" olarak adlandırılmıştır. İnceleme alanında tortul ara katmanlı dasitik volkanitlerden oluşan Kızılıkaya Formasyonu üzerine gelen bazik volkano-tortul istif Çağlayan Formasyonu ile benzer litolojik ve stratigrafik özelliklere sahip olduğundan, Çağlayan Formasyonu olarak isimlendirilmiştir.

Killi kireçtaşı, kumlu kireçtaşı, kumtaşları ve marn ara seviyeleri içeren andezitik-bazaltik volkanitlerden oluşan Çağlayan Formasyonu inceleme alanında Bekçiler mevkisinin batısında, Zigana Tunelinin hemen güney batısında ve Zigana Dağı civarında yaklaşık 2 km<sup>2</sup> lik alanda yüzeylemiştir (Şekil 33).

Çağlayan Formasyonu'ndaki bazalt ve andezitler arazide genellikle koyu gri ve yeşilimsi gri renklerde görülürler, özellikle kloritleşmenin yoğun olduğu kesimlerde ise yeşile yakın renklerdedirler.

Bazalt örneklerinin mikroskopik incelemesinde, bunların spilitik bazalt oldukları belirlenmiştir. Örneklerde mikrolitik doku; ince taneli ve çoklu mikrolitik olan hamur içerisinde albit mikrolitlerinden ojit ve opak mineral taneciklerindenoluştuğu görülmüştür. Plajiyoklaslar hem iri taneler hemde hamurda mikrolitler halinde bulunur. İri plajiyoklas kristalleri çoklu altere olmuştur. Bu alterasyon çoklu killeşme ve serisitleşme şeklindedir. Tamamen altere olmamış bazı iri plajiyoklas kristallerinde zonlu yapı izlenmekte, bazlarında da albit ikizlenmesi görülmektedir. Plajiyoklasların cins tayininde albit ( $An_{8-10}$ ) oldukları belirlenmiştir. Ojiter hamur içerisinde çok küçük ve

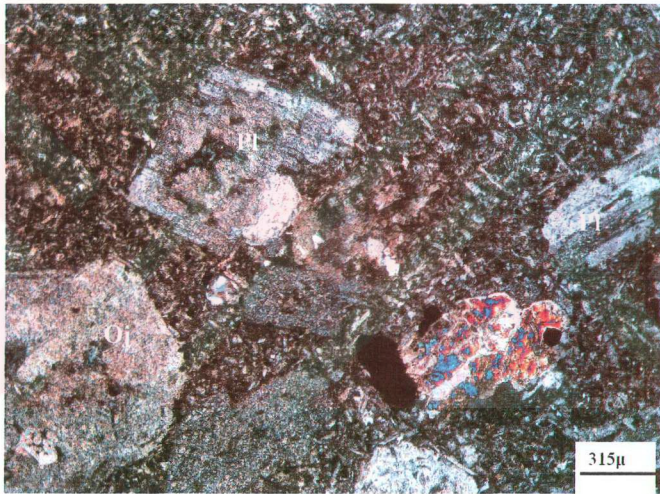
yuvarlağımısı taneler halinde bulunmakta olup kendilerine özgü yeşil renkleriyle karakteristiklerdir. Klorit çoğunlukla plajiyoklasların ayrışma ürünü yer yer de boşluk dolgusu olarak bulunmakta olup yeşilimsi renkleriyle kayaç içerisindeki diğer minerallerden kolaylıkla ayırt edilmektedir. Kalsit plajiyoklasların ayrışma ürünü, yer yer de boşluk ve çatlak dolgusu olarak bulunmaktadır. Opak mineral kayaç içerisinde bol miktarda dağınık düzensiz taneler halinde yer yer de kümelenmiş olarak bulunmaktadır.



Şekil 33. Çağlayan Formasyonu bazaltik-andezitik volkanitlerin arazideki görünüşü ve Kızılıkaya Formasyonu ile sınırı (Yer: Bekçiler Mevkii)

Andezitlerde makroskopik olarak plajiyoklas ve hornblend mineraleri tanınabilmektedir. İnce kesit incelemelerinde andezitlerin mikrolitik porfirik dokuda oldukları görülmüştür (Şekil 34). Hamurun plajiyoklas, hornblend, biyotit ve opak minerallerin mikro ve kripto-kristallerinden oluşmaktadır. Plajiyoklas iri levhamsı prizmatik kristaller halinde ve hamurda da küçük kristaller halinde bulunmaktadır. İri plajiyoklas kristalleri, öz ve yarı öz şekilli olup albit ve polisentetik ikizlenmesi

göstermekte ve bazen zonlu yapı izlenmektedir. Yapılan cins tayinlerinde plajiyoklasların andezin-oligoklas ( $An_{20-35}$ ) bileşiminde oldukları belirlenmiştir. Plajiyoklaslar çoğunlukla kalsitleşmiş ve serizitleşmişdir. Hornblend iri, öz ve yarı öz şekilli, çubukumsu prizmatik kristaller, hamurda da küçük kristaller halinde olup kenar kısımlarında da opak mineraller gelişmiştir. Biyotit iri kristaller halinde ve çoğunlukla tamamen kloritleşmiş olarak görülmüştür. Opak mineraller genellikle köşeli, yuvarlak ve düzensiz şekillerden oluşmakta olup bazı kesitlerde oldukça fazladır. Kalsit hem plajiyoklasların ayırtma ürünü hemde boşluk ve çatlak dolgusu olarak bulunmaktadır. Klorit mineralleri biyotiterin ayırtma ürünü olarak bulunurlar.



Şekil 34. Çağlayan Formasyonu'ndaki andezitlerde mikrolitik porfirik doku (C.N. Pl: Plajiyoklas, Oj: Ojit, Yer Zigana Dağı )

Çağlayan Formasyonu'ndaki piroklastitler çoğunlukla aglomera ve tüf daha az olarak da tüffitten oluşmaktadır. Aglomeralar söz konusu formasyonun taban seviyelerinde görülmüştür (Şekil 33). Aglomera çakılarının boyutları 5-30 cm arasında değişmekte olup koyu renkli ve ince taneli volkanik malzeme ile birbirine bağlanmıştır. Tüfler çoğunlukla tabakalı yapıda ve diğer piroklastik kayaçlarla ardalanmalıdır olarak bulunmaktadır.

İnceleme alanın yakın civarında, özellikle Zigana Dağı'nın güneyinde, Çağlayan

Formasyonu volkanitleri arasında ara katkı olarak genellikle açık sarı, gri, sarımsı gri renkte olan ince tabaklı killi kireçtaşları, kumlu kireçtaşları, kumtaşları ve marnlar gözlenmiştir. Söz konusu tortul ara katmanlar belirgin tabakalanma göstermekte ve kalınlığı 2-25 m arasında değişmektedir.

Çağlayan Formasyonu Kızılıkaya Formasyonu üzerine uyumlu olarak gelmekte olup üst sınırı çalışma alanında izlenmemektedir.

Güven (1993), bu birim içindeki tortul kayaçlardan aldığı örneklerde *Globotruncana Arca CUSHMAN*, *Globotruncana Lapparenti Tricarinata (QUEREAU)*, *Globotruncana cf. Bulloides VOGLEduğR*, *Globotruncana Coronate Bolli*, *Globigerina sp.*, *Gümbelina sp.* fosil türlerine göre Kampaniyen-Maastrichtyen yaşıını vermiştir. Bu çalışmada Çağlayan Formasyonu olarak adlandırılan birimi Hamsiköy tortul-volkanik karmaşığı olarak haritalayan Yalçınalp (1992), bu karmaşık içindeki kırmızı biyomikritlerde Kampaniyen-Mestriştiyen yaşıını veren *Globotruncana tricarinata QUEREAU*, *Globotruncana linneiana d'ORBIGNY*, *Globotruncana arca CUSMAN*, *Globotruncana bulloides VOGLER*, *Globotruncana cf.stuartiformis DALBIEZ*, *Globotruncana fornicata PLUMMER*, *Globotruncana falsostuarti SIGAL* ve *Globotruncana ganserri BOLLI* mikrofosillerini belirlemiştir. Bu fosil bulguları nedeniyle Çağlayan Formasyonu'nun Kampaniyen-Maastrichtyen olduğu kabul edilmiştir.

Çağlayan Formasyonu bazaltik-andezitik volkanizmanın egemen olduğu ve bu volkanizmanın duraksadığı dönemlerde tortul kayaçların çökeldiği denizel ortamda oluşmuştur. Bu formasyonda kumtaşlarının yer alması ve tortul kayaçların piroklastiklerle ardalanmalı olması, çökelme ortamının zaman zaman sığlığıının ve ani değişiklikler gösterdiğini düşündürmektedir.

Bu Formasyon, Doğankent (Giresun) civarındaki Üst Bazik Volkanik Seri (Gedikoğlu 1978), Zigana yöresinde (Gümüşhane) Üst Kretase yaşılı Zigana Formasyonu'nun A2 Üyesi (Türk-Japon Ekibi, 1985), Güzelyayla (Maçka-Trabzon) yöresinde Hamsiköy Tortu-volkanik Karmaşığı (Yalçınalp, 1992); Çaykara (Trabzon) yöresinde Karona Üyesi (Bulut, 1989), Maçka (Trabzon) güney yöresinde Andezit-bazalt ve piroklastlardan oluşan B2 Üyesi (Gülibrahimoğlu, 1985), Kürtün (Gümüşhane) yöresindeki Kirazlık Formasyonu Diker Üyesi (Şirin, 1995) ile hem litoloji hem de stratigrafik olarak benzerdir.

### **3.3. Yapısal Jeoloji**

#### **3.3.1.Tabakalar**

Çatak Formasyonu içersinde yer alan bordo renkli killi kireçtaşı, kumlu kireçtaşı, tüffit ve bazen de tüfler tabakalı yapıdadır. Tabaka kalınlıkları tuf ve tüffitlerde 5-45 cm, arasında, killi ve kumlu kireçtaşlarında 4-16 cm arasında değişmektedir. Çatak Formasyonu'ndaki tabakaların eğimi çoğunlukla 30-40 derece arasında olup eğim yönleri genellikle GD' ya doğrudur. Ancak küçük kıvrımlanmalar ve yersel ölçekteki küçük faylanmalardan dolayı söz konusu tabakalar KB'ya doğru eğim kazanmışlardır.

Kızılıkaya Formasyonu'nda dasitik volkanitler içinde bulunan killi kireçtaşı ve kumtaşları kalınlıkları 5-25 cm arasında değişen iyi gelişmiş tabakalı yapı göstermektedirler. Bu tabakaların duruşları Çatak Formasyonu'ndaki tortul ara katkılara uyumludur.

Çağlayan Formasyonu volkanitleri arasında ara katkı olarak bulunan killi kireçtaşları, kumlu kireçtaşları, kumtaşları ve marn belirgin tabakalanma göstermeye olup kalınlığı 2-25 m. arasında değişmektedir. Çağlayan Formasyonu'ndaki tortul ara katmanları doğrultu ve eğimleri Kızılıkaya Formasyonu'ndaki tortul kayaçların duruşlarıyla uyumludur.

#### **3.3.2.Çatlaklılar**

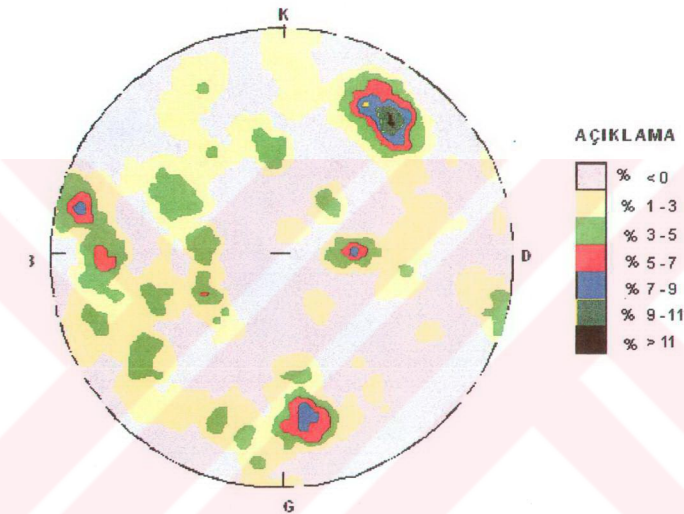
İnceleme alanında yüzeylenen andezitik-bazaltik volkanitler ve dasitik volkanitlerde egemen yapısal unsur çatlaklıdır. Bu volkanitlerin arasında ara katkılı olarak bulunan tortul kayaçlar hem bölgesel tektonik hareketler, hem de oluşumlarından sonra gelişen volkanik aktiviteler nedeniyle çatlaklı yapı kazanmışlardır.

Çatak Formasyonu'ndaki volkanitler çoğunlukla az ve orta derecede ayırmıştır. Bu volkanitlerde çatlak ara uzaklığı 5 ile 60 cm arasında değişmekte olup ortalama çatlak ara uzaklığı 32 cm dir. Söz konusu volkanitlerde çatlak dolgusu çoğunlukla kalsit, yer yer de kildir.

Çağlayan Formasyonu'ndaki volkanitler çoğunlukla az ayrılmışlardır. Bu

volkanitlerde çatlak ara uzaklığı 10 cm ile 135 cm arasında değişmektedir. Çatlak yüzeyleri çoğunlukla ayırmamış ve kalsit dolguludur.

Kızılkaya Formasyonu dasitik volkanitlerin süreksizliklerden alınan ölçümlere göre kontur diyagramı çizilmiştir (Şekil 35). Şekil 35 incelendiğinde Kızılkaya Formasyonu'ndaki volkanitlerde hakim çatlak sistemlerinin 215/78, 335/72, 104/88 ve 270/36 lduğu görülmektedir. Kızılkaya Formasyonu'ndaki daykların duruşu 215/78 ve 335/72 sistemleriyle uyumludur.



Şekil 35. Kızılkaya Formasyonu'ndan alınan 546 çatlak ölçüsüne göre hazırlanan kontur diyagram (Alt yarımküre)

### 3.3.3. Faylar

İnceleme alanında devamlılığı olan 2 tane fay mevcuttur (F1 ve F2 fayları, Şekil 20). Bu faylar hava fotoğraflarında rahatlıkla izlenebilmektedir. Her iki fay K45D doğrultusuna sahiptir

F1 fayı inceleme alanının batısında yer almaktır olup  $80^{\circ}$  GD'ya doğru eğimli normal faydır. Bu fay Maçikon Mevkii civarında Ayur Dere vadisinde Çatak Formasyonu ile Kızılkaya Formasyonu arasındaki sınırı oluştururken inceleme alanının Savaslı Mahallesi civarında Çatak Formasyonu yayılım gösterdiği alanda gelişmiştir (Şekil 20).

F2 fayı düşey atımlı olup inceleme alanının güney doğusunda Kızılıkaya Formasyonu ile Çağlayan Formasyonu arasındaki sınırı oluşturmaktadır (Şekil 20).

Arazide, söz konusu bu iki faya parel ve bunları yaklaşık 65-80 arasında değişen derecelik açılarla kesen devamlılığı çok az olan çok sayıda fay gözlenmiştir. Bu faylar boyunca kayaçlar oldukça kırıklı yapı kazanmış ve ayrılmışlardır.

### **3.4. Kaya Malzemesi İndeks ve Dayanım Özellikleri ve Ayışmayla Değişimi**

İncelenme alanında seçilen yol şevelerde belirlenen jeoteknik birimlerin mühendislik amaçlı tanımlanması, kaya kütle dayanımlarının görgül olarak bulunması ve kazı şevelinin durayılığının kaya kütle sınıflamalarıyla incelenmesi için kaya malzemesinin indeks özelliklerinin ve tek eksenli basınç dayanımı değerlerinin bilinmesine ihtiyaç vardır.

Bu çalışmada indeks özellikler kaya malzemesini tanımlamak ve tek eksenli basınç dayanımını tahmin etmek için kullanılmıştır (Tablo 15).

İncelenen karot örneklerdeki elastik boyuna dalganın yayılma hızı örneğin ultrasonik dalganın örneği katediş süresine oranından bulunmuştur. Söz konusu süre ölçümü örneklerin hem doygun hem de kuru haldeki durumları için oda sıcaklığında gerçekleştirilmiştir.

Genellikle ayışmiş kayaçlar, kil içeren kayaçlar ve zayıf kayaçlar için uygulanan indeks deneylerden biri olan suda dayanım deneyi, iki standart ıslanma-kuruma devrine tabi tutulan kaya örneklerinin suda dağılmaya karşı gösterdiği direncinin belirlenmesine yönelikir. Bu deney ilk kez Franklin ve Chandra (1972) tarafından, çamurtaşlarının kısa süreli ıslanma-kuruma şeklindeki fiziksel etkilerle parçalanma durumunu belirlemek için geliştirilmiş olup ISRM (1979) tarafından standart hale getirilmiştir. Daha sonra, deney Lee ve Freitas (1988) tarafından ele alınarak yeniden düzenlenmiştir. Dasitik volkanitlerden alınan blok örneklerin suda dayanım deneyi sonuçları Tablo 16'da verilmiştir.

Tablo 15 . Jeoteknik birimlerde kaya malzemesinin indeks ve dayanım özelliklerı

Blok	WD	G	$\gamma_k$ kN/m <sup>3</sup>	$\gamma_d$ kN/m <sup>3</sup>	n %	ne %	Vk (m/sn)	Vd (m/sn)	R	$\sigma_{ci}$ (MPa) Kuru	Doygun	$Is_{(50)}$ MPa
D1B*	F	2,72	26,33	26,50	3,2	1,7	4002	4214	58,0	190,0	146,9	7,4
D4A	F	2,72	25,88	26,19	4,8	3,0	3918	4109	55,0	175,0	129,4	7,0
D3-A	SW	2,67	24,53	25,04	8,1	5,1	3813	3992	48,0	167,4	120,1	7,0
D4B	SW	2,70	25,52	25,89	5,5	3,7	3855	4025	52,0	163,9	120,7	5,9
D4C	SW-MW	2,74	25,81	26,18	5,8	3,7	3630	3788	46,0	144,3	74,0	5,65
D1A	MW	2,71	24,57	25,07	9,3	5,0	3594	3722	42,0	115,6	64,3	4,91
D3B	MW	2,66	23,69	24,41	11,1	7,2	3505	3658	36,0	93,3	58,0	3,96
D1D	MW	2,72	24,53	25,08	9,8	5,5	3498	3659	38,0	99,6	40,1	4,02
D1E	MW-HW	2,710	24,44	25,03	9,8	5,8	3318	3493	37,0	89,7	36,7	3,05
D3C	HW	2,680	23,24	24,04	13,3	8,0	3181	3437	32,0	82,5	36,7	2,6
D1C	HW	2,710	24,20	24,82	10,7	6,3	3170	3362	26,0	74,6	35,8	3,75
D4E	HW	2,780	26,09	26,48	6,2	3,9	3129	3384	22,0	72,0	24,9	2,48
A2a**	F	2,79	26,84	27,08	3,7	2,4	3923	4058	54	181,6	98,8	6,25
A2B	SW	2,75	25,84	26,31	6,1	4,7	3658	3841	42	140,6	97,3	5,80
A2C	HW	2,73	25,25	25,81	7,5	5,6	3265	3617	37	86,8	57,9	3,20

(\*D: dasitik volkanitlerden alınan -blok örnekler, \*\*A: Andezitlerden alınan blok örnekler,  
 WD: Ayrışma derecesi, F: Ayrılmamış, SW: Az ayrılmış, MW: orta derecede ayrılmış, HW:  
 Yüksek derecede ayrılmış, G: Özgül ağırlık,  $\gamma_k$ : kuru birim hacim ağırlık,  $\gamma_d$ : doygun birim  
 hacim ağırlık, n : porozite, ne : efektif porozite, R: Schmidt çekici geri tepme sayısı,  $\sigma_{ci}$ : tek  
 eksenli basınç dayanımı,  $Is_{(50)}$ : Nokta yük dayanımı)

Tablo 16. Değişik derecede ayrılmış dasitler için bulunan suda dayanım indeksi değerleri

Blok	WD	Çevrim					
		1.	2.	3.	4.	5.	6.
D1B	F	99,7	99,6	97,9	97,1	96,8	96,7
D4A	F	99,8	99,5	98,4	97,3	96,9	96,9
D3-A	SW	97,3	96,7	91,3	85,3	80,3	80,2
D4B	SW	96,8	96,2	89,7	84,2	78,4	78,1
D4C	SW-MW	89,2	84,5	74,5	68,2	62,3	61,2
D1A	MW	78,2	76,6	69,5	61,8	56,6	54,3
D3B	MW	85,1	82,7	63,8	57,1	53,2	52,1
D1D	MW	83,6	78,4	66,2	60,5	54,2	52,3
D1E	MW-HW	71,8	68,2	56,2	53,1	47,5	45,2
D3C	HW	56,3	53,1	48,7	43,5	39,8	37,9
D1C	HW	60,3	57,7	52,5	44,6	37,2	36,1
D4E	HW	54,3	51,3	48,9	41,7	35,4	33,8

Arazide ayırtlanan jeoteknik birimlerde, dasitik ve andezitik volkanitlerde, ayışmayla oluşan değişimler arazide ve laboratuarda kolaylıkla tanımlanabildiğinden söz konusu birimlerde ayışma dereceleri kolaylıkla belirlenebilmektedir (Tablo 17 ve 18) Bu durum arazide ayışma derecesi tanımlanan söz konusu volkanitlerin indeks ve dayanım özelliklerinin belirli aralıkta tahmin etme olanağını vermektedir.

Tablo 17. Dasitlerin indeks ve dayanım özelliklerinin ayışmayla değişimi

İstatiksel WD değerler	G	$\gamma_k$ kN/m <sup>3</sup>	$\gamma_d$ kN/m <sup>3</sup>	n %	ne %	V <sub>k</sub> (m/sn)	V <sub>d</sub> (m/sn)	$\sigma_{ci}$ (MPa) Kuru	Doyg	R	I <sub>S(50)</sub> MPa	
F	N	25	25	25	25	25	25	25	25	-	40	
	ort	2,72	26,16	26,39	3,8	2,2	3968	4166	183,1	138,2	-	7,0
	max	2,732	26,47	26,62	5,6	3,5	4233	4420	236,5	162,5	64	7,4
	min	2,717	25,68	26,02	2,7	1,4	3769	3916	148,0	125,0	55	6,8
	ss	0,02	0,23	0,164	0,83	0,68	116	131	232	121	-	0,32
	v(%)	0,7	0,9	0,6	22	31	3	3	13	9	-	4,5
SW	N	38	38	38	38	38	38	38	38	-	45	
	ort	2,696	25,15	25,58	6,7	4,3	3779	3951	159,1	104,9	-	6,4
	mak	2,74	26,09	26,44	9,6	5,7	4119	4431	175,8	146,5	58	7,0
	min	2,67	24,13	24,56	3,9	2,1	3470	3621	123,8	42,4	45	5,5
	ss	0,028	0,6	0,53	1,43	0,95	135	150	15,2	26,5	-	0,85
	v(%)	1	2	2	21	22	4	4	10	25	-	13
MW	N	45	45	45	45	45	45	45	45	-	50	
	ort	2,701	24,31	24,90	10	5,3	3477	3632	99,5	49,8	-	4,1
	max	2,72	24,86	25,44	15,4	7,8	3868	4052	121,2	68,6	48	6,1
	min	2,66	22,43	23,04	7,3	4,3	3021	3133	74,6	27,5	35	3,0
	ss	0,024	0,53	0,48	1,5	0,97	189	188	13,5	13,2	-	1,2
	v(%)	0,9	2	2	15	18	5	5	14	26	-	29
HW	N	28	28	28	28	28	28	28	28	-	35	
	ort	2,722	24,46	25,08	11,9	6,8	3160	3396	76,6	32,4	-	2,3
	max	2,78	26,36	26,74	15,8	8,4	3323	3562	108,1	44,7	38	3,2
	min	2,68	22,67	23,45	5,1	3,4	2806	3124	50,6	14,9	20	2,0
	ss	0,044	1,26	1,1	3,2	1,75	125	114	15,1	8,7	-	0,26
	v(%)	1,7	5	4	27	26	4	3	20	27	-	11

Tek eksenli basınç dayanımı belirlemek için uygulanan yöntemlerden biri sadece basit araçların (jeolog çekici, çakı) kullanıldığı, elle uygulanabilen ve standart olmayan basit mekanik deneylerdir. Jeolog çekicinin darbelerine karşı direnç, tanelerin elle koparılması, jeolog çekicinin sıvri ucuyla yapılan penetrasyon deneyi söz konusu basit mekanik deneyleri için birer örnektir. Bu deneylerin sonucu uygulayan kişiye göre farklı olabilmektedir ve doğruluğu Schimdt çekici ile sertliğin ölçümüne ve Nokta yükleme

deneyine göre daha azdır. Ancak bu tür deneyler arazide çok hızlı olarak, kolaylıkla ve daha çok sayıda uygulanabilmektedir.

Tablo 18. Andezitlerin indeks ve dayanım özelliklerinin ayrışmayla değişimi

İstatiksel WD	d eğerler	G	$\gamma_k$ kN/m <sup>3</sup>	$\gamma_d$ kN/m <sup>3</sup>	n %	ne %	V <sub>k</sub> m/sn	V <sub>d</sub> (m/sn)	$\sigma_{ci}$ (MPa)	R	$I_s(50)$ MPa
F	N	11	11	11	11	11	11	11	11	-	15
	ort	2,79	26,8	27,1	3,7	2,4	3923	4058	181,6	98,8	-
	max	2,79	27,2	27,3	5,2	3,7	4090	4245	206,3	123,0	56
	min	2,79	26,4	26,8	2,5	1,2	3674	3841	16,9	59,5	48
	ss	-	0,2	0,2	0,7	0,6	126	102	14,6	29,3	-
	v(%)	-	0,70	0,60	19,0	25,0	3,0	2	8	30	-
SW	N	10,	10,	10	10	10	10	10	10	-	20
	ort	2,75	25,8	26,3	6,1	4,7	3658	3841	140,6	97,3	-
	max	2,75	26,3	26,6	7,3	5,7	3730	4076	158,2	102,3	50
	min	2,75	25,5	26,1	4,6	3,5	3512	3665	114,0	92,3	42
	ss	-	0,3	0,2	1,0	0,9	82	119	16,3	3,9	-
	v(%)	-	1,0	0,7	16,0	19,0	2,0	3,0	12	4,0	-
MW	N	10	10,	10	10	10	10	10	10	-	15
	ort	2,73	25,3	25,8	7,5	5,6	3265	3617	86,8	57,9	-
	max	2,73	25,7	26,2	9,1	8,1	3372	3873	98,9	67,8	43
	min	2,73	24,8	25,	5,8	4,3	3118	3479	76,5	48,0	36
	ss	-	0,3	0,2	1,1	1,2	76	118	8,4	8,3	-
	v(%)	-	1,0	1,0	15,0	21,0	2,3	3,0	10,0	-	27

Schmidt çekici geri tepme sayılarından itibaren kayaların tek eksenli basınç değerini belirlemek için iki kart (grafiksel ilişki) bulunmaktadır. Deere ve Miller (1966) tarafından önerilen kartla L-tipi çekici ile ölçülen geri tepme sayısının kayanın birim hacim ağırlığına çarpılmasıyla elde edilen değerler yardımıyla tek eksenli basınç direnci tahmini yapılmaktadır. İkinci kart, Schmidt çekici üreticisi tarafından (çekici üzerinde) verilmektedir ve R ile  $\sigma_c$  arasında doğrusal ilişki olduğunu varsayılmaktadır. Araştırmacılar, çoğu kez,  $\sigma_c$  ile R arasındaki ilişkinin doğrusal olmadığını belirtmektedirler (Tablo 19).

Tablo 19. Schmidt çekici sertliğinden yararlanılarak tek eksenli basınç dayanımının( $\sigma_c$ ) bulunmasını sağlayan bağıntılar ( $\sigma_{ci}$  değerleri MPa olarak alınmıştır).

Bağıntı	Kaynak	Bağıntı	Kaynak
$\sigma_{ci}=1.3824R+8$	Cekici üretecisi (1960) (Lee 1987 den alınmıştır)	$\log \sigma_{ci}=3.46 \log (R)-3.72$	İrfan ve Dearman 1978
$\sigma_{ci}=6.9 \cdot 10^{(0.16+0.0087R)}$	Deere ve Miller 1966	$\sigma_{ci}=0.447 e^{(0.043R)}$	Kidybinski 1968
$\sigma_{ci}=6.9 \cdot 10^{(1.348 \log(R))}$	Aufumuth 1973	$\sigma_{ci}=0.01645R+1.37338$	Lee 1987
$\log(\sigma_c)=0.4578 \log(R)+0.03$	Carter ve Snedden 1977	$\sigma_{ci}=0.02757R^{2.86}$	Ceryan, 1999

Kazı şevlerinin açıldığı dasitik volkanitlerde tek eksenli basınç dayanımının, Schimidt çekici geri tepme sayısı ( $R$ ) ve geri tepme sayısının birim hacim ağırlık ile çarpımından elde edilen ( $R\gamma$ ) değerlerinden bulunabileceği belirlenmiştir (Şekil 36). Aşağıda verilen ilişkilerin anlamlılığı F testi ile kontrol edilmiş ve regresyon denklemi kurulduktan sonra korelasyon katsayısı  $t$  dağılımı ile test edilmiştir.

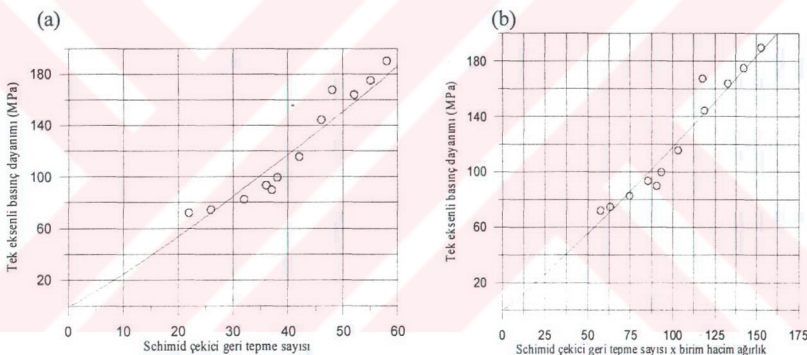
$$\log(\sigma_{ci}) = 1.1332 \log(R) + 0.584 \quad (18)$$

$(R^2 = 0.900, N=12)$

$$\log(\sigma_{ci}) = 1.09322 \log(R\gamma) - 0.26549 \quad (19)$$

$(R^2 = 0.936, N=12)$

Eşitliklerde  $\sigma_{ci}$ : tek eksenli basınç dayanımı (MPa),  $R$ : Schmidt çekici geri tepme sayısı,  $\gamma$ : birim hacim ağırlık ( $gr/cm^3$ )

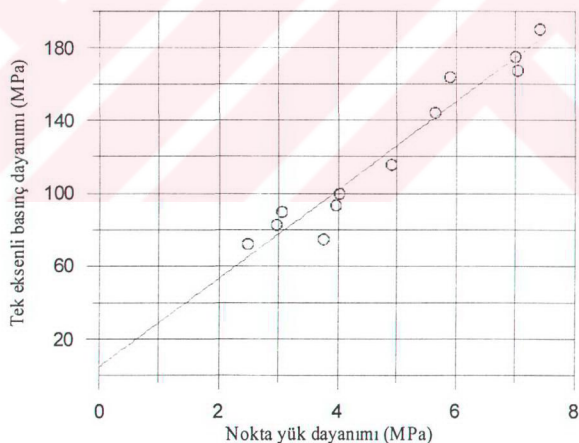


Şekil 36. Dasitlerde tek eksenli basınç dayanımı ile Schmidt çekici geri tepme sayısı arasındaki (a) ve Schmidt çekici geri tepme sayısı  $\times$  birim hacim ağırlık değeri arasındaki ilişki (b)

Nokta yük deneyi avantajlarından dolayı, kayaların basınç direncini belirlemek için yaygın olarak kullanılmaktadır. Literatürde  $\sigma_{ci}$  ile  $I_{S(50)}$  arasında çoğunlukla  $\sigma_{ci} = k I_{S(50)}$  şeklinde ilişkinin olduğu belirtilmektedir (Tablo 20). Bu çalışmada da dasitlerin tek eksenli basınç dayanımının nokta yük dayanımından yararlanarak tahmin edilebileceği belirlenmiştir (Şekil 37).

Tablo 20. Nokta yük direnci ile tek eksenli basınç direnci arasındaki ilişkiler ( $\sigma_c$  ve  $I_s$  nin birimi MPa, çapın birimi mm dir)

Bağıntı	Kaynak	Bağıntı	Kaynak
$\sigma_{ci}=15.3I_s+2.4$	D'Andrea ve diğ (1965)	$\sigma_{ci}=16.5 I_{s(50)}+51$	Gunsallus ve Kullhawy, (1984)
$\sigma_{ci}=24I_{s(50)}$	Broch ve Franklin (1972)	$\sigma_{ci}=23.8I_{s(50)}$	
$\sigma_{ci}=18 I_{s(21.5)}$ $\sigma_{ci}=21 I_{s(42)}$ $\sigma_{ci}=24 I_{s(54)}$	Bieniawski (1975)	$\sigma_{ci}= k I_{s(50)}$ homojen, izotrop kayada $k=20-25$ , anizotrop kayada $k=15-50$	ISRM (1985)
$\sigma_{ci}=29 I_{s(50)}$	Hassani vd.,(1980)	$\sigma_{ci}= 23.55 I_{s(63)}$	Türk (1988)
$\sigma_{ci}=22 I_{s(50)}$	Tarhan (1981)	$\sigma_{ci}=23 I_{s(54)}+ 13$	Cargill ve Shakoor (1990)
$\sigma_{ci}=14.5 I_{s(50)}$	Forster (1983)	$\sigma_{ci}=18.31 I_{s(54)}+ 24.7$	Kahraman (1996)
$\sigma_{ci}=19.03 I_{s(50)} +31,6$	Ceryan,1999	$\sigma_{ci}= 24.25 I_{s(50)} + 4.83$ ( $R^2 = 0.944$ , $N=12$ )	Bu çalışma



Sekil 37. Dasitlerde tek eksenli basınç dayanımı ile Nokta yük dayanımı arasındaki ilişki

### 3.5. Kaya Kütle Sınıflandırmaları Kullanılarak Jeoteknik Birimlerin Tanımlanması ve Şeçilen Kazı Sevlerin Duraylılığının İncelenmesi

#### 3.5.1. Jeomorfolojik Amaçlı Sınıflandırma (RMS)

Jemorfolojik amaçlı sınıflandırma (RMS, Kaya Kütle dayanımı, Selby 1980) doğal yamaçların yüzeyi şekillendiren jeomorfolojik olaylara (erozyona) karşı kaya kütle dayanımı tahmin etmek için geliştirilmiştir. Bu çalışmada RMS sınıflandırmasında kullanılan parametreler ve puanları Monn (1984) ten alınmıştır (Tablo 21). İncelenen kazı sevlerinde tanımlanan jeoteknik birimlerde 4 değişik su durumu (kuru, eser, az ve orta miktardaki su durumu) için bulunan RMS puanı Tablo 22' de verilmiştir.

Tablo 21. Kaya kütle direncinin jeomorfolojik amaçlı ölçümü için önerilmiş sınıflaması (Moon, 1984)

A-Schmidt Çekici Geri tepme sayısı ve puanlar							
<17	17-24	25-28	29-32	33-35	36-37	38-39	40-41
5 <sup>(1)</sup>	6	7	8	9	10	11	12
42-43	44-45	46-47	48-49	50-52	53-56	57-69	
13	14	15	16	17	18	19	
B-Süreksizli ara uzaklığı (m) ve puanları							
<0,02	0,02-0,25	0,025-0,03	0,03-0,05	0,05-0,7	0,07-0,1	0,1-0,15	0,15-0,2
8	9	10	11	12	13	14	15
0,2-0,25	0,25-0,3	0,3-0,4	0,4-0,5	0,5-0,6	0,6-0,7	0,7-0,8	0,8-1,0
16	17	18	19	20	21	22	23
1-1,2	1,2-1,4	1,4-1,6	1,6-1,9	1,9-2,2	2,2-3	>3	
24	25	26	27	28	29	30	
C-Ayrışma durumu ve puanları							
Ayrılmamış	Az ayrılmış	Orta derece ayrılmış	Yüksek dercede ayrılmış	Tümyle ayrılmış			
10	9	7	5				
D-Süreksizlik eğimi ve sev düzleme ilişkisi							
>30° ve yamaç içine doğru eğimli	<30° ve yamaç içine doğru eğimli	Yatay veya düşey	>30° ve yamaç dışına	<30° yamaç dışına			
20	18	14	9	5			
E-Süreksizlik devamlılığı ve dolgu durumu							
Devamsız	Az devamlı	Devamlı ve dolgusuz	Devamlı ve dolgu kalınlığı az	Devamlı ve dolgu kalınlığı fazla			
7	6	5	4	1			
F-Süreksizlik açıklığı (mm)							
<0,1	0,1-1	1-5	5-20	>20			
7	6	5	4	1			
G-Su durumu							
Yok	Eser miktarda	Az <25 l/min/10 m <sup>2</sup>	Orta miktarda 25-125 l/min /10 m <sup>2</sup>	Çok miktarda <125 l/min/10 m <sup>2</sup>			
6	5	4	3	1			

( 1: Parametelerin ölçüm değerlerine göre verilen puanlar italik yazılmıştır)

Tablo 22. Jeoteknik birimlerde değişik su koşullarına göre bulunan RMS puanı

JTB No	R	Js	Wcm	Jor	Jim	Jap	Wtc	RMS				
								Wtc1	Wtc2	Wtc3	Wtc4	
1	Dğ	45	0,54	Orta	(a)	<5mm	2,6	yok	61	60	59	58
	Pn	14	20	7	5	4	5	6				
2	Dğ	54	0,196	Ayışmamış	(a)	dolgusuz	2,4	yok	64	63	62	61
	Pn	18	15	10	5	5	5	6				
3	Dğ	41	0,173	Orta	(a)	<5mm	2	yok	54	53	52	51
	Pn	12	15	7	5	4	5	6				
4	Dğ	50	0,2	Ayışmamış	(b)	<5mm	3,6	yok	76	75	74	73
	Pn	17	16	10	18	4	5	6				
5	Dğ	54	0,3	Az	(a)	<5mm	1,4	yok	65	64	63	62
	Pn	18	18	9	5	4	5	6				
6	Dğ	39	0,121	Yüksek	(a)	>5mm	5,5	yok	46	45	44	43
	Pn	11	14	5	5	1	4	6				
7	Dğ	44	0,909	Orta	(a)	<5mm	4	yok	54	53	52	51
	Pn	14	13	7	5	4	5	6				
8	Dğ	53	0,333	Ayışmamış	(b)	<5mm	2,5	yok	79	78	77	76
	Pn	18	18	10	18	4	5	6				
9	Dğ	53	0,74	Orta	(b)	<5mm	5,5	yok	79	78	77	76
	Dğ	18	22	7	18	4	4	6				
10	Pn	54	0,625	Ayışmamış	(a)	<5mm	2,3	yok	69	68	67	66
	Dğ	18	21	10	5	4	5	6				
11	Pn	52	0,33	Orta	(a)	<5mm	2,5	yok	75	74	73	72
	Dğ	17	18	7	5	4	5	6				
12	Pn	53	0,625	Orta	(a)	<5mm	2,4	yok	66	65	64	63
	Dğ	18	21	7	5	4	5	6				
13	Pn	56	0,206	Ayışmamış	(a)	<5mm	4,5	yok	77	76	75	74
	Dğ	18	16	10	5	4	5	6				
14	Pn	38	1,22	Orta	(b)	>5mm	6,8	yok	72	71	70	69
	Dğ	11	25	7	18	1	4	6				
15	Pn	56	0,85	Az	(a)	<5mm	2,2	yok	70	69	68	67
	Dğ	18	23	9	5	4	5	6				
16	Pn	50	0,299	Az	(a)	<5mm	2,7	yok	63	62	61	60
	Dğ	17	17	9	5	4	5	6				
17	Pn	51	0,215	Orta	(a)	>5mm	5	yok	56	55	54	53
	Dğ	17	16	7	5	1	4	6				
18	Dğ	60	0,48	Ayışmamış	(a)	<5mm	2,3	yok	68	67	66	65
	Pn	19	19	10	5	4	5	6				
19	Dğ	59	0,28	Ayışmamış	(a)	<5mm	2,2	yok	66	65	64	63
	Pn	19	17	10	5	4	5	6				
20	Dğ	41	0,44	Orta	(a)	<5mm	3,8	yok				
	Pn	12	19	7	5	4	5	6	58	57	56	55
21	Dğ	33	0,043	Yüksek	(a)	<5mm	2,2	yok				
	Pn	9	11	5	5	4	5	6	45	44	43	42
22	Dğ	50	0,198	Orta	(a)	<5mm	3	yok				
	Pn	17	15	7	5	4	5	6	59	58	57	56

## Tablo 22'in devamı

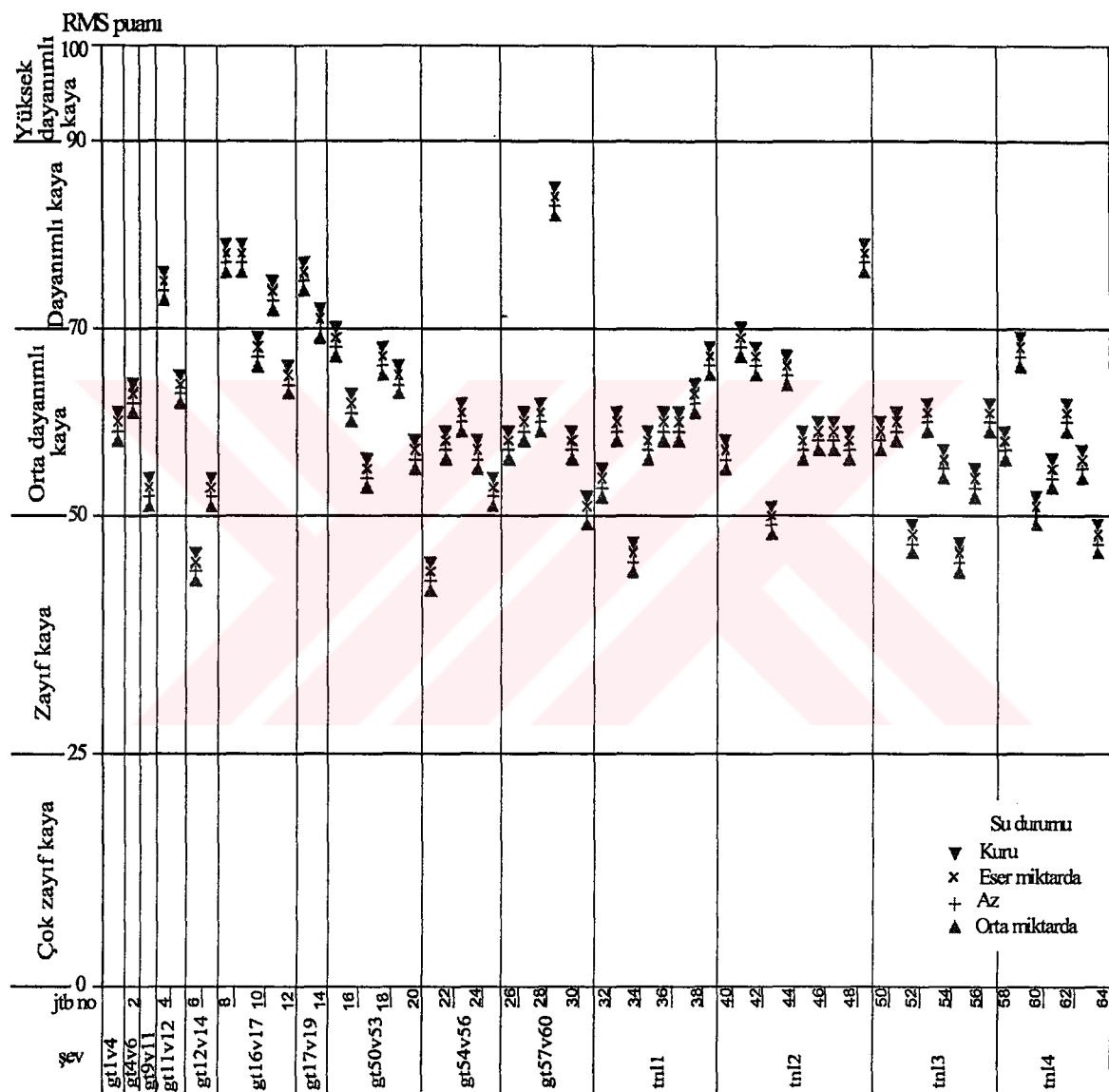
JTB No		R	Js	Wcm	Jor	Jim	Jap	Wtc	RMS			
									Wtc1	Wtc2	Wtc3	Wtc4
23	Dğ	40	0,92	Orta	(a)	<5mm	3,3	yok	62	61	60	59
	Pn	12	23		5	4	5	6				
24	Dğ	50	0,115	Orta	(a)	<5mm	2,8	yok	58	57	56	55
	Pn	17	14		5	4	5	6				
25	Dğ	40	0,278	Yüksek	(a)	<5mm	2,9	yok	54	53	52	51
	Pn	12	17		5	4	5	6				
26	Dğ	48	0,244	Orta	(a)	<5mm	3,1	yok	59	58	57	56
	Dğ	16	16		5	4	5	6				
27	Pn	38	0,813	Orta	(a)	<5mm	4,6	yok	61	60	59	58
	Dğ	11	23		5	4	5	6				
28	Pn	45	0,658	Orta	(a)	<5mm	4,1	yok	62	61	60	59
	Dğ	14	21		5	4	5	6				
29	Pn	63	0,71	Ayırmamış	(b)	dolgusuz	2	yok	85	84	83	82
	Dğ	19	22		10	18	5	5				
30	Pn	45	0,3	Orta	(a)	<5mm	3,2	yok	59	58	57	56
	Dğ	14	18		7	5	4	5				
31	Pn	37	0,192	Orta	(a)	<5mm	2,7	yok	52	51	50	49
	Dğ	10	15		7	5	4	5				
32	Pn	54	0,103	Orta	(a)	>5mm	5,5	yok	55	54	53	52
	Dğ	18	14		7	5	1	4				
33	Pn	47	0,98	Orta	(a)	>5mm	8,3	yok	61	60	59	58
	Dğ	15	23		7	5	1	4				
34	Pn	39	0,391	Yüksek	(a)	>5mm	23,2	yok	47	46	45	44
	Dğ	11	18		5	5	1	1				
35	Dğ	38	0,595	Orta	(a)	dolgusuz	2,8	yok	59	58	57	56
	Pn	11	20		7	5	5	5				
36	Dğ	44	0,36	Az	(a)	<5mm	2,7	yok	61	60	59	58
	Pn	14	18		9	5	4	5				
37	Dğ	49	0,98	Az	(a)	<5mm	2,2	yok	61	60	59	58
	Pn	16	16		9	5	4	5				
38	Dğ	57	0,196	Az	(a)	dolgusuz	2,1	yok	64	63	62	61
	Pn	19	15		9	5	5	5				
39	Dğ	54	0,95	Orta	(a)	<5mm	2,5	yok	68	67	66	65
	Pn	18	23		7	5	4	5				
40	Dğ	38	0,52	Orta	(a)	<5mm	2,4	yok	58	57	56	55
	Pn	11	20		7	5	4	5				
41	Dğ	40	0,38	Orta	(b)	<5mm	3,5	yok	70	69	68	67
	Pn	12	18		7	18	4	5				
42	Dğ	60	0,516	Az	(a)	<5mm	2,6	yok	68	67	66	65
	Pn	19	20		9	5	4	5				
43	Dğ	36	0,556	Yüksek	(a)	>5mm	5,5	yok	51	50	49	48
	Dğ	10	20		5	5	1	4				

Tablo 22'in devamı

No	R	Js	Wcm	Jor	Jim	Jap	Wtc	RMS			
								Wtc1	Wtc2	Wtc3	Wtc4
44	Pn	46	0,7	Az	(a)	dolgusuz	3,4	yok			
	Dğ	15	22	9	5	5	5	6	67	66	65
45	Pn	46	0,263	Orta	(a)	<5mm	4,1	yok			
	Dğ	15	17	7	5	4	5	6	59	58	57
46	Pn	50	0,775	Yüksek	(a)	>5mm	5,7	yok			
	Dğ	17	22	5	5	1	4	6	60	59	58
47	Pn	51	0,78	Yüksek	(a)	>5mm	8,8	yok			
	Dğ	17	22	5	5	1	4	6	60	59	58
48	Pn	47	0,613	Orta	(a)	>5mm	5,9	yok			
	Dğ	15	21	7	5	1	4	6	59	58	57
49	Pn	61	0,385	Az	(b)	<5mm	2,8	yok			
	Dğ	19	18	9	18	4	5	6	79	78	77
50	Pn	46	0,341	Orta	(a)	<5mm	2,3	yok			
	Dğ	15	18	7	5	4	5	6	60	59	58
51	Pn	44	0,826	Yüksek	(a)	>5mm	12,7	yok			
	Dğ	14	26	5	5	1	4	6	61	60	59
52	Dğ	34	0,385	Yüksek	(a)	>5mm	4	yok			
	Pn	9	18	5	5	1	5	6	49	48	47
53	Dğ	54	0,658	Orta	(a)	>5mm	7,6	yok			
	Pn	18	21	7	5	1	4	6	62	61	60
54	Dğ	45	0,556	Orta	(a)	>5mm	9,5	yok			
	Pn	14	20	7	5	1	4	6	57	56	55
55	Dğ	32	0,104	Yüksek	(a)	<5mm	3	yok			
	Pn	8	14	5	5	4	5	6	47	46	45
56	Dğ	45	0,556	Yüksek	(a)	>5mm	9,5	yok			
	Pn	14	20	5	5	1	4	6	55	54	53
57	Dğ	50	0,31	Orta	(a)	<5mm	4,2	yok			
	Pn	17	18	7	5	4	5	6	62	61	60
58	Dğ	46	0,278	Orta	(a)	<5mm	4,1	yok			
	Pn	15	17	7	5	4	5	6	59	58	57
59	Dğ	54	0,745	Az	(a)	<5mm	2,1	yok			
	Pn	18	22	9	5	4	5	6	69	68	67
60	Dğ	40	0,138	Yüksek	(a)	<5mm	3,9	yok			
	Dğ	12	15	5	5	4	5	6	52	51	50
61	Pn	27	0,04	Yüksek	(a)	<5mm	2,2	yok			
	Dğ	7	11	5	5	4	5	6	56	55	54
62	Pn	47	0,323	Az	(a)	<5mm	1,8	yok			
	Dğ	15	18	9	5	4	5	6	62	61	60
63	Pn	45	0,125	Az	(a)	<5mm	1,2	yok			
	Dğ	14	14	9	5	4	5	6	57	56	55
64	Pn	24	0,323	Yüksek	(a)	<5mm	2,3	yok			
	Dğ	6	18	5	5	4	5	6	49	48	47

(Js: süreksizlik ara uzaklığı (m), Wcm: kaya kütlesi ayrışma derecesi, Jor: süreksizliklerin yönelimi ile şev yönelime arasındaki ilişki; (a): süreksizlik yamaç dışına doğru ve  $>30^\circ$  eğime sahip, (b) süreksizlik yamaç içine doğru  $>30^\circ$  eğime sahip, Jim: Dolgu türü ve kalınlığı, Jap (mm): süreksizlik açıklığı, Wtc: su durumu, Wtc1: su yok, Wtc2: su eser miktarda, Wtc3: Su az miktarda, Wtc4: Su orta miktarda)

İncelenen jeoteknik birimlerdeki tüm süreksizlikler devamlı (RMS deki tanımına göre süreksizlik uzunluğu>3m) olduğundan Tablo 22'de sedece dolgu kalınlığı gösterilmiştir. Bu sınıflandırma ile incelenen kazı şevelerde ayırtlanan her bir jöteknik birimin erozyona (kütle hareketleri de dahil) karşı kaya kütlesinin dayanımı bulunmuştur (Şekil 38 ).



Şekil 38. Jeoteknik birimlerin uzun süreli duraylılığının RMS ile tanımlanması

RMS sınıflandırmasında suyun etkisi dikkate alınmıştır. Ancak suyun olmadığı durum için bulunan RMS puanı ile orta miktarda suyun olduğu durum için bulunan RMS

puanı arasında 3 puan fark vardır (Tablo 22). Bu fark özellikle suyun ayrılmış volkanitler üzerindeki bozucu etkisini açıklamak için yeterli olmamaktadır.

### 3.5.2. Jeomekanik Sınıflama (RMR Sistemi)

RMR sistemine (Bieniawski, 1989) göre kaya kütlelerinin sınıflandırılmasında aşağıda belirtilen 5 parametre esas alınmaktadır (Tablo 23) Bunlar; kayacın tek eksenli basınç dayanımı, RQD, süreksızlık ara uzaklığı, süreksızlıkların durumu (devamlılık, pürüzlülük, dolgu, bozunma, açıklık) ve yeraltı suyu koşuludur

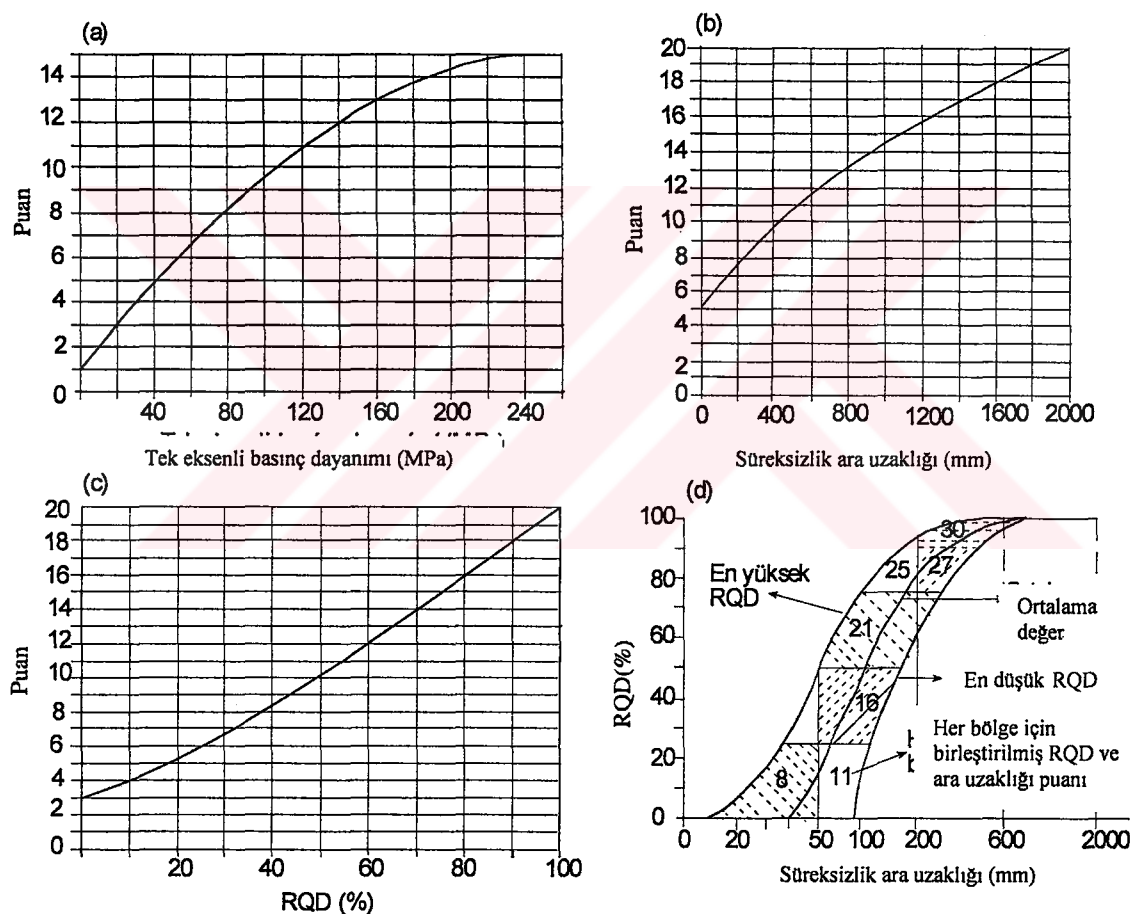
Tablo 23. RMR kaya kütle sınıflama sisteminde kullanılan parametreler ve puanları (Bieniawski, 1989)

1*	Sağlam kayacın dayanımı	Nokta yükü dayanım indeksi	>100 MPa	4-10 MPa	2-4 MPa	1-2 MPa	Düşük aralıklar için tek eksenli dayanım			
	Tek eksenli sıkışma dayanımı	>250 MPa	100-250 MPa	50-100 MPa	25-50 MPa	5-25 MPa	1-5 MPa	<1 MPa		
	Puan	15	12	7	4	2	1	0		
2*	Kayaç kalite göstergesi, RQD			%90-%100	%75-%90	%50-%75	%25-%50			
	Puan			20	17	13	3			
3*	Süreksızlık aralığı			>2 m	0,6-2 m	200-600mm	<60 mm			
	Puan			20	15	10	5			
4*	Süreksızlıkların durumu			Cök kaba yüzeyler	Az kaba yüzeyler	Az kaba yüzeyler veya fay dolgusu	Yumuşak fay dolusu			
	Sürekli değil			Ayrılma<1m m	Ayrılma<1mm	>5mm kalınlıkta veya açık eklemeler				
	Ayrılma yok			Sert eklem yüzeyleri	Yumuşak eklem yüzeyleri	>5 mm devamlı süreksizlikler				
	Sert eklem yüzeyleri									
	Puan			30	25	20	0			
5*	Yer altı suyu	Tünelin 10m' lik kismından gelen su		Yok	10 lt/dk	<25 lt/dk	25-125 lt/dk	>125 lt/dk		
		Oran	Eklemdeki su basıncı	veya		veya	veya	veya		
			Ana asal gerilme	0	0,0-01	0,1-0,2	0,2-0,5	>0,5		
	Genel koşullar			Tamamen kuru	Nemli	Islak	Damlama	Su akışı		
	Puan			15	10	7	4	0		

RQD, kaya malzemesinin tek eksenli basınç dayanımı, süreksızlık ara uzaklığı ve süreksızlık durumu ilgili puanlanmanın daha sağlıklı yapılabilmesi için Tablo 24 ve Şekil 39'da verilen abaklar kullanılmaktadır.

Tablo 24. Süreksizliklerin yüzey durumu için puanlanlama (Bieniawsk, 1989).

Parametre	Puanlar				
Süreksizliğin uzunluğu (devamlılık)	<1 m (6)	1-3 m (4)	3-10 m (2)	10-20 m (1)	>20 m (0)
Süreksizlik açıklığı	Yok (6)	<0,1 mm (4)	0,1-1mm (4)	1-5 mm (1)	>5 mm (0)
Pürüzülük	Çok pürüzlü (6)	Pürüzlü (5)	Az pürüzlü (3)	Düz (1)	Kaygan (0)
Dolgu	Dolgu Yok (6)	Sert dolgu <5mm (4)	>5mm (2)	<5mm (2)	>5mm (0)
Bozunma	Bozunmamış (6)	Az bozunmuş (5)	Orta derecede bozunmuş (3)	Bozunmuş (1)	Çok bozunmuş (0)



Şekil 39. Tek eksenli basınç dayanımı (a), süreksizlik ara uzaklığı (b) ve RQD parametrelerine (c) ait puanları bulmak için kullanılan grafikler (Bieniawski, 1989)

İlk 5 parametrenin toplanmasıyla elde edilen temel RMR değeri süreksızlık yönelimine göre düzeltilerek nihai RMR elde edilmektedir. Süreksızlık yönelimi için Singh ve Gahrooee(1989) tarafından önerilen puanlar dikkate alınmıştır (Tablo 25).

İncelemeden jeoteknik birimlerin RMR değerleri ve bu sisteme göre kaya kütle sınıflandırmaları Tablo 26 ve Şekil 40'da verilmiştir

Tablo 25. Kaya şevleri için önerilen süreksızlık yönelimi düzeltmesi puanları (Singh ve Gahrooee, 1989)

Yenilme türleri ve sayısı	Duraysızlık yok	Olası tek duraysızlık modeli	Tek duraysızlık modeli	İki duraysızlık modeli	Çok sayıda duraysızlı modeli
Puan	0	-5	-25	-50	-60

Tablo 26. Jeoteknik birimlerde değişik su koşullarına göre hesaplanan RMR değerleri

JTB No	$\sigma_{ci}$ (MPa)	RQD	Js (m)	Jl (m)	Jap (mm)	Jr	Jim (mm)	Jwd	Jor	RMR				
										RMRtm	Wtc1	Wtc2	Wtc3	Wtc4
1 Dğ Pn	133,9 11,6	98,5 19,8	0,5405 11,4	3-10 2	2,6 1	Az prz 3	Yumuşak-3 2	Orta 3	-5	69	64	59	56	53
	172,2 13,3	90,7 18,2	0,196 7,7	3-10 2	2,4 1	Az prz 3	Yok 2	Az 5	-25	67	42	37	34	31
3 Dğ Pn	119,8 10,8	88,4 17,5	0,173 7,5	3-10 2	2 1	Az prz 3	Yumuşak-2 2	Orta 3	-25	62	37	32	29	26
	150,4 12,5	91 18,3	0,2 7,7	3-10 2	3,6 1	Az prz 3	Sert-1,7 4	Az 5	-5	69	64	59	56	53
5 Dğ Pn	163,8 12,9	94 18,8	0,303 8,9	3-10 2	1,4 1	Az prz 3	Yumuşak-1 2	Az 5	-25	69	44	39	36	33
	114 10,4	79 15,7	0,121 6,9	1-3 4	5,5 0	Az prz 3	Yumuşak-4 2	Yüksek 0	-5	57	52	47	44	41
7 Dğ Pn	133 11,5	99,2 19,9	0,909 15,4	3-10 2	4,8 1	Pürüzlü 5	Yumuşak-4 2	Orta 3	-25	75	50	45	42	39
	181,6 13,8	96,9 19,6	0,303 8,9	3-10 2	2,5 1	Pürüzlü 5	Sert-2,4 4	Taze 6	-5	75	70	65	62	59
9 Dğ Pn	163,1 12,9	99 19,7	0,741 13,6	3-10 2	3,5 1	Pürüzlü 5	Sert-2,4 4	Az 5	-5	78	73	68	65	62
	190 13,9	99 19,6	0,625 12,4	10-30 1	2,3 1	Pürüzlü 5	Sert-1,9 4	Az 5	-25	77	52	47	44	41
11 Dğ Pn	162,5 12,9	97 19,4	0,333 9,2	3-10 2	2,5 1	Az prz 3	Yumuşak-2,4 2	Az 5	-5	70	65	60	57	54
	163,1 12,7	99,4 19,9	0,625 12,4	3-10 2	2,4 1	Az prz 3	Yumuşak-2,4 2	Az 5	-5	73	68	63	60	57
13 Dğ Pn	197,5 14	91 18,1	0,206 7,8	3-10 2	4,5 1	Pürüzlü 5	Yumuşak-3 2	Az 5	-25	70	45	40	37	34

Tablo 26'nın devamı

JTB No	$\sigma_{cl}$ (MPa)	RQD	Js (m)	Jl (m)	Jap (mm)	Jr	Jim (mm)	Jwd	Jor	RMR				
										RMRtm	Wtc1	Wtc2	Wtc3	Wtc4
14 Dğ Pn	111,8 10,3	100 20	1,22 18,8	10-30 1	6,8 0	Pürüzlü 5	Yumuşak-5 2	Yüksek 0	-5	72	67	62	59	56
15 Dğ Pn	172,8 13,2	99,3 19,8	0,85 14,8	10-30 1	2,2 1	Pürüzlü 5	Sert-1,4 4	Az 5	-25	79	54	49	46	43
16 Dğ Pn	153 12,7	95,5 19	0,299 8,8	3-10 2	3 1	Az prz 3	Sert-2,7 4	Az 5	-25	71	46	41	38	35
17 Dğ Pn	153 12,7	93 18,6	0,215 7,9	10-30 1	5 1	Az prz 3	Sert-5 0	Orta 3	-25	62	37	32	29	26
18 Dğ Pn	190,4 13,9	98 19,6	0,48 10,8	10-30 1	2,3 1	Az prz 3	Sert-1,8 4	Az 5	-25	73	48	43	40	37
19 Dğ Pn	184,4 13,8	94 18,7	0,28 8,6	3-10 2	2,2 1	Az prz 3	Sert-1 4	Az 5	-25	71	46	41	38	35
20 Dğ Pn	119,6 10,8	98 19,7	0,44 10,4	3-10 2	3,8 1	Pürüzlü 5	Sert-2,3 4	Orta 3	-25	71	46	41	38	35
21 Dğ Pn	87,6 8,6	33 7,1	0,04 6	3-10 2	2,2 1	Az prz 3	Sert-1,5 5	Yüksek 0	-25	48	23	18	15	12
22 Dğ Pn	151 12,4	91 18,2	0,198 7,7	3-10 2	3 1	Az prz 3	Sert-2,9 4	Az 5	-25	68	43	38	35	32
23 Dğ Pn	117,6 10,8	99,4 19,9	0,92 15,6	3-10 2	3,3 1	Az prz 3	Sert-2,5 4	Orta 3	-5	74	69	64	61	58
24 Dğ Pn	151,4 12,5	78 15,7	0,115 6,8	3-10 2	2,8 1	Az prz 3	Sert-2,4 4	Orta 3	-25	63	38	33	30	27
25 Dğ Pn	117,1 10,7	94,8 18,9	0,278 8,6	3-10 2	2,9 1	Az prz 3	Sert-2,4 4	Yüksek 0	-25	63	38	33	30	27
26 Dğ Pn	145,2 12,3	93,6 18,7	0,244 8,2	3-10 2	3,1 1	Az prz 3	Yumuşak2,5 2	Orta 3	-25	65	40	35	32	29
27 Dğ Pn	98,5 9,4	99 19,9	0,813 14,4	10-30 1	4,6 1	Pürüzlü 5	Yumuşak2,5 2	Orta 3	-25	71	46	41	38	35
28 Dğ Pn	135 11,5	98,9 19,9	0,658 12,7	3-10 2	4,1 1	Az prz 3	Yumuşak3,3 2	Orta 3	-25	70	45	40	37	34
29 Dğ Pn	196,2 14	99 19,9	0,71 13,3	3-10 2	2 1	Az prz 3	Yok 6	Taze 6	-25	80	55	50	47	44
30 Dğ Pn	134,8 11,5	95 18,9	0,3 8,8	3-10 2	3,2 1	Az prz 3	Yumuşak-3 2	Yüksek 0	-25	62	37	32	29	26
31 Dğ Pn	107,4 10	88,6 17,6	0,192 7,7	3-10 2	2,7 1	Az prz 3	Yumuşak2,3 2	Yüksek 0	-5	58	53	48	45	42
32 Dğ Pn	165,6 13	77,3 15,3	0,103 6,7	10-30 1	5,5 0	Pürüzlü 5	Yumuşak-5 0	Orta 3	-25	59	34	29	26	23
33 Dğ Pn	143,5 12,1	99,9 19,9	0,98 16,2	10-30 1	8,3 0	Pürüzlü 5	Yumuşak8,3 0	Orta 3	-5	72	67	62	59	56
34 Dğ Pn	114,1 10,6	97,3 19,4	0,391 9,8	3-10 2	23,2 0	Çok Prz 6	Yumuşak20 0	Yüksek						
35 Dğ Pn	110,6 10,5	98,7 19,8	0,595 12	10-30 1	2,8 1	Az prz 3	Yok 6	Orta 3	-25	71	46	41	38	35
36 Dğ Pn	118,5 10,8	96,8 19,4	0,36 9,5	10-30 1	2,7 1	Pürüzlü 5	Sert-2,3 4	Az 5	-25	71	46	41	38	35

Tablo 26'nın devamı

JTB No	$\sigma_{ci}$ (MPa)	RQD	Js (m)	Jl (m)	Jap (mm)	Jr	Jim (mm)	Jwd	Jor	RMR				
										RMRtm	Wtc1	Wtc2	Wtc3	Wtc4
37 Dğ Pn	187 13,9	99,5 19,9	0,98 16,2	1-3 2	2,2 1	Pürüzlü 5	Yumuşak-2 2	Az 5	-25	80	55	50	47	44
38 Dğ Pn	175,2 13,4	90,6 18	0,196 7,7	1-3 2	2,1 1	Pürüzlü 5	Yok 6	Az 5	-5	73	68	63	60	57
39 Dğ Pn	180 13,505	99 19,9	0,95 15,9	10-30 1	2,5 1	Az prz 3	Yumuşak-2 2	Orta 3	-25	74	49	44	41	38
40 Dğ Pn	110,4 10,4	98,3 19,7	0,52 11,2	3-10 2	2,4 1	Az prz 3	Sert-2,4 4	Orta 3	-25	69	44	39	36	33
41 Dğ Pn	116 10,6	100 20	0,68 13	3-10 2	4 1	Az prz 3	Yumuşak3,5 2	Orta 3	-25	70	45	40	37	34
42 Dğ Pn	185,6 13,6	98,3 19,7	0,516 11,2	3-10 2	2,9 1	Pürüzlü 5	Yumuşak-3 2	Az 5	-25	75	50	45	42	39
43 Dğ Pn	103,7 9,8	98,5 19,8	0,556 11,6	3-10 2	5 0	Pürüzlü 5	Yumuşak-5 0	Yüksek 0	-25	63	38	33	30	27
44 Dğ Pn	138 11,7	99 19,9	0,7 13,2	3-10 2	3,4 1	Pürüzlü 5	Yok 6	Az 5	-25	79	54	49	46	43
45 Dğ Pn	131,7 11,4	94,4 18,8	0,263 8,4	3-10 2	4,1 1	Az prz 3	Sert-3,7 4	Orta 3	-25	67	42	37	34	31
46 Dğ Pn	151,9 12,5	99,2 19,9	0,775 14	10-30 1	5,7 0	Az prz 3	Yumuşak-5 0	Yüksek 0	-25	65	40	35	32	29
47 Dğ Pn	190 13,8	99,5 19,9	0,78 14	3-10 2	8,8 0	Pürüzlü 5	Yumuşak-7 0	Yüksek 0	-25	70	45	40	37	34
48 Dğ Pn	142,3 12	98,8 19,8	0,613 12,2	10-30 1	8 0	Pürüzlü 5	Yumuşak, 6 0	Yüksek 0	-5	65	60	55	52	49
49 Dğ Pn	97,3 9,4	97,3 19,4	0,385 9,8	3-10 2	2,8 1	Az prz 3	Sert-1 4	Az 5	-5	69	64	59	56	53
50 Dğ Pn	140,3 11,9	96,4 19,3	0,34 9,3	10-30 1	2,3 1	Pürüzlü 5	Sert-1,3 4	Orta 3	-25	70	45	40	37	34
51 Dğ Pn	100 9,5	99,3 19,9	0,826 14,5	10-30 1	1 1	Pürüzlü 5	Sert-10 2	Yüksek 0	-25	68	43	38	35	32
52 Dğ Pn	98,5 9,4	97,2 19,5	0,385 9,8	10-30 1	7,4 0	Az prz 3	Sert-7,4 2	Yüksek 0	-5	60	55	50	47	44
53 Dğ Pn	163,4 12,8	98,4 19,7	0,658 12,7	3-10 2	0 6	Pürüzlü 5	Sert-6 2	Az 5	-25	80	55	50	47	44
54 Dğ Pn	134,6 11,6	98,5 19,7	0,556 11,6	3-10 2	9,5 0	Az prz 3	Yumuşak-7 0	Yüksek 0	-25	63	38	33	30	27
55 Dğ Pn	90,5 8,8	75 15	0,104 6,7	10-30 1	3 1	Az prz 3	Yumuşak-3 2	Yüksek 0	-25	53	28	23	20	17
56 Dğ Pn	134,6 11,6	98,5 19,7	0,556 11,6	3-10 2	9,5 0	Az prz 3	Sert-7 2	Yüksek 0	-25	65	40	35	32	29
57 Dğ Pn	150,9 12,3	95,8 19,2	0,31 8,9	3-10 2	4,2 1	Az prz 3	Sert-3 4	Orta 3	-25	68	43	38	35	32
58 Dğ Pn	137 11,8	94,7 18,9	0,278 8,6	3-10 2	5,1 0	Az prz 3	Sert-4 4	Orta 3	-25	66	41	36	33	30
59 Dğ Pn	164,7 12,9	99,2 19,8	0,748 13,7	10-30 1	2,1 1	Az prz 3	Sert-1 4	Az 5	-25	75	50	45	42	39

Tablo 26'nın devamı

JTB No	$\sigma_{ci}$ (MPa)	RQD	Js (m)	Jl (m)	Jap (mm)	Jr	Jm	Jwd	Jor	RMR				
										RMRtm	Wtc1	Wtc2	Wtc3	Wtc4
60 Dg Pn	119 11,8	84,5 16,9	0,138 7,1	10-30 1	3,9 1	Az prz 3	Yumuşak-3 2	Yüksek 0	-25	58	33	28	25	22
	73 7,6	24 5,8	0,04 6	1-3 4	2,2 1	Az prz 3	Yumuşak-2 2	Yüksek 0	-25	44	19	14	11	8
62 Dg Pn	147 12,4	96 19,3	0,323 9,1	3-10 2	1,8 1	Az prz 3	Sert-1,2 4	Orta 3	-25	69	44	39	36	33
	140,7 11,9	80,8 16	0,125 6,9	3-10 2	1,7 1	Az prz 3	Sert-1 4	Orta 3	-25	63	38	33	30	27
64 Dg Pn	73 7,6	96,2 19,3	0,323 9,1	3-10 2	2,3 1	Az prz 3	Yumuşak-2 2	Yüksek 0	-25	59	34	29	26	23

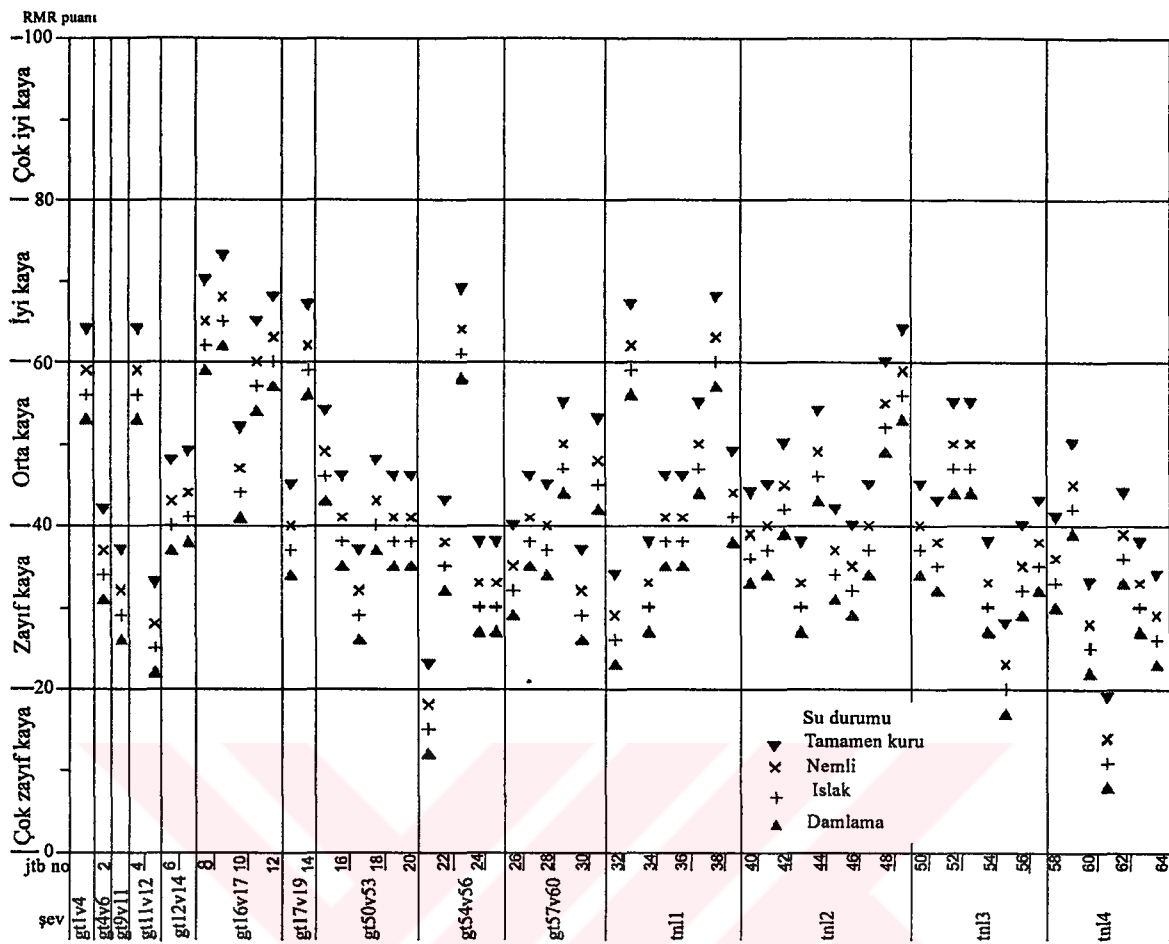
( $\sigma_{ci}$ : kaya malzemesi dayanımı, Js: süreksızlık ara uzaklığı (m), Jwd: süreksızlık yüzeyi bozunma derecesi, Jl: devamlılık Jor: süreksızlıkların yönelimi ile şev yönelimi arasındaki ilişki, Jm: Dolgu türü ve kalınlığı, Jap: süreksızlık açıklığı, Jr: pürüzlülük, prz: pürüzlü RMRtm: Temel RMR değeri JWtc: su durumu, Wtc1: su yok, Wtc2: su eser miktarda, Wtc3: Su az miktarda, Wtc4: Su orta miktarda)

### 3.5.3. Yeniden Düzenlenmiş Jeomekanik Sınıflandırma Sistemi (M-RMR)

Bu çalışmada incelenen jeoteknik birimlerin bir kısmı çok kırıklı ve zayıf kaya kütlesi olması nedeniyle M-RMR sisteminin uygulanabilirliği ve RMR yerine kullanılabilirliği araştırılmıştır. M-RMR sisteminin uygulanışı Şekil 41'de özetlenmiştir. Süreksızlık yüzeyi durum için ise Tablo 27 kullanılmaktadır. Süreksızlık yüzeyi durum puanı, ayırtma, pürüzlülük, açıklık ve dolgu durumuyla ilgili puanların toplamından bulunmaktadır.

Gökçeoğlu (sözlü görüşme, 2004) sondaj olmadığı durumlarda, eğer kaya kütlesi 3 veya daha fazla süreksızlık takımı içeriyorsa süreksızlık yönelimi indeksinin (-5) olarak alınmasının yeterli olduğunu belirtmiştir.

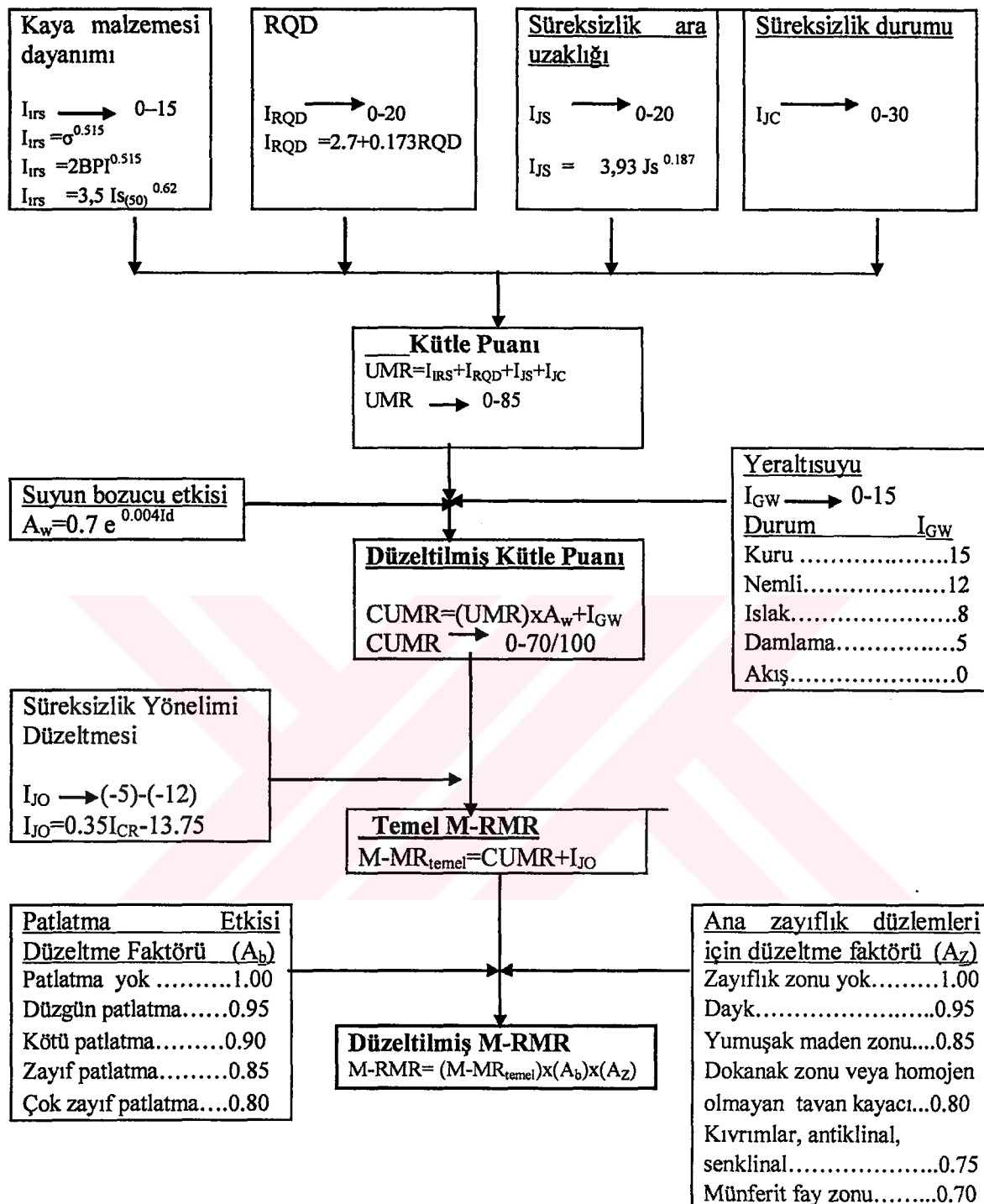
İncelenen tüm jeoteknik birimlerde 4 değişik su durumu için bulunan M-RMR değerleri Tablo 28'de, M-RMR ye göre jeoteknik birimlerin sınıflandırılması Şekil 42'de verilmiştir. Tablo 28'de verilen tüm jeoteknik birimler için süreksızlık yönelimi puanı -5, patlatma etkisi düzeltme faktörü değeri 0,9 ve ana zayıflık düzeltme faktörü değeri 1 dir.



Şekil 40. Jeoteknik birimlerin RMR'ye göre sınıflandırılması

Tablo 27. Süreksizlik yüzeyi durum indeksinin bulunduğu (Gökçeoğlu ve Aksoy(2000)

Ayırışma	Ayırmamış		Az Ayırılmış	Orta derecede ayırmış		Yüksek derecede ayırmış		Tamamen ayırmış		Kalıntı toprak
Iw	8		7	6		4		2		0
Pürzülülük	Dalgalı			Düzelimsel						
IR	Çok pürzülü	Pürzülü	Hafif pürzülü	Düz	Kaygan	Çok pürzülü	pürzülü	Hafif pürzülü	düz	Kaygan
IR	8	6	4	2	1		4	3	2	
Devamlılık	Çok düşük		Düşük	Orta devamlı		Yüksek devamlı		Çok yüksek devamlı		
Ip	4		3	2		1,5		1		
Açıklık	<0,01mm			0,01-1,0 mm						
Dolgu	Dolgusuz	Yumuşak dolgulu	Sert dolgulu	Dolgusuz	Yumuşak dolgulu	Sert dolgulu				
IA-I	10	8	9	8	6	7				
Açıklık	1,0-5,0 mm			>5 mm						
Dolgu	Dolgusuz	Yumuşak dolgulu	Sert dolgulu	Dolgusuz	Yumuşak dolgulu	Sert dolgulu				
IA-I	4	3	5	0	0	1				



Şekil 41. M-RMR sisteminin uygulanışını özetleyen akış diyagramı (Gökçeoğlu ve Aksoy 2000)

Tablo 28. Jeoteknik birimlerde değişik su koşullarına göre hesaplanan M-RMR değerleri

JTB No	$\sigma_{cl}$ MPa	RQD (%)	Js (mm)	Süreksizlik Yüzey Durumu				Id(6)	M-RMR				
				Jl	Jim	Jr	Jwd		temel	Wtc1	Wtc2	Wtc3	Wtc4
1	Dğ	133,9	98,5	540,5	Orta	Yumuşak-3	Az prz	Orta	60,2	59,5	54	51	47
	Pn	12,5	19,7	12,7	2	2	4	6	0,892				
2	Dğ	172,2	90,7	196	Orta	yok	Az prz	Az	75	62	56	53	50
	Pn	14,2	18,4	10,5	2	2	4	7	0,946				
3	Dğ	119,8	88,4	173	Orta	Yumuşak-2	Az prz	Orta	76,2	58,4	53	50	46
	Pn	11,8	18	10,3	2	2	4	6	0,951				
4	Dğ	150,4	91	200	Orta	Sert-1,7	Az prz	Az	77,4	63,5	57	54	51
	Pn	13,2	18,4	10,6	2	4	4	7	0,955				
5	Dğ	163,8	94	303	Orta	Yumuşak-1	Az prz	Az	78,6	63,8	57	55	51
	Pn	13,8	19	11,4	2	2	4	7	0,96				
6	Dğ	114	79	121	Düşük	Yumuşak-4	Az prz	Yüksek	54,2	50,9	46	43	40
	Pn	11,5	16,4	9,6	3	2	4	4	0,87				
7	Dğ	133	99,2	909	Orta	Yumuşak-4	Pürüzlü	Orta	58,5	62,2	56	53	50
	Pn	12,4	19,9	14	2	2	6	6	0,886				
8	Dğ	181,6	96,9	303	Orta	Sert-2,4	Pürüzlü	Taze	93	72,5	65	63	59
	Pn	14,6	19,5	11,4	2	4	6	8	1,00				
9	Dğ	163,1	99	741	Orta	Sert-2,4	Pürüzlü	Az	76,2	69,9	63	60	57
	Dğ	13,8	19,8	13,5	2	4	6	7	0,951				
10	Pn	190	99	625	Orta	Sert-1,9	Pürüzlü	Az	94,8	73,8	66	64	60
	Dğ	14,9	19,8	13,1	2	4	6	7	1,00				
11	Pn	162,5	97	333	Orta	Yumuşak-2,4	Az prz	Az	75,9	63,9	58	55	51
	Dğ	13,8	19,5	11,6	2	2	4	7	0,95				
12	Pn	163,1	99,4	625	Orta	Yumuşak2,4	Az prz	Az	77,2	66	59	57	53
	Dğ	13,8	19,9	13,1	2	2	4	7	0,955				
13	Pn	197,5	91	206	Orta	Yumuşak-3	Pürüzlü	Az	98,3	68,2	61	59	55
	Dğ	15,2	18,4	10,6	2	2	6	7	1,00				
14	Pn	111,8	100	1220	Yüksek	Yumuşak-5	Pürüzlü	Yüksek	47,6	57,5	52	49	45
	Dğ	11,3	20	14,8	1,5	2	6	4	0,848				
15	Pn	172,8	99,3	850	Yüksek	Sert-1,4	Pürüzlü	Az	96,1	73,5	66	63	60
	Dğ	14,2	19,9	13,9	1,5	4	6	7	1,00				
16	Pn	153	95,5	299	Orta	Sert-2,7	Az prz	Az	77,2	65,2	59	56	52
	Dğ	13,3	19,2	11,4	2	4	4	7	0,955				
17	Pn	153	93	215	Yüksek	Sert-5	Az prz	Orta	76,1	68	61	59	55
	Dğ	13,3	18,8	10,7	1,5	0	4	6	0,95				
18	Dğ	190,4	98	480	Yüksek	Sert-1,8	Az prz	Az	78,3	68	61	59	52
	Pn	14,9	19,7	12,5	1,5	4	4	7	0,959				

Tablo 28'in devamı

JTB No	$\sigma_{ct}$ MPa	RQD (%)	Js (mm)	Süreksizlik Yüzey Durumu				ld(6)	M-RMR					
				Jwd	Jim	Jr	Jwd		Aw	temel	Wtc1	Wtc2	Wtc3	Wtc4
19	Dğ	184,4	94	280	Orta	Sert-1	Az prz	Az	96,4					
	Pn	14,7	19	11,3	2	4	4	7	1,00	69	62	59	56	53
20	Dğ	119,6	98	440	Orta	Sert-2,3	Pürüzlü	Orta	44,8					
	Pn	11,7	19,7	12,3	2	4	6	6	0,838	58,7	53	50	47	44
21	Dğ	87,6	33	40	Orta	Sert-1,5	Az prz	Yüksek	38,7					
	Pn	10	8,4	7,8	2	5	4	4	0,818	40,7	37	34	30	28
22	Dğ	151	91	198	Orta	Sert-2,9	Az prz	Az	79,2					
	Pn	13,2	18,4	10,6	2	4	4	7	0,962	64	58	55	51	49
23	Dğ	117,6	99,4	920	Orta	Sert-2,5	Az prz	Orta	47,8					
	Pn	11,6	19,9	14,1	2	4	4	6	0,848	59,2	53	51	47	44
24	Dğ	151,4	78	115	Orta	Sert-2,4	Az prz	Orta	80,3					
	Pn	13,3	16,2	9,5	2	4	4	6	0,967	60,2	54	51	48	45
25	Dğ	117,1	94,8	278	Orta	Sert-2,4	Az prz	Yüksek	46,3					
	Pn	11,6	19,1	11,3	2	4	4	4	0,843	54,2	49	46	42	40
26	Dğ	145,2	93,6	244	Orta	Yumuşak2,5	Az prz	Orta	73,5					
	Dğ	13	18,9	11	2	2	4	6	0,941	60,5	54	52	48	45
27	Pn	98,5	99	813	Yüksek	Yumuşak2,5	Pürüzlü	Orta	25,6					
	Dğ	10,6	19,8	13,8	1,5	2	6	6	0,776	53,3	48	45	42	39
28	Pn	135	98,9	658	Orta	Yumuşak3,3	Az prz	Orta	57,6					
	Dğ	12,5	19,8	13,2	2	2	4	6	0,882	59,5	54	51	47	45
29	Pn	196,2	99	710	Orta	Yok	Az prz	Taze	89					
	Dğ	15,2	19,8	13,4	2	6	4	8	1,001	75,5	68	65	62	59
30	Pn	134,8	95	300	Orta	Yumuşak3,2	Az prz	Yüksek	58					
	Dğ	12,5	19,1	11,4	2	2	4	4	0,884	55,6	50	47	44	41
31	Pn	107,4	88,6	192	Orta	Yumuşak2,3	Az prz	Yüksek	42					
	Dğ	11,1	18	10,5	2	2	4	4	0,829	49,8	45	42	39	36
32	Pn	165,6	77,3	103	Yüksek	Yumuşak-5	Pürüzlü	Orta	78,5					
	Dğ	13,9	16,1	9,3	1,5	0	4	6	0,96	55,8	50	48	44	41
33	Pn	143,5	99,9	980	Yüksek	Yumuşak8,3	Pürüzlü	Orta	65,6					
	Dğ	12,9	20	14,2	1,5	0	6	6	0,911	62,2	56	53	50	47
34	Pn	114,1	97,3	391	Orta	Yumuşak20	Çok Prz	Yüksek	48,4					
	Dğ	11,5	19,5	12	2	0	8	4	0,85	55,5	50	47	44	41
35	Dğ	110,6	98,7	595	Yüksek	Yok	Az prz	Orta	44,3					
	Pn	11,3	19,8	13	1,5	6	4	6	0,836	58,5	53	50	46	44
36	Dğ	118,5	96,8	360	Yüksek	Sert-2,3	Pürüzlü	Az	52,4					
	Pn	11,7	19,4	11,8	1,5	4	6	7	0,864	60	54	51	48	45

Tablo 28'in devamı

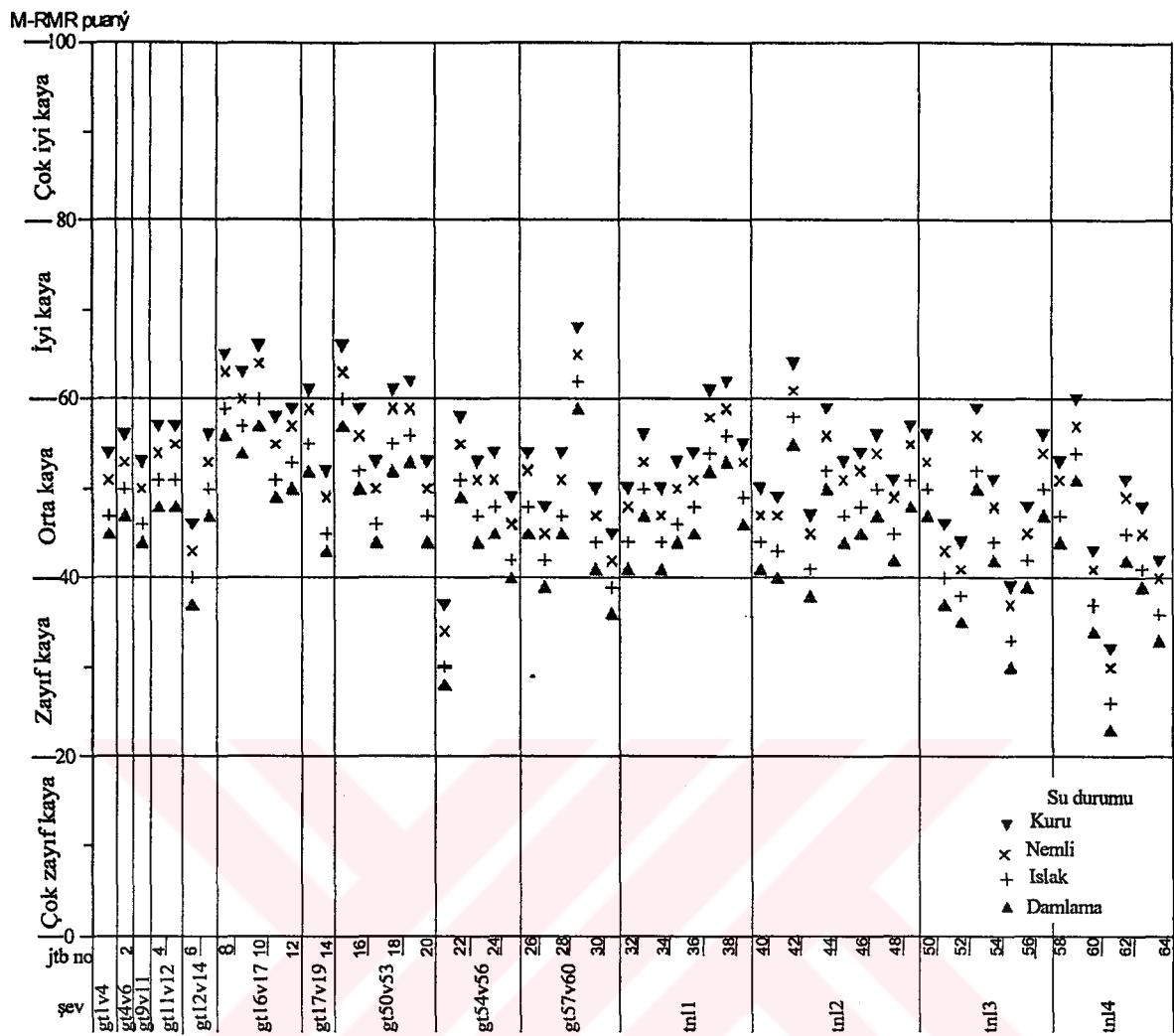
JTB No	$\sigma_{cl}$ MPa	RQD (%)	Js (mm)	Süreksizlik Yüzey Durumu				Id(6)	M-RMR					
				Jwd	Jim	Jr	Jwd		Aw	temel	Wtc1	Wtc2	Wtc3	Wtc4
37	Dğ	187	99,5	980	Yüksek	Yumuşak-2	Pürüzlü	Az	68,8	67,4	61	58	54	52
	Pn	14,8	19,9	14,2	1,5	2	6	7	0,923					
38	Dğ	175,2	90,6	196	Orta	Yok	Pürüzlü	Az	80,2	69	62	59	56	53
	Pn	14,3	18,4	10,5	2	6	6	7	0,966					
39	Dğ	180	99	950	Orta	Yumuşak-2	Az prz	Orta	54,3	61,4	55	53	49	46
	Pn	14,5	19,8	14,2	2	2	4	6	0,871					
40	Dğ	110,4	98,3	520	Orta	Sert-2,4	Az prz	Orta	37,5	55,6	50	47	44	41
	Pn	11,3	19,7	12,7	2	4	4	6	0,814					
41	Dğ	116	100	680	Orta	Yumuşak3,5	Az prz	Orta	36,4	54,7	49	47	43	40
	Pn	11,6	20	13,3	2	2	4	6	0,81					
42	Dğ	185,6	98,3	516	Yüksek	Yumuşak-3	Pürüzlü	Az	91,5	71,2	64	61	58	55
	Pn	14,7	19,7	12,6	1,5	2	6	7	1,011					
43	Dğ	103,7	98,5	556	Yüksek	Yumuşak-5	Pürüzlü	Yüksek	42,6	52,6	47	45	41	38
	Dğ	10,9	19,7	12,8	1,5	0	6	4	0,831					
44	Pn	138	99	700	Orta	Yok	Pürüzlü	Az	53,7	65	59	56	52	50
	Dğ	12,6	19,8	13,4										
45	Pn	131,7	94,4	263	Orta	Sert-3,7	Az prz	Orta	60,5	59,2	53	51	47	44
	Dğ	12,3	19	11,1	2	4	4	6	0,893					
46	Pn	151,9	99,2	775	Yüksek	Yumuşak-5	Az prz	Yüksek	75,4	60,4	54	52	48	45
	Dğ	13,3	19,9	13,6	1,5	0	4	4	0,948					
47	Pn	190	99,5	780	Orta	Yumuşak-7	Pürüzlü	Yüksek	68,4	62,7	56	54	50	47
	Dğ	14,9	19,9	13,7	2	0	6	4	0,921					
48	Pn	142,3	98,8	613	Yüksek	Yumuşak, 6	Pürüzlü	Yüksek	54,6	56,9	51	49	45	42
	Dğ	12,8	19,8	13,1	1,5	0	6	4	0,872					
49	Pn	97,3	97,3	385	Orta	Sert-1	Az prz	Az	78,6	63,7	57	55	51	48
	Dğ	10,6	19,5	12	2	4	4	7	0,96					
50	Pn	140,3	96,4	340	Yüksek	Sert-1,3	Pürüzlü	Orta	62,3	62,2	56	53	50	47
	Dğ	12,8	19,4	11,7	1,5	4	6	6	0,899					
51	Pn	100	99,3	826	Yüksek	Sert-10	Pürüzlü	Yüksek	48,6	51,2	46	43	40	37
	Dğ	10,7	19,9	13,8	1,5	2		4	0,851					
52	Dğ	98,5	97,2	385	Yüksek	Sert-7,4	Az prz	Yüksek	26,8	48,8	44	41	38	35
	Pn	10,6	19,5	12	1,5	2	4	4	0,78					
53	Dğ	163,4	98,4	658	Yüksek	Sert-6	Pürüzlü	Az	68,2					
	Pn	13,8	19,7	13,2	1,5	2	6	7	0,921	65,2	59	56	52	50
54	Dğ	134,6	98,5	556	Yüksek	Yumuşak-7	Az prz	Yüksek	64,3					
	Pn	12,5	19,7	12,8	1,5	0	4	4	0,906	56,4	51	48	44	42

Tablo 28'in devamı

JTB No	$\sigma_{ci}$ MPa	RQD (%)	Js (mm)	Süreksizlik Yüzey Durumu				Id(6)	M-RMR					
				Jwd	Jim	Jr	Jwd		Aw	temel	Wtc1	Wtc2	Wtc3	Wtc4
55	Dğ	90,5	75	104	Yüksek	Yumuşak-3	Az prz	Yüksek	28,5	43,7	39	37	33	30
	Pn	10,2	15,7	9,4	1,5	2	4	4	0,785					
56	Dğ	134,6	98,5	556	Yüksek	Sert-7	Az prz	Yüksek	38,6	53,2	48	45	42	39
	Pn	12,5	19,7	12,8	1,5	2	4	4	0,817					
57	Dğ	150,9	95,8	310	Orta	Sert-3	Az prz	Orta	69,7	62,6	56	54	50	47
	Pn	13,2	19,3	11,5	2	4	4	6	0,926					
58	Dğ	137	94,7	278	Orta	Sert-4	Az prz	Orta	58,9	59,3	53	51	47	44
	Pn	12,6	19,1	11,3	2	4	4	6	0,887					
59	Dğ	164,7	99,2	748	Yüksek	Sert-1	Az prz	Az	72,8	66,8	60	57	54	51
	Pn	13,9	19,9	13,5	1,5	4	4	7	0,938					
60	Dğ	119	84,5	138	Yüksek	Yumuşak-3	Az prz	Yüksek	38,5	48,2	43	41	37	34
	Dğ	11,7	17,3	9,9	1,5	2	4	4	0,817					
61	Pn	73	24	40	Düşük	Yumuşak-2	Az prz	Yüksek	28,6	35,9	32	30	26	23
	Dğ	9,1	6,9	7,8	3	2	4	4	0,785					
62	Pn	147	96	323	Orta	Sert-1,2	Az prz	Orta	42,7	56,9	51	49	45	42
	Dğ	13,1	19,3	11,6	2	4	4	6	0,831					
63	Pn	140,7	80,8	125	Orta	Sert-1	Az prz	Orta	43,4	53	48	45	41	39
	Dğ	12,8	16,7	9,7	2	4	4	6	0,833					
64	Pn	73	96,2	323	Orta	Yumuşak-2	Az prz	Yüksek	23,4	47	42	40	36	33
	Dğ	9,1	19,3	11,6	2	2	4	4	0,769					

( $\sigma_{ci}$ : Kaya malzemesi dayanımı, Js: süreksizlik ara uzaklığı (m), Jwd: süreksizlik yüzeyi bozunma derecesi, Jl: devamlılık, Jim: Dolgu türü ve kalınlığı, Jr: pürüzlülük, Wtc1: su yok, Wtc2: su eser miktarda, Wtc3: Su az miktarda, Wtc4: Su orta miktarda)

İncelenen jeoteknik birimlerin tanımlanmasında, M-RMR sisteminin RMR sistemi yerine uygulanabilirliğini araştırmak için M-RMR puanlarının ile RMR puanlarından anlamlı olarak (0,05 ve 0,01 anlam düzeylerinde) farklı olup olmadığı  $X^2$  testi ile test edilmiştir (Tablo 29). Bu test sonucunda incelenen jeoteknik birimler için temel RMR puanı ile düzeltmiş kütle puanı (CUMR) arasında anlamlı bir fark olmadığı ancak değişik yeraltısuyu koşullarındaki şevisi elde edilen nihai RMR puanları ile düzeltilmiş M-RMR puanları arasındaki farkın önemli olduğu görülmüştür. İncelenen jeoteknik birimlerin %80'inde düzeltilmiş M-RMR puanı nihai RMR puanından büyuktur. Sözkonusu puanlar arasındaki fark su içeriğiyle birlikte artmakta olup 2 ile 18 arasında değişmektedir.



Şekil 42. Jeoteknik birimlerin M-RMR'ye göre sınıflandırılması

Tablo 29 Jeoteknik birimler için bulunan M-RMR değerlerinin RMR'ye uygunluğu için uygulanan  $\chi^2$  testi sonuçları

RMR temel-CUMR	Nihai RMR- Düzeltilmiş M-RMR				
	Kuru	Nemli	Islak	Damlama	
$\sum X^2$	23,998	182,6131	283,3859	287,193	334,6041
Serbestlik dercesi	63	63	63	63	63
$X^2_{.99}$			92,4		
$X^2_{.95}$			83,4		

### 3.5.4. Madencilik İçin Jeomekanik Sınıflandırma (MRMR)

Bu çalışmada MRMR uygulanırken Laubscher (1984, 1990) ve Haines ve Terbrugge (1991) esas alınmıştır. MRMR sisteminde kaya malzemesi dayanımı ve RQD için puanlama Tablo 30'dan, süreksızlık ara uzaklıği puanı aşağıdaki eşitliklerden bulunmaktadır.

1 süreksızlık takımı için süreksızlık ara uzaklıği puanı;

$$25x ((26,4x\log(J_s)+45)/100) \quad (20)$$

2 süreksızlık takımı için süreksızlık ara uzaklıği puanı;

$$25x ((25,94x\log(J_{s_{min}})+38)/100)x ((30x\log(J_{s_{max}})+28)/100) \quad (21)$$

3 süreksızlık takımı için süreksızlık ara uzaklıği puanı;

$$25x ((25,94x\log(J_{s_{min}})+30)/100)x ((29,6x\log(J_s)+20)/100)x((33,3x\log(J_{s_{max}})+10)/100) \quad (22)$$

Eğer süreksızlık takımı 3 ten fazla ise süreksızlık ara uzaklığı ( $J_s$ ) için puanı en düşük olacak şekilde 3 süreksızlık takımı alınır. Süreksizlik yüzey durumu puanı elde etmek için Tablo 31' da verilen büyük ölçekli pürüzlülük puanı, küçük ölçekli pürüzlülük puanı, yüzey ayırtma puanı ve dolgu puanı birbirile çarpılmaktadır ve çıkan puan değeri en fazla %40 olmaktadır.

Tablo 30. MRMR sisteminde kaya malzemesi dayanımı ve RQD için puanlama

$\sigma_{ci}$ (MPa)	Puan %	RQD	Puan(%)
>185	20	97-100	15
165–185	18	84–96	14
145–164	16	71–83	12
125–144	14	56–70	10
105–124	12	44–55	8
85–104	10	31–43	6
65–84	8	17–30	4
45–64	6	4–16	2
35–44	5	0–3	0
25–34	4		
12–24	3		
5–11	2		
1–4	1		

MRMR'yi bulmak için yukarıda verilen jeolojik parametreler (kaya malzemesi dayanımı, RQD, süreksızlık arauzaklığı ve süreksızlık durumu) için hesaplanan toplam puan ayırtma, süreksızlık yönelimi, patlatma etkisi ve gerilme dağılımı ilgili düzeltme katsayılarıyla ( $K_w$ ,  $K_{jor}$ ,  $K_{ev}$ ,  $K_{str}$ ) çarpılarak elde edilir (Tablo 32, 33 ve 34). Laubscher

(1984,1990) süreksizlik yönelik düzeltmesini yeraltı kazıları için önermiştir. Söz konusu düzeltme katsayısı bloğu sınırlayan süreksizlik takım sayısı ile düşeyden sapan süreksizlik takım sayısına bağlı olarak bulunmaktadır. Bu çalışmada, süreksizlik yönelik düzeltmesi katsayısı şev duraylılığı için puanlar değiştirilmeden yeniden düzenlenmiştir (Tablo 34).

Tablo 31. .Süreksizlik durumunun değerlendirilmesi (Laubscher ,1990)

Parametre	Tanımlama	Kuru	Düzeltme, %		
			Nemli	Orta derecede basınç 25–125 l/m	Yüksek basınç >125 l/m
A Büyük ölçekli pürüzlülük	Cöklu dalgalı	100	100	95	90
	Uni	95	90	85	80
	Kıvrımlı	85	80	75	70
	Hafif dalgalı	80	75	70	65
	Düz	75	70	65	60
B Küçük ölçekli pürüzlülük	Pürüzlü	95	85	85	80
	Basamaklı Düz Kaygan	90	80	80	75
		85	75	75	70
	Dalgalı Pürüzlü Düz Kaygan	80	70	70	65
		75	65	65	60
		70	60	60	55
	Düzlemsel Pürüzlü Düz Kaygan	65	55	55	50
		60	50	50	45
		55	45	45	40
C Süreksizlik yüzey alterasyon zonusu	-Yüzey malzemesinden daha dayanıklı -alterasyon yok	100	100	100	100
	-Yüzey malzemesinden daha zayıf dayanıklı	100	100	100	100
		75	70	65	60
D Süreksizlik dolgusu	Yumuşamayan ve makaslanmamış	İri Orta İnce	90 85 80	85 80 75	80 75 70
	-Yumuşak makaslanmış	İri Orta ince	70 60 50	65 55 45	60 50 40
	Dolgu kalınlığı <pürüzlülük		45	40	35
	Dolgu kalınlığı >pürüzlülük		30	20	15

Kazının yapıldığı hacimdeki doğal gerilmelerin oranı ve büyülüklüğü kazı yöneliki ve geometrisine bağlı olarak yeniden düzenlenir. Bu nedenle doğal gerilmelerin oranı ve büyülüklüğü bilinmelidir. Ancak bu durum daha çok yer altı kazıları için geçerlidir. Haines

ve Terbrugge (1991) MRMR sistemini şev duraylılığı ve tasarımlı için kullanırken gerilme durumuna ilişkin düzeltme faktörünü 1 kabul etmişlerdir.

Tablo 32. MRMR sisteminde ayırtma için düzeltme sayısı (Laubscher,1990)

Ayırtma derecesi	Potansiyel ayırtma ve düzeltmeler, %				
	$\frac{1}{2}y$	1y	2y	3y	4+y
Taze	100	100	100	100	100
Az	88	90	92	94	96
Orta	82	84	86	88	90
Yüksek	70	72	74	76	78
Tamamen	54	56	58	60	62
Rezidüel zemin	30	32	34	36	38

Tablo 33. Yeniden düzenlenmiş süreksızlık yönelimi düzeltme puanları

		Kendisi veya diğer süreksiliklerle arakesiti yenilme oluşturacak süreksızlık takım sayısı						
Süreksızlık takım sayısı	Puan	%70	%75	%80	%85	%90	%95	%100
	2	2					1	0
	3	3		2			1	0
	4	4	3		2		1	0
	5	5	4	3	2	1		0
	6	6	5	4	3	2,1		0

Tablo 34. MRMR sisteminde kazı yöntemine ilişkin düzeltme değerleri (Laubscher ,1990)

Teknik	Düzeltme, %
Delik açma (delme)	100
Tarama patlatması	97
İyi klasik patlatma	94
Kötü patlatma	80

İncelen kazı şevleri için, jeoteknik birimlerde yapılan ölçümlere göre elde edilen MRMR değerleri Tablo 35'de, jeoteknik birimlerin MRMR'ye göre sınıflandırması Şekil 43'de verilmiştir. Kaya malzemesi tek eksenli basınç dayanımı ( $\sigma_{ci}$ ) ve RQD değerleri Tablo 28'de de verildiğinden Tablo35'de gösterilmemiştir.

Varyans analizleri yapılarak, şevin kuru ve nemli olduğu durumlarda jeoteknik birimlere ait MRMR değerleri ile RMR değerleri arasındaki farkın önemli olmadığı, şevde orta derecede su basıncının olduğu durumda ise söz konusu farkın anlamlı olduğu belirlenmiştir. MRMR ile M-RMR puanları arasındaki önemli farklılık vardır.

Tablo 35. Jeoteknik birimlerde değişik su koşullarına göre bulunan MRMR değerleri

JTB No	Js(m)			Yüzey Durumu				MRMR	Düzeltenme			MRMR		
	min	orta	max	Jlr	Jsr	Jwd	Jim		Kw	Kjor	Kev	(1)	(2)	(4)
1 Dğ Pn	0,495 9,7	0,629 85	0,716 Pürüzlü	Kıvrımlı 85	80	75	Yumuşak-Orta 60	50,9	Orta 90	1 95	80 35	33 31		
2 Dğ Pn	0,289 7,9	0,467 85	0,508 Düz	Kıvrımlı 85	75	100	Yok 100	65,4	Ayrışmamış 100	2 80	80 42	38 37		
3 Dğ Pn	0,27 7,6	0,4 85	0,539 Düz	Kıvrımlı 85	75	75	Yumuşak-İnce 50	43,2	Orta 90	2 80	80 25	23 22		
4 Dğ Pn	0,354 7,9	0,373 85	0,553 Düz	Kıvrımlı 85	75	75	Sert-Orta 85	54,2	Ayrışmamış 100	0 100	80 43	40 40	38	
5 Dğ Pn	0,382 8,9	0,406 85	0,829 Düz	Kıvrımlı 85	75	75	Yumuşak-İnce 50	48,5	Az 96	3 70	80 26	25 25	24	
6 Dğ Pn	0,204 6,4	0,332 85	0,355 Düz	Kıvrımlı 85	75	75	Yumuşak-İnce 50	40	Yüksek 78	1 95	80 24	22 22	21	
7 Dğ Pn	0,966 12,9	1,045 85	1,221 Pürüzlü	Kıvrımlı 85	80	75	Yumuşak-İnce 50	52,1	Orta 90	2 80	80 30	28 28	27	
8 Dğ Pn	0,432 9,3	0,593 80	0,682 Pürüzlü	Hafif Dalgalı 80	80	75	Sert-Orta 85	58,6	Ayrışmamış 100	0 100	80 47	44 44	41	
9 Dğ Pn	0,451 9,3	0,583 85	0,647 Pürüzlü	Kıvrımlı 85	80	75	Yumuşak-İnce 50	50,5	Orta 90	0 100	80 36	34 34	33	
10 Dğ Pn	0,486 11,6	0,64 85	1,91 Pürüzlü	Kıvrımlı 85	80	75	Sert-Orta 85	63,9	Ayrışmamış 100	2 80	80 41	38 38	36	
11 Dğ Pn	0,432 9,3	0,593 85	0,682 Pürüzlü	Kıvrımlı 85	80	75	Yumuşak-İnce 50	50,5	Orta 90	0 100	80 36	34 34	33	
12 Dğ Pn	0,457 10,2	0,781 85	0,8 Pürüzlü	Kıvrımlı 85	80	75	Yumuşak-İnce 50	51,4	Orta 90	1 95	80 35	33 33	32	
13 Dğ Pn	0,364 7,9	0,415 85	0,475 Pürüzlü	Kıvrımlı 85	80	75	Yumuşak-İnce 50	52,1	Ayrışmamış 100	1 95	80 40	38 38	36	
14 Dğ Pn	1,527 15,7	1,662 85	1,752 Pürüzlü	Kıvrımlı 85	80	75	Yumuşak-İnce 50	52,9	Orta 90	1 95	80 36	34 34	33	
15 Dğ Pn	0,83 12,4	0,948 85	1,183 Pürüzlü	Kıvrımlı 85	80	75	Sert-Orta 85	62,7	Az 96	2 80	80 39	36 36	34	
16 Dğ Pn	0,395 9	0,525 85	0,68 Pürüzlü	Kıvrımlı 85	Düz 75	75	Sert-Orta 85	55,3	Az 96	3 70	80 30	28 28	26	
17 Dğ Pn	0,125 3,6	0,127 85	0,127 Düz	Kıvrımlı 85	75	75	Sert-Orta 85	49,9	Orta 90	3 70	80 25	23 23	22	
18 Dğ Pn	0,549 10,1	0,712 85	0,742 Düz	Kıvrımlı 85	75	75	Sert-Orta 85	61,4	Ayrışmamış 100	1 95	80 47	44 44	42	
19 Dğ Pn	0,32 9,3	0,518 85	0,97 Düz	Kıvrımlı 85	75	75	Sert-Orta 85	57,6	Ayrışmamış 100	2 80	80 37	34 34	33	
20 Dğ Pn	0,686 10,8	0,743 85	0,835 Pürüzlü	Kıvrımlı 85	80	75	Sert-Orta 85	55,1	Orta 90	3 70	80 28	26 26	24	
21 Dğ Pn	0,138 4,4	0,171 85	0,183 Düz	Kıvrımlı 85	75	75	Sert-Orta 85	36,7	Yüksek 78	2 80	80 18	16 16	15	

Tablo 35'in devamı

JTB No	Js(m)			Yüzey Durumu				MRMR	Düzelme			MRMR		
	min	orta	max	Jlr	Jsr	Jwd	Jim		Kw	Kjor	Kev	(1)	(2)	(4)
22	Dğ Pn	0,425 0,527	0,527 0,554	Hf Dalgalı 80	Düz 75	75	Sert-Orta 85	54	Orta 90	2 80	80	31	29	27
23	Dğ Pn	0,951 1,225	1,225 1,418	Hf Dalgalı 13,6 80	Düz 75	75	Sert-Orta 85	55,9	Orta 90	1 95	80	38	36	34
24	Dğ Pn	0,227 0,231	0,231 0,34	Kıvrımlı 6 85	Düz 75	75	Sert-Orta 85	50,3	Orta 90	1 95	80	34	32	30
25	Dğ Pn	0,45 0,508	0,508 0,525	Kıvrımlı 8,6 85	Düz 75	75	Sert-Orta 85	50,9	Yüksek 78	1 95	80	30	28	26
26	Dğ Pn	0,435 0,438	0,438 0,523	Hf Dalgalı 8,3 80	Düz 75	75	Yumuşak- İnce 50	47,3	Orta 90	2 80	80	27	26	25
27	Dğ Pn	0,716 0,721	0,721 0,808	2,6 10,8 80	Pürüzlü 80	75	Yumuşak- İnce 50	45,4	Orta 90	2 80	80	26	25	24
28	Dğ Pn	0,532 0,765	0,765 0,83	Hafif Dalgalı 10,5 80	Düz 75	75	Yumuşak- Orta 60	50,3	Orta 90	2 80	80	29	27	26
29	Dğ Pn	0,763 0,842	0,842 0,859	Hafif Dalgalı 11,3 80	Düz 75	100	Yok 100	70,3	Ayrılmamış 100	1 95	80	53	50	47
30	Dğ Pn	0,421 0,423	0,423 0,862	Hf Dalgalı 9,1 80	Düz 75	75	Yumuşak- Orta 60	47,9	Orta 90	2 80	80	28	26	25
31	Dğ Pn	0,315 0,389	0,389 0,442	Hf Dalgalı 7,5 80	Düz 75	75	Yumuşak- Orta 60	44,3	Orta 90	1 95	80	30	28	27
32	Dğ Pn	0,175 0,299	0,299 0,422	Kıvrımlı 6,3 85	Pürüzlü 80	75	Yumuşak- Orta 60	48,5	Orta 90	2 80	80	28	26	25
33	Dğ Pn	1,216 1,312	1,312 1,133	Kıvrımlı 13,6 85	Pürüzlü 80	75	Yumuşak- Orta 60	54,8	Orta 90	1 95	80	38	35	34
34	Dğ Pn	0,449 0,61	0,61 1,752	Kıvrımlı 11,2 85	Pürüzlü 80	75	Yumuşak- İnce 50	48,4	Yüksek 78	2 80	80	24	23	22
35	Dğ Pn	0,403 0,654	0,654 0,749	Kıvrımlı 9,6 85	Düz 75	100	Yok 100	62,1	Orta 90	1 95	80	42	39	37
36	Dğ Pn	0,43 0,583	0,583 0,65	Kıvrımlı 9,2 85	Pürüzlü 80	75	Sert-Orta 85	53,5	Az 96	4 70	80	29	27	25
37	Dğ Pn	1,216 1,32	1,32 1,33	Kıvrımlı 14 85	Pürüzlü 80	75	Yumuşak- Orta 60	61,2	Az 96	3 75	80	35	34	32
38	Dğ Pn	0,329 0,426	0,426 0,462	Kıvrımlı 7,7 85	Pürüzlü 80	75	Yok 100	60,1	Az 96	1 95	80	44	41	38
39	Dğ Pn	1,153 1,286	1,286 1,33	Kıvrımlı 13,9 85	Pürüzlü 80	75	Yumuşak- Orta 60	59,1	Orta 90	3 75	80	32	30	29
40	Dğ Pn	0,563 0,635	0,635 0,738	Kıvrımlı 10 85	Pürüzlü 80	75	Sert-Orta 85	54,3	Orta 90	3 70	80	27	25	24

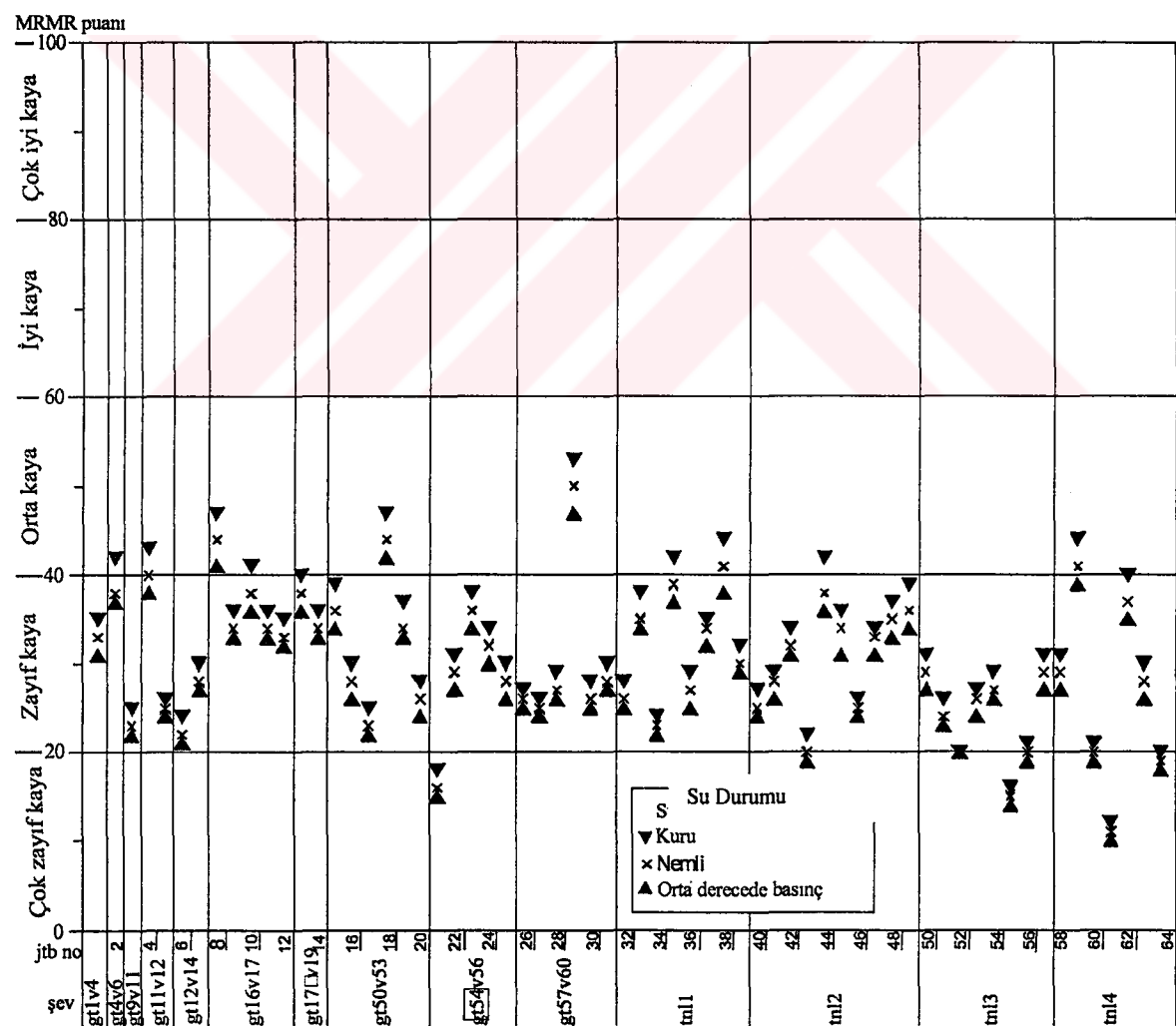
Tablo 35'in devamı

JTB No	Js(m)			Yüzey Durumu				MRMR	Düzelte			MRMR		
	min	orta	max	Jlr	Jsr	Jwd	Jim		Kw	Kjor	Kev	(1)	(2)	(4)
41	Dğ Pn	0,708	0,831	1,166 11,8	Kıvrımlı 85	Pürüzlü 80	75	Yumuşak-Orta 60	51	Orta 90	2 80	80 29	28 26	
42	Dğ Pn	0,55	0,616	0,71 9,8	Kıvrımlı 85	Pürüzlü 80	75	Yumuşak-İnce 50	55	Az 96	2 80	80 34	32 31	
43	Dğ Pn	0,738	0,747	0,875 11	Kıvrımlı 85	Pürüzlü 80	75	Yumuşak-İnce 50	46,2	Yüksek 78	3 75	80 22	20 19	
44	Dğ Pn	0,716	0,772	1,348 12	Kıvrımlı 85	Pürüzlü 80	100	Yok 100	68,2	Az 96	2 80	80 42	38 36	
45	Dğ Pn	0,475	0,483	0,488 8,5	Kıvrımlı 85	Düz 75	75	Sert-Orta 85	52,8	Orta 90	1 95	80 36	34 31	
46	Dğ Pn	0,675	0,827	0,915 11,2	Kıvrımlı 85	Düz 75	75	Yumuşak-İnce 50	51,8	Yüksek 78	2 80	80 26	25 24	
47	Dğ Pn	0,817	1,04	1,24 12,6	Kıvrımlı 85	Pürüzlü 80	75	Yumuşak-İnce 50	57,8	Yüksek 78	1 95	80 34	33 31	
48	Dğ Pn	0,477	1,313	1,621 12,7	Kıvrımlı 85	Pürüzlü 80	75	Yumuşak-Orta 60	53,9	Orta 90	1 95	80 37	35 33	
49	Dğ Pn	0,434	0,625	0,661 9,4	Kıvrımlı 85	Düz 75	75	Sert-Orta 85	50,7	Az 96	0 100	80 39	36 34	
50	Dğ Pn	0,479	0,513	0,638 9,1	Kıvrımlı 85	Pürüzlü 80	75	Sert-Orta 85	54,4	Orta 90	2 80	80 31	29 27	
51	Dğ Pn	0,762	1,381	1,442 13,4	Kıvrımlı 85	Pürüzlü 80	75	Sert-Orta 85	55,7	Yüksek 78	3 75	80 26	24 23	
52	Dğ Pn	0,425	0,532	0,853 9,5	Hf Dalgalı 80	Pürüzlü 80	75	Sert-İnce	34,5	Yüksek 78	1 95	80 20	20 20	
53	Dğ Pn	0,582	0,738	0,837 10,6	Kıvrımlı 85	Pürüzlü 80	75	Yumuşak-Orta 60	53,8	Orta 90	3 70	80 27	26 24	
54	Dğ Pn	0,441	0,734	0,738 9,9	Hf Dalgalı 80	Düz 75	75	Yumuşak-Orta 60	49,7	Orta 90	2 80	80 29	27 26	
55	Dğ Pn	0,228	0,244	0,287 5,8	Hif Dalgalı 80	Düz 75	75	Yumuşak-İnce 50	36,8	Yüksek 78	3 70	80 16	15 14	
56	Dğ Pn	0,44	0,734	0,738 9,9	Hafif Dalgalı 80	Düz 75	75	Yumuşak-İnce 51	48,1	Yüksek 78	3 70	80 21	20 19	
57	Dğ Pn	0,419	0,402	0,731 8,8	Hif Dalgalı 80	Düz 75	75	Sert-Orta 85	54,1	Orta 90	2 80	80 31	29 27	
58	Dğ Pn	0,452	0,482	0,544 8,6	Kıvrımlı 85	Pürüzlü 80	75	Sert-Orta 86	54,1	Orta 90	2 80	80 31	29 27	
59	Dğ Pn	0,627	0,727	1,386 11,7	Hafif Dalgalı 80	Düz 75	75	Sert-Orta 87	60,4	Az 96	1 95	80 44	41 39	
60	Dğ Pn	0,294	0,313	0,373 6,8	Hafif Dalgalı 80	Düz 75	75	Yumuşak-İnce 50	41,8	Yüksek 78	2 80	80 21	20 19	

Tablo 35'in devamı

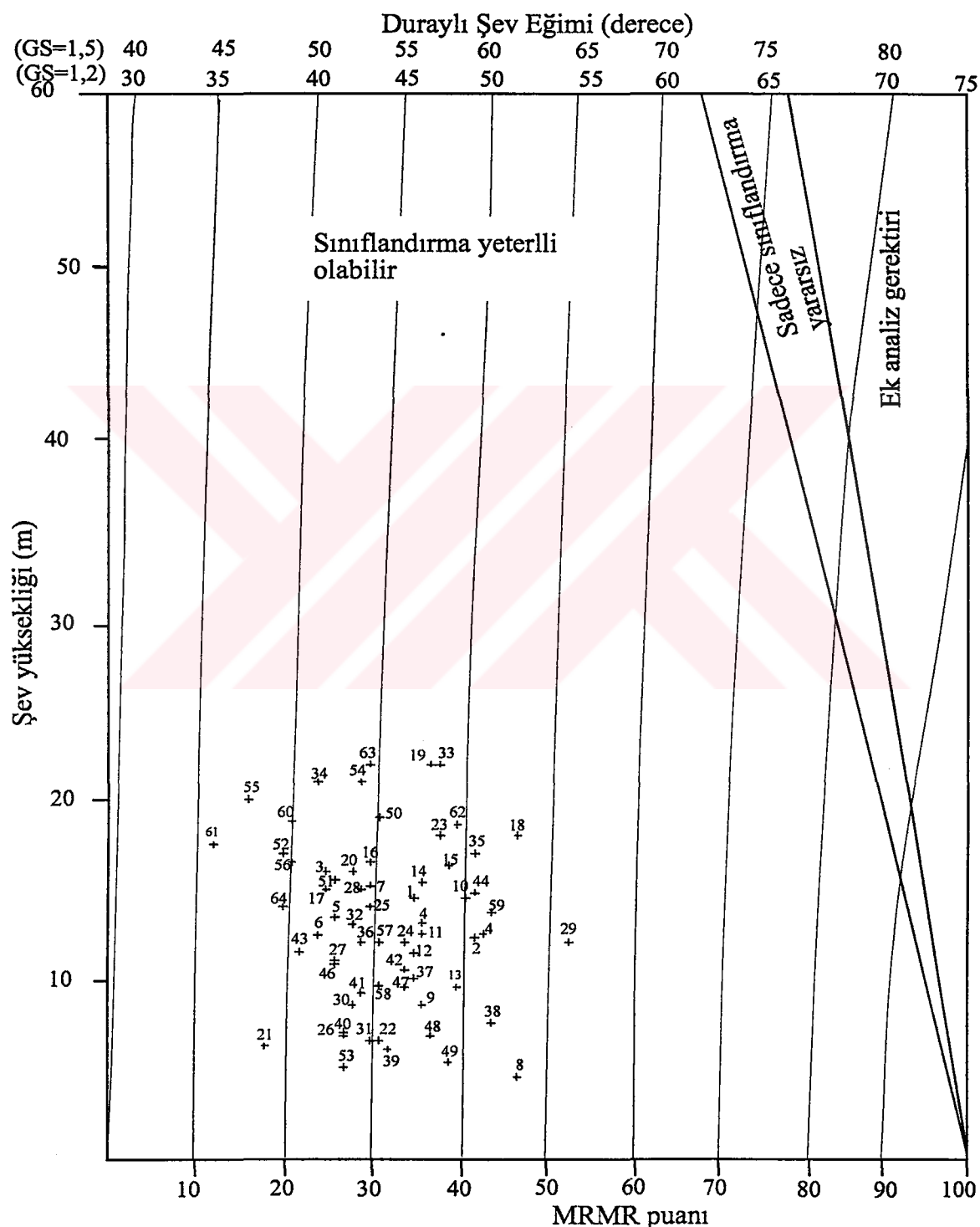
JTB No	Js(m)			Yüzey Durumu				MRMR	Düzelme			MRMR					
	min	orta	max	Jlr	JsrG	Jwd	Jim		Kw	Kjor	Kev	(1)	(2)	(4)			
61	Dğ Pn	0,144	0,145	0,147	Hf Dalgalı	Düz	75	75	Yumuşak-İnce	25	78	2	80	80	12	11	10
62	Dğ Pn	0,392	0,518	0,84	H Dalgalı	Düz	75	75	Sert-Orta	55	96	1	95	80	40	37	35
63	Dğ Pn	0,288	0,365	0,425	Hf Dalgalı	Düz	75	75	Sert-Orta	49	96	2	80	80	30	28	26
64	Dğ Pn	0,495	0,541	0,545	Hf Dalgalı	Düz	75	75	Yumuşak-İnce	39,9	78	2	80	80	20	19	18

(Js: sürekli ara uzaklığı (m), Jlr: büyük ölçekli pürüzlülük, Jsr: küçük ölçekli pürüzlülük, Hf Dalgalı: Hafif dalgalı, Jwd sürekli yüzeyi bozunma derecesi, Jim: Dolgu türü ve kalınlığı, Kw: ayrışma için düzeltme katsayısı, Kjor: sürekliliklerin yönelimi için düzeltme katsayısı, Kev: patlatma için düzeltme katsayısı, JWtc: su durumu, Wtc1: su yok, Wtc2: sue ser miktarda, Wtc4: Su orta miktarda)



Şekil 43. Jeoteknik birimlerin MRMR'ye göre sınıflandırılması

Haines ve Terbrugge (1991) tarafından önerilen tasarım eğrileri kullanılarak incelenen şevlerin duraylı olabilmesi için gerekli şev açıları bulunmuştur (Şekil 44 ve Tablo 36). Bu analiz yapılrken şevlerin kuru olduğu varsayılarak elde edilen MRMR puanları kullanılmıştır.



Şekil 44. Haines ve Terbrugge (1991) tasarım eğrileri kullanılarak incelenen şevlerde duraylı şev eğimlerinin bulunması

Orta derecede su basıncının olduğu durumdaki duraylı şev açlarını bulmak için Tablo 36'da verilen duraylı eğim açlarından 6 derece çıkarmak yeterli olacaktır

Tablo 36. İncelenen kaya şevelerin duraylı olabilmesi için gerekli şev eğimi açları

JTB	No	Eğim (derece)		(A/B)	JTB	No	Eğim (derece)		(A/B)
		Ölçülen(A)	Duraylı(B)				Ölçülen(A)	Duraylı(B)	
gt1v4	1	85	52	1,63	tnl1	33	80	53	1,51
gt4v6	2	70	56	1,25		34	85	53	1,6
gt9v11	3	75	63	1,19		35	85	56	1,52
gt11v12	4	80	57	1,4		36	80	49	1,63
	5	75	47	1,6		37	75	53	1,42
gt12v14	6	76	47	1,62		38	75	58	1,29
	7	72	50	1,44		39	75	51	1,47
gt16v17	8	75	59	1,27	tnl2	40	72	48	1,5
	9	75	53	1,42		41	72	49	1,47
	10	75	55	1,36		42	72	52	1,38
	11	75	53	1,42		43	72	46	1,57
	12	80	53	1,51		44	72	56	1,29
gt17v19	13	73	54	1,35		45	72	43	1,67
	14	73	54	1,35		46	72	47	1,53
gt50v53	15	85	54	1,57	tnl3	47	72	52	1,38
	16	85	54	1,57		48	72	53	1,36
	17	85	47	1,81		49	72	54	1,33
	18	85	59	1,44		50	82	55	1,49
	19	87	53	1,64		51	82	47	1,74
gt54v56	20	85	48	1,77		52	82	44	1,86
	21	85	44	1,93		53	82	48	1,71
	22	85	51	1,67		54	85	53	1,6
	23	85	53	1,6		55	85	43	1,98
	24	85	52	1,63		56	85	45	1,89
gt57v60	25	85	50	1,7		57	85	51	1,67
	26	66	47	1,4	tnl4	58	85	51	1,67
	27	66	47	1,4		59	85	58	1,47
	28	78	48	1,63		60	85	50	1,7
	29	85	66	1,29		61	85	42	2,02
	30	85	48	1,77		62	85	54	1,57
	31	80	50	1,6		63	85	54	1,57
	32	80	58	1,38		64	85	44	1,93

Tablo 36'da verilen duraylı şev açıları güvenlik sayısı 1,5 kabul edilerek çizilen tasarım eğrilerinden bulunmuştur. Güvenlik sayısı 1,5 kabul edilerek duraylı şev açısı ile güvenlik sayısı 1,2 kabul edilerek bulunan duraylı şev açısı arasında 5 derecelik fark vardır (Şekil 44) . Tablo 36'da, verilen ölçülen şev açısı/ şevin duraylı olması için gerekli şev açısı) oranı değerleri incelenen şevlerin duraysız olduğu görülmektedir.

### **3.5.5. Şev Duraylılığı İçin Jeomekanik Sınıflandırma (SMR)**

Kaya şevlerinin duraylılık açısından sınıflandırmasını amaçlayan bu puanlama sistemi Romana (1985, 1993, 1995) ve Roman vd. (2003) tarafından önerilmiştir. SMR sistemi jeomekanik kaya sınıflandırma sisteminden (RMR, Bieniawski, 1989) elde edilmektedir. Bu yöntemde temel RMR puanına süreksizlik ile şevin eğim yönleri ve eğimleri arasındaki ilişkiyi ifade eden düzeltme faktörleri ve kazı yöntemine bağlı olarak örselenmeyi ifade eden faktör eklenmiştir (Tablo 37). SMR puanı aşağıdaki formülle bulunmaktadır

$$\text{SMR} = \text{RMR}_{\text{temel}} + (F_1 \times F_2 \times F_3) + F_4 \quad (23)$$

$F_1$  faktörü, şev düzlemi ile süreksizlik düzlemi arasındaki paralellik ilişkisini gösterir (Tablo 37). Aşağıdaki eşitlikte verilen  $F_1$  faktörünün değeri 0.15 (bu durumda düzlemler arasındaki ilişki 30 °den fazladır) ile 1 (bu durumda düzlemler kendi aralarında paraleldir ve yenilme olasılığı çok düşüktür) arasında değişir

$$F_1 = (1 - \sin \delta)^2 \quad (24)$$

Eşitlikte,  $\delta$  ; şev ve süreksizlik yüzeyinin doğrultusu arasındaki açıdır.

$F_2$  faktörü, düzlemsel kayma türü yenilmede süreksizlik yüzeyinin eğimine bağlıdır. Bu faktör süreksizlik kesme direncinin de bir ifadesi olarak ele alınmaktadır (Tablo 37). Aşağıdaki eşitlikte verilen  $F_2$  faktörünün değeri 1 ile (bu durumda süreksizlik eğimi 45° den büyüktür) 0.15 (bu durumda süreksizlik eğimi 20 °den daha düşüktür) arasında değişmektedir. Devrilme türü yenilme için  $F_2=1$  alınır.

$$F_2 = \tan^2 \beta_j \quad (25)$$

Eşitlikte,  $\beta_j$  ise süreksizlik eğim açısıdır.

$F_3$  faktörü, şev düzlemi ile süreksizlik düzleminin eğimi arasındaki ilişkiyi gösterir. Bu faktör ve düzlemsel kayma tipi yenilmede süreksizliğin şev düzlemini kesip kesmediğinin bir göstergesidir (Tablo 37).

$F_4$  faktörü ise şevin kazı yöntemine bağlı olarak şevin örselenme durumunu gösteren parametredir (Tablo 37).

SMR puanı şevlerin duraylılık açısından sınıflamasında ve duraysız şevlerde duraylılığı sağlamak ve/veya oluşabilecek zararları engellemek için alınacak önlemlerin belirlenmesinde kullanılır (Tablo 38 ve Şekil 45).

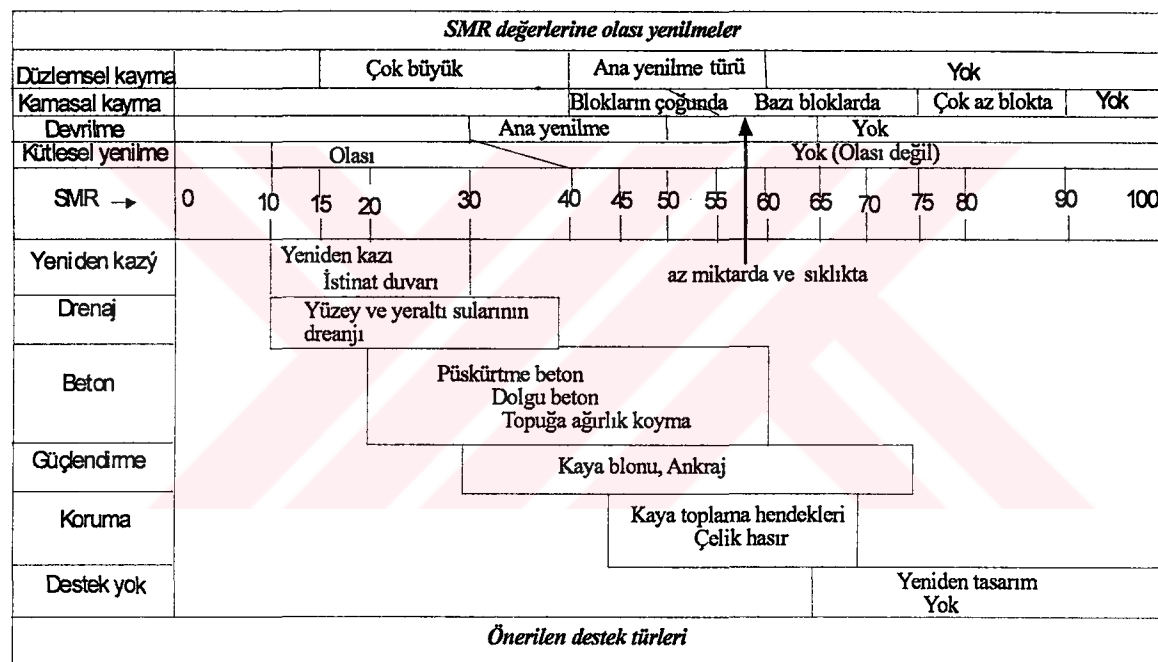
Tablo 37. SMR sistemindeki süreksizlikler için düzeltme faktörleri ( $F_1$ ,  $F_2$ ,  $F_3$ ) ile kazı için düzeltme puanı

SMR=RMR_B+(F <sub>1</sub> *F <sub>2</sub> *F <sub>3</sub> )+F <sub>4</sub> (ROMANA, 1985, 2003)					
Süreksizlikler için düzeltme faktörleri (F <sub>1</sub> , F <sub>2</sub> , F <sub>3</sub> )	$\alpha_j$ =Süreksizlik eğim yönü		$\beta_j$ =süreksizliğin eğimi		
	$\alpha_s$ =şev eğim yönü		$\beta_s$ =şevin eğimi		
	Coc uygun	Uygun	Zayıf	Uygun değil	Hiç uygun değil
Düzlemsel kayma için $ \alpha_j - \alpha_s $ Devrilme için $ \alpha_j - \alpha_s - 180 $ F1 değeri	>30°	30°-20°	20°-10°	10°-5°	<5°
	0.15	0.4	0.7	0.85	1
	$F_1 = (1 - \sin \alpha_j - \alpha_s )^2$				
Düzlemsel kayma F2 değeri Devrilme F2 değeri	<20°	20°-30°	30°-35°	35°-45°	>45°
	0.15	0.4	0.7	0.85	1
	$F_2 = \tan^2 \beta_j$				
Düzlemsel kayma için $(\beta_j - \beta_{s,i})$ Devrilme için $(\beta_j + \beta_{s,i})$ F3 değeri	>10°	10°-0°	0°	0°-(10°)	<(-10°)
	<110°	110°-120°	>120°	-	-
	0	-6	-25	-50	-60
	$F_3$ (süreksizlik yönelimi için Bieniawski düzeltme puanı, 1976)				
Kazı metodu için F4 düzeltme puanı F4 değeri	F4= Kazı metodu için empirik değerler				
	Doğal şev	Ön çatlatma	Tarama patlatması	Klasik patlatma veya mekanik kazı	Kötü patlatma
	+15	+10	+8	0	-8

Tablo 38. SMR puanına göre şevin duraylılık açısından sınıflandırılması (Romana, 1985)

Sınıf no	Vb	Va	IVb	IVa	IIIb	IIIa	IIb	IIa	Ib	Ia
Tanımlama	Çok kötü		Kötü		Orta		İyi		Çok iyi	
Duraylılık	Tamamen duraysız		Duraysız		Kısmen duraysız		Duraylı		Tamamen duraysız	
Yenilmeler	Büyük düzlemsel kayma veya dairesel kayma		Düzlemsel kayma veya kamasal kayma		Bazı süreksizliklere bağlı kamasal kayma		Bazı bloklar		Yok	
Destek	Yeniden kazı				Sistemik		Bazen		Yok	

Şekil 45. SMR puanına göre şevin duraylılık açısından sınıflandırması, şevde görülebilecek yenilme türleri ve duraylılığı sağlamak için gerekli, önlemler (Romana, 2003)



İncelenen kazı şeşlerinde SMR puanını hesaplarken her bir süreksizlik için elde edilen  $F_1$ ,  $F_2$ ,  $F_3$  faktörleri Tablo 39'da verilmiştir.  $F_4$  faktörü tüm jeoteknik birimler için (-8) olarak alınmıştır. Tablo 40'da verilen SMR puanları şevde suyun olmadığı, kuru durumu dikkate alınarak bulunmuştur. Değişik su durumu için bulunan SMR puanlarına göre şeşlerin sınıflandırılması ve duraysız şeşlerde duraylılığı sağlamak için alınabilecek önlemler Şekil 46'de verilmiştir.

Tablo 39 Duraylılığı araştırılan kazı şevelerinde SMR puanlarını bulmak için gerekli düzeltme faktörleri değerleri

JTB	JS1			JS2			JS3			J4			
	NO	Kayma		Devrilme	Kayma		Devrilme	Kayma		Devrilme	Kayma		Devrilme
		F1	F2	F3	F1	F2	F3	F1	F2	F3	F1	F2	F3
1	0,15	1	-60	0,15	-25	0,15	1	-60	0,15	-25	0,15	1	-60
2	0,15	1	-50	0,15	-25	0,7	1	-50	0,15	-25	0,15	1	-50
3	0,15	0,85	-60	1	-6	0,15	1	-50	0,15	-6	0,7	1	-25
4	0,15	1	-6	0,15	-25	0,85	1	-6	0,15	-25	0,15	1	-50
5	1	1	-50	0,15	-25	0,15	1	-60	0,15	-25	0,15	1	-50
6	0,15	0,4	-60	0,15	0	0,15	1	-50	0,15	0	0,15	1	-50
7	0,15	1	0	0,15	-25	0,15	0,85	-60	0,15	-25	1	1	-25
8	0,15	0,85	-60	0,15	-6	0,4	1	-6	0,15	-6	0,15	1	0
9	0,15	0,85	-60	0,15	-6	0,15	1	-6	0,15	-6	0,15	1	0
10	0,7	1	-25	0,15	-25	0,15	1	-60	0,15	-25	0,15	1	-60
11	0,15	0,85	-60	0,15	-6	0,4	1	-6	0,15	-6	0,15	1	0
12	0,15	1	-60	0,15	-25	0,15	1	-25	0,15	-25	0,15	1	-6
13	0,15	0,4	-60	1	0	0,15	1	-25	0,15	0	0,15	1	-6
14	0,15	0,4	-60	1	0	0,15	1	-6	0,15	0	0,15	1	-50
15	0,15	1	-25	1	-25	0,15	0,85	-60	0,15	-25	0,15	1	-60
16	0,15	0,85	-60	1	-25	0,15	1	-60	0,15	-25	0,7	1	-60
17	0,15	0,85	-60	1	-25	0,15	1	-60	0,15	-25	0,7	1	-60
18	0,15	1	-60	0,15	-25	0,15	1	-60	0,7	-25	0,15	1	-60
19	1	1	-25	0,15	-25	0,15	1	-60	0,15	-25	0,15	1	-25
20	1	0,85	-60	0,15	-25	0,15	1	-50	1	-25	0,15	1	-25
21	0,15	0,85	-60	0,15	-25	0,15	1	-60	0,15	-25	0,15	0,15	1
22	0,15	1	-25	0,15	-25	0,15	1	-60	0,4	-25	0,15	1	-60
23	0,15	1	-50	0,15	-25	0,15	1	-60	1	-25	0,15	0,85	-60
24	0,4	1	-60	0,15	-25	0,15	0,4	-60	0,15	-25	0,15	1	-50
25	0,4	1	-60	0,15	-25	0,15	0,4	-60	0,15	-25	0,15	1	-50
26	0,15	1	-6	1	-25	0,15	0,85	-60	1	-25	0,15	0,7	-60
27	0,15	1	-6	1	-25	0,15	0,85	-60	1	-25	0,15	0,7	-60
28	0,15	1	-50	1	-25	0,15	1	-60	0,15	-25	0,85	1	-50
29	0,15	1	-50	1	-25	0,15	1	-6	1	-25	0,15	0,4	-60
30	0,7	1	-60	0,15	-25	0,15	1	-60	1	-25	0,15	1	-60
31	0,15	0,85	-60	1	-6	0,15	1	-50	1	-6	0,15	0,7	-60
32	0,15	0,7	-60	0,15	-6	0,85	1	-6	0,15	-6	0,15	1	-60
33	0,15	1	-60	0,15	-25	0,15	1	-60	0,15	-25	0,15	1	-50
34	0,15	1	-50	0,15	-25	0,15	0,85	-60	0,15	-25	0,15	0,15	-60
35	0,15	1	-60	0,15	-25	0,15	1	-50	0,15	-25	0,7	1	-50
36	0,15	0,7	-60	0,15	-6	0,15	1	-50	0,15	-6	1	0,4	-60
37	1	0,15	-60	0,15	0	0,4	1	-60	0,15	0	0,15	1	-60
38	0,15	0,4	-60	0,15	0	0,15	1	-50	0,15	0	0,15	1	-60
39	1	0,15	-60	0,15	0	0,4	1	-60	0,15	0	0,15	1	-60
40	0,15	1	-50	0,15	-25	0,85	1	-60	0,15	-25	0,15	0,15	-60
41	0,7	1	-6	0,15	-25	0,15	1	-60	0,15	-25	0,15	1	-50

Tablo 39'un devamı

JTB	JS1				JS2				JS3				J4							
	NO	Kayma		Devrilme		Kayma		Devrilme		Kayma		Devrilme		Kayma		Devrilme				
42	0,15	1	-6	1	-25	0,15	0,4	-60	0,15	-25	0,15	1	0	0,15	-25					
43	0,15	1	0	0,15	-25	0,15	0,7	-60	0,15	-25	0,15	1	-6	1	-25					
44	0,7	1	-60	0,15	-25	0,15	1	-60	0,15	-25	0,15	1	0	0,15	-25					
45	0,4	1	-60	0,15	-6	0,15	1	-6	1	-6	0,15	1	-6	0,15	-6					
46	0,15	1	-50	0,15	-25	0,15	1	-6	0,15	-25	0,85	1	-25	0,15	-25					
47	0,4	1	-60	0,15	-6	0,15	1	-50	0,15	-6	0,15	1	-6	0,15	-6					
48	0,15	1	-6	0,15	-25	0,15	0,85	-60	0,15	-25	0,15	1	-6	0,15	-25					
49	0,15	1	-50	0,15	-25	0,15	1	-6	0,15	-25	0,15	1	-6	0,15	-25					
50	1	1	-60	0,15	-25	0,15	1	-60	0,15	-25	0,15	1	-60	0,15	-25					
51	0,15	1	-60	0,15	-25	0,15	1	-60	0,15	-25	0,15	1	-60	0,4	-25	0,4	1	-60	0,15	-25
52	0,15	1	-50	0,15	-25	0,4	1	-60	0,15	-25	0,15	1	-50	0,15	-25					
53	0,4	1	-60	0,15	-25	0,15	1	-60	0,15	-25	0,15	1	-50	1	-25					
54	1	1	-6	0,15	-25	0,15	1	-50	0,15	-25	1	0,7	-60	0,15	-25					
55	0,15	1	-50	0,15	-25	0,4	1	-60	0,15	-25	0,15	1	-50	0,15	-25					
56	1	1	-6	0,15	-25	0,15	1	-50	0,15	-25	0,85	0,7	-60	0,15	-25					
57	0,15	1	-50	0,4	-25	0,15	1	-60	0,15	-25	0,15	1	-60	1	-25					
58	0,15	1	-60	0,15	-25	0,15	1	-60	1	-25	0,15	1	-50	0,15	-25					
59	0,15	1	-50	0,15	-25	0,85	0,85	-60	0,15	-25	0,15	1	-25	0,15	-25					
60	0,15	1	-60	1	-25	0,15	1	-60	0,15	-25	0,15	1	-60	0,15	-25					
61	0,15	0,85	-60	0,15	-25	0,15	1	-60	1	-25	0,85	1	-25	0,15	-25					
62	0,4	1	-60	0,15	-25	0,15	0,85	-60	0,15	-25	0,15	1	-60	0,15	-25					
63	0,15	0,7	-60	0,4	-6	0,15	1	-60	0,7	-6	0,15	0,85	-60	0,15	-6	0,15	1	-50	0,15	-6
64	0,15	1	-60	0,15	-25	0,15	0,4	-60	1	-25	0,15	1	-60	0,15	-25					

SMR puanına göre şeşlerin duraylılık sınıflandırması arazi gözlemleriyle uyumludur. Ancak SMR'nin şev yüksekliğini dikkate almaması ve kütlesel yenilme için de süreksızlık yöneliklerini dikkate alması şev duraylılık değerlendirmeleri için önemli eksikliktir. Şevin kuru durumda olması durumunda elde edilen SMR puanı ile orta derecede su basıncının olması durumu için bulunan SMR puanları arasında 8-12 puan farkı vardır.

Romana (1985, 1993, 1995) ve Romana vd. (2003) SMR puanını blok kayması ve devrilme türü yenilmeler için hesaplamakta, kamasal kayma yenilmesini var olan süreksızlıkların blok kayması şeklindeki yenilmenin özel bir durumu olarak ele almaktadır. Ancak kama türü yenilme şev iki süreksizliğin arakesiti boyunca ve bu arakesitin şev yüzeyini kesmesi durumunda oluşturmaktadır.

Tablo 40. Şevlerin kuru olduğu durum için bulunan SMR puanları

Şev	JTB no	Süreksizlik için SMR puanı								Şev için SMR			Düzeltilmiş SMR
		J1		J2		J3		J4					
		Ky	Dv	Ky	Dv	Ky	Dv	Ky	Dv	Ky	Dv	Min	KKy
gt1v4	1	60	57	52	57	52	57			52	57	52	25
gt4v6	2	60	55	24	55	52	55			24	55	24	50
gt9v11	3	54	48	47	53	37	53			37	48	37	-6
gt11v12	4	68	57	56	57	54	57			54	57	54	54
	5	19	57	52	57	54	57			19	57	19	25
gt12v14	6	53	49	42	49	42	49			42	49	42	7
	7	75	63	59	63	42	63			42	63	42	32
gt16v17	8	67	66	65	66	67	66			65	66	65	46
	9	70	69	69	69	70	69			69	69	69	45
	10	60	65	60	65	60	65			60	65	60	60
	11	62	61	60	61	62	61			60	61	60	57
	12	64	61	61	61	64	48			61	48	48	41
	13	66	62	58	62	61	62			58	62	58	53
g417v18v19	14	68	64	63	64	57	64			57	64	57	64
	15	75	46	63	67	64	46	62	61	62	46	46	65
	16	63	38	54	59	21	59			21	38	21	39
	17	54	29	45	50	12	50			12	29	12	46
	18	64	61	56	48	56	40			56	40	40	5
	19	46	59	54	59	54	38			46	38	38	54
gt50v53	20	20	59	56	38	56	38			20	38	20	43
	21	40	36	31	36	39	15	33	15	31	15	15	40
	22	64	56	51	50	51	39	51	56	51	39	39	9
	23	67	62	57	41	58	62			57	41	41	37
	24	39	51	51	51	48	30			39	30	30	46
	25	39	51	51	51	48	30			39	30	30	46
gt57v60	26	64	32	49	32	51	53			49	32	32	53
	27	70	38	55	38	57	59			55	38	38	59
	28	63	37	53	58	20	58			20	37	20	53
	29	73	47	71	47	68	68			68	47	47	68
	30	20	50	45	29	45	50			20	29	20	45
	31	50	44	43	44	44	49			43	44	43	50
tn11ş	32	53	50	46	50	42	50			42	50	42	42
	33	63	60	55	60	57	60			55	60	55	4
	34	56	51	47	51	54	30			47	30	30	47
Tn11ş	35	62	59	56	59	28	59		59	28	59	28	54
	36	65	62	56	62	39	62			39	57	39	53
	37	71	72	48	72	63	72		72	48	72	48	48
	38	69	65	58	65	64	65			58	65	58	61

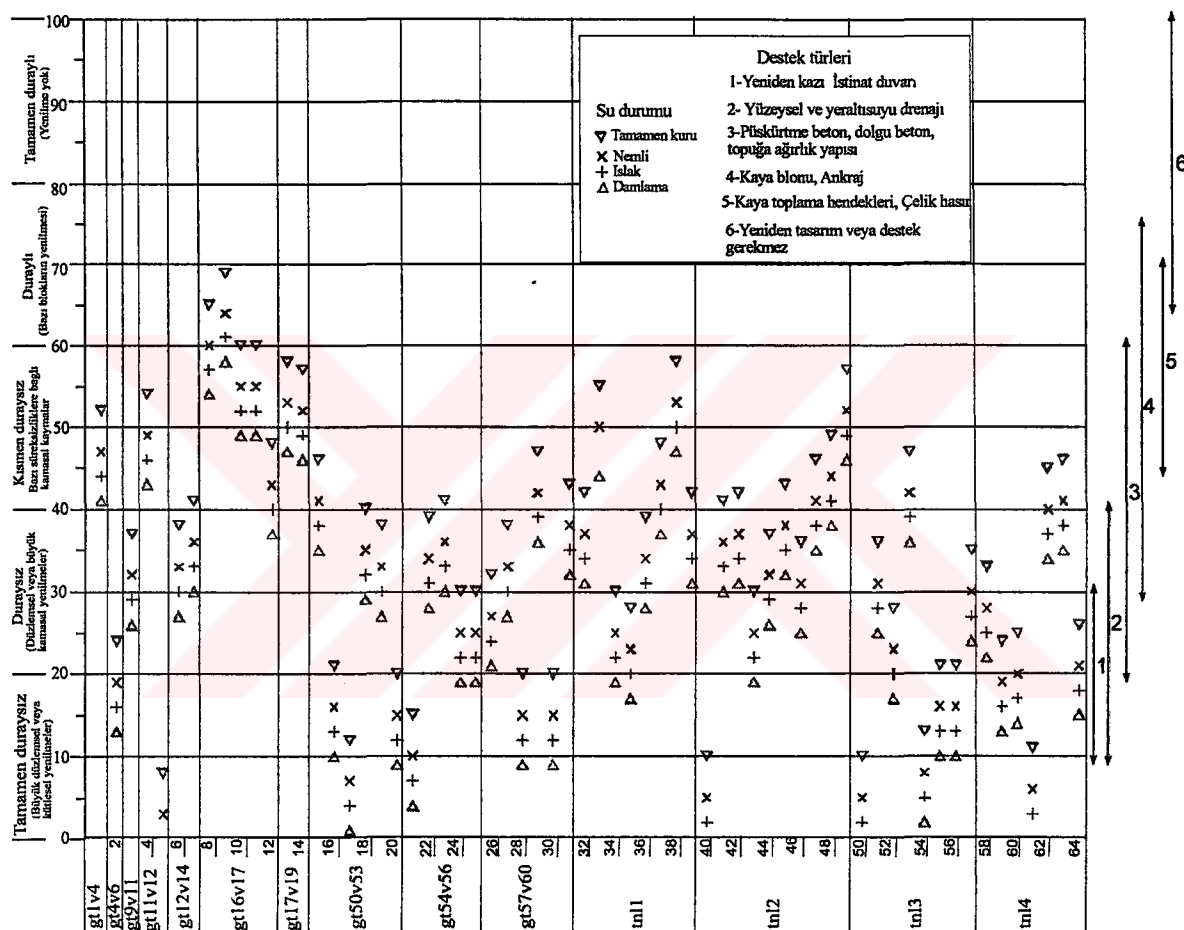
Tablo 40'ın devamı

		Süreksizlik için SMR puanı								JTB için SMR			Düzeltilmiş SMR	
		JS1		JS2		JS3		JS4		JS1		JS2		Düzeltilmiş SMR
		Ky	Dv	Ky	Dv	Ky	Dv	Ky	Dv	Ky	Dv	Min	KKy	
Tnl1ş	39	65	66	42	66	57	66			42	66	42	46	
tnl2ş	40	62	57	10	57	53	57			10	57	10	53	
	41	66	58	53	58	55	41			53	41	41	53	
	42	74	42	63	63	67	63			63	42	42	63	
	43	63	51	49	51	54	30			49	30	30	38	
	44	37	67	62	67	71	67			37	67	37	20	
	45	43	58	58	53	58	58			43	53	43	53	
	46	58	53	56	53	36	53			36	53	36	21	
	47	46	61	55	61	61	61			46	61	46	19	
	48	64	53	49	53	56	53			49	53	49	32	
	49	62	57	60	57	60	57			60	57	57	1	
tnl3ş	50	10	58	53	58	53	58			10	58	10	53	
	51	59	56	51	56	51	50	36	56	36	50	36	51	
	52	53	48	28	48	45	48			28	48	28	-8	
	53	56	68	63	68	65	47			56	47	47	63	
	54	57	51	48	51	13	51			13	51	13	46	
	55	46	41	21	41	38	41			21	41	21	-6	
	56	59	53	50	53	21	53			21	53	21	48	
	57	61	50	51	56	51	35			51	35	35	50	
tnl4ş	58	57	54	49	33	51	54			49	33	33	22	
	59	68	63	24	63	63	63			24	63	24	24	
	60	49	25	41	46	41	46			41	25	25	-1	
	61	36	32	27	11	15	32			15	11	11	27	
	62	45	57	53	57	52	57			45	57	45	19	
	63	57	53	46	51	47	54	48	54	46	51	46	47	
	64	50	47	47	26	42	47			42	26	26	51	

(JTB:Jeoteknik birim, Ky: Kayma türü yenilme, Dv: Devrilme türü yenilme, KKy:Kamasal kayma türü yenilme, JS1: 1. süreksizlik takımı, JS2: İkinci süreksizlik takımı, JS3: 3. süreksizlik takımı, JS4: 4. süreksizlik takımı)

Anbalagan vd (1992) düzlemsel kaymayı ve kamasal kaymayı yukarıda da belirtildiği gibi farklı iki ayrı durum olduğunu görerek SMR'yi yeniden düzenlemiştir. Tablo 40'da kamasal kayma için verilen düzeltme faktörleri Romana (1985, 1993, 1995) ve Romana vd. (2003) de yer almamakta olup Anbalagan vd (1992) tarafından eklenmiştir. Bu düzenleme için söz konusu faktörler hesaplanırken süreksizlik düzleminin eğim ve doğrultu değerleri yerine arakesitin yönelimi ve eğimi alınmıştır (Anbalagan vd,1992).

Duraylılığı incelenen kaya şevlerdeki olası kamasal kayma türündeki yenilmenin tahmini için düzeltilmiş SMR değerleri bulunmuştur. Bu düzeltilmiş SMR değerleri çoğu kez sıfır veya sıfırdan küçük değerleri almaktadır. İncelenen kazı şevleri için düzeltilmiş SMR değerleri çoğu kez düzeltilmemiş SMR değerlerinin yarısı veya yarısından daha az olarak bulunmuştur. Arazi gözlemleri ve streografik analiz sonuçları düzeltilmiş SMR değerlerinin çok fazla tutucu (güvenlikten yana) olduğunu göstermektedir.



Şekil 46. Kazı şevlerinin SMR puanına göre duraylılık sınıflaması ve Romana vd. 2003)'ya göre duraysız şevlerde duraylılığı sağlamak için alınabilecek önlemler

### 3.6. Şev Duraylılığının Olasılık Olarak Sınıflandırılması

Hack (1997, 1998), özellikle kaya şev duraylılığında kullanılan sınıflandırma sistemlerinin ayrıntılı analizini yaptıktan sonra, yamaçların duraysızlığının değerlendirilmesi ve kaya kütelerinde açılan veya açılacak kazı şevlerindeki yenilme olasılığını belirlenmesi için SSPC (Şev duraylılığının olasılık sınıflandırması) sistemini

önermiştir. Bu yöntem jeolojik parametrelerin ölçülmesine ve oluşan yenilme türlerinin olasılık analizlerine dayanmaktadır (Hack 1997, 1998 ; Lindsay vd. 2001; Hack vd., 2003).

SSPC sisteminde şev durayılılık olasılığı üç adımda hesaplanmaktadır.

Birinci adımda “yüzeylenmiş kaya kütlesinin (ERM)” karakteristikleri ölçülür. Bu karakteristikler; malzeme özellikleri (dayanım ve ayırmaya karşı duyarlılık), süreksızlıkların yönelimleri (doğrultu ve eğimleri), süreksızlıkların takım veya gelişigüzel (tek) olarak bulunması ve süreksızlıkların özellikleridir (pürüzlülük, dolgu durumu, yüzeydeki çözümleme durumudur).

İkinci adımda, tanımlanan ERM karakteristiklerinden faydalınarak “referans kaya kütlesini (RRM)” oluşturmaktır. Bunun için ERM’de ölçülen parametre değerleri yüzeylenmedeki yersel faktörler; örselenme ve ayırmaya durumu kullanılarak düzelttilir. Bu şekilde elde edilen RRM ayırmamış, hierhangi bir nedenle örselenmemiş kaya kütlesini ifade eder.

Üçüncü. adımda ise RRM karakteristikleri durayılık değerlendirilmesi yapılacak şevdeki kaya kitle (SRM) karakteristiklerine dönüştürülür.

Bu çalışmada SSPC yöntemi yol kazısı ile oluşturulmuş şevlerde uygulandığından söz konusu dönüştürmeler gerekmemektedir. Başka bir deyişle bu çalışmada karakteristikleri ölçülen kaya kütlesi (ERM) ile durayılılığı araştırılan kaya kütlesi (SRM) aynıdır.

SSPC sistemi ile iki sonuç üretilir;

- kaya kütlesinin dayanım özellikleri; kohezyonu, sürtünme açısı ve dayanımı,
- Şev durayılığının (sureksızlıkların yönelimine bağlı olan ve yönelimden bağımsız olarak gelişebilecek yenilmelerinin) olasılık olarak tanımlanması

SSPC sisteminde kaya kitle dayanım özelliklerini veren aşağıdaki eşitlikler Mohr-Coulomb kırılma kriteri esas alınarak oluşturulmuştur (Hack vd., 2003)

$$\phi'_m = 0,2417\sigma_{ci} + 52,12SPA + 5,779CD \quad (26)$$

$$c'_m = 94,27\sigma_{ci} + 28629SPA + 3593CD \quad (27)$$

Yukardaki eşitliklerde,  $\phi'_m$ : kaya kütlesi içsel sürtünme açısı,  $c'_m$ : kaya kütlesi kohezyonu,  $\sigma_{ci}$ : kaya malzemesi dayanımı, SPA: süreksızlık ara uzaklıği faktörü ve

CD: süreksizlik durumudur. Bu eşitlikler uygulanırken  $\sigma_{ci} > 132$  MPa olması durumunda  $\sigma_{ci} = 132$  MPa olarak alınmaktadır.

3 süreksizlik takımı içeren kaya kütelerinde, süreksizlik ara uzaklıği faktörü (SPA) aşağıda verilen eşitlikle bulunmaktadır

$$SPA = \text{Faktör 1} \times \text{Faktör 2} \times \text{Faktör 3} \quad (28)$$

$$\text{Faktör 1} = 0,30 + 0,259 \times \log_{10} (\text{en küçük ara uzaklık}) \quad (29)$$

$$\text{Faktör 2} = 0,20 + 0,296 \times \log_{10} (\text{orta büyülükteki ara uzaklık}) \quad (30)$$

$$\text{Faktör 3} = 0,10 + 0,333 \times \log_{10} (\text{en büyük ara uzaklık}) \quad (31)$$

Kaya kütlesi için tanımlanan süreksizlik koşulu (CD) her bir süreksizlik için tanımlanan süreksizlik ara uzaklısına (JS) ve süreksizlik koşul faktörüne bağlı olarak hesaplanmaktadır.

$$CD = \frac{\frac{TC_1}{JS_1} + \frac{TC_2}{JS_2} + \frac{TC_3}{JS_3}}{\frac{1}{JS_1} + \frac{1}{JS_2} + \frac{1}{JS_3}} \quad (32)$$

Eğer kaya kütlesinde 3' ten fazla süreksizlik takımı varsa, yukarıda verilen eşitlikler için en düşük TC ve JS'yi verecek 3 süreksizlik takımı dikkate alınmaktadır.

Süreksizlik koşul faktörü (TC) küçük ölçekli pürüzlülüğü, büyük ölçekli pürüzlülüğü, dolgu durumu ve yüzeyde karstlaşma (erime boşluklarının) olup olmadığı dikkate alınarak hesaplanmaktadır

$$TC = Jlr x Jsr x Jim x Kd \quad (33)$$

Eşitlikte Jlr: büyük ölçekli pürüzlülüğü, Jsr: küçük ölçekli pürüzlülüğü Jim: dolgu malzemesi türü ve Kd: yüzeydeki erime boşluğu varlığı/yokluğu dur TC yi hesaplamada kullanılan bu faktörlerin puanlaması Tablo 41'de verilmiştir.

Tablo 41. Süreksizlik koşul faktörü (TC) için, büyük ölçekli pürüzlülük, küçük ölçekli pürüzlülük, dolgu malzemesi türü ve yüzeydeki erime boşluğu varlığı/yokluğu ile ilgili puanlama (Hack vd. 2003)

	dalgalı	1,00	
	hafif dalgalı	0,95	
-Büyük ölçekteki pürüzlülük (Jlr) (0,2*0,2 den (1*1 m <sup>2</sup> kadar )	Kavisli	0,85	
	hafif kavisli	0,80	
	düz	0,75	
Küçük ölçekteki pürüzlülük (Jsr) (0,2*0,2 m <sup>2</sup> alan)	pürüzlü basamaklı	0,95	
	düz basamaklı	0,90	
	Kaygan basamaklı	0,85	
	pürüzlü dalgalı	0,80	
	düz dalgalı	0,75	
	Kaygan dalgalı	0,70	
	pürüzlü düzlemsel	0,65	
	düz düzlemsel	0,60	
	Kaygan düzlemsel	0,55	
Dolgu Malzemesi (Jim)	çimentolu/çimentolu dolgu	1,07	
	dolgu yok /yüzey boyanmış	1,00	
	yumuşamayan ve makaslanmamış	iri	0,95
		orta	0,90
		ince	0,85
	yumuşak veya makaslanmış	iri	0,75
		orta	0,65
		ince	0,55
	Dolgu kalınlığı >pürüzlülük	0,42	
	Dolgu kalınlığı <pürüzlülük	0,17	
-Karstik Boşluk (Kd)	malzeme akıcı	0,05	
		yok	1,00
		Var	0,92

SSPC sisteminde kaya şevi duraylılığı yenilme türlerinin her biri için verilmektedir. Süreksizlik yönelimine bağlı duraysızlık analizi süreksizlikler tarafından kontrol edilen kayma ve devrilme türü yenilmeler için yapılmaktadır. Süreksizlik ve şevin yönelimine

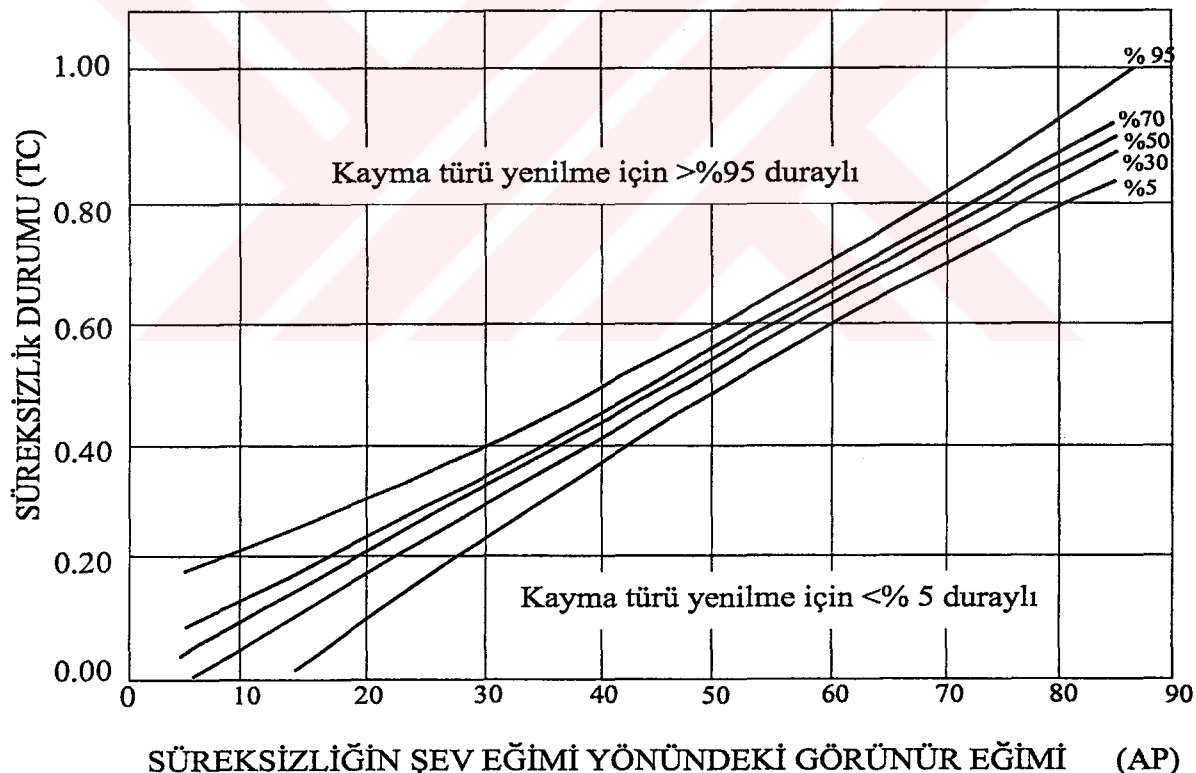
bağlı olan duraysızlık analizinde her bir süreksizlik takımı için tanımlanan “Süreksizlik koşul faktörü (TC)” ile süreksizliğin şev eğimi yönündeki görünür eğimi (AP) arasında empirik bağıntıdan yararlanılmaktadır.

$$AP = \arctan(\cos \delta \tan \beta_j) \quad (34)$$

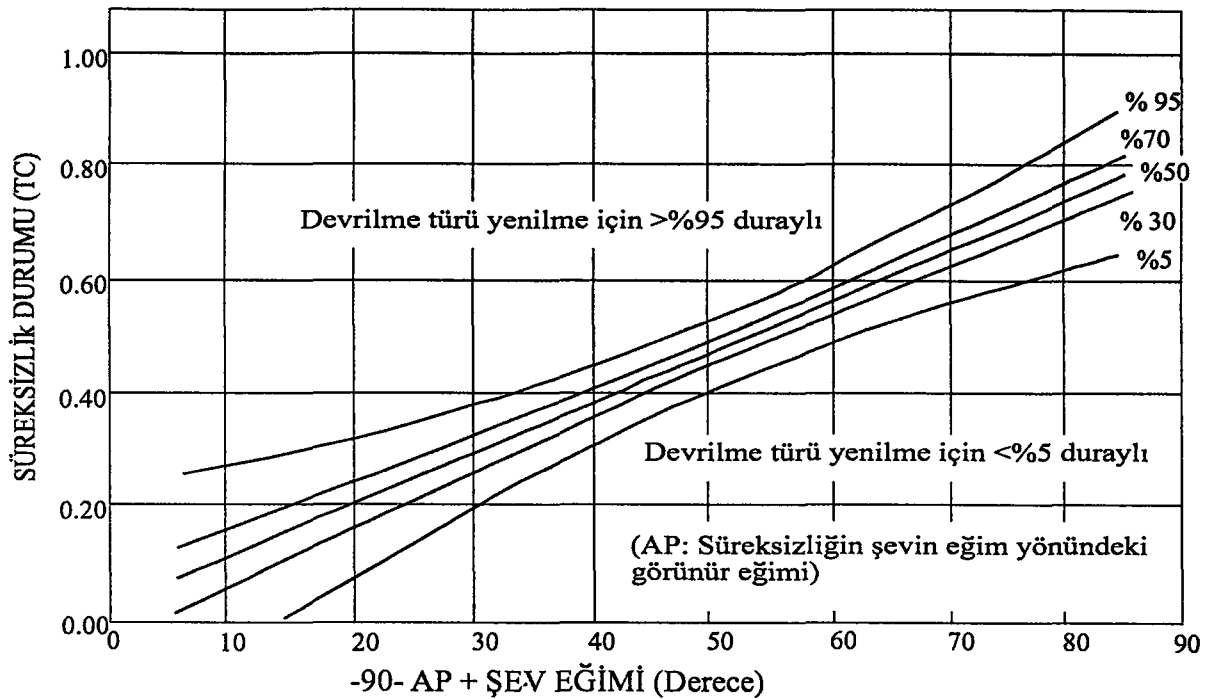
$$\delta = \beta_s - \beta_j \quad (35)$$

Yukarıdaki eşitliklikte,  $\beta_s$  şevin eğimini,  $\beta_j$  ise süreksizliğin eğimidir.  $AP > 0$  ise AP süreksizliğin yamaç eğimi yönündeki görünür eğimini,  $AP < 0$  ise AP nin mutlak değeri süreksizliğin yamaç eğimine ters yönündeki görünür eğimin ifade etmektedir.

SSPC sisteminde kayma ve devrilme türü yenilmeler için şev duraysızlığının olasılık tanımlamak için Şekil 47 ve Şekil 48'deki grafikler verilmiştir



Şekil 47. Süreksizlik yönelime bağlı duraylılık analizinde kayma türü yenilmenin olasılığını belirlemek için geliştirilmiş grafik (Hack vd. 2003).



Şekil 48. Süreksizlik yönelimine bağımlı duraylılık analizinde devrilme türü yenilmenin olasılığını belirlemek için geliştirilmiş grafik (Hack vd. 2003)

SSPC yönteminde süreksızlığa bağlı kayma ve devrilme türü yenilmeler için duraylılık kriterleri (duraylı-duraysız tanımlaması için verilen ölçütler) aşağıdaki eşitliklerle oluşturulmuştur;

Kayma türü yenilmenin oluşması için;

$$TC < 0,0113AP \quad (36)$$

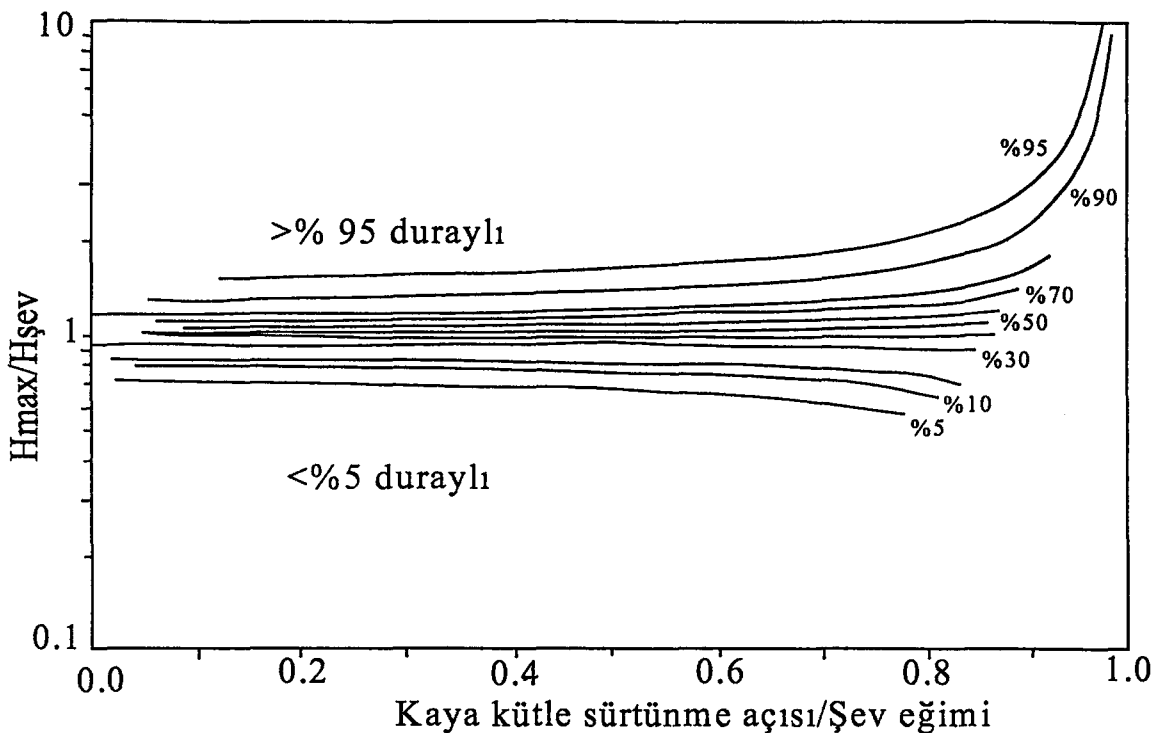
Devrilme türü yenilmenin oluşması için;

$$TC < 0,0087 \text{ (-90-AP+Şev eğimi)} \quad (37)$$

şartlarının oluşması gerekmektedir

Süreksizliklerin yönelime bağlı olmayan duraysızlık analizi için ( $H_{\max}/H_{\text{sev}}$ ) oranı ile ( $\phi'_m / \beta s$ ) oranı karşılaştırılmaktadır (Şekil 49). Burada  $H_{\max}$ , şevin duraylı olarak kalabileceği en büyük şev yüksekliğini göstermektedir. Eğer şevin eğimi ( $\beta s$ ) kaya kütlesinin içsel sürtünme açısından ( $\phi'_m$ ) büyük veya ona eşit ise  $H_{\max}$ 'ın değeri sonsuz olmaktadır. Eğer  $\beta s < \phi'_m$  ise  $H_{\max}$  aşağıdaki gibi bulunmaktadır;

$$H_{\max} = 1,6 \times 10^{-4} x c'_m x \frac{\sin(\beta_{\text{sev}}) x \cos(\phi'_m)}{1 - \cos(\beta_{\text{sev}} - \phi'_m)} \quad (38)$$



Şekil 49. Süreksizlik yönelimindene bağımsız duraylılık analizi geliştirilmiş grafik (Hack vd. 2003)

İncelenen kazı şevelerde duraylılığın olasılık sınıflaması için ilk önce şevede tanımlanan jeoteknik birim için şevin yüksekliği ve eğimi ölçülmüştür. Daha sonra bu jeoteknik birimlerde belirlenen her bir süreksizlik takımının yüzey durumu; süreksizlik ara uzaklığı ( $J_s$ , m) küçük ölçekli pürüzlülük ( $R_l$ ) büyük ölçekli pürüzlülük ( $R_s$ ) ve dolgu malzemesi türü ve kalınlığı ( $I_m$ ) belirlenmiş ve SSPC sistemi için puanlanmıştır (Tablo 42). Süreksizliklerin yüzeylerinin tamamında karstik boşluklar gözlenmediği için Tablo 42'de karstik boşlukla ilgili puanlama ( $K_d=1$ ) ayrıca gösterilmemiştir. Eşitlik 28, 29, 30 ve 48'den her bir jeoteknik birim için süreksizlik ara uzaklığı değerleri, Eşitlik 33'den süreksizlik koşul faktörü ( $TC$ ) ve Eşitlik 34 ve 35'den süreksizliğin şev eğimi yönündeki görünür eğimi ( $AP$ ) bulunmuştur (Tablo 43). Bu  $TC$  ve  $AP$  değerleri kullanılarak Şekil 47 ve 48'den her bir süreksizlik takımına bağlı olarak kayma ve devrilme türü yenilmelerin olasılığı bulunmuştur (Tablo 43). Tablo 43'de, %100 değeri kaya şevi için "tamamen duraylılığı", <%5 değeri ise "tamamen duraysızlığı" tanımlamaktadır.

Tablo 42. Jeoteknik birimlerdeki süreksizlik yüzey durumunun SSPC sistemine göre puanlaması

JTB No	1. Süreksizlik takımı (JS1)				2. Süreksizlik takımı (JS2)				3. Süreksizlik takımı (JS3)				4. Süreksizlik takımı (JS4)			
	Js	Jlr	Jsr	Jim	Js	Jlr	Jsr	Jim	Js	Jlr	Jsr	Jim	Js	Jlr	Jsr	Jim
1	0,495	1	0,8	0,55	0,629	0,75	0,8	0,9	0,716	0,75	0,8	1				
2	0,289	0,95	0,75	1	0,467	0,85	0,75	1	0,508	0,85	0,75	1				
3	0,27	0,85	0,75	1	0,4	0,85	0,75	0,55	0,539	0,85	0,75	0,55				
4	0,354	0,95	0,75	1	0,373	0,95	0,75	1	0,553	0,95	0,75	0,55				
5	0,382	0,95	0,8	1	0,406	0,95	0,8	1	0,829	0,95	0,8	1				
6	0,204	0,85	0,75	0,55	0,332	0,85	0,75	0,55	0,355	0,85	0,75	0,55				
7	0,966	0,95	0,8	0,55	1,045	0,95	0,8	0,55	1,221	0,95	0,75	0,55				
8	0,432	0,85	0,8	0,9	0,593	0,85	0,8	0,9	0,682	0,85	0,8	0,9				
9	0,451	0,95	0,8	0,65	0,583	0,95	0,8	0,65	0,647	0,95	0,8	0,65				
10	0,486	0,95	0,8	0,9	0,64	0,95	0,8	0,9	1,91	0,95	0,8	0,9				
11	0,432	0,85	0,8	0,55	0,593	0,85	0,8	0,55	0,682	0,85	0,8	0,55				
12	0,457	0,95	0,8	0,65	0,781	0,95	0,8	0,55	0,8	0,95	0,8	0,55				
13	0,364	0,95	0,8	0,9	0,415	0,95	0,8	0,55	0,475	0,95	0,8	0,55				
14	1,527	0,95	0,8	0,55	1,662	0,95	0,8	0,55	1,752	0,95	0,8	0,55				
15	0,83	0,95	0,8	0,9	0,948	0,95	0,8	0,9	1,183	0,95	0,8	0,9	1,24	0,8	0,9	1
16	0,395	0,85	0,75	0,9	0,525	0,85	0,75	0,9	0,68	0,85	0,75	0,9				
17	0,125	0,85	0,75	0,9	0,127	0,85	0,75	0,9	0,127	0,85	0,75	0,9				
18	0,549	0,85	0,75	0,9	0,712	0,85	0,75	0,9	0,742	0,85	0,75	0,9				
19	0,32	0,85	0,75	0,9	0,518	0,85	0,75	0,9	0,97	0,85	0,75	0,9				
20	0,686	0,85	0,8	0,9	0,743	0,85	0,8	0,9	0,835	0,85	0,8	0,9				
21	0,138	0,85	0,75	0,9	0,171	0,85	0,75	0,9	0,183	0,85	0,75	0,9	0,183	0,75	0,9	1
22	0,425	0,85	0,75	1	0,527	0,85	0,75	1	0,554	0,85	0,75	1	0,778	0,75	1	1
23	0,951	0,8	0,75	0,9	1,225	0,8	0,75	0,9	1,418	0,8	0,75	0,9				
24	0,227	0,95	0,75	0,9	0,231	0,95	0,75	0,9	0,34	0,95	0,75	0,9				
25	0,45	0,95	0,75	0,9	0,508	0,95	0,75	0,9	0,525	0,95	0,75	0,9				
26	0,435	0,85	0,75	0,65	0,438	0,85	0,75	0,9	0,523	0,85	0,75	0,9				
27	0,716	0,85	0,8	0,55	0,721	0,85	0,8	0,55	0,808	0,85	0,8	0,9				
28	0,532	0,8	0,75	0,55	0,765	0,8	0,75	0,9	0,83	0,8	0,75	0,9				
29	0,763	0,8	0,75	1	0,842	0,8	0,75	0,9	0,859	0,8	0,75	1				
30	0,421	0,8	0,75	0,9	0,423	0,8	0,75	0,9	0,862	0,8	0,75	0,9				
31	0,315	0,8	0,75	0,55	0,389	0,8	0,75	0,55	0,442	0,8	0,75	0,55				
32	0,175	0,95	0,8	0,65	0,299	0,95	0,8	0,9	0,422	0,95	0,75	0,9				
33	1,216	0,95	0,8	0,65	1,312	0,95	0,8	0,65	1,133	0,85	0,8	0,65				
34	0,449	0,95	0,8	0,55	0,61	0,95	0,8	0,55	1,752	0,95	0,8	0,55				
35	0,403	0,85	0,75	1	0,654	0,85	0,75	1	0,749	0,85	0,75	1	0,75	0,85	0,8	0,9
36	0,43	0,85	0,8	0,9	0,583	0,85	0,8	0,9	0,65	0,85	0,75	0,9				
37	1,216	0,85	0,8	0,65	1,32	0,85	0,8	0,65	1,33	0,85	0,8	0,65	1,436	0,85	0,8	0,65
38	0,329	0,85	0,8	1	0,426	0,85	0,8	1	0,462	0,85	0,8	1				
39	1,153	0,85	0,8	1	1,286	0,85	0,8	1	1,33	0,85	0,8	1				
40	0,563	1	0,8	0,95	0,635	0,85	0,75	0,95	0,738	0,85	0,75	0,95				
41	0,708	0,95	0,8	0,65	0,831	0,95	0,8	0,95	1,166	0,95	0,8	0,95				
42	0,55	0,95	0,8	0,65	0,616	0,95	0,8	0,65	0,71	0,95	0,8	0,65				

Tablo 42'nin devamı

JTB No	1. Süreksizlik takımı (JS1)				2. Süreksizlik takımı (JS2)				3. Süreksizlik takımı (JS3)				4. Süreksizlik takımı (JS4)			
	Js	Jlr	Jsr	Jim	Js	Jlr	Jsr	Jim	Js	Jlr	Jsr	Jim	Js	Jlr	Jsr	Jim
43	0,738	0,95	0,8	0,55	0,747	0,95	0,8	0,55	0,875	0,95	0,8	0,55				
44	0,716	0,95	0,8	1	0,772	0,95	0,8	1	1,348	0,95	0,8	1				
45	0,475	0,95	0,75	0,9	0,483	0,95	0,75	0,9	0,488	0,95	0,75	0,9				
46	0,675	0,95	0,75	0,55	0,827	0,95	0,75	0,55	0,915	0,95	0,75	0,55				
47	0,817	0,95	0,8	0,55	1,04	0,95	0,8	0,55	1,24	0,95	0,8	0,55				
48	0,477	0,95	0,75	0,9	1,313	0,95	0,8	0,9	1,621	0,95	0,8	0,9				
49	0,434	0,85	0,75	0,9	0,625	0,85	0,75	0,9	0,661	0,85	0,75	0,9				
50	0,479	0,95	0,8	1	0,513	0,95	0,8	0,9	0,638	0,95	0,8	0,9				
51	0,762	1	0,8	0,9	1,381	1	0,8	0,9	1,442	1	0,8	0,9	1,662	1	0,8	0,9
52	0,425	0,8	0,75	0,9	0,532	0,85	0,75	0,9	0,853	0,8	0,75	0,65				
53	0,582	0,95	0,75	0,9	0,738	0,95	0,75	0,65	0,837	0,95	0,75	0,65				
54	0,441	0,85	0,75	0,9	0,734	0,85	0,75	0,55	0,738	0,85	0,75	0,55				
55	0,228	0,85	0,75	0,55	0,244	0,85	0,75	0,55	0,287	0,85	0,75	0,55				
56	0,44	0,85	0,75	0,65	0,734	0,85	0,75	0,65	0,738	0,85	0,75	0,9				
57	0,419	0,85	0,75	0,9	0,402	0,85	0,75	0,9	0,731	0,85	0,75	0,9				
58	0,452	0,85	0,8	0,9	0,482	0,85	0,8	0,9	0,544	0,85	0,8	0,9				
59	0,627	0,85	0,75	1	0,727	0,85	0,75	0,9	1,386	0,85	0,75	0,9				
60	0,294	0,85	0,75	0,65	0,313	0,85	0,75	0,65	0,373	0,85	0,75	0,65				
61	0,144	0,85	0,75	0,55	0,145	0,85	0,75	0,55	0,147	0,85	0,75	0,55				
62	0,392	0,85	0,75	0,9	0,518	0,85	0,75	0,9	0,84	0,85	0,75	0,9				
63	0,288	0,8	0,75	0,9	0,365	0,8	0,75	0,9	0,425	0,8	0,75	0,9	0,643	0,8	0,75	0,9
	0,495	0,85	0,75	0,55	0,541	0,85	0,75	0,55	0,545	0,85	0,75	0,55				

(Js (m.): Süreksizlik ara uzaklığı, Jlr: büyük ölçekli pürüzlülüğü, Jsr: küçük ölçekli pürüzlülük, Ji m: dolgu malzemesi türü, Kd: yüzeydeki erime boşluğu varlığı/yokluğu)

Eşitlik 36 ve 37'de verilen kayma ve devrilme kriterleri kullanılarak her bir süreksizlik takımına bağlı olarak kayma ve devrilme türü yenilmenin oluşup oluşmayacağı belirlenmiş ve elde edilen sonuçlara göre söz konusu yenilmeler için duraylılık tanımlaması yapılmıştır (Tablo 44).

İncelenen kazi şevlerinde, SSPC sisteminde tanımlandığı gibi, süreksizlik yönelikinden bağımsız yenilme için duraylılık tanımlamasını hesaplarken önce her jeoteknik birimdeki kaya malzemesinin basınç dayanımı bulunmuştur. Daha sonra, Eşitlik 32'dan süreksizlik koşulu (CD), Eşitlik 26 ve 27'den kaya kütlesi kayma dayanımı parametreleri (sürtünme açısı ve kohezyon ) ve Eşitlik 38'den şevin duraylı kalabileceği en büyük yükseklik ( $H_{max}$ ) bulunmuştur (Tablo 44).

Tablo 43. Jeoteknik birimlerde her bir süreksizlik takımı için süreksizlerin yüzey koşulu (TC) ve şev eğimi yönündeki görünür eğimlerine (AP) bağlı olarak bulunan kayma ve devrilme türü yenilmeler (Ky ve Dv) için duraylılık olasılıkları

	JS1				JS2				JS3				JS4				Şev	
	TC	AP	Ky	Dv	TC	AP	Ky	Dv	TC	AP	Ky	Dv	TC	AP	Ky	Dv	Ky	DV
1	0,44	-52	100	50	0,54	0	100	100	0,6	58	26	100					26	50
2	0,71	-21	100	100	0,64	59	60	100	0,64	-13	100	100					60	100
3	0,64	-45	100	100	0,35	-56	100	39	0,35	74	100	100					100	39
4	0,71	69	100	100	0,71	34	100	100	0,39	47	<5	100					<5	100
5	0,76	-37	100	100	0,76	83	100	100	0,76	-61	100	100					100	100
6	0,35	-7	100	100	0,35	68	<5	100	0,35	46	<5	100					<5	100
7	0,42	0	100	100	0,42	-24	100	100	0,39	72	100	100					100	100
8	0,61	-31	100	100	0,61	77	100	100	0,61	68	<5	100					<5	100
9	0,49	-26	100	100	0,49	75	100	100	0,49	82	100	100					100	100
10	0,68	74	100	100	0,68	22	100	100	0,68	-45	100	100					100	100
11	0,37	-31	100	100	0,37	77	100	100	0,37	68	<5	100					<5	100
12	0,49	45	14	100	0,42	75	<5	100	0,42	-85	100	<5					<5	<5
13	0,68	-29	100	100	0,42	32	100	100	0,42	-68	100	23					100	23
14	0,42	-28	100	100	0,42	80	100	100	0,42	-56	100	86					100	86
15	0,68	-76	100	100	0,68	-17	100	100	0,68	72	<5	100	0,72	-59	100	100	<5	100
16	0,57	24	100	100	0,57	24	100	100	0,57	70	<5	100					<5	100
17	0,57	1	100	100	0,57	24	100	100	0,57	70	<5	100					<5	100
18	0,57	63	<5	100	0,57	-59	100	84	0,57	-24	100	100					<5	84
19	0,57	87	100	100	0,57	-3	100	100	0,57	-24	100	100					100	100
20	0,61	42	100	100	0,61	67	<5	100	0,61	-78	100	20					<5	20
21	0,57	-39	100	100	0,57	-53	100	100	0,57	-11	100	100	0,68	71	<5	100	<5	100
22	0,64	71	<5	100	0,64	-54	100	100	0,64	-54	100	100	0,75	47	100	100	<5	100
23	0,54	-58	100	82	0,54	60	<5	100	0,54	28	100	100					<5	82
24	0,64	71	<5	100	0,64	15	100	100	0,64	-81	100	20					<5	20
25	0,64	71	<5	100	0,64	15	100	100	0,64	-81	100	20					<5	20
26	0,41	29	100	100	0,57	-26	100	100	0,57	-13	100	100					<5	100
27	0,37	29	86	100	0,37	-26	100	100	0,61	-13	100	100					86	100
28	0,33	-52	100	26	0,54	35	100	100	0,54	75	100	100					100	26
29	0,6	-65	100	77	0,54	86	100	100	0,6	-1	100	100					100	77
30	0,54	51	45	100	0,54	27	100	100	0,54	-5	100	100					45	100
31	0,33	-12	100	100	0,33	58	<5	100	0,33	-23	100	100					<5	100
32	0,49	-10	100	100	0,68	83	100	100	0,64	49	100	100					100	100
33	0,49	12	100	100	0,49	50	11	100	0,44	-31	100	100					11	100
34	0,42	-35	100	100	0,42	14	100	100	0,42	-15	100	100					100	100
35	0,64	68	<5	100	0,64	5	100	100	0,64	84	100	100	0,61	-36	100	100	<5	100
36	0,61	18	100	100	0,61	-65	100	100	0,57	74	<5	100					<5	100
37	0,44	15	100	100	0,44	46	8	100	0,44	18	100	100	0,44	-45	100	100	8	100
38	0,68	-1	100	100	0,68	-54	100	100	0,68	75	100	100					100	100
39	0,68	15	100	100	0,68	46	100	100	0,68	18	100	100					100	100
40	0,76	-48	100	100	0,61	52	100	100	0,61	-19	100	100					100	100
41	0,49	45	70	100	0,72	11	100	100	0,72	-64	100	100					70	100
42	0,42	-67	100	17	0,49	28	100	100	0,49	-82	100	<5					100	<5

Tablo 43'ün devamı.

	JS1				JS2				JS3				JS4				Şev	
	TC	AP	Ky	Dv	TC	AP	Ky	Dv	TC	AP	Ky	Dv	TC	AP	Ky	Dv	Ky	DV
43	0,49	77	100	100	0,42	38	6	100	0,42	-67	100	12					6	12
44	0,42	57	<5	100	0,76	-36	100	100	0,76	0	100	100					<5	100
45	0,64	44	100	100	0,64	-74	100	100	0,64	26	100	100					100	100
46	0,39	29	100	100	0,39	61	<5	100	0,39	72	100	100					<5	100
47	0,42	43	20	100	0,42	23	100	100	0,42	57	<5	100					<5	100
48	0,64	73	100	100	0,68	27	100	100	0,68	73	100	100					100	100
49	0,57	54	14	100	0,57	-71	100	95	0,57	61	<5	100					<5	95
50	0,76	82	100	100	0,68	-51	100	100	0,68	2	100	100					100	100
51	0,72	-54	100	100	0,49	21	100	100	0,49	-66	100	18	0,72	61	100		100	18
52	0,54	73	<5	100	0,57	55	28	100	0,33	73	<5	100					<5	100
53	0,64	61	30	100	0,46	-33	100	100	0,39	-65	100	<5					30	<5
54	0,57	77	<5	100	0,35	-72	100	<5	0,41	35	72	100					<5	<5
55	0,35	74	<5	100	0,35	50	<5	100	0,35	59	<5	100					<5	100
56	0,57	87	100	100	0,41	-72	100	100	0,61	35	100	100					100	100
57	0,57	-74	100	6	0,57	43	100	100	0,57	19	100	100					100	6
58	0,61	47	100	100	0,61	7	100	100	0,61	-76	100	24					100	24
59	0,64	-73	100	41	0,57	42	100	100	0,57	-31	100	100					100	41
60	0,41	4	100	100	0,41	48	<5	100	0,41	59	<5	100					<5	100
61	0,35	-34	100	82	0,35	0	100	100	0,35	85	100	100					100	82
62	0,57	63	<5	100	0,57	-30	100	100	0,57	50	83	100					<5	100
63	0,54	-12	100	100	0,54	-57	100	67	0,54	34	100	100	0,54	79	<5		100	67
	0,35	66	<5	100	0,35	-30	100	95	0,35	18	100	100					<5	95

İncelenen kazı şevleri için, süreksızlık yönelikinden bağımsız yenilmeler için duraylılık tanımlamasında son adım olarak Şekil 49 kullanılarak ( $H_{\max}/H_{\text{şev}}$ ) oranı ile ( $\phi'_m/\beta_s$ ) oranı karşılaştırılması yapılmıştır. İncelenen kazı şevlerinin hiçbirin de ( $H_{\max}/H_{\text{şev}}$ ) oranı ile ( $\phi'_m/\beta_s$ ) oranının 1 den küçük değer aldığı duruma rastlanmamıştır (Tablo 44). Başka bir deyişle, incelenen kazı şevleri süreksızlikten bağımsız yenilme için % 100 duraylıdır. Ancak, SSPC sistemi şevde mühendislik zaman içerisinde ilerleyen ayışmayla oluşan duraysızlıklarını ve yeraltı ve yer üstü sularının yapacağı bozucu etkiyi dikkate almamaktadır.

SSPC yöntemiyle yapılan analizlerin sonunda her jeoteknik birim için duraylılık tanımlaması yapılmıştır (Tablo 44)

Tablo 44. Jeoteknik birimlerde SSPC yöntemiyle yapılan analizlerle bulunan duraylılık tanımlaması

JTB	No	Şevin				<u>Hmax</u> H	<u>φm</u> BS	Sbgsz Duray. (%)	Yenilme türü		Duraylılık tanımlaması	
		Eğim yönü	ßs derece	H (m)	Hmax (m)				Ky	Dv		
gt1v4	1	215	85	14,5	17,4	1,2	1,54	100	var	yok	yok	duraysız
gt4v6	2	242	70	12,3	46	3,74	1,34	100	var	yok	yok	duraysız
gt9v11	3	105	75	16	20,3	1,27	1,57	100	var	var	yok	duraysız
gt11v12	4	180	80	12,5	19,8	1,58	1,54	100	var	yok	yok	duraysız
	5	184	75	13,4	36,7	2,74	1,37	100	var	yok	yok	duraysız
gt12v14	6	180	76	12,4	13,5	1,09	1,77	100	var	yok	yok	duraysız
	7	185	72	15,2	118,8	7,82	1,18	100	var	yok	yok	duraysız
gt16v17	8	190	75	4,5	36,9	8,2	1,37	100	var	yok	yok	duraysız
	9	180	75	8,5	33,9	3,99	1,39	100	var	yok	yok	duraysız
	10	190	75	14,5	64,6	4,46	1,25	100	yok	yok	yok	duraylı
	11	190	75	12,5	32,3	2,58	1,4	100	var	yok	yok	duraysız
	12	160	80	11,4	25,8	2,26	1,44	100	var	yok	yok	duraysız
g417v18v19	13	121	73	9,5	31,5	3,32	1,42	100	var	var	yok	duraysız
	14	121	73	15,4	121,1	7,86	1,17	100	var	yok	yok	duraysız
gt50v53	15	317	85	16,3	26,8	1,64	1,38	100	var	yok	yok	duraysız
	16	335	85	16,5	16,2	0,98	1,58	100	var	yok	yok	duraysız
	17	335	85	15	8,4	0,56	1,99	100	var	yok	yok	duraysız
	18	335	85	18	18,9	1,05	1,51	100	yok	yok	yok	duraylı
	19	5	87	22	14,9	0,68	1,59	100	yok	yok	yok	duraylı
	20	335	85	16	17,6	1,1	1,55	100	var	var	yok	duraysız
gt54v56	21	312	85	6,2	5,4	0,87	2,53	100	var	yok	yok	duraysız
	22	318	85	6,5	16,1	2,48	1,58	100	var	yok	yok	duraysız
	23	318	85	18	24,1	1,34	1,42	100	var	yok	yok	duraysız
	24	325	85	12	11,5	0,96	1,77	100	yok	var	yok	duraysız
	25	325	85	14	13,2	0,94	1,7	100	yok	var	yok	duraysız
gt57v60	26	333	66	6,8	74,9	11,01	1,26	100	yok	yok	yok	duraylı
	27	333	66	11	49,9	4,54	1,35	100	yok	yok	yok	duraylı
	28	342	78	15	33,8	2,25	1,37	100	var	var	yok	duraysız
	29	355	85	12	22,1	1,84	1,45	100	var	yok	yok	duraysız
	30	355	85	8,5	16,4	1,93	1,57	100	yok	yok	yok	duraylı
	31	355	80	6,5	11,5	1,77	1,84	100	var	yok	yok	duraysız
tn11ş	32	167	80	13	15,4	1,18	1,65	100	var	yok	yok	duraysız
	33	167	80	22	48,7	2,21	1,27	100	var	yok	yok	duraysız
	34	193	85	21	16,1	0,77	1,59	100	yok	yok	yok	duraylı
	35	193	85	17	13,5	0,79	1,69	100	yok	yok	yok	duraylı
	36	190	80	12	19,1	1,59	1,56	100	yok	yok	yok	duraylı
	37	205	75	10	106,3	10,63	1,18	100	var	yok	yok	duraysız
	38	205	75	7,5	28,2	3,76	1,45	100	var	yok	yok	duraysız
	39	205	75	6	128,1	21,35	1,16	100	var	yok	yok	duraysız

Tablo 44'ün devamı

JTB	No	Sevin geometrisi				$\frac{H_{max}}{H}$	$\frac{\phi_m}{\beta_s}$	Sbgsz Duray. (%)	Yenilme türü			Duraylılık tanımlaması
		Eğim yönü	$\beta_s$ derece	H (m)	Hmax (m)				Ky	Dv	Sbgsz Duray	
tnl2\$	40	155	72	7	35,7	5,1	1,4	100	yok	yok	yok	duraylı
	41	155	72	9,2	60,4	6,57	1,28	100	yok	yok	yok	duraylı
	42	115	72	10,5	51,1	4,87	1,31	100	yok	yok	yok	duraylı
	43	115	72	11,5	33,9	2,95	1,42	100	yok	var	yok	duraysız
	44	155	72	14,8	133,9	9,05	1,16	100	var	var	yok	duraysız
	45	155	72	13,1	42,1	3,21	1,35	100	yok	yok	yok	duraylı
	46	155	72	10,8	68,4	6,33	1,25	100	yok	yok	yok	duraylı
	47	155	72	9,5	109,1	11,48	1,19	100	var	yok	yok	duraysız
	48	155	72	6,8	142,7	20,99	1,16	100	var	yok	yok	duraysız
	49	155	72	5,3	23,3	4,4	1,56	100	var	yok	yok	duraysız
tnl3\$	50	100	82	19	21,2	1,12	1,49	100	var	yok	yok	duraysız
	51	100	82	15,5	23,1	1,49	1,47	100	yok	yok	yok	duraylı
	52	100	82	17	13	0,76	1,76	100	yok	yok	yok	duraylı
	53	100	82	5	24,2	4,84	1,44	100	var	yok	yok	duraysız
	54	80	85	21	17,4	0,83	1,54	100	yok	var	yok	duraysız
	55	80	85	20	6,2	0,31	2,36	100	yok	var	yok	duraysız
	56	80	85	16,5	17,9	1,08	1,53	100	var	yok	yok	duraysız
	57	80	85	12	15,7	1,31	1,59	100	yok	var	yok	duraysız
tnl4\$	58	82	85	9,6	15,7	1,64	1,59	100	yok	var	yok	duraysız
	59	82	85	13,7	23,6	1,72	1,42	100	yok	var	yok	duraysız
	60	82	85	18,8	10	0,53	1,87	100	yok	yok	yok	duraylı
	61	82	85	17,5	3,9	0,22	3,04	100	var	yok	yok	duraysız
	62	82	85	18,6	16,9	0,91	1,56	100	var	yok	yok	duraysız
	63	82	85	22	12,8	0,58	1,7	100	yok	yok	yok	duraylı
		82	85	14	7,3	0,52	2,22	100	yok	yok	yok	duraylı

(H (m): Şev yüksekliği, Hmax (m): SSPC yöntemine göre kütlesel yenilmeler oluşmadan sevin duraylı kalabileceği en büyük yükseklik,  $\phi_m$  (derece): Kaya kütle sürtünme açısı,  $\beta_s$  (derece): şev açısı, SbgszDuray(%): Süreksizlik yöneliminden bağımsız duraylılığın olasılılığı, Ky: Kayma türü yenilme, Dv: devrilme türü yenilme)

## **4. İRDELEME**

### **4.1 Giriş**

Bu çalışmanın amaçlarından biri, Bölüm 1.1'de (sayfa 1) belirtildiği gibi, Trabzon-Gümüşhane devlet karayolunun inceleme alanındaki kalan kısmındaki seçilen kazı şevlerde duraylılığın incelenmesidir. Bu amacı gerçekleştirebilmek için yapılan çalışmalarдан biri de incelenen şevlerin açıldığı kaya kütlelerinin lito-stratigrafik ve yapısal özelliklerini belirlemektir. Söz konusu çalışmada elde edilen bulgular ve bu bulguların yörede yapılan önceki çalışmalarla birlikte irdelenmesi Bölüm 3.2 ve 3.3'de (sayfa 48-72) verildiği için çalışmanın bu bölümünde tekrar edilmemiştir.

İnceleme alanında seçilen şevlerde duraylılığın araştırılması için gerekli parametrelerden biri olan kaya malzemesi dayanım özellikleri belirlenmiş ve elde edilen bulgular ve bulguların irdelenmesi Bölüm 3.4'de (sayfa 72-76) verilmiştir.

Bu çalışmanın diğer amacı; yine Bölüm 1.1'de (sayfa 1) belirtildiği gibi, şev duraylılığı için yaygın olarak kullanılan kaya kütle sınıflandırma sistemleri irdelenerek, duraylılığının tahmininde pratikte yarar sağlayan; şevlerdeki bozulmaları tanımlayabilen, güvenilirlikle uygulanabilen, zaman ve paradan ekonomi sağlayan ve mühendislik anlamı olan sonuçlar üretebilen sınıflandırma sistem ve/veya sistemleri belirlenmesidir. Çalışmanın bu bölümünde, kaya kütle sınıflandırmalarının jeoteknik birimleri tanımlamadaki ve şev duraylılık tahmini için uygulanmasındaki zorluklar ve olanakları irdenecektir. Bu irdeleme yapılırken, kaya kütle sınıflandırmaları kullandıkları parametrelerle birlikte ele alınmış, özellikle bu parametrelerin şev duraylılık tahmininde kullanımı üzerinde durulmuş ve bu çalışmada elde edilen bulgularla birlikte önceki çalışmalarda (özellikle Haines ve Terbrugge (1991), Duran ve Dauglas (1999), Hack (2002), Ulusay ve Sönmez (2002), Dauglas (2002), Romana vd. (2003) ve Hack vd., 2003) sunulan bulgular birlikte yorumlanmıştır.

Aşağıda verilen irdelemelerde, RMS ( Jeomorfolojik Amaçlı Sınıflandırma) için Selby (1980) ve Moon (1984), RMR (Jeomekenik Sınıflandırma) için Bieniawski (1989), M-RMR (Yeniden Düzenlenmiş Jeomekanik Sınıflandırma) için Gökçeoğlu ve Aksoy (2000), MRMR (Madencilik İçin Jeomekanik Sınıflandırma) için Laubscher (1990) ve Haines ve Terbrugge (1991), SMR (Şevler İçin Kaya Kütle Puanı) için Romana (1985) ve

Romana vd. (2003), SSPC (Şev Duraylılığının Olasılık Sınıflaması) için Hack (1998) ve Hack vd. (2003) esas alınmıştır.

## **4.2. Kaya Kütle Sınıflandırmalarında Kullanılan Parametrelerle İlgili Güçlükler ve Olanaklar**

### **4.2.1. Kaya Malzemesi Dayanımı**

RMS, RMR M-RMR ve MRMR sınıflandırma sistemlerinde kaya malzemesi dayanımı süreksizlikler tarafından sınırlanan kaya malzemesinin dayanımı olarak tanımlanmıştır.

Şevdeki yenilmenin süreksizlikler tarafından kontrol edildiği durumlarda kaya malzemesinin dayanımının yenilme üzerine etkisi olmayacağıdır. Kaya malzemesi dayanımı kaya köprülerinin kesilmesi ve/veya kaya malzemesinin kırılmasını sağlayacak kadar yüksek gerilme durumlarında (dolayısıyla şev yüksekliğine bağlı olarak) önem kazanmaktadır. Ancak RMS, RMR, M-RMR, MRMR ve SMR sınıflandırma sistemlerinin hepsinde kaya malzemesi dayanımının son hesaplanan puan üzerinde önemli etkisi vardır. Ayrıca kaya malzemesi dayanımının tanımlanmasıyla ve kullanılmasıyla ilgili de problemler vardır.

Kaya malzemesi dayanımını bulmak için yapılan serbest basınç deneyi 10 cm boyutundaki örnekler üzerinde uygulanır. Eğer süreksizlik ara uzaklığı 10 cm den küçükse örnek süreksizlik içerebilir. Bu durumda, M-RMR sisteminde önerildiği gibi (Gökçeoğlu ve Aksoy, 2000) kaya malzemesinin serbest basınç dayanımı disk makaslama deneyi ile bulunabilmektedir.

Laboratuarda test edilen örnekler genellikle ortalama kaya niteliğinden daha iyi olma eğilimindedir. Zayıf kayalar örnek alınırken ve hazırlanırken örselenmeye ve kırılmaya uğrayabileceğinden test edilmesi zordur. RMS, RMR ve M-RMR sisteminde ortalama kaya malzemesi dayanımı dikkate alınırken MRMR sisteminde kaya malzemesi dayanımı puanı incelenen jeoteknik birimdeki (sağlam kaya malzeme oranı/zayıf kaya malzeme) oranı dikkate alınmaktadır. Bu durum SMR ve SSPC sistemleri içinde geçerlidir.

Kaya malzemesinde serbest dayanımı yönelime bağlı olabilir. Bu durum söz konusu sınıflandırmalarının hiç birinde dikkate alınmamıştır. Ancak bu çalışmada ve

önceki çalışmalarda da (Koca, 1988) yapılan volkanitlerde dayanım anizotropisinin çok düşük olduğu görülmüştür.

Kayaçlar, arazide, serbest basınç deneyi şartlarından daha çok 3 eksenli gerilme altındadır. Bu nedenle serbest basınç deneyi ile elde edilen dayanım uygun bir parametre değildir (Lindsay vd., 2001; Hack, 2002). Bu durum söz konusu sınıflandırmaların hiç birinde dikkate alınmamaktadır. Kaya malzemesi dayanımı, tek eksenli basınç direnci yerine üç eksenli basınç deneyiyle ve farklı su içeriğinde test edilerek belirlenmelidir (Lindsay vd. 2001). Ancak çevre gerilmesinin sıfır olduğu durumdaki dayanım çevre gerilmesinin sıfırdan büyük olduğu üç eksenli durumdaki dayanımdan küçük olduğundan söz konusu sınıflandırmalar daha tutucudur (emniyetli davranışmaktadır).

Kaya malzemesi dayanımını tahmin etmek için bazen Schimidt çekici kullanılmaktadır. ISRM (1981)'de önerilen şekliyle, Schmidt çekici geri tepme ölçümlerinin elde edilmesi ve değerlendirilmesinde zorluklar vardır.

#### **4.2.2. Süreksizlik Sıklığı**

Kaya kütle sınıflandırma sistemlerinin tümünde süreksızlık sıklığıyla ilgili bir veya birden çok parametre kullanılmaktadır. RMS sistemi sadece süreksızlık ara uzaklığını, M-RMR, RMR ve SMR 'de süreksızlık ara uzaklığını ve RQD'yi kullanmaktadır. MRMR sistemi uygulanırken RQD ve süreksızlık ara uzaklıği veya süreksızlık sıklığı kullanılmaktadır. RMR, M-RMR ve MRMR de süreksızlık ara uzaklığı bir parametre olarak bulunmasına rağmen süreksızlık ara uzaklığının diğer bir göstergesi olan RQD'de bulunur. Bu anlamsızdır ve bu durumun süreksızlık sıklığının kaya kütle puanına etkisini önemli miktarda artırmaya yönelik olduğu düşünülmektedir (Ceryan, 1999). SSPC sisteminde sadece süreksızlık yöneliminden bağımsız duraylılık analizlerinde süreksızlık ara uzaklıği kullanılmaktadır.

RQD sisteminin ölçümü basit olmasına rağmen tanımlanması ve kullanımında zorluklar vardır. Kırılmamış kaya parçasının boyutunun en az 10 cm olarak seçilmesi keyfidir ve aynı zamanda muğlak değerlendirmelere yol açmaktadır (Hack, 2002). Bir diğer zorluk RQD ölçümü süreksızlık doğrultu ve eğimi ile sondaj (veya ölçüm hattı) yönü arasındaki ilişkiye, sondaj ekipmanına ve sondörün becerisine bağlı olmasıdır. Bu nedenlerle kaya kütle sınıflandırmalarının şev duraylılığına uygulamasında RQD yerine

hacimsel çatınlılık katsayısının veya blok boyutunun kullanılması daha anlamlı olduğu söylenebilir.

#### **4.2.3. Süreksizlik Yüzeyi Durumu**

Süreksizliklerin kesme dayanımı, büyük ölçüde, süreksizlik yüzeyinin durumu (pürüzlülük, yüzey malzemesi dayanımı ve ayırtma durumu, dolgu malzemesi, devamlılık) tarafından belirlenmektedir. Sistemlerin çoğu süreksizlik durumunu farklı parametreler göre tanımlamaktadır. RMR ve MRMR de ya süreksizlik yüzey durumu en kötü olanın alınması ya da kaya kalitesini en olumsuz etkileyen süreksizlik takımının dikkate alınması önerilmektedir. RMR ve yeniden düzenlenmiş şekillerinde süreksizlik ara uzaklığı sadece bir süreksizlik takımı için tanımlanmasına rağmen bu problem üzerinde önemle durulmuş ve RMR sistemine göre duraysızlığa en fazla olumsuz etki eden süreksizlik takımı dikkate alınması önerilmiştir (Hack, 2002). Süreksizlik ara uzaklığı büyük süreksizlik takımı ara uzaklığı daha küçük olan süreksizlik takımına göre daha kötü süreksizlik yüzey durumuna sahip olabilir. Bu durumda hangi süreksizlik takımının duraysızlığa daha kötü etki yapabileceğine nasıl karar verileceği açık değildir (Hack, 2002). Bu durum M-RMR ve MRMR sistemlerinde de geçerlidir. SMR ve SSPC sistemleri süreksizlik takımının her biri için olası kayma ve devrilme türü yenilmeler için analiz yapılmaktadır.

MRRMR sisteminde yüzey durumu puanı suyun varlığına bağlı olarak değişmektedir. Bu durum en son elde edilen MRRMR puanı üzerinde suyun etkisini gösterse de, suyun yalnızca süreksizlik yüzey durumunu etkilediği şeklindeki bu yaklaşım eksiktir.

Süreksizlik pürüzlülüğü genellikle anizotropdur. Pürüzlülük anizotrop olduğunda süreksizlik kesme dayanımı da anizotrop olmaktadır. Ancak bu durum RMS, RMR, M-RMR MRMR, SMR ve SSPC sistemlerinde dikkate alınmamıştır. Bu nedenle pürüzlülük süreksizlik yönemiyle birlikte değerlendirilmeli ve bir sınıflandırma sisteminde şev duraysızlığı açısından en önemli yönlerdeki pürüzlülük dikkate alınması gerekmektedir (Hack, 2002). Robertson (1988) mümkün kayma yönündeki pürüzlülüğün alınmasını önermektedir. Bu çalışmada da olası kayma yönündeki pürüzlülük esas alınmıştır.

Devamlılığı olmayan süreksizliklerin şev duraylılığına etkisi devamlı süreksizliklerle aynı olmayacağıdır. Devamlılığın nasıl tanımlanacağı jeomorfolojik amaçlı sınıflandırmada (Selby, 1980, 1982) ayrıntılı olarak gösterilmiştir. Bu sistem devamlılığı

süreksizliklerin kesme direnciyle birleştirmiştir. RMR, SMR M-RMR ve MRMR'de devamlılık süreksizliklerin kesme dayanımıyla ilgili olarak ele alınmaktadır. Ancak çoğu kez devamsızlığın gerçek durumunu (yüzeydeki kohezyonsuz alanın tam alana oranı) ölçmek çoğunlukla kolay ve pratik değildir. Devamlılık blok boyutunu da etkilemektedir. Bu etki süreksizlik sıklığının blok boyutu etkisiyle kısmen örtüşmektedir. Ancak RMS, RMR, SMR M-RMR ve MRMR sistemlerinde devamlılığın bu etkisi üzerinde durulmamaktadır.

Süreksizlik yüzeyindeki erime boşluklarının olması şev duraylılığı için önemlidir (Hack, 2002). Yüzeydeki boşluklar kaya kalitesini zayıflatmaktadır. Bu boşluklar süreksizlik yüzeyindeki çözülme şeklindeki ayırmadan meydana gelmektedir. Çözülme ile oluşan boşluklar nedeniyle süreksizlik yüzeyinde blokların birbirine temas alanı azalır ve bu durum kesme dayanımının azalmasına neden olmaktadır. Temas noktalarında gerilme artacağından burada kırılmalar olur. Ayrıca, kaya kütlesindeki karstik boşluklar kazı sırasında patlatmanın etkisini azaltırlar (Hack, 2002). Ancak süreksizlik yüzeyindeki erime boşluklarının kesme dayanımı üzerindeki bu etkisi sadece SSPC sisteminde dikkate alınmış, RMS, RMR, SMR M-RMR ve MRMR sistemlerinde dikkate alınmamıştır.

Bu çalışmada, M-RMR de olduğu gibi, incelenen jeoteknik birimi genel durumunu yansitan ortalama değerler; ölçüm hattından bulunan ortalama süreksizlik ara uzaklığı, süreksizlik izi uzunluğunun ortalaması, pürüzlülük değerlerinin ortalaması kullanılmıştır. Ancak yenilmelerin en kötü yüzey durumuna sahip süreksizlik takımına bağlı olarak gelişmesi olasılığı olduğu durumda, söz konusu süreksizlik takımının yüzey durumu ortalama değer yerine kullanılmıştır.

#### **4.2.4. Süreksizlik Yönetimi**

Kaya kütle sınıflandırmalarında süreksizliklerin ve şev yönetimi arasındaki ilişkinin şev duraylılığı için önemi bilinmekte ve çoğu kez de dikkate alınmaktadır. Ancak sistemlerde süreksizliklerin ve şev yönetimi arasındaki ilişkinin şev duraylılığına etkisini tanımlayan parametreler oldukça kaba ve muğlaktır. RMS de söz konusu ilişki süreksizliklerin şev içine veya dışına doğru eğimli olması ve eğiminin 30 dereceden büyük olup olmamasına göre tanımlanmakta ve puanlanmaktadır. Örneğin süreksizlik şevin içine doğru eğimli ve eğimi 30 dereceden büyükse puanı 18, yatay ise puanı 14 dür. Bu örnekteki birinci durumda yenilme olasılığı (devrilme türü) yüksekken ikinci durumda

şevdeki yenilme olasılığı birinciye göre daha azdır. Bu durum RMS'deki süreksızlık yönelimi ile ilgili puanlananın çelişkili olduğunu göstermektedir.

RMR de kaya şevleri için de süreksızlık yönelimine bağlı düzeltme parametresi tanımlanması ve uygulanmasında muğlaklıklar ve anlamsızlık vardır (Ulusay ve Sönmez, 2002). Örneğin zayıf nitelikli kaya kütlelerinde -60 lara varan düzeltme puanı uygulamasıyla negatif RMR değeri elde edilebilmektedir. Ulusay ve Sönmez (2002) çok kırıklı kaya şevlerinde süreksızlık yöneliminin etkisi ortadan kalktılarından (bu durumta tek bir yenilme türü gelişir) Singh ve Ghrooee (1989)'nun birden fazla duraysızlık modeli ve -60 varan yönelim düzeltmesi puanlarının anlamlı olmadığını belirtmektedir. Bu durum temel RMR puanını esas alan SMR sistemi içinde geçerlidir. RMR de, eğer süreksızlık yönelimi şev için "hiç uygun değilse" toplam puan 60 azalırken benzer şekilde SMR de bu azalma miktarı %52 ye varmaktadır. Ünal ve Özkan (1990) RMR sisteminde süreksızlık yönelimi ile ilgili var olan belirsizliği gidermek için süreksızlık yönelimi ile ilgili düzeltmeyi sağlam karot verimine bağlı olarak yapılmasını önermişlerdir. M-RMR sisteminde, bu çalışmada olduğu gibi karotlu sondaj imkanı olmadığından 3 veya daha fazla süreksızlık takımı içeren kaya kütleleri için süreksızlık yönelimi düzeltme puanı (-5) olarak alınmaktadır (Gökçeoğlu, sözlü görüşme, 2004). Ancak M-RMR sisteminde karotlu sondajın olmadığı diğer durumlarda düzeltme puanı ile ilgili belirsizlik vardır.

MRMR sistemi süreksızlık yönelimi düzeltme puanlarını yeraltı kazıları için önermiştir (Laubscher 1984, 1990). Bu sistemde yönelim düzeltmesi süreksızlık takımı sayısı ve düşeyden farklı süreksızlık takımı sayısına bağlı olarak verilmektedir. Haines ve Terbrugge (1991)'nin şev duraylılığı için MRMR uygulamalarında süreksızlık yönelimi düzeltme puanı nasıl elde ettikleri açık olarak verilmemiği için Laubscher (1990)'da olduğu şekliyle alındığı düşünülmektedir. Bu çalışmada söz konusu puanlama şev duraylılığı uygulaması için düzeltilmiştir. Bu düzeltme yapılrken süreksızlık takım sayısı ile olası kayma ve devrilme türü yenilmeleri oluşturacak süreksızlık takım sayısı dikkate alınmıştır.

#### **4.2.5. Su Durumu**

Şev duraylılığında etkili olan ve sınıflandırma sistemlerinde "su veya su basıncı" olarak ele alan parametreler özellikle Hack (2002) tarafından pratik ve kavramsal olarak ayrıntılı olarak sorgulanmıştır. Bu çalışmada elde edilen veriler önceki çalışmalarla ortaya konan verilerle birlikte değerlendirilmiş ve aşağıdaki sonuçlara ulaşılmıştır.

Kaya kütle sınıflandırmaların çoğunda, suyun etkisi %3-%15 gibi bir aralıkta değişim gösterir. Örneğin suyun etkisi RMR (Bieniawski, 1989) da %15, SMR (Romana, 1985)'de %13, RMS (Selby, 1980)'de %6, MRMR (Haines ve Terbrugge, 1991)'de % 3'tür. SSPC (Hack vd. 2003) sisteminde su basıncının varlığı toplam puana etkisi kesin olarak yoktur, ancak suyun varlığı durumunda dayanımını kaybeden süreksızlık dolguları için toplam puana dolaylı etkisi olmaktadır. Bu çalışmada duraylılığı incelenen şevelerin kuru olduğu durum için bulunan toplam puan ile şevede orta derecede su basıncının olduğu durum için bulunan toplam puan arasında çok az fark vardır. Söz konusu fark en fazla RMS için 3, RMR için 11, M-RMR için 9, MRMR (Laubscher, 1990) için 6, SMR için 12 olmaktadır. Söz konusu bu farkların incelenen kazı şevelindeki su nedeniyle oluşacak/oluşan duraysızlığı açıklamaya yeterli olmadığı söylenebilir. Bu durum özellikle orta ve daha yüksek derecede ayırmış dasitik kayaçların olduğu şevel için geçerlidir.

RMS, RMR, SMR, M-RMR ve MRMR sınıflandırma sistemlerinde su parametresi "kuru", "nemli", "ıslak" ve "damlama" gibi terimlerle veya kaya kütlesinden boşalan suyun debisi ile tanımlanmaktadır. Bu tanımlamalar kişilere göre değişir. Ayrıca genellikle şevediğine kadar su akışı görülmediğinden süreksızlıkların boşalan su miktarını ölçmek pratik olarak da zordur.

RMS, RMR ve M-RMR ve MRMR sistemlerinde ve bunların şevediğine kadar su akışı görülmediğinden süreksızlıkların boşalan su miktarını ölçmek pratik olarak da zordur. Düşük geçirgenliğe sahip kaya kütlesinde boşalan düşük debili su yüksek geçirgenliğe sahip kaya kütlesinden (serbest dranaj koşullarında) boşalan yüksek debili suya göre daha büyük su basıncı oluşturabilir. Ayrıca söz konusu sistemlerde, şevediğine kadar su akışı görülmediğinden süreksızlıkların boşalan su miktarını ölçmek pratik olarak da zordur. (Hack. 2002, Hack vd. 2003).

RMS, RMR ve SMR sınıflandırmalarında yeraltı suyu koşulları bir parametre olarak alınmasına rağmen, özellikle ayırmış kayaçlarda, killi kayaçlarda suyun kaya kütlesi üzerinde yapacağı olumsuz etkileri tanımlayacak bir parametre bulunmamaktadır. Suyun kayaç üzerindeki bu bozucu etkileri sadece M-RMR sisteminde dikkate alınmış ve bu etki kaya malzemesinin suda dayanım indeksi ile ifade edilmiştir. M-RMR sisteminde suyun bozucu etkisi yanı sıra yeraltı suyu koşulları da dikkate alınmıştır. MRMR sisteminde ise suyun varlığı ve miktarının etkisi süreksızlık kayma dayanımıyla ilişkilendirilmiştir.

Su boşalımı şev yüksekliği boyunca sabit değildir. Şevin yüksek kısımlarında su boşalımı, daha alçak kısımlarına göre basıncın az olmasından dolayı daha azdır. Boşalan suyun ortalamasınınını alınacağı, yoksa boşalımının miktarına bağlı olarak sınıflandırmalar ayrı yerlerde ayrı ayrı mı uygulanacağı sorunu var olan sınıflandırma sistemlerinde yeterince açıklanmamıştır (Hack, 2002).

Yeraltı kazılarda, açılan boşluk civarındaki gerilme durumu kazı boşluğu yüzeyi ve yakınında yüksek basınç gerilmesini sonuçlayacaktır. Yüksek basınç direnci kazı boşluğu yönünde süreksızlıklar kapanmasına yol açar. Bu nedenle kazı boşluğu yakınında su basıncı oluşur. Şevlerde gerilme durumu şev yüzeyine yakın süreksızlıkların açılmasına ve sonucta su basıncının azalmasına neden olmaktadır. Bu farklı durumlar nedeniyle yeraltı kazılar için uygulanan sınıflandırma sistemlerinin şevler için iyileştirilmesi gerekmektedir (Hack, 2002).

Şev yüzeyi üzerindeki (yüzeysel) su akışı yamaç duraysızlığına neden olabilir ve bu kaya kütlesi içindeki su dolaşımıyla ilgili olmayabilir. Yağmur boyunca şev yüzeyinde görülen suyun, kaya kütlesindeki süreksızlıklarlarından boşanan su mu yoksa şev yüzeyinde akan (yüzeysel) su mu olduğunu tartışmak anlamsızdır (Hack, 2002).

Şev duraylılığı için uygulanan sistemlerde kar ve buzun etkisini belirten herhangi bir parametre bulunmamaktadır. Ancak şev duraylılığında suyun donması önemli problemler oluşturacağı açıklıdır. Örneğin; süreksızlikteki suyun donma ve ermesi olayının tekrarlanması kaya kütlesindeki blokların hareketlenmesine neden olmakta, donan su, aynı zamanda süreksızlıklarındaki su akışını engellemekte ve kar ve buz şevlerde ek yük oluşturabilmektedir.

#### **4.2.6. Şev Yüksekliği, Gerilme Durumu, Kaya Malzemesi Deformasyonu**

Şev yüksekliği şevi oluşturan kaya kütlesindeki gerilme düzeyi ile direkt ilgilidir. Kaya malzemesi dayanımından daha yüksek olan gerilme düzeyi kaya malzemesinin kırılmasına neden olacağı için şev de yenilmeler oluşacaktır. Şev yüksekliğinin şev duraylılığı açısından bu etkisi bilinmesine rağmen sadece Haines ve Terbrugge (1991), Shuk (1994) ve Hack (1998) şev yüksekliğini bir parametre olarak ele almışlardır.

Şevin açıldığı kaya kütlesindeki doğal gerilme durumu ve bunun şev kazısı nedeniyle değişiminin şev duraylılığıne etkisi, ölçümlerin pratikte zor, zaman ve para açısından ekonomik olmadığından, çoğu kez dikkate alınmamaktadır. RMS, M-RMR ve

RMR de arazideki gerilme durumu dikkate alınmamıştır. MRMR ise en büyük ve en küçük asal gerilme durumlarını ve bunların kazı sonrasında değişimini dikkate almıştır (Laubscher, 1984, 1990). Ancak bu sistemin şev duraylılığı uygulamalarında arazideki gerilme durumu ele alımı açık değildir. Haines ve Terbrugge (1991) çalışmasında gerilme durumu için düzeltme faktörünü 1 olarak almıştır.

RMS, RMR, SMR, M-RMR ve MRMR sistemlerinin hiç birinde, kaya malzemesi deformasyonu direkt olarak düşünülmemiştir. Ancak gerilme boşalımı (özellikle zayıf veya kesme zonları ile ilgili olmayan) ve dış yüklerle oluşan kaya kütle deformasyonu şev duraylılığı için önemlidir. Dış yükler ve şevin yüksekliğiyle birlikte artacak olan kaya kütlesindeki gerilme düzeyi ve buna bağlı deformasyonlar süreksizlikler boyunca kaymalara neden olabilmektedir (Hack, 2002). Kaya malzemesi deformasyonu sadece SSPC yönteminde süreksızlığa bağlı olmayan yenilme türleri analizi için girdi parametresi olarak kullanılmaktadır.

Kazı yöntemine ve kaya kütlesinin mühendislik özelliklerine bağlı olarak şevin açıldığı kaya kütlesi az veya önemli miktarda örselenemektedir. RMS sistemi doğal yamaçların dayanımını araştırdığından kazı etkisi faktörünü parametre olarak kullanmaktadır. RMR (Beiniawski, 1974) sisteminde önceleri kazı etkisi faktörü dikkate alınmazken sonraları bu sistemin yeraltı kazıları için uygulamalarında patlatma etkisi sisteme dahil edilmiştir (Ulusal ve Sönmez, 2002). Ayrıca RMR nin şev duraylılığı için düzenlenmiş şekli olan SMR'de (Romana, 1985, 1993; Romana vd., 2003), M-RMR sisteminde, ve MRMR sisteminde (Laubscher, 1984, 1990; Haines ve Terbrugge 1991) kazı nedeniyle oluşan örselenme dikkate alınmaktadır.

MRMR ve SSPC yönteminde kazı şevinin örselenmesi, şevdeki kaya kütlesinde şevin ömrü boyunca oluşmuş ve/veya oluşacak ayrışmanın durumu dikkate alınmaktadır. Ancak SSPC tektonik gerilme veya şevin arkasındaki kaya kütlesi tarafından oluşturulan gerilmelerin önemli olduğu durumlarda uygulanması önerilmemektedir (Hack vd. 2003).

### **4.3. Sınıflandırma Parametreleri ve Şev Geometrisindeki Değişimler ve Bunların Ölçümündeki Belirsizlikler**

Arazide ölçülebilen her bir veri belli oranda belirsizlik içerebilir bu nedenle sınıflandırma sistemlerine dayanan şev duraysızlık değerlendirmeleri de belli ölçüde belirsizlik içerir (Gama 1994). Buna rağmen, çoğunlukla sınıflandırma sistemleri belirsizlik olayını dikkate almamaktadır.

Sınıflandırmalarda kullanılan parametreler için yapılan puanlama söz konusu parametrelerin ortalama değerleri için yapılmakta, ortalama değerden sapan ölçümler göz önüne alınmamaktadır. Bu durum SSPC hariç bu çalışmada kullanılan tüm sınıflandırma sistemleri için geçerlidir. Hack (1998) şev duraysızlığının olasılık tanımlamasını yapmak için yöntem geliştirirken Monte-Carlo sayısal modelleme yöntemini kullanmıştır (Hack vd. 2003).

Jeoteknik birimlerin tanımlaması da belirsizlik içerir. Duraylılık analizi homojen kabul edilen her bir jeoteknik birim için yapılır. Fakat jeoteknik birimin özellikleri her yerde aynı olmamakta, kaya kütlesinin kompleksliğine bağlı olarak özelliklerde mutlaka belirli bir farklılık göstermektedir.

Şev geometrisi çoğunlukla tek düzeye değildir ve özellikle şevde hareket etmesi olası kütle dikkate alındığında, küçük alanlarda bile büyük değişiklikler göstermektedir. Bu çalışmada kullanılan yöntemlerin hiç biri şev geometrisindeki değişikliği dikkate almamaktadır.

### **4.4. Şev Duraylılığını Sağlamak İçin Yapılan Öneriler**

Kaya şevlerinde duraylılık analizleri için kullanılan sınıflandırma sistemleri, şev duraylılığını sağlamak için gerekli destekleme türlerini yeraltı kazıları için kullanılan sınıflandırma sistemlerinin destekleme önerilerinden miras olarak almışlardır. (Romana, 1985, 1991). Bu çalışmada uygulanan kaya kütle sınıflandırmalarından sadece SMR şev duraylılığı için destekleme türleri

İnceleme alanında seçilen ve SMR'ye göre tamamen duraysız, duraysız ve kısmen duraysız olarak tanımlanan şevlerde duraylılığı sağlamak için (SMR'ye göre) önerilen destek türleri Şekil 46'da (sayfa 111) verilmiştir. Söz konusu şevlerin geometrisi (şevin yüksekliği ve eğimi, şev üst yüzeyinin eğimi) dikkate alındığında bu önerilerin gözden geçirilme ihtiyacı olduğu görülmektedir. İncelene şevlerin tamamında kaya düşmeleri

mevcuttur. Kaya düşmelerinin oluşturacağı tehlikeleri engellemek için bu şevlerde çelik hasır kullanılabilir. Kaya hendeklerinin oluşturulabilmesi için yapılması gereken kazılar, şevlerin yüksekliğinin ve eğiminin büyük olması nedeniyle mümkün görülmemektedir. Bu durum duraysız şevlerin eğimlerinin azaltılmasında da geçerlidir. Ancak kütlesel yenilmelerin oluşabileceği yüksek derecede ve daha fazla ayrışmış, çok kıraklı şevlerde (SMR puanı <20) şevin basamaklandırılması (yer üstü ve yeraltı sularının drenajı ve istinat duvarlarıyla birlikte ) düşünülebilir. Süreksizliklere bağlı yenilmelerin oluşabileceği şevlerde, hareket etmesi olası bloklar belirlenmeli ve bunların kontrollü düşürülmesi veya kaya blonu ve ankrajlarla sağlamlaştırılması (hareketlerinin engellenmesi) düşünülmelidir. SMR puanının 20-60 arasında olduğu, küçük ve çok küçük bloklu ( $Jv>10$ , Palmström, 1996), orta derecede ve daha az ayrışmış volkanitlerde açılan şevlerde çelik hasırın kullanılması, şev yüzeyinin püskürtme betonla kaplanması ve kaya blonu ve ankrajlarla sağlamlaştırma birlikte düşünülmelidir.

Hack (2002)'a göre bu yeraltı kazıları için geliştirilen destekleme önerilerine dayanan bu yaklaşımın şevler için uygulanması ve genelleştirilmesi oldukça zordur ve göreceli olarak güvenilirliği daha azdır. Yazar, ömrü boyunca desteğin bakımı ve onarımı karmaşık ve pahalı olduğunu belirterek duraylılığı sağlamak için destekleme önerisi yapmak yerine şevin yüksekliğinin ve eğiminin düzeltilmesini daha anlamlı bulmaktadır. Bu yaklaşım SSPC sisteminden sağlayacak yararı azaltmaktadır. Özellikle bu çalışmadaki incelenen şevlerde olduğu gibi yüksekliği fazla ve eğimi büyük şevlerde eğim ve yüksekliğin yeniden tasarlanması pratikte zor olmaktadır.

#### **4.5. Kaya Kütlesinin Niteliği ile Yenilme Türlerinin Arasındaki İlişki**

İncelenen şevlerde duraylılık bozulmaları esas olarak; süreksizliklere bağlı kayma ve devrilme türü yenilmeler, süreksizliklerden bağımsız kütlesel yenilmeler, şevin ömrü boyunca oluşan/olacak ayırmaya ve kaya kütlesindeki gerilmeler nedeniyle oluşan yenilmeler ve yer altı ve yer üstü sularının oluşturduğu bozulmalardır..

Süreksizliklere bağlı olarak gelişen kayma ve devrilme türü yenilmeler orta ve daha fazla dayanıklı kaya kütlelerinde ( $RMR>40$ ) meydana gelmektedir. Ayrıca zayıf kaya kütlelerinde iyi gelişmiş ve kesme dayanımı düşük süreksizlikler söz konusu yenilmeler için olanak sunmaktadır. Kütlesel yenilmeler daha çok zayıf kaya kütlelerinde;

kaya malzemesi dayanımı düşük, çok kırıklı, parçalı kaya kütleselerinde ( $RMR < 40$ ) meydana gelmektedir (Robertson, 1988). Şev yüksekliğinin çok yüksek olması; şevde kaya malzemesinin dayanımını aşacak kadar öz ağırlıktan ileri gelen gerilmelerin olması durumunda da kütlesel yenilmeler oluşabilmektedir.

Bu çalışmada uygulanan sınıflandırma sistemlerinden RMS, RMR, M-RMR ve MRMR sistemleri kaya kütlesinde oluşabilecek yenilme türlerini dikkate almadan duraylılık tahmini yapmaktadır. Bu durum söz konusu sistemlerinin şev duraylılığını tahmininde ve şev tasarımında kullanımını kısıtlamaktadır.

SMR sistemi süreksizliğe bağlı yenilmeler için gerekli parametreleri içermekte olup bu sistemde olası kayma ve devrilme türü yenilmeler belirlenmektedir.. SMR sisteminde puanın düşük olduğu ( $SMR < 20$ ) durumda heyelan şeklinde (kütlesel yenilmelerin) geleceği öngörmektedir. Ancak bu durumda da SMR puanı süreksizliklerin özelliklerine (eğimi, şev düzlemiyle olan ilişkisine) bağlı olarak hesaplanmaktadır. Bu SMR sisteminin, özellikle zayıf kayalarda açılan şevlerin duraylılık tahmininde kullanılmasını sınırlamaktadır. Ancak bu çalışmada, zayıf kayalarda açılan şevler için SMR sistemi ile yapılan duraylılık tanımlanması ile arazide yapılan görsel tanımlama arasında iyi bir uyum olduğu görülmektedir (Tablo 45 ve Şekil 50) Bu durumun veri azlığından da kaynaklanabileceği düşünülmektedir. Şekil 50'de verilen incelenen şevlerin görsel tanımlaması Hack vd. (2003)'e göre yapılmıştır. Bu tanımlamaya göre şevde hareket etmiş veya etmesi olası kütlenin ağırlığı ton düzeyinde ise şev için "büyük problemli", kg boyutunda ise "küçük problemli", ve eğer hareket olmamış ise "problem yok" tanımlamaları yapılmaktadır. Tablo 45 ve Şekil 50'de incelenen şevlerdeki görsel tanımlama ile SSPC sistemi ile elde edilen duraylılığın olasılık tanımlaması arasındaki ilişki de verilmiştir. Bu tablo ve şekil incelendiğinde hem SMR hem de SSPC ile elde edilen sonuçların görsel tanımlamayla uyumlu olduğu görülmektedir.

SSPC sistemi SMR den farklı olarak hem süreksızlıklere bağlı duraylılığı, hem de süreksızlıkların bağımsız duraylılığı olasılık olarak tanımlamaktadır. Ayrıca SMR sisteminde şev yüksekliği duraylılık tanımlamasında bir girdi parametresi olarak kullanılmazken SSPC yönteminde süreksızlık yönelikinden bağımsız duraylılığın tanımlamasında şev yüksekliği önemli parametredir.

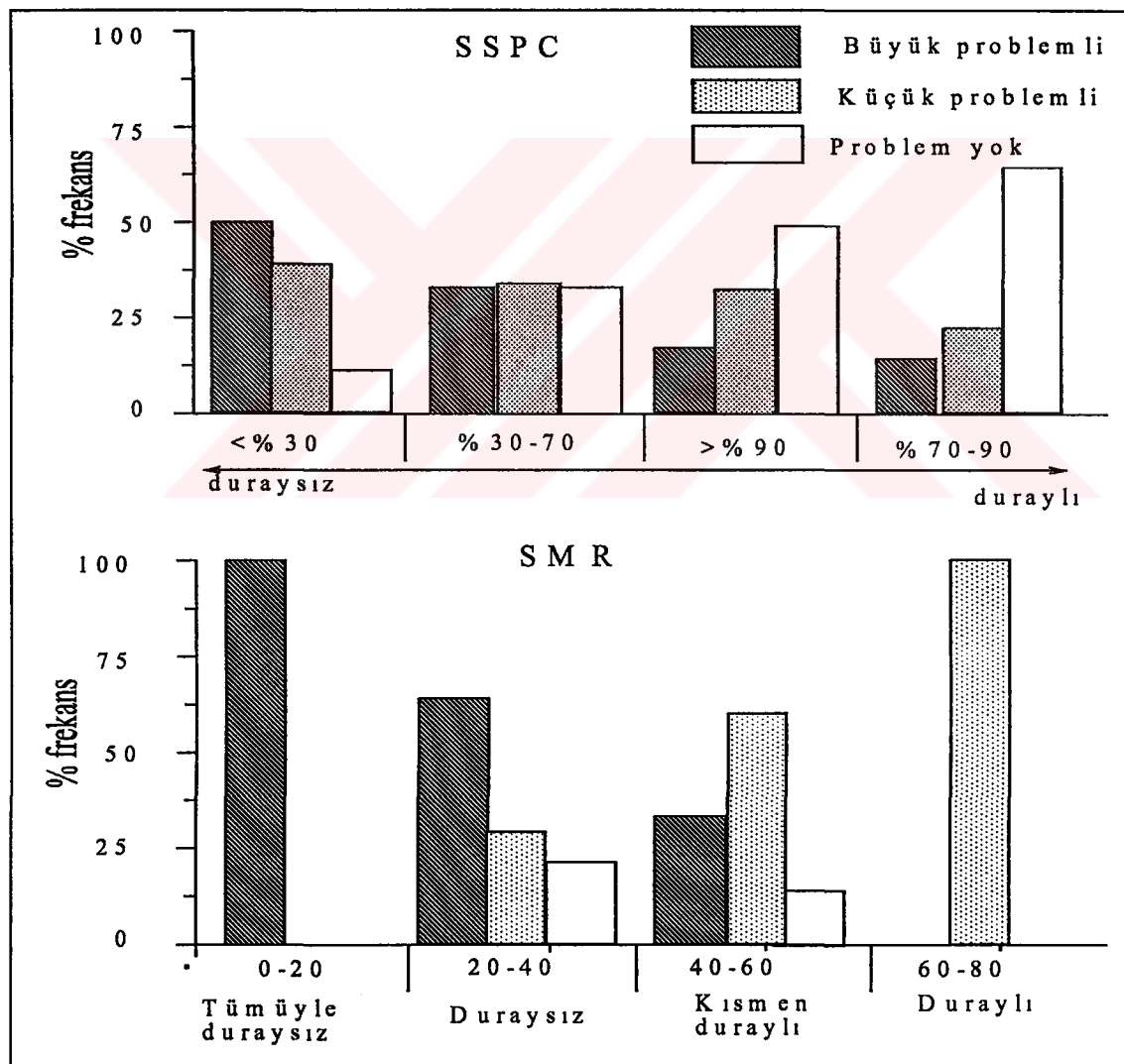
Tablo 45. Şevlerin görsel tanımlaması ile SMR ve SSPC yöntemiyle elde edilen duraylılık tanımlamaların sayısal karşılaştırılması

SMR	Büyük problemli*	Küçük problemli	Yok (duraylı)	toplam
0-20	7	0	0	7
20-40	15	8	5	28
40-60	7	15	3	25
60*80	-	4	-	4
80*100	-	-	-	-

SSPC (%)	Büyük problemli	Küçük problemli	Yok (duraylı)	toplam
<30	19	15	4	38
30-70	2	2	2	6
70-90	1	2	3	6
>90	2	3	9	14

(\*:SSPC yöntemindeki tanıma göre hareket eden malzeme kg boyutunda ise şev büyük problemli, ton boyutunda ise şev küçük problemli olarak tanımlanmaktadır)



Şekil 50. Duraylılığı araştırılan şevlerde yapılan görsel tanımlama ile SSPC ve SMR sistemiyle yapılan tanımlamaların karşılaştırılması

## **5. SONUÇ VE ÖNERİLER**

Trabzon-Gümüşhane devlet karayolunun Bekçiler Mevkii (Maçka-Trabzon)-Savaslı Mahallesi (Torul-Gümüşhane) arasında kalan kısmında seçilen kazı şevelerinin duraylılığını incelenmesini ve kaya şev duraylılığı için yaygın olarak kullanılan kaya kütle sınıflandırma sistemleri irdelenerek, duraylılığının tahmininde pratikte yarar sağlayan sınıflandırma sistem ve/veya sistemleri belirlenmesini amaç edinen bu çalışmada elde edilen sonuçlar aşağıda özetlenmiştir.

1-Bu çalışmada, inceleme alanının 1/25000 ölçekli jeoloji haritası hazırlanmış ve yörede yüzeylenen kayaçlarının lito-stratigrafik ve yapısal özellikleri araştırılmıştır.

Çalışma sahasında en altta Turoniyen-Santonyen yaşılı Çatak Formasyonu yer almaktadır. Bu formasyon kalınlığı 1-20 m. arasında değişen, çoğunlukla yanal devamlılığı olmayan, bazen mercek şeklinde görülen, ince tabakalı, bordo renkli killi kireçtaşları, kumlu kireçtaşları ve tüffit ara seviyeleri içeren andezit ve piroklastlarından oluşmuştur. Çatak Formasyonu üzerine uyumlu olarak gelen ve Troniyen?-Santonyen yaşılı tortul ara katmanları içeren Kızılkaya Formasyonu'nda iki farklı dasit ve piroklastitler bulunmaktadır. Bunlardan ilki içerdeği cevherleşmeler nedeniyle “Cevherli Dasit”, ikincisi ise renginden dolayı “Mor Dasit” olarak adlandırılmaktadır. Mor Dasitler genelde cevher minerali içermemekte ve Cevherli Dasitlere göre daha az ayırmış olarak gözlenmiştir. Kızılkaya Formasyonu üzerine Kampaniyen-Maastrichtyen yaşılı Çağlayan Formasyonu uyumlu olarak gelmektedir. Bu formasyon killi kireçtaşları, kumlu kireçtaşları, kumtaşları ve marn ara seviyeleri içeren andezitik-bazaltik volkanitlerden oluşmaktadır.

- Kızılkaya Formasyonu dasitik volkanitlerde hakim çatlak sistemlerinin 215/78, 335/72, 104/88 ve 270/36 olduğu belirlenmiştir. Kızılkaya Formasyonu'ndaki andezit ve dasit dayklarının durusu 215/78 ve 335/72 yönelik çatlak takımının duruşuyla uyumludur.

- İnceleme alanında devamlılığı olan ve K45D doğrultuya sahip 2 tane fay mevcuttur (F1 ve F2 fayları). F1 fayı inceleme alanının batısında yer almaktadır olup 80° GD'ya doğru eğimli normal faydır. F2 fayı düşey atımlı olup inceleme alanının güney doğusunda Kızılkaya Formasyonu ile Çağlayan Formasyonu arasındaki sınırı oluşturmaktadır

2- Duraylılığı incelenen yol kazısı ile oluşmuş kaya şevelerde şevel geometrisi, litolojik özellikler, ayrışma durumu ve süreksizlik sıklığı dikkate alınarak 64 jeoteknik birim tanımlanmıştır. Bu jeoteknik birimlerin dayanım özelliklerini bulmak için yapılan çalışmalar aşağıda özetlenmiştir.

- Jeoteknik birimlerin dayanım özellikleri ayrışmayla belirgin değişim göstermektedir. Dasitik volkanitlerde kaya malzemesinin tek eksenli basınç dayanımı ayrılmamış malzemede 236-148 MPa, az ayrılmış malzemede 176-124 MPa, orta derecede ayrılmış malzemede 69-28 MPa ve yüksek derecede ayrılmış malzemede 45-15 MPa arasında değişmektedir. IAEG (1995)'nin ayrışma sınıflandırılması kullanılarak değişik derecede ayrılmış dasitik ve andezitik volkanitler için dayanım özellikleri büyük güvenilirlikle tahmin edilebilmektedir.

- Dasitik volkanitlerin tek eksenli basınç dayanımı ( $\sigma_{ci}$ , MPa) Schmidt çekici geri tepme sayısı ( $R$ ) ve nokta yük dayanımı ( $I_{S(50)}$ , MPa) değerleri kullanılarak, aşağıda verilen bağıntılarla tahmin edilebilmektedir

$$\log(\sigma_{ci}) = 1.1332 \ln(R) + 0.584 \quad (R^2 = 0.900, N=12)$$

$$\sigma_{ci} = 24.25 I_{S(50)} + 4.83 \quad (R^2 = 0.944, N=12)$$

3- İncelenen kazı şeveleri duraylılık açısından tanımlamak için kullanılan RMS, RMR, M-RMR ve MRMR sınıflandırma sistemlerinin uygulanmasıyla elde edilen bulgular aşağıda özetlenmiştir

-RMS, RMR, M-RMR ve MRMR sınıflandırma sistemlerinde kullanılan girdi parametrelerinin tanımlanmasında ve ölçülmesinde güçlükler vardır. Bu güçlükler Bölüm 4.2'de (sayfa 125-133) tartışıldığı için burada tekrarı yapılmamış, sadece bu çalışmadaki uygulamada görülen zorluklar belirtilmiştir.

-İncelenen şevelerde duraylılığın bozulmaları esas olarak; süreksizliklere bağlı kayma ve devrilme türü yenilmeler, kaya düşmeleri, süreksizliklerden bağımsız kütlesel yenilmeler, şevin ömrü boyunca oluşan/olacak ayrışma ve kaya kütlesindeki gerilmeler nedeniyle meydana gelen yenilmeler ve yeraltı ve yer üstü sularının oluşturduğu bozulmalardır. Bu çalışmada kaya şevelinin duraylılığını tanımlamak için kullanılan RMS, RMR, M-RMR ve MRMR sınıflandırma sistemleri şevedeki söz konusu yenilme türlerini dikkate almamakta sadece şevel duraylılığını açısından kaya kütlesini tanımlamaktadır. Şevel duraylılığının bu şekilde

tanımlanması şev tasarımları için yapılması gereken/önerilecek olan mühendislik çalışmaları için yeterli olmamaktadır.

- Doğal yamaçların yüzeyi şekillendiren jeomorfolojik olaylara (erozyona) karşı kaya kütle dayanımı tahmin etmek için geliştirilmiş olan RMS' de özellikle süreksızlık yönelimi ile ilgili puanlamada muğlaklık ve yanlış değerlendirmeler mevcuttur.

- RMR sisteminin şev duraylılık tahmini ve şev tasarımları için önerilmeme nedenleri; süreksızlık yöneliminin şevin konumuna göre nasıl değerlendirileceği ve yönelim düzeltmesi puanı seçimi konusu belirsiz olması, sık çatıaklı jeoteknik birimlerde süreksızlık yönelimi ile ilgili puanın toplam puana etkisi olması, özellikle orta derecede ve daha fazla ayırmış kaya kütlelerinde suyun olumsuz etkilerini tanımlayacak bir parametre olmamasıdır.

-İncelenen jeoteknik birimler için M-RMR sistemi ile bulunan puanların RMR ile bulunan puanlara uyumluluğu  $\chi^2$  testi kullanılarak araştırılmıştır. Bu araştırma sonucunda jeoteknik birimler için temel RMR puanı ile düzeltilmiş kütle puanı (CUMR) arasında anlamlı bir fark olmadığı ancak değişik yeraltı suyu koşullarındaki şev için elde edilen nihai RMR puanları ile düzeltilmiş M-RMR puanları arasındaki farkın önemli olduğu görülmüştür. İncelenen jeoteknik birimlerin % 80'ninde, düzeltilmiş M-RMR puanı nihai RMR puanından büyütür. Söz konusu puanlar arasındaki fark su içeriğiyle birlikte artmakta olup 2 ile 18 arasında değişmektedir.

-Bu çalışmada şevlerin duraylılığını tanımlamada kullanılan diğer bir yöntemde MRMR sistemidir (Laubscher,1990). Bu sistemde, süreksızlık yönelimi düzeltmesi yer altı kazıları için önerilmiştir (Laubscher 1984,1990). Söz konusu düzeltme katsayısı bloğu sınırlayan süreksızlık takım sayısına ve düşeyden sapan süreksızlık takım sayısına bağlı olarak bulunmaktadır. Bu çalışmada, süreksızlık yönelimi düzeltmesi katsayısı kendisi veya diğer süreksızlıklarla arakesiti yenilme oluşturacak süreksızlık takım sayısı ile süreksızlık takım sayısı dikkate alınarak şev duraylılığı için yeniden düzenlenmiştir

-Varyans analizleri sonucunda; şevin kuru ve nemli olduğu durumlarda jeoteknik birimlere ait MRMR değerleri ile RMR değerleri arasındaki farkın önemli olmadığı, şevde orta derecede su basıncının olduğu durumda ise söz konusu farkın anlamlı olduğu belirlenmiştir. MRMR ile M-RMR puanları arasındaki önemli farklılık vardır.

-Haines ve Terbrugge (1991)'in şev tasarım eğrileri kullanılarak incelenen şevlerin duraylı olabileceği şev eğimleri irdelenmiştir. Bu irdeleme sonucu incelenen bütün şevler duraysız olarak tanımlanmıştır. Bu durum arazi gözlemleriyle iyi uyum sağlamamaktadır.

Haines ve Terbrugge (1991)'in şev tasarım eğrileri, yenilme türlerini dikkate almamakta, duraylı şev açılarını gösteren eğriler eşit aralıklı almakta (MRMR puanı ve şev yüksekliği ile duraylı eğimi arasındaki ilişkilerin doğrusal olarak almakta), özellikle 100 m'ye kadar olan yüksekliğe erişen şevlerde duraylı şev yüksekliği-şev eğimi ilişksinin doğrusal kabul etmekte ve şevin duraylı olabileceği eğim açısının şev yüksekliğinden bağımsız olarak tanımlamaktadır. Bu nedenlerle bu çalışmada söz konusu eğrilerin şevlerin duraylılık tanımlamasında ve tasarım eğrisi olarak kullanılmaları doğru bulunmamıştır.

-Duraylılığı incelenen şevlerin kuru olduğu durum için kaya kütle sınıflandırma sistemleri ile bulunan toplam puan ile şevde orta derecede su basıncının olduğu durum için bulunan toplam puan arasında çok az fark vardır. Söz konusu fark en fazla, RMS için 3, RMR için 11, M-RMR için 9, MRMR (Laubscher,1990) için 6, SMR için 12 olmaktadır. Söz konusu bu farkların incelenen kazı şevlerindeki suyun bozucu açıklamaya yeterli olmadığı söylenebilir. Bu durum özellikle orta ve daha yüksek derecede ayırmış dasitik kayaçların olduğu şevler için geçerlidir. Arazide yapılan gözlemler, bu tür şevlerin duraylılığının bozulmasında suyun önemli ölçüde etkili olduğunu göstermiştir.

4- Duraylılığı araştırılan şevlerde yapılan gözlemler ve duraylılığın görsel tanımlamaları ile bu şevler için SMR ve SSPC ve sistemiyle yapılan duraylılık tanımlamaları arasında, iyi bir uyum olduğu belirlenmiştir. Ancak bu durum özellikle kültsel yenilmelerin görüldüğü şevler için tartışmalıdır. Söz konusu iyi uyumun varlığı, özellikle SMR ve SSPC yöntemlerinin olası yenilme türlerini dikkate alması ve süreksizlik yönelimi ile şev yönelimi arasındaki ilişkiyi anlamlı kurması sonucu olduğu düşünülmektedir. Söz konusu uyumun varlığı SMR ve SSPC sisteminin kaya şevlerinin duraylılığının araştırılmasında kullanılabilirliğini gösterse de her iki sistemin de şev duraylılığına yaklaşımlarıyla ilgili güçlükleri ve olanakları vardır. Bu çalışmada elde edilen veriler ve önceki çalışmalarda sunulan bulgular birlikte değerlendirilmiş ve söz konusu güçlükler ve olanaklar aşağıda özetlenmiştir.

-SMR puanını elde etmek için temel RMR değeri kullanılmaktadır. Bu nedenle RMR'de kullanılan parametreler için yapılan değerlendirme SRM sistemi içinde geçerlidir. Özellikle Bieniawski (1989) tarafından önerilen süreksizlik yönelimi düzeltmesi ilgili parametrenin abartılı değerlerinin (-50 ve -60) kullanımı zordur. SMR yöntemi zemin gibi davranışan ve bazı yumuşak kayalardaki şevler için yanlış sonuçlar verebilmektedir. Bu durum zayıf kaya kütlelerinin olduğu şevlerde kütlesel yenilme meydana gelmektemasına karşın

süreksizlik özelliklerini esas almasından kaynaklanmaktadır. Bir miktar tutucu (güvenli tarafta kalma eğiliminde) olan SMR sisteminin en zayıf noktalarından biri de şev duraylılığı analizlerinde şev yüksekliğini parametre olarak almamasıdır. SMR sisteminin öngördüğü olası yenilme türleri (kayma, devrilme ve kütlesel yenilme) inceleme alanındaki şevlerde duraysızlığı oluşturan yenilme türlerinin önemli bir kısmını oluşturması ve kazı nedeniyle kaya kütlesinde meydana gelen örselenmeyi dikkate alması söz konusu sistemin uygulanabilirliğini artırmaktadır. Ayrıca, SMR sisteminde, kazı şevleri duraylılığına uygulanan diğer tüm sistemlerden farklı olarak şev duraylılığını sağlamak için gerekli destek türü önerilmektedir. Ancak, SMR sistemi şev yüksekliğini dikkate almaması destekleme türü önerisinde de zorluklar oluşturmaktadır. İncelediğimiz şevlerde olduğu gibi, yüksekliği, eğimi ve şev üst yüzeyinin eğimi büyük olan şevlerde şevin yeniden tasarımları (eğiminin ve yüksekliğinin düşürülmesi), istinat duvarlarının yapılması ve kaya toplama hendeklerinin oluşturulması pratikte zor olabilmektedir. Bu çalışmada duraysız şevler için yapılan destekleme önerileri Bölüm 4.4'de (sayfa 133-134) tartışıldığından burada tekrar edilmemiştir.

- SSPC sistemi SMR den farklı olarak, hem süreksızlıklere bağlı duraylılığı, hem de süreksızlıkların bağımsız duraylılığı olasılık olarak tanımlamakta, yönelikinden bağımsız duraylılığın tanımlamasında şev yüksekliğini önemli parametre olarak kullanmakta, açılan kazı şevleri veya doğal yamaçlardan elde edilen ölçümleri açıklaması düşünülen kazı şevlerinin duraylılığı analizi için gerekli ölçümlere dönüştürebilmektedir. Söz konusu bu düzeltme için şev geometrisi, ayırtma durumu ve kazı yapılrken kaya kütlesinde oluşabilecek örselenmeyi dikkate almaktadır. SSPC yönteminin SMR sistemine göre en büyük olumsuzluğu duraysız şevler için desteklemeyi gereksiz görmesi, desteklemeyi önermemesidir.

5- Kaya kütle sınıflandırmalarının kaya şevi duraylılığı analizlerinde ve şev tasarımda kullanılabilmesi için yapılması gerekenler aşağıda özetlenmiştir.

-Kaya kütle sınıflandırmaları şev duraylılığının tanımlanması yalnızca ilk aşamada (ön çalışmalar) kullanılmalı veya detaylı haritalama ve analizi tamamlamak için belli bir bölgeye ait araç olarak düşünülmelidir.

- RMS, RMR, M-RMR ve MRMR sistemleri özellikle kullandıkları parametreler yeniden gözden geçirilmek koşuluyla, ancak zayıf kaya kütlesleri (45'den düşük GSI değerine

sahip kaya kütlelerinde) için jeoteknik modellerin oluşturulmasında ve şev tasarımda (şevin duraylı olduğu şev yüksekliği-şev eğimini gösteren ilişkilerinin belirlenmesinde) kullanılabilir. Söz konusu sistemlerin şu anki biçimleriyle kaya şevlerine uygulanması önerilmez.

-SMR ve SSPC yöntemleri şev duraylılığının tanımlanmasında ve analizlerinde kullanılabilmesi için bu sistemler için yukarıda verilen güçlükler ve olanaklar göz önüne alınmalıdır. Ancak, bu çalışmada elde edilen bulguların farklı alanlarda çalışılarak duraylı ve duraysız şevlerde test edilmesi gerekmektedir.

-Farklı alanlarda şev duraylılığı için yapılacak çalışmalar; istatiksel değerlendirmeler için yeterli nitelikte ve sayıda veri toplanması, kayacın litolojisi ve ayırtma durumu, süreksizlik sıklığı, şev geometrisi ve yenilme türünü dikkate alarak jeoteknik modellerin oluşturulması, bu modeller üzerinde sayısal yöntemlerle analizlerin yapılması ve bu analiz sonuçlarının arazide test edilmesi yararlı olacaktır. Tüm bu çalışmalar kaya şevlerinin duraylılık açısından tanımlamasını yapabilecek yeni bir kaya kütle sınıflandırma için ilk adım olacaktır. Kaya şevlerinin duraylılık açısından değerlendirilmesi için yeni bir yaklaşım da ihtiyaç olduğu açıklıdır.

## **6. KAYNAKLAR**

- Abrahams, A.D. ve Parsons, A.J., 1987. Identification of strength equilibrium rock slopes: further statistical considerations. Earth Surface Processes and Landforms, 12(6), 631-635.
- Alpan, T., 1971. Of – Trabzon Arasının Jeolojik Etüdü, M.T.A. Rap. No: 1177, Ankara, (Yayınlanmamış).
- Anbalagan, R Sharma, Sanjeev ve Raghuvanshi, T. K. 1992. Rock Mass Stability Evaluation Using Modified SMR Approach. Proc. 6th Nat, Sym. on Rock Meeting. Bangalore, India, .258-268.
- Aslaner, M., 1977. Türkiye Bakır, Kurgun, Çinko Yataklarının jeolojik ve Bölgesel Sınıflamasıyla Plaka Tektoniği Yönünden İncelenmeai, K.T.Ü., Yayın No: 85, 1977.
- Aufmuth, R. E. 1973. A Systematic Determination of Engineering Criteria for Rocks, Bulletin of Associate of Engineering Geologist, 11,.235-245.
- Barton, N. ve Bandis, S. 1982. Effects of block size on the shear behaviour of jointed rock. Keynote Lecture, 23rd US Symposium on Rock Mechanics, Berkeley, California.
- Barton. N.R. ve Bandis, S.,1990. Review of predictive capabilities of JRC-JCS model in engineering practice. Rock Joints, Leon, Norway. Balkema,Rotterdam, 603-610.
- Barton, N.R. ve Choubey, V., 1977. The shear strength of rock joints in theory and practice. Rock Mechanics, 10, 1-54.
- Bieniawski, Z.T., 1973. Engineering classification of jointed rock masses. Transactions of the South African Institution of Civil Engineers, 15, 335-43.
- Bieniawski, Z.T., 1974. Estimating the strength of rock materials. Journal of the South African Institute of Mining and Metallurgy, 74 (8), 312-320.
- Bieniawski, Z.T., 1975. Case studies: Prediction of rock mass behaviour by the geomechanics classification. Proceedings of the 2nd Australia New Zealand Conference on Geomechanics, Brisbane, Australia, 36-41.
- Bieniawski, Z.T., 1976. Rock mass classifications in rock engineering. Proceedings of the Symposium on Exploration for Rock Engineering, Johannesburg, 97-107.

- Bieniawski, Z.T., 1979. The geomechanics classification in rock engineering applications. Proceedings ISRM 4th International Congress on Rock Mechanics, Montreux. Balkema. Boston. Chapter 5, 55-95.
- Bieniawski, Z.T., 1988. The rock mass rating (RMR) system (geomechanics classification) in engineering practice. In Rock Classification Systems for Engineering Purposes (Kirkaldie ed.), ASTM, Philadelphia, 17-34.
- Bieniawski, Z.T., 1989. Engineering Rock Mass Classifications. Wiley, New York, 238 p.
- Boynukalın, S., 1990. Dereli (Giresun) Baraj Yeri Ve Göl Alanının Mühendislik Jeolojisi ve Çevre Kayaçlarının Jeomekanik Özellikleri. Doktora Tezi, KTÜ. Fen Bilimleri Enstitüsü, Trabzon, 255 s.
- Broch, E. ve Franklin, J.A., 1972. The Point Load Strength Test., International Journal of Rock Mechanics and Mining Sciences, 9, 669-697.
- Bulut, F., 1989. Çambaşı (Çaykara -Trabzon) Barajı ve Uzungül Hidroelektirk Santral Yerlerinin Mühendislik Jeolojisi Açısından İncelenmesi, Doktora Tezi, KTÜ. Fen Bilimleri Enstitüsü, Trabzon, 183 s.
- Bye, A.R. ve Bell, F.G., 2001. Stability assessment and slope design at Sandsloot open pit, South Africa International Journal of Rock Mechanics & Mining Sciences, .8 ,449-466
- Cai, M., Kaiser, P. K., Uno, H., Tasaka, Y. ve Minami, M., 2004. Estimation of rock mass deformation modulus and strength of jointed hard rock masses using the GSI system. International Journal of Rock Mechanics & Mining Sciences , 41, 1, 3-19.
- Cargill J.S. ve Shakoor A. 1990. Evaluation of empirical methods. for measuring the uniaxial compressive strength. International Journal of Rock Mechanics & Mining Sciences 27, 495-503.
- Carter, P.G ve Snedden M., 1977. Comparison of Schmidt Hammer, Point Load and Unconfined Compression Tests in Carboniferous Strata. Proceeding of a Conference on Rock Engineering. University of New Castle, Tyne, England.
- Ceryan, Ş., 1999. Harşit Granitoidi'nin Ayışması, Sınıflandırılması, Ayışmanın Mühendislik Özelliklerine Etkisi. , Doktora Tezi, KTÜ. Fen Bilimleri Enstitüsü, Trabzon, 300s.
- Ceryan, Ş. ve Korkmaz, N., 2003. Torul (Gümüşhane)-Diker Mahallesi (Torul) karayolunda yüzeylenen bazik volkanitlerin jeo-mühendislik özellikleri. Gümüşhane Yöresinin Kalkınması Sempozyumu Bildiriler Kitabı, Gümüşhane, Cilt 1, 298-310.

- Chen, Z., 1995. Recent developments in slope stability analysis. ISRM International Congresson Rock Mechanics, (Herausgeber ed.) Tokyo, ISRM. Vol. 3 , 1041-1048.
- D'Andrea, D.V., Fisher, R.L. ve Fogelson, D.E., 1965. Prediction of compressive strength of rock from other rock properties. U.S. Bureau of Mines, Report of Investigation. 5702.
- Davis, J.C., 1986. Statistics and Data Analyses in Geology. Wiley, New York, 646 p.
- Deere, D.U. ve Miller, R.P., 1966. Engineering classification and index properties for intact rock. Technical Report, Air Force Weapons Laboratory, No. AFNL-TR- 65-116, New Mexico, 30 pp.
- Deere, D. U., 1963. Technical description of rock cores for engineering purposes. Rock Mechanics and Engineering Geology, 1, 16-22.
- Douglas, B.E., 2002. The Shear Strength of Rock Masses. PhD thesis's. Civil and Environmental Engineering The University of New South Wales Sydney, Australia, 565 p.
- Duncan, C. R., 1992. Foundation on Rock, Wiley, New York, 432 p.
- Dunham, R.J., 1962. Classification of carbonate rocks according to depositional texture, 108-121 in Ham, W.E., ed., Classification of carbonate rocks., Tulsa, Okla., Am. Assoc. Petroleum Geologists, Mem., 1, 279 p.
- Duran, A. ve Douglas, K., 1999. "Do slopes designed with empirical rock mass strength criteria stand up?" Proceedings ISRM 9<sup>th</sup> International Congress on Rock Mechanics, Paris, France, 1, 87-90. Balkema, Rotterdam, ISBN 90 5809 070 1.
- Duran, A. ve Douglas, K.J., 2000. Experience with empirical rock slope design. GeoEng2000. An International Conference on Geotechnical & Geological Engineering. 19-24 November, Melbourne, Australia.
- Ergüvanlı, K., 1953. Görele-Espiye-Gümüşhane arasındaki bölgenin jeolojisi hakkında rapor. MTA, Rapor No:2629.24, Ankara (Yayınlanmamış).
- Eyüboğlu, Y., 2000. Tirebolu – Doğankent Arası Jeolojisi ve Jeokimyasal Özellikleri, Yüksek Lisans Tezi, KTÜ. Fen Bilimleri Enstitüsü, Trabzon ,196 s.
- Folk, R. L., 1962. Spectral Sudivision of Limestone Types in W. E. Ham. (Ed) Classification of Carbonate Rock, A.A.P.G.
- Forster, I.R., 1993. Influence of core sample geometry on the axial point load test. Technical Note .. International Journal of Rock Mechanics and Mining Science. & Geomechanics. Abstract. 20, 291-295.

- Franklin, J. A. and Chandra, R., 1972. The slake-durability test.. International Journal of Rock Mechanics and Mining Sciences, 9, 325-341.
- Gama, C. 1994. Variability and uncertainty evaluations for rock slope design. Proc. 1st North American Rock Mechanics Symp, Austin, Texas.publ. Balkema, Rotterdam, 547- 555.
- Gedikoğlu, A., 1978. Harşit Granitik Karmaşığı ve Çevre Kayaçları, Doçentlik Tezi, KTÜ Yer Bilimleri Fakültesi, Trabzon.178 s.
- Gökçeoğlu, C., 1997. Killi, Yoğun Süreksizlik İçeren ve Zayıf Kaya Kütlelerinin Mühendislik Sınıflamalarında Karşılaşılan Güçlüklerin Giderilmesine Yönelik Yaklaşımlar. Doktora Tezi, Hacettepe Üniversitesi, Jeoloji Müh. Böl., 214 s.
- Gökçeoğlu, C., Aksoy, H., 2000. New approaches to the characterization of clay-bearing, densely jointed and weak rock masses. Engineering Geology, 58 1-23.
- Göktan, R. M. ve Ayday, C., 1993. A Suggested Improvement to the Schmidt Rebound Hardness ISRM Suggested Method with Particular Reference to Rock Machinability, International Journal of Rock Mechanics and Mining Science. & Geomechanics. Abstract, 30,3, 321-322.
- Gunsallus, K. L. ve Kullhawy, F. H. (1984) A comparative evaluation of rock strength measures. International Journal of Rock Mechanics and Mining Science. & Geomechanics. Abstract , 21, 233-248.
- Gülibrahimoğlu, İ. 1985. Maçka Güneyinin Jeolojik Etüd Raporu, Rap. No: 1328, MTA, Ankara, (Yayınlanmamış).
- Güven, İ. H., 1993. Doğu Pontidlerin 1/ 250 000 Ölçekli Kompilasyonu, MTA. Genel Müd., Ankara (Yayınlanmamış).
- Hack, R, 1996. Slope stability probability classification, SSPC.pub I. ITC, Enschede, The Netherlands .ISBN 906164125X, .258 pp.
- Hack, R., 1998. Slope stability probability classification, SSPC. 2nd edition. publ. ITC, Enschede, The Netherlands. ISBN 90 6164 154 3. 258 pp.
- Hack, R., 2002. An Evaluation of slope stability classification ISRM EUROCK'2002, Portugal, Madeira, Funchal, 3-32.
- Hack, R., Alkema, D., Kruse, G., Leenders, N., ve Luzi, L., 2002. Influence of earthquakes on the stability of slopes. Journal of Engineering Geology. Special issue.
- Hack, R., Price, D. ve Rengers, N., 2003 . A new approach to rock slope stability a probability classification (SSPC). Bulletin of Engineering Geology and the Environment, 62, 167-184.

- Haines, A. and Terbruggc, P.J., 1991. Preliminary estimation of rock slope stability using rock mass classification systems. Proceedings 7th International Society Rock Mechanics, (Herausgeber ed.) Aachen, 2 , 887-892.
- Hall, B.E., 1985. Preliminary estimation of slope angles. Symp. on Rock Mass Characteristics, South African National Group on Rock Mechanics Johannesburg. 12-121.
- Haramy, K.Y. ve De Marco, M.I., 1985. Use of Schmidt Hammer for Rock and Coal Testing, 26th U.S. Symp. on Rock Mechanics, 26-28 June, Rapid City, 549-555.
- Hassani, F.P., Scobic, M.J. ve Whittaker, B.N., 1980. Application of the point load index test to strength of rock, and proposals for a new size correction chart. Proc. 21st U.S. Symp. on Rock Mechanics Rolla, Missouri, 543-556.
- Hudson, J.A. 1992. Rock Engineering Systems. Ellis Horwood Ltd., England. 185 pp.
- IAEG, 1995. The description and classification of weathered for engineering purposes (Geological Society engineering Group Working, Party Report. Quarterly Journal of Engineering Geology, 1995, 28, 207-242.
- ISRM, 1978. International Society for Rock Mechanics, Comission on Standardization of Laboratory and Field Tests: Suggested methods for the quantitative description of discontinuities in rock masses. International Journal of Rock Mechanics and Mining Sciences & Geomechanics Abstracts, 15, 319-68.
- ISRM, 1979. Suggested Methods for Determining Water Content, Porosity, Density, Absorption and Related Properties and Swelling and Slake Durability Index Properties. International Journal of Rock Mechanics and Mining Sciences & Geomechanics Abstracts, 16, 2, 141-156.
- ISRM., 1981. ISRM Suggested Methods: Rock Characterization, Testing and Monitoring. E. T. Brown (ed.), Pergamon Press, London, 211 pp.
- ISRM., 1985. Suggested Method for Determining Point Load Strength, International Journal of Rock Mechanics and Mining Sciences & Geomechanics Abstracts, 22, 53-60.
- İrfan, T.Y., Dearman, W.R 1978. Engineering classification and index properties of a weathered granite. Buletin of the International Association of Engineering Geology, 17: 79-90.
- Kahraman, S., 1996. Basınç Direnci Tahmininde Schmidt ve Nokta Yük İndeksi Kullanmanın Güvenirliliği. Jeoloji Müh. Bölümü 30. Yıl Sempozyumu Bildirileri, Cilt I, K.T.Ü-Trabzon., 362-369.
- Kaygusuz, A., 2000. Torul ve Çevresinde Yüzeylenen Kayaçların Petrografik ve Jeokimyasal İncelenmesi, Doktora Tezi, KTU Fen Bilimleri Enstitüsü, 275 s.

Kidybinski A. 1968. .Rebound number and the quality of mine roof strata International Journal of Rock Mechanics and Mining Sciences, 5 , 283–92.

Koca, M.Y., 1988. Açılmakta Olan Zigana Tüneli – Gürgenağaç Arası Yol Şevlerinin Duraylılık Analizi, Yüksek Lisans Tezi, KTU Fen Bilimleri Enstitüsü, Trabzon, 204 s.

Korkmaz, T., 1988. Maçka-Gürgenağaç (Trabzon) Yeni Yol Şevlerinin Duraylılık Açısından İncelenmesi, Yüksek Lisans Tezi, KTU Fen Bilimleri Enstitüsü, Trabzon, 131 s.

Köprübaşı, N., 1992. Aşağı Harşit Bölgesinin Mağmatik Petrojenezi Ve Masif Sülfitlerde Jeokimyasal Hedef Saptama Uygulamaları. Doktora Tezi, KTÜ. Fen Bilimleri Enstitüsü, Trabzon, 134 s.

Laubscher, D. H., 1975. Class distinction in rock masses. Coal, Gold and Base Minerals of Southern Africa, 37-50.

Laubscher. D.H., 1977. Geomechanics classification of jointed rock masses-mining applications. Transactions of the Institution of Mining and Metallurgy, Section A, Mining Industry, 86 (Jan),. A1-A8.

Laubscher, D.H., 1984. Design aspects and effectiveness of support systems in different mining conditions, T. Min. Metall A., 93, A70-A81.

Laubscher, D.H., 1990. A geomechanics classification system for the rating of rock mass in mine design. Journal of the South African Institute of Mining and Metallurgy, 90 (10), .257-273.

Laubscher, D.H. ve Jakubec, J., 2000. The IRMR/MRMR rock mass classification system for jointed rock masses, In: SME Annual Meeting, February 28 - March 1, 475-481, Salt Lake City, Utah.

Lee, S., G., 1987. Weathering and Geotechnical Ccharacterization of Korean Granites. PhD thesis, Imperial College, University of London,325 p.

Lee, S., G. ve De Freitas, M., H., 1988. Quantitative Definition of Highly Weathered Granite Using the Slake Durability test. Geotechnique, 38,.123-128

Lindsay, P., Anderson, J., Bourke, F., Campbell, RN. ve Clarke, L., 2000. Prediction slope stability open pit gold coal mines. 2000 New Zeland Minerals and Mining Conference Proc., 14 pp.

Lindsay, P., Campbell, R.N., Fergusson, D.A., Gillard, G.R.,T. ve Moore, T.A., 2001. CRL. New Zealand Slope stability probability classification, Waikato Coal Measures. New Zealand International Journal of Coal Geology 45 127-145.

- McMahon, B.K., 1976. Estimation of Upper Bounds to Rock Slopes by Analysis of Existing Slope Data. CANMET Report 76-14, Canada Centre for Mineral and Energy Technology.
- Moon, B.P. ve Selby, M.J., 1983. Rock Mass Strength and scarp forms it; Southern Africa. *Geografistka annaler. Ser. A*, 65,135-145.
- Moon, B.P., 1984. Refinement of a technique for determining rock mass strength for geomorphological purposes. *Earth. Surface Processes and Landforms*, 9, 2, 189-193
- Moon, V., Russl, H, C. ve Sicwuri, M., 2001. The value of ruck mass classification systems for weak rock masses: a case example from Hintly. New Zealand. *Engineering. Geology*. 61, 53-67.
- Orr, C.M., 1992. Assessment of rock slope stability using the rock mass rating (RMR) system. The AusIMM Proceedings, 297 (2), 25-29.
- Orr, C.M., 1996. Use of the Rock Mass Rating (RMR) system in assessing the stability of rock slopes. In Milestones in Rock Engineering the Bieniawski Jubilee Collection. A.A.Balkema, Rotterdam, 159-171.
- Özkan, İ. ve Ünal, E., 1996. Kaya kütlesi sınıflama sistemleri üzerine kritik bir değerlendirme. 3. Ulusal Kaya Mekanığı Sempozyumu Bildiriler Kitabı, Ankara, 181-193.
- Palmström, A., 1982. The volumetric joint count-a useful and simple measure of the degree of jointing. 4th Int. Congress IAEG, New Delhi. V221-V228.
- Palmström, A., 1985. Application of the volumetric joint count as a measure of rock mass jointing. Proc. Int. Symp. on Fundamentals of Rock Joints, Bjorkliden, Sweden, 103-110.
- Palmström, A., 1996. RMi-a system for rock mass strength for use in rock engineering. *Journal . of Rock Mechanics. and Tunneling Technique*, India, 1 (2), 69-108.
- Pelin, S., Özsayar, T., Gedikoğlu, A. ve Tülümen, E., 1982. Doğu Pontidlerde Üst Kretase Yaşılı Biyomikritlerin Oluşumu, *K.T.Ü. Jeoloji Dergisi*. 2, 1-2, 69-81.
- Poole, R.W. and Farmer, I.W., 1980. Consistency and Repeatability of Schmidt Hammer Rebound Data During Field Testing, . *International Journal of Rock Mechanics and Mining Sciences & Geomechanics Abstracts*.17, 167-171.
- Priest, S.D. ve Hudson, J.A., 1976. Discontinuity spacing in rock. . *International Journal of Rock Mechanics and Mining Sciences & Geomechanics Abstracts*, 13, 135-148.
- Robertson, A.M., 1988. Estimating weak rock strength. SME Annual Meeting, Phoenix. Arizona, Society of Mining Engineers, Preprint No. 88-145, 1-5.

- Romana, M. 1985. New adjustment ratings for application of Bieniawski classification to slopes. International Symposium on the Role of Rock Mechanics, Zacatecas, ISRM.. 49-53.
- Romana, M., 1991. SMR classification. 7th International Congress on Rock Mechanics, (Herausgeber ed.) Aachen, ISRM. Vol. 2 . 955-960.
- Romana, M., 1993. A geomechanics classification for slopes: Slope Mass Rating. (In Comprehensive Rock Engineering. Ed. I. Hudson). Pergamon. VoJ 3. 575-600.
- Romana, M., 1995. The geomechanical classification SMR for slope correction. Proc. 8th Int. Congress Rock Mechanics, ISRM, Tokyo, 3, 1085-1092.
- Romana, M., Serón, J.B. ve Montalar, E., 2003. SMR Geomechanics classification: Application, experience and validation ISRM 2003–Technology roadmap for rock mechanics, South African Institute of Mining and Metallurgy, 4 pp.
- Selby, M.J., 1980. A rock mass strength classification for geomorphic purposes: with tests from Antarctica and New Zealand. Zeitschrift für Geomorphologie. 23. 31-51.
- Selby, M.J., 1982. Hillslope materials and processes. Oxford University Press, Oxford. 264 p.
- Shuk, T., 1994. Key elements and applications of the natural slope methodology (NSM) with some emphasis on slope stability aspects. Proc. 4th South American Congr. on Rock Mechanics. Santiago de Chile. 255-266.
- Singh, R.N. ve Gahrooee, D.R., 1989. Application of rock mass weakening coefficient for stability assessment of slopes in heavily jointed rock masses. International Journal of Surface Mining, Reclamation and Environment, 3, 207-219.
- Steffen, O.K.H., 1976. Research and development needs in data collection for rock engineering. Proceedings of the Symposium on Exploration for Rock Engineering, (Bieniawski ed.) Johannesburg, Balkema. Vol. 2 pp. 93-104.
- Szalavin, J., 1974. Relationship between same Physical Properties of Rock Determined by Laboratory Test. International Journal of Rock Mechanics and Mining Sciences & Geomechanics Abstracts, 11, 107-113.
- Şirin, A., 1995. Kürtün-Torul (Gümüşhane) Arası Karayolu şevelerinin Duraylılık Açısından İncelenmesi, Yüksek Lisans Tezi, K.T.Ü., Fen Bilimleri Enstitüsü, Trabzon, 217 s.
- Tarhan, F., 1981. Artvin Baraj Yerinde Nokta Yük Aleti ile Bir Uygulama. KTÜ Yerbilimleri Dergisi Cilt I., Sayı 2, Trabzon.

- Tashı, K., 1984. İkisu (Gümüşhane) ile Hamsiköy (Trabzon) Yörelerinin Jeolojisi ve Berdiga Formasyonunun Biyo-stratigrafik Deneğirmesi, Yüksek Lisans Tezi, Fen Bilimleri Enstitüsü, Trabzon, 223 s.
- Taylor HW (1980) A geomechanics classification applied to mining problems in the Shabanie and King mines.1. Zimbabwe. M. Phil. Thesis, University of Rhodesia, 165p.
- Terzaghi, R.D., 1965. Sources of error in joint surveys. Geotechnique 15, 287-304.
- T.S.E., 1975. Kayaçların Tek Eksenli Basma Dayanımlarının Tayini. UDK 622.02, Türk Standartları Enstitüsü, Ankara.
- T.S.E., 1987. Tabii Yapıtaşlarının Muayene ve Deney Metotları. TS 699, UDK 6912, Türk Standartları Enstitüsü, Ankara.
- T.S.E., 1990. Kaya Mekaniği Deneyleri İçin Karot Numunelerinin Hazırlanması, Boyut ve Şekil Toleranslarının Tespiti. TS 8614, UDK 622.02.624.121, Türk Standartları Enstitüsü, Ankara.
- Tsiambaos, G. ve Telli, D., 1991. Application of rock mass classification systems on stability of limestone slopes. Landslides. Proceedings of the Sixth International Symposium, (Belled.) Christchurch, Balkema.2, 1065-1069.
- Türk, N., 1988. Kayaçların Nokta Yükleme dayanımını bulmak için yeni bir yöntem, Mühendislik Jeolojisi Bütene, 10, 25-31.
- Türk-Japon Ekibi, 1985. The Republic of Turkey Report on the Cooperative Mineral Exploration of Gümüşhane Area, Phase 1 Metal Mining Agency of Japan.
- Türk, N. ve Dearman, W.R. 1984. A new procedure for determination of point load strength in site investigation. Site Investigation Practice: Assessing B.S. 5930. 20th Regional Meeting of the Engineering Group of the Geological Society of London. Ed. A.B. Hawkins. I, 462-473.
- Türk, N. ve Dearman, W.R., 1985. Improvements in the determination of point-load strength.. Bull. Int. Assoc. Eng. Geol. 31, 137-142,
- Ulusal, R., 2001. Uygulamalı Jeoteknik Bilgiler. Jeoloji Mühendisleri Odası Yayınları: 38, Genişletilmiş 4. Baskı, 385 s.
- Ulusal, R., Özkan, İ. ve Ünal, E., 1995a. Characterization of weak, stratified and clay-bearing rock masses for engineering applications. Proc. of the Fractured and Jointed Rock Masses Conference, June 3-5, 1992, Lake Tahoe, California, L. R. Myer, N. G. W. Cook, R. E. Goodman, and C. F. Tsans (eds.), 229-235.

- Ulusay, R., Arıkan, F., Yoleri, M.F., Çağlan, D., 1995b. Engineering geological characterization of coal mine waste material and an evaluation in the context of back analysis of spoil pile instabilities in a strip mine, SW Turkey. Engineering Geology, 40, 77-101.
- Ulusay, R. ve Sönmez, H., 2002. Kaya Kütlelerinin Mühendislik Özellikleri. TMMOB Jeoloji Mühendisleri Odası yayınları No:60, Ankara, 243s.
- Ünal, E., 1996. Modified rock mass classification: M-RMR System. Milestones in Rock Engineering, The Bieniawski Jubilee Collection, Balkema, Rotterdam, 203-223.
- Ünal, E., Özkan, İ.. ve Ulusay, R., 1992. Characterization of weak, stratified and clay-bearing rock masses. ISRM Symposium: EUROCK'92 Rock Characterization, Chester, UK, J. A. Hudson (ed.), British Geotechnical Society, London, 330-335.
- Ünal, E., ve Özkan, İ., 1990. Determination of classification parameters for clay-bearing and stratified rock mass. Proc. 9 th Int. Conf. on Ground Control in Mining, West Virginia Univ., 250-259.
- Yalçınalp, B., 1992. Güzelyayla ( Maçka-Trabzon) Porfiri Cu-Mo Cevherleşmesinin Jeolojik Yerleşimi ve Jeokimyası, Doktora Tezi, KTÜ. Fen Bilimleri Enstitüsü, Trabzon. 177 s.

## **ÖZGEÇMİŞ**

Nurcihan CERYAN 1980 yılında İstanbul'da doğdu. 1987–1997 yılları arasında ilk, orta ve lise öğrenimini İstanbul'da tamamladı. 1997 yılında KTÜ Gümüşhane Mühendislik- Jeoloji Mühendisliği Bölümünde Lisans öğrenimine başladı. Haziran 2001 'de lisans öğrenimini tamamladıktan sonra Eylül 2002'de KTÜ Fen Bilimleri Enstitüsü, Jeoloji Mühendisliği Ana Bilim Dalı'nda Yüksek Lisans öğrenimine başladı ve aynı tarihte KTÜ Fen Bilimleri Enstitüsü Araştırma Görevlisi olarak atandı. Evli ve bir çocuk annesi olan Nurcihan CERYAN İngilizce bilmektedir.